



Aalesund University College

# Bacheloroppgave

IB303312

Borgundveien 151/153

3206, 3211, 3229, 3300

Totalt antall sider inkludert forsiden: 240

Innlevert Ålesund, 29.05.2015



Aalesund University College

## Obligatorisk egenerklæring/gruppeerklæring

Den enkelte student er selv ansvarlig for å sette seg inn i hva som er lovlige hjelpemidler, retningslinjer for bruk av disse og regler om kildebruk. Erklæringen skal bevisstgjøre studentene på deres ansvar og hvilke konsekvenser fusk kan medføre. **Manglende erklæring fritar ikke studentene fra sitt ansvar.**

Du/dere fyller ut erklæringen ved å klikke i ruta til høyre for den enkelte del 1-6:

1.	Jeg/vi erklærer herved at min/vår besvarelse er mitt/vårt eget arbeid, og at jeg/vi ikke har brukt andre kilder eller har mottatt annen hjelp enn det som er nevnt i besvarelsen.	ja <input checked="" type="checkbox"/>
2.	Jeg/vi erklærer videre at denne besvarelsen: <ul style="list-style-type: none"><li>• ikke har vært brukt til annen eksamen ved annen avdeling/universitet/høgskole innenlands eller utenlands.</li><li>• ikke refererer til andres arbeid uten at det er oppgitt.</li><li>• ikke refererer til eget tidligere arbeid uten at det er oppgitt.</li><li>• har alle referansene oppgitt i litteraturlisten.</li><li>• ikke er en kopi, duplikat eller avskrift av andres arbeid eller besvarelse.</li></ul>	<input checked="" type="checkbox"/>
3.	Jeg/vi er kjent med at brudd på ovennevnte er å <u>betrakte som fusk</u> og kan medføre annulling av eksamen og utestengelse fra universiteter og høgskoler i Norge, jf. <u>Universitets- og høgskoleloven</u> §§4-7 og 4-8 og <u>Forskrift om eksamen</u> §§30 og 31.	<input checked="" type="checkbox"/>
4.	Jeg/vi er kjent med at alle innleverte oppgaver kan bli plagiatkontrollert i Ephorus, se Retningslinjer for elektronisk innlevering og publisering av studiepoenggivende studentoppgaver	<input checked="" type="checkbox"/>
5.	Jeg/vi er kjent med at høgskolen vil behandle alle saker hvor det forligger mistanke om fusk etter <u>høgskolens studieforskrift</u> §30	<input checked="" type="checkbox"/>
6.	Jeg/vi har satt oss inn i regler og retningslinjer i bruk av <u>kilder og referanser på biblioteket sine nettsider</u>	<input checked="" type="checkbox"/>

# Publiseringsavtale

Studiepoeng: 20

Veileder: Vemund Årskog

## Fullmakt til elektronisk publisering av oppgaven

Forfatter(ne) har opphavsrett til oppgaven. Det betyr blant annet enerett til å gjøre verket tilgjengelig for allmennheten ([Åndsverkloven §2](#)).

Alle oppgaver som fyller kriteriene vil bli registrert og publisert i Brage HiÅ med forfatter(ne)s godkjennelse.

Oppgaver som er unntatt offentlighet eller båndlagt vil ikke bli publisert.

Jeg/vi gir herved Høgskolen i Ålesund en vederlagsfri rett til å gjøre oppgaven tilgjengelig for elektronisk publisering:

ja    nei

Er oppgaven båndlagt (konfidensiell)?  
(Båndleggingsavtale må fylles ut)

- Hvis ja:

ja    nei

Kan oppgaven publiseres når båndleggingsperioden er over?

ja    nei

Er oppgaven unntatt offentlighet?  
(inneholder taushetsbelagt informasjon. [Jfr. Offl. §13/Fvl. §13](#))

ja    nei

Dato: 29.05.2015

## Forord

Denne rapporten er vår avslutning på hovedprosjektet, med bygg konstruksjon som valgt studieretning ved Høyskolen i Ålesund våren 2015.

Hovedhensikten med prosjektet har vært å tilegne oss ny kunnskap ved å gå videre og dypere med den kunnskapen vi har opparbeidet oss gjennom tre år på høyskolen, samt ny relevant kunnskap for fagområdet. I tillegg ønsket vi å få et innblikk i problemstillinger som dukker opp i en konstruktørs hverdag.

Prosjektets utgangspunkt er en boligblokk i Borgundveien 151/153 som ble gitt til oss av vår veileder Vemund Årskog gjennom Sindre Moldskred i Moldskred AS.

Boligblokken var kun i start/skissefasen da vi startet i januar. Moldskred AS er utbygger og RIB, og som vår oppdragsgiver har vi samarbeidet med de under prosjektet.

Etter ønske fra oss og i samråd med veileder og oppdragsgiver har vårt hovedfokus hvert beregning av hovedbæresystem og prosjektering etter lavenergistandarden. Jordskjelv er også med da dette er en kritisk del av beregningene av en høy boligblokk.

Vi vil gi en stor takk til:

Vemund Årskog (veileder)

Sindre Moldskred (oppdragsgiver)

Morten Evensen (Peikko)

Liv Møller- Christensen (rådgiver)

Ålesund 29. Mai 2015

Bengt Kongsvoll

Solomon Mwamba Tshibanda

Dan Marius Stålerød

Hans Christian Giske

## Sammendrag

Målet med denne oppgaven var å projektere bærekonstruksjonen til en 8. etasjers boligblokk. Den ble basert på skissetegningene gitt av oppdragsgiver Moldskred AS. Parallelt med dette ble det tatt hensyn til jordskjelv, samt med et sekundært hensyn til lavenergi standard hvor det kun ble sett på kravene til bygningskomponentene. Oppgaven belyser mulige løsninger i henhold til problemstillingen.

Det ble gjennomgått mye relevant litteratur og teori for de ulike temaene. Fagbøker, standarder, fagrelaterte internetsider, fag- og prosjektrapporter var en viktig del av denne informasjonsinnhenting. Dette gav oversikt og teoretisk grunnlag over grunnprinsippene for oppbygningen og prosjektering av boligblokken.

Robot ble brukt som modelleringsprogram til prosjektet. Der ble det laget en 3D modell som er grunnlaget for prosjekteringen av bæresystemet og jordskjelv i oppgaven.

Bæresystemet i Robot ble definert ut i fra de ulike lastpåkjenningene. De eksterne lastene naturlaster og nyttelaster som er lagt inn i programmet, er hentet fra tabeller og manuellberegning etter standarder og krav. Egenlastene ble definert basert på valg av materiale i programmet. Robot genererer automatisk mange ulike lastkombinasjoner der den mest ugunstige blir dimensjonerende. Ulykkestilstanden for brann er ikke med i disse kombinasjonene.

For jordskjelvberegningen ble det først laget forenklede modeller av bygget. Disse modellene ble manuelt beregnet samt beregnet i Robot. Resultatene for disse to beregningene samsvarer. Det ble da konkludert at resultater fra beregning av hovedmodellen i Robot da ville være representativ.

Therm ble brukt som beregningsprogram for varmestrømmen gjennom bygningskomponentene.

Det ble valgt preaksepterte løsninger på hovedkomponentene til bygningen. For å kvalitetssikre disse løsningene, ble ytterveggen manuelt beregnet samt beregnet i Therm. Resultatene samsvarer og det ble da konkludert at resultatene i Therm er representative. Det ble da videre brukt Therm til beregning av de resterende bygningskomponentene, dette for visualisere varmestrømmen termografisk samt kvalitetssikre resultatene mot krav og de valgte løsningene. På bakgrunn av resultatene fra Therm er bygningskomponentene i prosjektet innenfor kravene i henhold til lavenergi standarden.

Basert på resultater av beregninger i prosjekteringen og valgte løsninger til prosjektet er prosjektet gjennomførbart i henhold til problemstilling. Det er viktig å poengtere at problemstillingen ikke dekker en totalprosjektering. Prosjektet ikke er fullprosjektert og heller ikke kvalitetssikret av uavhengig tredjepart. Dette er oppgaver som er aktuelle for videre prosjektering av prosjektet.

# Innhold

<b>1 innledning.....</b>	<b>14</b>
<b>2 Beskrivelse av bygget .....</b>	<b>15</b>
<b>2.1 Bærekonstruksjon.....</b>	<b>15</b>
<b>2.2 Takkonstruksjon .....</b>	<b>15</b>
<b>3 Teori.....</b>	<b>16</b>
<b>3.1 Plassstøpt betong.....</b>	<b>16</b>
3.1.1 Forskaling .....	16
3.1.2 Utstøping .....	16
3.1.3 Overflatebehandling .....	17
<b>3.2 Hulldekker på stål bæresystem.....</b>	<b>17</b>
3.2.1 Hulldekker .....	17
3.2.2 Duktilitet.....	17
3.2.3 Stabilitet.....	18
3.2.4 Montasjeforhold.....	18
3.2.5 Eksempler på gode løsninger.....	18
<b>3.3 Knutepunkt.....</b>	<b>18</b>
<b>3.4 Avstivningssystemer.....</b>	<b>19</b>
3.4.1 Rammer .....	19
<b>3.5 Brann sikkerhet.....</b>	<b>20</b>
3.5.1 Krav til dokumentasjon.....	20
3.5.2 Risikoklasser og brannklasser.....	21
<b>3.6 Jordskjelv.....</b>	<b>21</b>
3.6.1 Jordskjelvbølger.....	22
3.6.2 Styrke og størrelse på skjelv .....	22
3.6.3 Intensitet .....	23
3.6.4 Jordskjelv i Norge.....	23
3.6.5 Dynamikk .....	24
3.6.6 Frihetsgrader (degrees of freedom, DOFs) .....	24
3.6.7 Duktilitet.....	24
3.6.8 Dempning .....	24
3.6.8 Prosjektering av bygninger .....	25
<b>3.7 Lavenergi .....</b>	<b>25</b>
3.7.1 Lavenergibygninger .....	25
3.7.2 Energimerking .....	27
3.7.3 Energibehov .....	27
3.7.4 Energiforsyning .....	28
3.7.5 Varmetap .....	29
3.7.6 u-verdi.....	29
3.7.7 Kuldebroverdi ( $\Psi$ ) .....	29
3.7.8 Normalisert kuldebroverdi ( $\Psi''$ ) .....	30
<b>3.8 Programmer .....</b>	<b>30</b>
3.8.1 Therm.....	30
3.8.2 Revit.....	30
3.8.3 Robot (version: 29.01.15678(x64)) .....	31

3.8.3 .....	31
Frame2Dexpress .....	32
<b>4 Karakteristiske laster på konstruksjonen.....</b>	<b>33</b>
<b>4.1 Vertikallaster.....</b>	<b>33</b>
4.1.1 Egenlast .....	33
4.1.2 Nyttelast.....	33
<b>4.2 Horisontallaster.....</b>	<b>34</b>
4.2.1 Skjevstillingslast .....	34
4.2.2 Jordskjelvlast .....	34
<b>4.3 Naturlaster .....</b>	<b>36</b>
4.3.1 Snølast .....	36
4.3.2 Vindlast.....	36
4.3.3 Vindlast i robot .....	36
<b>5 Dimensjonering av bæresystemet .....</b>	<b>36</b>
<b>5.1 Forutsetninger og dimensjonersgrunnlag .....</b>	<b>37</b>
5.1.1 Pålitelighetsklasse.....	37
5.1.2 Kontrollklasse .....	38
<b>5.2 Grensetilstande .....</b>	<b>38</b>
5.2.1 Bruddgrensetilstand (ULS – Ultimate Limit State) .....	38
5.2.2 Bruksgrensetilstand (SLS – Serviceability Limit State) .....	38
<b>5.3 Fundament/p-anlegg og betongvegg.....</b>	<b>39</b>
5.3.1 Veggfundament.....	40
5.3.2 Betongvegg .....	41
5.3.3 Søylefundament .....	42
<b>5.4 Dekke.....</b>	<b>43</b>
5.4.1 Hulldekker .....	43
<b>5.5 Bjelker .....</b>	<b>44</b>
5.5.1 Dimensjonerende lastvirkning for bjelke.....	44
5.5.2 Valgt profil .....	45
5.5.3 Valg av bjelke i Robot .....	46
5.6.5 Bruksgrense .....	46
<b>5.6 Søyler.....</b>	<b>47</b>
5.6.1 Valg av materiale .....	47
5.6.2 Plassering .....	47
<b>5.7 Betongsøyler .....</b>	<b>49</b>
<b>5.8 Stålsøyler.....</b>	<b>50</b>
<b>5.9 Tak konstruksjon .....</b>	<b>51</b>
5.9.1 Valg av konstruksjonstype.....	51
5.9.2 Fall på takkonstruksjonen .....	52
<b>5.10 Avstivning av bygget.....</b>	<b>52</b>
<b>5.11 Detaljer i bæresystemet .....</b>	<b>54</b>
<b>6 Jordskjelv beregning.....</b>	<b>55</b>
<b>6.1 Identifisering av grunntyper .....</b>	<b>55</b>
<b>6.2 duktilitet.....</b>	<b>56</b>
6.2.1 DCL lav duktilitet. ( duktilitetsklasse lav).....	56
6.2.2 DCM middels duktilitet. (duktilitetsklasse middels).....	56

<b>6.3 Lastkombinasjoner .....</b>	<b>57</b>
<b>6.4 Ortogonale retninger. ....</b>	<b>58</b>
<b>6.5 Metode etter NS-EN 1998.....</b>	<b>58</b>
6.5.1 Analysemetode .....	58
6.5.2 Tverrkraftmetoden. (Forenklet metode). ....	59
6.5.3 Modal responspektrumanalyse.....	61
<b>6.6 Regularitet i planet.....</b>	<b>62</b>
<b>6.7 Manuel beregning .....</b>	<b>63</b>
6.7.1 Stivhetssenter og utilsiktede tosjonsvirkninger .....	64
6.7.2 Forskyvning i forenklet pinnemodell.....	66
<b>6.8 Beregning i ROBOT-STRUCTURAL ANALYSIS (Robot).....</b>	<b>67</b>
6.8.1 Modalanalyse .....	67
6.8.1 Inndata i robot.....	68
<b>7 Energiberegning lavenergi .....</b>	<b>69</b>
<b>7.2 Valg av beregningsmetode etter ns 3031 (14) .....</b>	<b>70</b>
<b>7.3 Utleding av energiberegningpunktene.....</b>	<b>71</b>
7.3.1 Varmetapstall og bygningskomponenter .....	71
7.3.3 Oppvarmingsbehov og energibehov .....	72
7.3.4 Energiforsyning .....	74
<b>8 Byggetekniske løsninger .....</b>	<b>75</b>
<b>8.1 Dampsperre .....</b>	<b>75</b>
<b>8.2 Vindsperre .....</b>	<b>76</b>
<b>8.3 vinduer og dører .....</b>	<b>76</b>
8.3.1 Tetting rund vinduer og dører.....	76
8.3.2 Windu .....	77
<b>8.4 Vegg.....</b>	<b>77</b>
<b>8.5 Etasjeskiller melom bolig og garasje .....</b>	<b>80</b>
<b>8.6 Tak.....</b>	<b>80</b>
<b>8.7 Veranda.....</b>	<b>81</b>
8.7.1 Overgang veranda ved H05 .....	81
<b>8.8 Rassikring .....</b>	<b>82</b>
<b>8.9 Brann.....</b>	<b>82</b>
8.9.1 Branncellebegrensende bygningsdeler .....	82
8.9.2 Brannvegg.....	83
8.9.3 Brannisolerings.....	83
8.9.4 Søyler.....	83
8.9.5 Bjelker .....	83
8.9.6 Dekker .....	84
8.9.7 Rømning .....	84
<b>9 Vurdering av resultatene .....</b>	<b>86</b>
<b>10 Konklusjon .....</b>	<b>88</b>
<b>Bibliografi .....</b>	<b>89</b>
<b>12 Vedlegg .....</b>	<b>92</b>
<b>12.1 Forprosjekt .....</b>	<b>92</b>
12.1.1 Fremdriftsplan.....	102

<b>12.2 Logg.....</b>	<b>103</b>
<b>12.3 3D Modell.....</b>	<b>109</b>
<b>12.4 Snitt og plantegninger.....</b>	<b>110</b>
<b>12.5 Egenvekt på komponenter.....</b>	<b>119</b>
<b>12.6 Snølast .....</b>	<b>120</b>
<b>12.7 Vindlast .....</b>	<b>121</b>
<b>12.8 Skjevestillingslast.....</b>	<b>126</b>
<b>12.9 Dimensjonering: Hulldekke .....</b>	<b>128</b>
<b>12.10 Dimensjonering: Stålbjelker .....</b>	<b>130</b>
12.10.1 Beregninger fra Peikko .....	130
12.10.2 HEB 400 og 450 i Robot .....	132
12.10.3 HEB 400 og 450 i Frame .....	133
12.10.4 Laster på bjelker med arealreduksjon .....	137
<b>12.11 Fundament og betongvegg.....</b>	<b>140</b>
12.11.1 Veggfundament.....	140
12.11.2 Betongvegg .....	147
12.11.3 Søylefundament .....	154
<b>12.12 Dimensjonering: Søyler .....</b>	<b>161</b>
12.12.1 Betongsøyler .....	161
12.12.2 Stålsøyler .....	165
12.12.3 Knutepunkt skråstilt stålsøyle .....	169
<b>12.13 Lavenergi .....</b>	<b>171</b>
12.13.1 Tabeller brukt i manuell utregning av yttervegg.....	171
12.13.2 Manuell beregning vegg .....	174
12.13.3 U- verdi pre-akseptert vegg .....	176
<b>12.13.4 U-verdi preakseptert tak .....</b>	<b>177</b>
12.13.5 Energimerking .....	178
<b>12.14 Jordskjelv.....</b>	<b>180</b>
12.14.1 Gunstig geometrisk løsning Mathcad .....	181
12.14.2 Ugunstig geometrisk løsning Mathcad .....	194
12.14.3 Ugunstig geometrisk løsning Robot .....	213
12.14.4 Forenklet pinnemodell .....	220
<b>12.15 Brann.....</b>	<b>236</b>
12.15.1 Risikoklasser og brannklasser.....	236
12.15.2 ISOVER FireProtect Calc (43) .....	238
<b>12.16 Mail fra Liv Astrid Bergsager.....</b>	<b>240</b>

## Figurliste

<i>Figur 1 Opprinnelig bjelke-/søylesyste .....</i>	<i>15</i>
<i>Figur 2 Nytt bjelke-/søylesystem .....</i>	<i>15</i>
<i>Figur 3 Lett-tak (44) .....</i>	<i>15</i>
<i>Figur 4 Kompakttak (27).....</i>	<i>15</i>
<i>Figur 5 Illustrasjonsbilde forskaling.....</i>	<i>16</i>

<i>Figur 6 HULLDEKK (47).....</i>	17
<i>Figur 7 Staging av søyler (1) .....</i>	18
<i>Figur 8 Stempling av søyler (1) .....</i>	18
<i>Figur 9 Tosidig opplegg for hatteprofil .....</i>	18
<i>Figur 10 Tosidig opplegg for deltabjelke.....</i>	18
<i>Figur 11 Leddet, kontinuerlig og semi-kontinuerlig knutepunkt (2) .....</i>	19
<i>Figur 12 Rammesystem (4) .....</i>	19
<i>Figur 13 Skivesystem (4).....</i>	20
<i>Figur 14 Bevegelse i jordskorpen (7).....</i>	22
<i>Figur 15 Jordskjelv i Ålesund 14. juni 2009 (46).....</i>	23
<i>Figur 16 Jordskjelv i Norge 2009 (45).....</i>	23
<i>Figur 17 Årlige strømpriser ved strømpris på 1 kr.....</i>	26
<i>Figur 18 Kyoto-pyramiden (12).....</i>	26
<i>Figur 19 Energimerking.....</i>	27
<i>Figur 20 Energibehov (12).....</i>	28
<i>Figur 21BIM modell.....</i>	31
<i>Figur 22 Illustrasjonsbilde fra Robot.....</i>	31
<i>Figur 23 Illustrasjonsbilde fra Frame .....</i>	32
<i>Figur 24 Skjevestillingslast (20) .....</i>	34
<i>Figur 25 Vind som linjelast i X-retning .....</i>	36
<i>Figur 26 Vind som linjelast i Y-retning.....</i>	36
<i>Figur 27 Plassering av vegg over fundament i 3D-modell .....</i>	40
<i>Figur 28 3D-modell av armering .....</i>	40
<i>Figur 29 Plassering av vegg i 3D-modell .....</i>	41
<i>Figur 30 3D-modell av veggarmering .....</i>	41
<i>Figur 31Plassering av søylefundament i 3D-modell.....</i>	42
<i>Figur 32 3D-modell av søylefundament.....</i>	42
<i>Figur 33 Deltabjelken (26).....</i>	44
<i>Figur 34 Illustrasjonsbilde av laster på bjelkene.....</i>	45
<i>Figur 35 Nedsenket veranda i Robot-modell .....</i>	47
<i>Figur 36 Plassering av bjelker å søyler i Robot-modell .....</i>	48
<i>Figur 37 3D-modell av armering i søyle.....</i>	49
<i>Figur 38 Plassering av søyle i 3D-modell.....</i>	49
<i>Figur 39 3D-modell av søyle.....</i>	49
<i>Figur 40 Plassering av de stålsøylene med størst utnyttelse i 3D-modellen.....</i>	50
<i>Figur 41 Illustrasjonsbilde av lett-tak.....</i>	51
<i>Figur 42 Eksempel på kompakttak .....</i>	51
<i>Figur 43 Illustrasjonsbilde av fall på tak.....</i>	52
<i>Figur 44 Detalj for fugearmering av hulldekke (29).....</i>	52
<i>Figur 45 Detalj for skiveforankring fra hulldekke til veggskive .....</i>	53
<i>Figur 46 Detalj for skiveforankring fra hulldekke .....</i>	53
<i>Figur 47 Moment i bjelker .....</i>	54
<i>Figur 48 Knutepunkt fra skrå søyle.....</i>	54
<i>Figur 49 Responsspekteret.....</i>	56
<i>Figur 50 Fordeling av krefter i konstruksjonen .....</i>	61
<i>Figur 51 Modal responspektrum .....</i>	62
<i>Figur 52 Soft story Figur 53 Regularitet i oppriss. Heldige og uheldige løsninger.....</i>	62
<i>Figur 54 Regularitet i plan. Heldige og uheldige løsninger .....</i>	63
<i>Figur 55 Ugunstig geometrisk løsning .....</i>	63
<i>Figur 56 Gunstig geometrisk løsning .....</i>	63
<i>Figur 57 Eksentriskitet.....</i>	64
<i>Figur 58 Modalanalyse 1 .....</i>	67
<i>Figur 59 Modalanalyse 2 .....</i>	68

<i>Figur 60 Inndata i Robot.....</i>	68
<i>Figur 61 Inntrukket dampsperre .....</i>	75
<i>Figur 62 Dobbel vindsperrre.....</i>	76
<i>Figur 63 Kuldebroverdier for overgang vegg - vindu.....</i>	77
<i>Figur 64 Oppbygning av vegg.....</i>	77
<i>Figur 65 Vegg horisontalt.....</i>	79
<i>Figur 66 Vegg vertikalt.....</i>	79
<i>Figur 67 Oppbygning av kompakttak.....</i>	80
<i>Figur 68 Overgang vegg tak .....</i>	81
<i>Figur 69 Overgang vegg/veranda.....</i>	81
<i>Figur 70 Overgang vegg/veranda.....</i>	82
<i>Figur 71 Rekkeviddediagram stigebil .....</i>	84

## Tabelliste

<i>Tabell 1 Richters skala.....</i>	23
<i>Tabell 2 Høyeste beregnede netto energibehov til oppvarming (kWh/m<sup>2</sup>år) .....</i>	28
<i>Tabell 3 Varmetapstall for transmisjons- og infiltrasjonstap .....</i>	29
<i>Tabell 4 Minstekrav for bygningsdeler lavenergi og TEK 10 .....</i>	29
<i>Tabell 5 Egenlast på konstruksjonslementer.....</i>	33
<i>Tabell 6 Karakteristiske nyttelaster på gulv (19).....</i>	33
<i>Tabell 7 NA.A1 (901) - Veiledende eksempler for klassifisering av byggverk, konstruksjoner og konstruksjonsdeler .....</i>	37
<i>Tabell 8 Kontrollklasse (315).....</i>	38
<i>Tabell 9 Forenklet NA:A1.2(B) - Dimensjonerende verdier for laster i bruddgrensetilstanden (315) .....</i>	38
<i>Tabell 10 Lastfaktorer <math>\gamma</math> inkludert <math>\psi</math> – faktorer for bruksgrensetilstanden (304) .....</i>	38
<i>Tabell 11 NA.A1.1 – Verdier for <math>\psi</math>-faktorer for bygninger (23).....</i>	39
<i>Tabell 12 Lite utdrag fra automatisk genererte kombinasjoner i Robot.....</i>	39
<i>Tabell 13 Oversikt over armering i fundament .....</i>	40
<i>Tabell 14 Oversikt over armering i vegg .....</i>	41
<i>Tabell 15 Oversikt over armering i søylefundament .....</i>	42
<i>Tabell 16 Norelement.....</i>	43
<i>Tabell 17 Spenncon.....</i>	43
<i>Tabell 18 Brannkrav og belastninger vi sendte til Peikko .....</i>	44
<i>Tabell 19 Sammenligninger mellom HEB og deltabjelken.....</i>	46
<i>Tabell 20 Armering av betongsøyle .....</i>	49
<i>Tabell 21 Utnyttelse av søyler.....</i>	50
<i>Tabell 22 Grunntyper.....</i>	55
<i>Tabell 23 Duktilitetsklasse.....</i>	56
<i>Tabell 24 Kombinasjonsfaktorer med andre laster .....</i>	57
<i>Tabell 25 Lastfaktor avhengig av type bygg .....</i>	57
<i>Tabell 26 Material faktor ved dimensjonering for jordskjelv.....</i>	57
<i>Tabell 27 Valg av modell og analyse i seismisk dimensjonering .....</i>	59
<i>Tabell 28 Avstivningssystem .....</i>	60
<i>Tabell 29 Resultat svingeperiode .....</i>	64
<i>Tabell 30 Bygningskategori og energiberegning .....</i>	70
<i>Tabell 31 Minstekrav til bygningsdeler, komponenter og lekkasjetall .....</i>	72
<i>Tabell 32 Brannisolering av de forskjellige søylene .....</i>	83

## Terminologi

$N_{Ed}$  – Dimensjonerende aksialkraft

$V_{Ed}$  – Dimensjonerende skjærkraft

$M_{Ed}$  – Dimensjonerende moment

$g_k$  – Karakteristisk egenlast

$q_k$  – Karakteristisk nyttelast

$\xi$  – Kombinasjonsfaktor

$\psi$  – Kombinasjonsfaktor

$\gamma$  – Lastfaktor i bruddgrensetilstand

$\alpha_n$  – Etasjereduksjonsfaktor

$\alpha_A$  – Arealreduksjonsfaktor

Skjevstillinglast:

$\emptyset_0$  – Basisverdi

$\alpha_h$  – Reduksjonsfaktor

$\alpha_m$  – Reduksjonsfaktor

$H_g$  – Horisontal karakteristisk egenlast

$H_q$  – Horisontal karakteristisk nyttelast

Snølast:

$S_{k0}$  – Karakteristisk snølast på mark

$H_g$  – Høydegrense

$S$  – Snølast på tak per  $m^2$  horisontalprojeksjon

$\mu$  – Formfaktor

$C_e$  – eksponeringsfaktor

$C_t$  – Termisk faktor

$S_k$  – Karakteristisk snølast på mark på byggestedet

Vindlast:

$V_{,0}$  – Referansevindhastighet

$V_m$  – Stedvindhastighet

$V_b$  – Basisvindhastigheten

$C_{dir}$  – Retningsfaktor

$C_{season}$  – Årstidfaktor

$C_{prop}$  – Returperiode faktor

$C_{alt}$  – Nivåfaktor

$C_r$  – Terrengruhetsfaktor

$C_0$  – Terregformfaktor

$I_v$  – Turbulensiteten

$V_p$  – Vindkasthastighet

$q_p$  – Hastighetstrykket fra vindkast

$q_{p0}$  – Grunnverdi for hastighetstrykket fra vindkast

$k_w$  – Vindlastfaktor

$C_{pe}$  – Formfaktor for utvendig vindlast mot vegg

Jordskjelv

$P$  bølger – Trykkbølger og primærbølger i form av lyd

$S$  bølger – Sekundærbølger eller skjærbølger

EMS98 – Europeisk makroseismisk skala 1998

NORSAR – uavhengig forskningsinstitutt med spesialfelt innen forskning

DOFs – Degrees of freedom, frihetsgrader

$S$  – Forsterkningsfaktor som er avhengig av grunnforholdene

$T$  – Egensvingeperioden for et lineært system med en frihetsgrad

$T_B$  – Den nedre grenseverdien av området med konstant spektralakselerasjon

$T_C$  – Øvere grenseverdien av området med konstant spektralakselerasjon

$T_D$  – Verdien definerer begynnelsen på spektrets område for konstant forskyvning

$v_{s,30}$  – Gjennomsnittsverdi av en forplantningshastighet på  $S$  bølger i de øverste 30 m av grunnprofilen ved en skjærtøyning på  $10^{-5}$  eller mindre

$h_i$  – Tykkelse i meter

$v_i$  – Skjærbølggehastigheten

$S_d$  – Dimensjoneringspekteret

DCL – Duktilitetsklasse lav

DCM – Duktilitetsklasse middels

$q$  – konstruksjonsfaktor

$E_{dx}, E_{dy}$  – Dimensjonerende verdier av lastvirkningene som følge av de horisontale komponentene ( $x$  og  $y$ ) av den seismiske påvirkning

$E_{DZ}$  – Dimensjonerende verdi av lastvirkningene som følge av den vertikale komponenten av den seismiske påvirkning

$T$  – Egenperioden

$C_t$  – Koeffisient, avhengig av konstruksjonens avstivningssystem og materiale

$H$  – Høyde på bygning

$T_c$  – Nedregrenseverdi av området med konstant spektralakselerasjon

$a_g$  – Dimensjonerende grunnakselerasjon for grunnforhold type A

$\beta$  – Faktorem for den nedre grenseverdien for det horisontale dimensjonerende spektret

$F_b$  – Total skjerkraft (N)

$S_d(T_1)$  – Ordinaten av det dimensjonerende spekteret for periode  $T_1$

$T_1$  – Bygningens første egensvingeperiode for sidebevegelse

$m$  – Bygningens totale masse over fundament

$\lambda$  – Korreksjonsfaktor

$\sum M_i^{eff}$  – Summen av de modale massene for svingeformene

## 1 INNLEDNING

Bakgrunnen for denne oppgaven er en 8. etasjes boligblokk i Ålesund, som Moldskred AS har begynt å prosjektere. De var i startfasen og det forelå kun enkle skissetegninger på prosjektet, i det vi startet denne oppgaven.

Ut i fra dette grunnlaget har vi i samarbeid med Moldskred prosjektert videre. Oppgaven fokuserer spesielt på bæresystem, lavenergibygg og jordskjelvanalyse.

Valgte temaer er veldig aktuelle i jobbsammenheng og bidrar til ønsket kunnskap.

Hovedproblemstillingen for oppgaven vil være å prosjektere bærekonstruksjonen. I tillegg til jordskjelv og de utfordringene prosjekteringen av et lavenergibygg medfører. Gjennom oppgaven prøver vi å utarbeide løsninger for:

- Valg av bæresystem
- Avstivning av bygget
- Lastsituasjonen for bygget
- Dimensjonering av søyler, bjelker og hulldekker
- Jordskjelvanalyse
- Byggetekniske løsninger for lavenergibygg

Første del av oppgaven tar for seg en beskrivelse av bygget, teori om hulldekker, jordskjelv, bæresystemer og lavenergibygg. Deretter hoveddelen som består av karakteristiske laster, beregning av bæresystemet, jordskjelvanalyse og byggetekniske utfordringer. Tilslutt kommer diskusjon av resultatene og konklusjon

I oppgaven avgrenser vi noen temaer da de er meget omfattende og ikke direkte er knyttet til hovedproblemstillingen. Det vil kun bli sett på skallet av bygget når det gjelder lavenergi og brann. VVS, elektro, energibehov og solforhold blir ikke tatt med i denne oppgaven. Det ble heller ikke utført brannanalyse av bygget med tanke på rømningsveier og leilighetsinndeling.

## 2 BESKRIVELSE AV BYGGET

Bygget er en boligblokk i Borgundveien 151/153 som strekker seg over 8 etasjer, to går til parkering og de resterende seks er til boligformål. Bygningsformen var ikke helt bestemt av prosjekteier, den er prosjektert som en kombinasjonsblokk med elementer fra både terrasseblokk og tradisjonelt høyhus. Bygget er utformet slik at det utnytter tomten maksimalt med tanke på antall leiligheter. Se vedlegg 12.3 for 3D-modeller og 12.4 for snitt og plantegninger.

### 2.1 BÆREKONSTRUKSJON

Oppdragsgiver ønsket at prosjektgruppen skulle komme med nye og egne forslag til løsninger. Det ble vurdert bruk av ferdigelementer der det er mulig, for å få en enkel konstruksjon som kan føres opp relativ raskt. Bærekonstruksjonen er i hovedsak hulldekke på stålprofiler med bruk av skiver som avstivning. I parkeringsdelen er det valgt plassstøpt betong for veggger, og betongsøyler for å oppnå en litt mer robust konstruksjon. Problemene med konstruksjonen har hvert å lede kretene fra inntappingene i bygningsformen ned til fundament. Noe som ble valgt å løse ved å endre retning på det opprinnelige søyle/bjelke systemet.



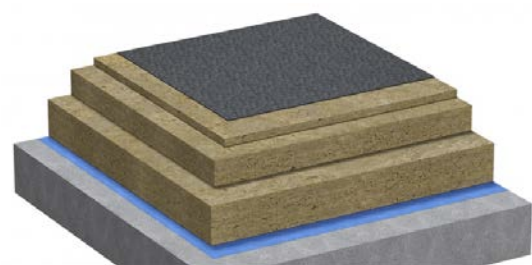
Figur 1 Opprinnelig bjelke-/søylesyste



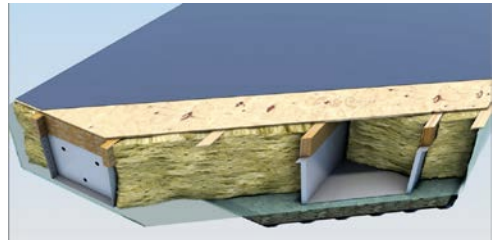
Figur 2 Nytt bjelke-/søylesystem

### 2.2 TAKKONSTRUKSJON

Til takkonstruksjonen ble det vurdert 2 løsninger. Kompakt tak løsning med samme prinsipp som de andre etasjeskillere, og lett-tak elementer der bærekonstruksjon er av varmeforsinket tynnprofil i stål.



Figur 4 Kompakttak (27)



Figur 3 Lett-tak (44)

## 3 TEORI

### 3.1 PLASSTØPT BETONG

Betong er et allsidig bygningsmateriale og gir mange muligheter med tanke på bygging av konstruksjoner. Dens allsidighet gjør den til det mest brukte bygningsmaterialet og kan tilpasses de fleste forhold. Betong har høy trykkfasthet og lav strekkfasthet, derfor brukes det som oftest armering i betongen for å kunne ta disse strekkreftene. Betongens oppbygning gjør også at den har fordeler i forhold til lyd, brann og robusthet.

Plasstøpt betong er i hovedsak den tradisjonelle måten å bygge på. Dette gjøres ved å lage forskalingsformer som bygges eller monteres på anleggspllassen, bygge opp innvendig armering og fylle med betong. Type betong som blir brukt avhenger av tilgjengeligheten og bruksområdet til konstruksjonen.

#### 3.1.1 FORSKALING

De mest brukte forskalingsmetodene er tradisjonell- og systemforskaling. Der tradisjonellforskaling bygges på byggestedet, mens systemforskaling er forskalingselementer som settes sammen på byggestedet. Valg av forskalingsmetode avhenger også på om den skal være bærende eller støttende konstruksjon.

Utførelsen av forskalingen er kritisk, da dårlig arbeid kan føre til at konstruksjonen ikke holder de toleransekravene som er satt. Utførelse har også et viktig aspekt med tanke på utseende og geometrien på betongens utseende rent estetisk. Derfor er valg av forskalingsmateriale også en faktor.



Figur 5 Illustrasjonsbilde forskaling

#### 3.1.2 UTSTØPING

Fylling av forskalingsformene foregår i dag på forskjellige måter. Pumpebil og kran er vanlige metoder som har nytteverdi på hver sin måte. Valg av metode bestemmes av blant annet mengde betong som trengs og tilgjengelighet til forskalingsformen. Metoden som blir valgt setter også krav til sammensetningen i betongen.

### 3.1.3 OVERFLATEBEHANDLING

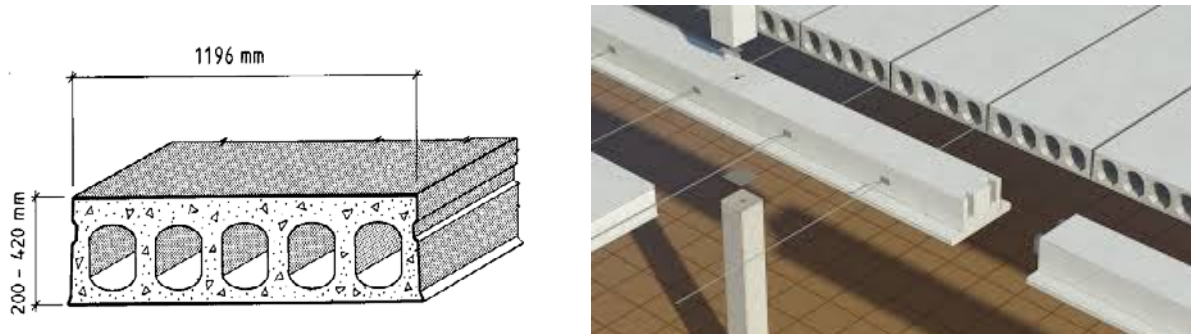
Avhengig av ønsket betongoverflate på konstruksjonen, er det vanlig å overflatebehandle betongen. Dette gjøres ofte for å støvbinde betongstøvet eller oppnå en jevn overflate på gulv. Dette gjøres henholdsvis ofte med maling og stålglatting.

## 3.2 HULLDEKKER PÅ STÅL BÆRESYSTEM

### 3.2.1 HULLDEKKER

Hulldekker er prefabrikkerte betongelementer som produseres på forhånd, før de blir transportert til byggeplass for montering. De er konstruert med runde kanaler i midten i spennretningen, man får derfor en lavere vekt i forhold til styrke og stivhet. Kanalene kan brukes til diverse rør-føringer som elektrisk og VVS installasjoner. Dekkene leveres både som slakkarmerte og forspente avhengig av bruksområde og laster.

Hulldekker har et stort bruksområde og brukes i dag ofte som bjelkelag i diverse bolighus, større industribygg, skoler, kontorbygg, hoteller og parkeringshus. Produksjons og monterings metodene gjør det ofte fordelaktig både tidmessig og økonomisk å bruke hulldekker. Grunnet hulldekkenes lange spennvidder vil behovet for bærende konstruksjoner minke, noe som eksempelvis vil gjøre planløsninger mer fleksible (1).



Figur 6 HULLDEKK (47)

### 3.2.2 DUKTILITET

Knutepunktene i et bygg skal være duktile dvs. ha en seig oppførsel. Dette for å tåle eventuelle store deformasjoner før brudd. I et sikkerhets perspektiv vil enn da evt. få evakuert bygningen før brudd, og rent byggeteknisk er dette også viktig innen jordskjelv dimensjonering av bygninger.

For å unngå en ”sprø” oppførsel gis det ofte mer kapasitet i de ”sprø” delene til knutepunktene eksempelvis ved å øke kapasitet i bolter og sveiser. (1)

### 3.2.3 STABILITET

Stabiliteten til stål- og betonelement bygninger er kritisk viktig. Avstivingssystemet skal fungere som en helhet. Hulldekkene sørger for stabiliteten horisontalt ved å fungere som en skive, som igjen overfører kreftene til de vertikale avstivede skivene/ konstruksjonene til bygningen. De vertikale skivene må tåle både horisontallast og aksiallast. Grunnet høy aksiallast vil de vertikale skivene måtte ses på som søyler og de er fast innspent i fundament.

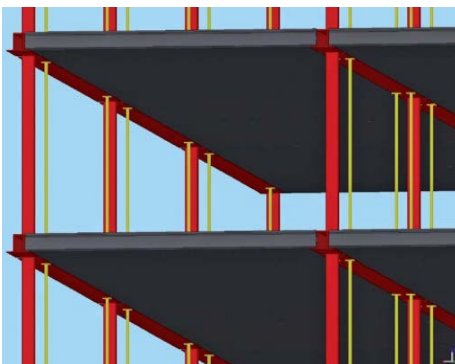
Skal hulldekkene fungere som en skive må det etableres strekksband enten ved armering i fuger, flattstål oppå dekker eller kontinuerlig forbinding av bjelkene i bæresystemet (Dvs. at skivekrefter blir overført fra hulldekker til stålbjelker, som igjen har strekkforbindelse gjennom søyler eller forbi)

### 3.2.4 MONTASJEFORHOLD

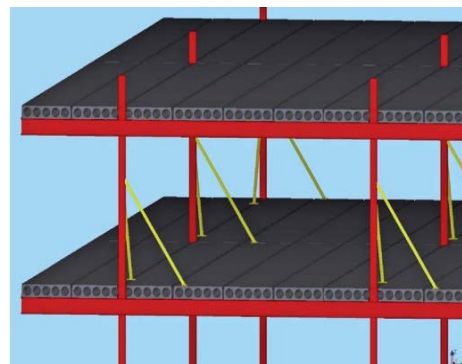
Det er viktig å sørge for at stabiliteten til bygget opprettholdes gjennom byggeprosessen. I monteringsfasen er der ofte behov for staging ved søyler (figur 8) og stempling av bjelker (figur 7) til de permanente forbindelsene både horisontalt og vertikalt er utført. Stagingen utføres ved justerbare skråstag i begge akseretninger og stempling gjøres ved vertikalt justerbare stål søyler plassert på strategiske steder for å unngå deformasjoner.

Det må gjøres en forskyvingskontroll på søyler og bjelker før fugene til hulldekkene støpes ut, dette for at det er vanskelig å utføre justeringer i ettermakt.

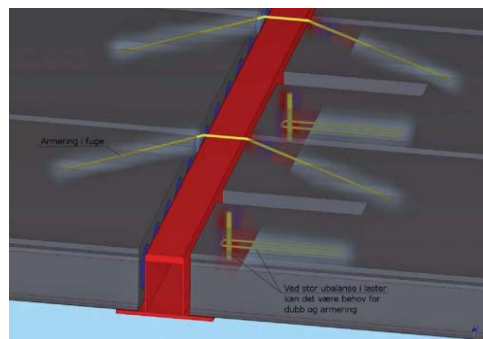
### 3.2.5 EKSEMPLER PÅ GODE LØSNINGER



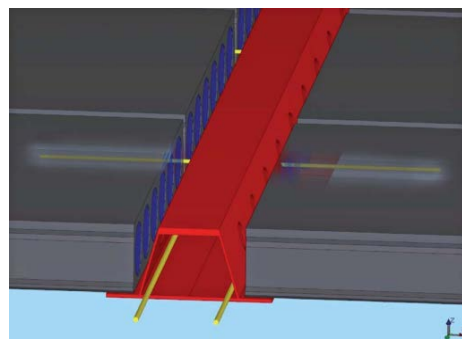
Figur 8 Stempling av søyler (1)



Figur 7 Staging av søyler (1)



Figur 9 Tosidig opplegg for hatteprofil



Figur 10 Tosidig opplegg for deltabjelke

### 3.3 KNUTEPUNKT

Det skiller mellom tre typer knutepunkter for bygningskonstruksjoner. De blir definert etter graden av kontinuitet som er forutsatt mellom stavene som møtes i knutepunktet, og klassifisert etter styrke og stivhet.

Leddet forbindelse:

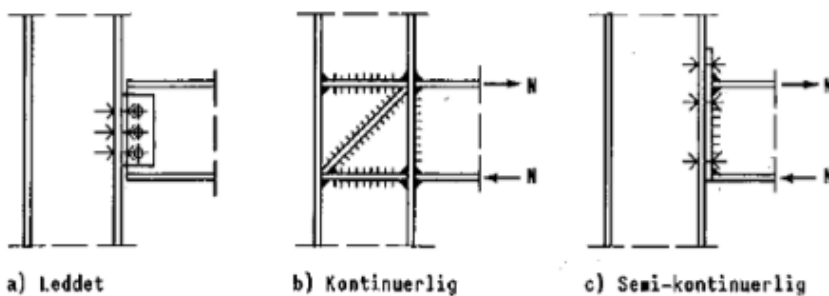
Et ledet knutepunkt skal kunne overføre stavens skjær- og normalkraft uten at det oppstår momenter av betydning, og tillate de rotasjoner som er forutsatt i lastvirkningsanalysen. (2)

Kontinuerlig forbindelse (Bøyningsstivt):

Et stivt knutepunkt skal ha tilstrekkelig stivhet til at det kan betraktes som bøyestivt i lastvirkningsanalysen. (2)

Semi-kontinuerlig forbindelse (Delvis bøyningsstivt):

For semi-stive knutepunkt må det i lastvirkningsanalysen tas hensyn til dets rotasjonsstivhet, og knutepunktet skal kunne overføre de indre snittkrefter. (2)



Figur 11 Leddet, kontinuerlig og semi-kontinuerlig knutepunkt (2)

### 3.4 AVSTIVNINGSSYSTEMER

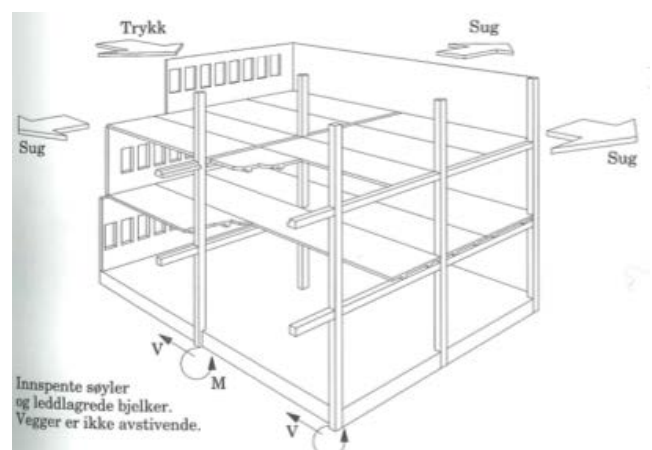
Et bygg er stabilt når det kreves et positivt arbeid for å foreta flytting av bygningsdeler og det kan motstå de påførte kreftene. For dette bygget er de aktuelle systemene rammer og skiver

#### 3.4.1 RAMMER

Rammesystemer også kalt skjelettsystemer har forbundet knutepunkt mellom søyle og bjelke.

For bygg høyere enn tre etasjer må normalt knutepunktene utføres momentstive.

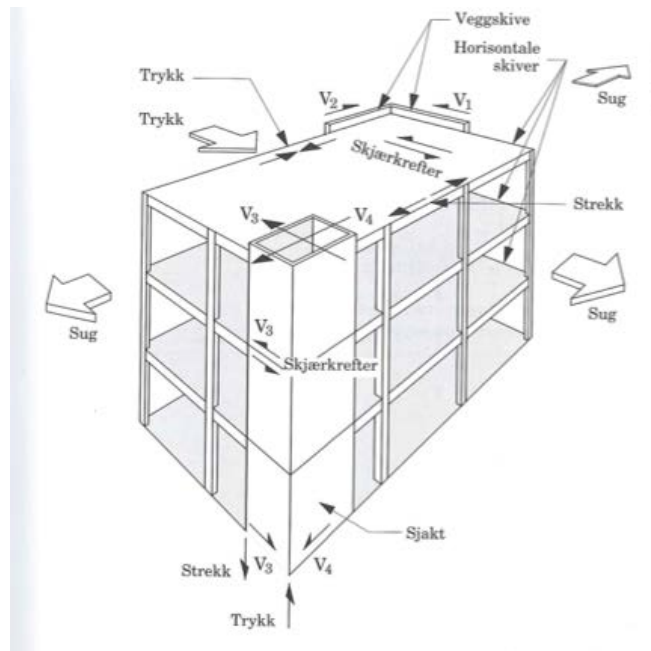
Momentstive rammer er lite brukt på fleretasjes bygg i Norden. Grunnet de store skjærkrefrene og momentene på søylene i de nederste etasjene, som fører til at søyledimensjonene blir upraktisk store. (3) og (4)



Figur 12 Rammesystem (4)

### 3.4.2 SKIVER

Skivene brukes til å stive av bygget. Horisontalkreftene blir tatt opp i dekkene og overføres til vertikalskivene som fører kreftene ned i fundamentet. Vertikalskivene består normalt av trapperom, skivevegger og heissjakter. For at dekkene skal kunne betraktes som stive elementer som belastes kun i sitt plan, må horisontale forskyvninger i byggets lengde- og tverretning samt rotasjon om byggets vertikalakse fastholdes. Fastholdelse av forskyvningene kan relativt lett oppnås, men for å forhindre rotasjon kan ikke skivene og trappe/heissjakt plasseres vilkårlig. Brukes for bygg i alle høyder og er det mest aktuelle for de høyeste byggene. (3) og (4)



Figur 13 Skivesystem (4)

### 3.5 BRANN SIKKERHET

*Byggverk skal ha planløsning og utførelse som gir tilfredsstillende sikkerhet ved brann for personer som oppholder seg i eller på byggverket, for materielle verdier og for miljø- og samfunnsmessige forhold. Herunder skal det være forsvarlige muligheter for å redde mennesker og dyr og for slokke arbeide. Byggverk skal plasseres og utføres slik at risiko for brannspredning til andre byggverk blir akseptabel liten (5).*

#### 3.5.1 KRAV TIL DOKUMENTASJON

*Oppfyllelse av kravene til sikkerhet ved brann kan dokumenteres på to måter:*

- Ved at byggverket utføres i samsvar med preaksepterte løsninger
- Ved analyse og ellers/beregninger som dokumentert at sikkerheten mot brann er tilfredsstillende. Analyse og/eller beregning skal simulere brannforløp og angi nødvendige sikkerhetsmarginer for de ugunstige forhold, som kan inntre ved bruk av byggverket. Det skal dokumenteres at anvendt analyse-/beregningsmetode er egnet til formålet og at dimensjonerende brannbelastning fremkommer ved anerkjente dokumenterbare metoder.

(5)

I dette prosjektet er det i all hovedsak blitt benyttet preaksepterte løsninger. Der det ikke har latt seg løse med preaksepterte løsninger, har vi utarbeidet noen forslag. Det er ikke foretatt noe analyse av løsningsforslagene. Dette må eventuelt løses med eksterne brannkonsulenter som oppdragsgiver benytter.

### 3.5.2 RISIKOKLASSER OG BRANNKLASSER

Brannkravet i Teknisk forskrift må ligge til grunn for valg av bæresystemet. Dette er et boligprosjekt med 2 etasjer parkering og 6 etasjer med bolig. Bygget skal tilrettelegge for rask og enkel rømning. (5)

Dette gir i følge veileding for teknisk forskrift:  
(*Tabeller i vedlegg 12.15.1*)

- Risikoklasse 4 (bolig)
- Brannklasse 3 (5.etg eller flere)
- Brannkrav:
  - Bærende hovedsystem: R 90 A2-s1, d0
  - Sekundære bærende bygningsdeler: R 60 A2-s1, d0
  - Trappeløp: R 30 A2-s1, d0
  - Bærende bygningsdeler under øverste kjeller: R 120 A2-s1, d0
  - Utvendig trappeløp: A2-s1, d0 (ubrennbart)

*Byggverk i brannklasse 3 og 4:*

*Bærende hovedsystem i brannklasse 3 og 4 skal utføres slik at byggverket bevarer sin stabilitet og bæreevne gjennom et fullstendig brannforløp.*

*Sekundære konstruksjoner og konstruksjoner som bare er bærende for en etasje, eller for tak, skal bevare sin stabilitet og bæreevne i den tiden som er nødvendig for å rømme og redde personer i og på byggverket. (6)*

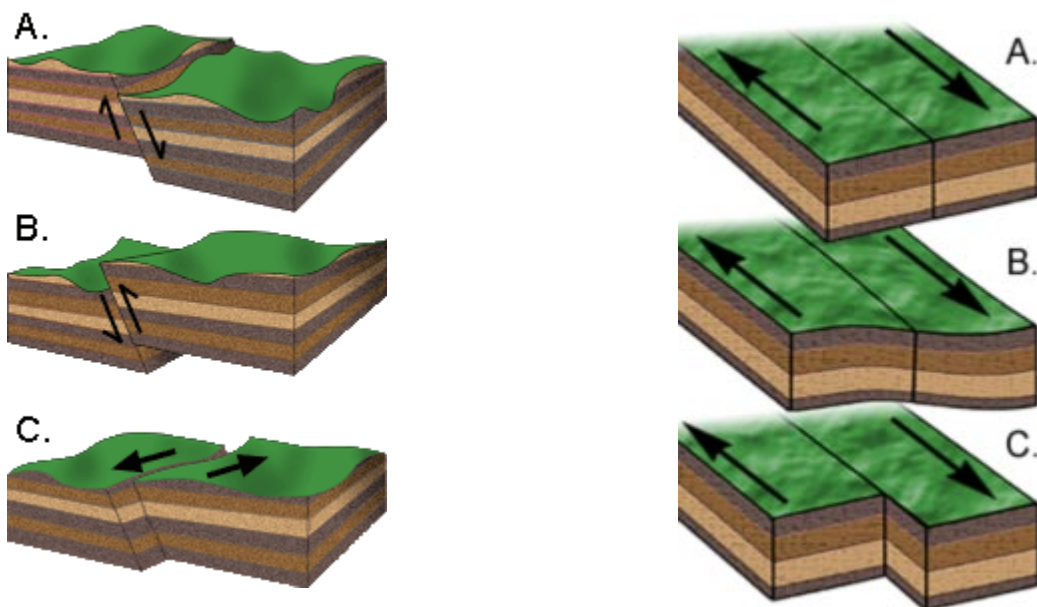
### 3.6 JORDSKJELV

Rundt om i verden måles det hvert år mange jordskjelv. De fleste jordskjelv er så små at en ikke merker noe til dem uten måleutstyr. Noen få av disse jordskjelvene er så store at de medfører skade og tap av menneskeliv.

*Med jordskjelv menes i utgangspunktet et plutselig brudd i jordskorpen av naturlig opprinnelse som er av en slik karakter at det sendes ut bølger i form av rystelser. Størrelsen på rystelsene varierer fra umerkelig til svært kraftige, og de vil også avta med avstand fra jordskjelvets sentrum. (7)*

Vanligvis oppstår jordskjelv ved at to sider av en sprekk i jordskorpen slipper i forhold til hverandre. Dette skjer fordi jordskorpen er i stadig bevegelse. Spenningen bygger seg opp

langs sprekkene, og når sprekkene blir stor nok vil platene bevege seg. Då oppstår det jordskjelv.



Figur 14 Bevegelse i jordskorpen (7)

Jordskjelv oppstår på et punkt kalles hyposenter. Hyposenteret kan ligge dypt nede i jordskorpa, nære overflaten eller et sted imellom. Episenteret er punktet på jordskorpa som ligger over hyposenteret. Jordskjelv gir oss tre hovedtyper bevegelse i jordskorpa som vist på figur 14 : Normalforkastning, reversforkastning og sidelengsforkastning. Forkastning er bruddflate som skiller mellom to bergartslegemer som er forflyttet i forhold til hverandre. I praksis vil et jordskjelv ofte være en kombinasjon av de tre bevegelsene.

### 3.6.1 JORDSKJELVBØLGER

De fire viktigste hovedtypene bølger i jordskorpen er P- og S bølger, Rayleigh og Love bølger. P og S beveger gjennom hele jordskorpa og Rayleigh og Love på overflater. P er trykkbølger og primærbølger i form av lyd. S er sekundærbølger eller skjærbølger der amplitude beveger seg vinkelrett på bevegelsesretning. Skjærbølgene kan deles opp i to komponenter, en horizontalbevegelse (SH) og en vertikal bevegelse (SV). Skjærbølgene er de en i hovedsak er opptatt av ved dimensjonering. Rayleighbølger er en kombinasjon av SV og P bølger og beveger selv i vann. (7)

### 3.6.2 STYRKE OG STØRRELSE PÅ SKJELV

Basert på målingene gitt av mange målestasjoner rundt i verden, er det mulig å bestemme omrentlig episenter. Når man vet hvor de ulike jordskjelvbølgene inntreffer ved forskjellige målestasjoner, og kjenner bølgetypenes hastighet i jordskorpa, er det mulige å bestemme hvor skjelv oppstår.

Jordskjelv styrke kan angis på flere måter. Tre vanlige målemetoder er intensitet, fysisk størrelse og magnitude. Alle typer magnitude – målinger er logaritmiske hvor den mest vanlige er Richters skala. Skalaen ble opprettet av seismologen Charles Francis Richter fra California i 1935. I sin opprinnelige definisjon Richter skala er en logaritmisk skala med grunn tall 10. Dette betyr at for hvert trinn av skalaen er den målte amplituden 10 ganger større. Under i tabell er Richters skala med virkningene. (7)

Tabell 1 Richters skala

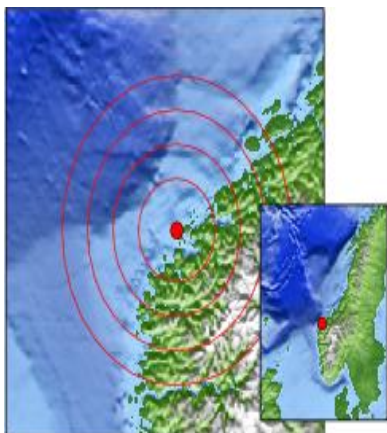
Styrke	Virkning
$\leq 3$	Ikke merkbart. Registreres bare på instrumenter
3,0-5,4	Lett til sterkt. Merkbart. Mindre skader.
5,5-6,0	Meget sterkt. Skader på bygninger.
6,1-6,9	Voldsomt. Bygninger styrter sammen. Store ødeleggelsjer.
7,0-7,9	Ødeleggende. Få bygninger står. Jorden sprekker. Jordskred.
> 8	Katastrofalt. Total ødeleggelse forekommer.

### 3.6.3 INTENSITET

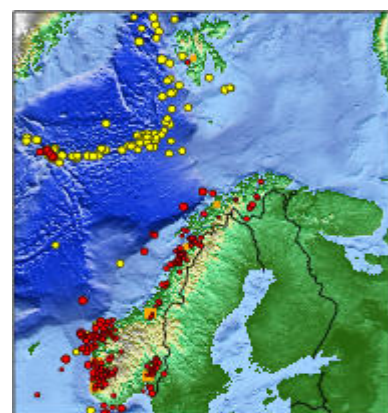
Skalaen som brukes i dag i hele verden er EMS98 skala. Europeisk makroseismisk skala 1998 har 12 punkter. De 12 punktene ble utviklet i begynnelsen av 1900 tallet. Denne skala er også akseptert i Norge.

### 3.6.4 JORDSKJELV I NORGE

Norge er ikke kjent for å være det stedet som er mest utsatt for jordskjelv, men er likevel det området i Nord-Europa som opplever flest jordskjelv i dag. Etter at Eurocode 8 ble innført, har fokuset på jordskjelv i Norge blitt større. Jordskjelv ble eksempelvis registrert i Ålesund 15. juni 2009 ifølge NORSTARs stasjon. Skjelvet hadde en styrke 3 på Richters skala, og ble rapportert flere steder på Sunnmøre.



Figur 15 Jordskjelv i Ålesund 14. juni 2009  
(46)



Figur 16 Jordskjelv i Norge 2009 (45)

Bildet på høyre viser Jordskjelv fra 1979 frem til i dag. Røde symboler er jordskjelv som ble merket av mennesker, mens gule er andre jordskjelv med styrke fire eller større. De oransje kvadratene angir større byer.

### 3.6.5 DYNAMIKK

Kreftene i et jordskjelv er energi som beveger grunnen gjennom bølger. Disse kreftene er dynamiske og vil bevege det som er i kontakt med grunnen. Energien overføres til konstruksjoner gjennom grunnen og vil føres til toppen av konstruksjonen før den tar veien tilbake til grunnen. Det er denne energien i form av vibrasjoner som potensielt kan føre til en kollaps av en konstruksjon. Dette grunnet svingingene i konstruksjonen påført av vibrasjonene. Størrelsen på disse svingingene er avhengig av konstruksjonens evne til å absorbere og fordele vibrasjonskraftene (8).

### 3.6.6 FRIHETSGRADER (DEGREES OF FREEDOM, DOFs)

Frihetsgrader er konstruksjonsmassen sin mulige bevegelighet i ulike retninger ut ifra massens opprinnelige posisjon. En konstruksjon i 3D kan forskyve seg i tre retninger og rotere i tre retninger, derav 6 frihetsgrader. (6DOF)

### 3.6.7 DUKTILITET

*Duktilitet er evne til å deformere seg ut over elastisk grense uten å miste sin styrke eller funksjon. (8)*

Dvs. evnen til å tåle deformasjoner uten tap av styrke. Man kan også snakke om duktilitet på knutepunkts- bygningsmaterialet og konstruksjonsnivå.

3 betingelser må være tilfredsstilt for å beholde styrke og funksjon under jordskjelv: (8)

- *Byggematerialet må ha tilstrekkelig deformasjonsevne.*
- *Konstruksjonsdelene( knutepunkter, bjelker, søyler, plater og skiver) må kunne opppta store repeterte deformasjoner, tøyninger eller krumninger.*
- *Bærekonstruksjonen settes sammen av de duktile konstruksjonsdelene til en deformasjonsmekanisme.*

### 3.5.8 DEMPNING

En fri svingning får gradvis redusert amplitude, og stopper ved hjelp av demping. Dvs. at en kan si at når en konstruksjon blir satt i svingning, vil vibrasjonsenergien gradvis bli konvertert til varme og lyd. Svingningene avtar på grunn av reduksjon av energi.

### 3.6.8 PROSJEKTERING AV BYGNINGER

Grunnleggende prinsipper for prosjektering:

I seismiske områder skal det tas hensyn til seismiske farer i de tidlige stadiene av prosjekteringen av en bygning, slik at det er mulig å oppnå et bæresystem som innenfor akseptable kostnadsrammer tilfredsstiller de grunnleggende krav. Dvs. krav til motstand mot sammenbrudd og krav til skadebegrensning.

De styrende prinsippene av prosjekteringen er:

- Konstruksjonsmessig enkelhet
- Regelmessighet, symmetri og redundans
- Motstand og stivhet i to retninger
- Torsjonsmotstand og -stivhet
- Skivevirkning ved etasjenivå
- Passende fundament

(9)

## 3.7 LAVENERGI

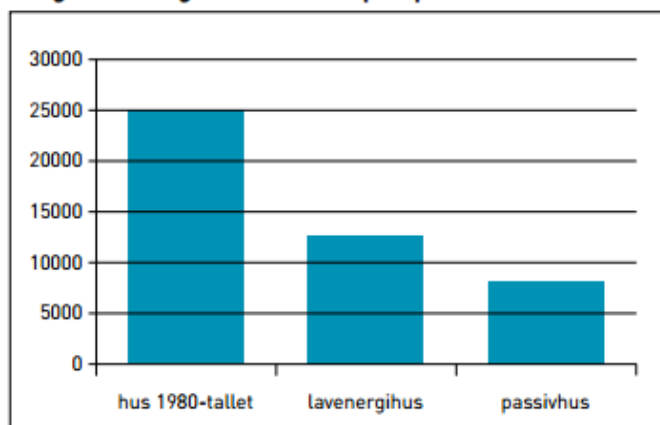
### 3.7.1 LAVENERGIBYGNINGER

Lavenergibygninger blir definert som bygninger med svært lavt oppvarmingsbehov. Ved oppføring av bygg i denne standarden kan energibehovet til oppvarming reduseres med opptil 75% (10). Lavenergibygninger er et mer generelt begrep med strengere krav i standarden til energibehov og energiforsyning enn TEK10, men lavere krav enn eksempelvis passivhus som har en mer satt standard, spesielt internasjonalt (11).

Energieffektive bygninger er den nye normen i bærekraftig bygging der det totale energiforbruket til bygningene skal reduseres og der fornybare energikilder prioriteres. Dette gjøres gjennom å redusere varmetapet samt bruke fornybar energi til å dekke resterende oppvarmingsbehov.

Energisparetakene for lavenergi standarden er i hovedsak svært god isolasjon (tetthet), dette takket være svært lave u-verdier på golv, vegg, tak og vindu. Dette resulterer i redusert oppvarmingsbehov som på sin side vil føre til reduserte oppvarmingsutgifter. (se figur under)

### Årlige strømutgifter ved strømpris på 1 kr:



\* Utgangspunktet er tatt for et gjennomsnittlig forbruk for et hus på 200 kvm. Forbruk til oppvarming og belysning er avhengig av boligarealet. Antall personer og deres alder har mest å si for forbruk av varmtvann, oppvask, klesvask med mer.

[Kilde. [enova.no](http://enova.no)]

Figur 17 Årlige strømpriser ved strømpris på 1 kr

Kriterier for passivhus og lavenergibygninger – Boligbygninger i Norsk Standard, NS 3700;2013 (11). Der passivhus standarden er den strengeste med tanke på energiforbruk, og der lavenergibygninger er delt inn i klasse 1 og 2, der klasse 1 er den strengeste av de to.

Passiv energi design blir beskrevet gjennom Kyoto-pyramiden som er et viktig og nyttig verktøy når man eksempelvis skal prosjektere en lavenergibygning eller et passivhus og er en mal på passiv energi design av boliger (12).

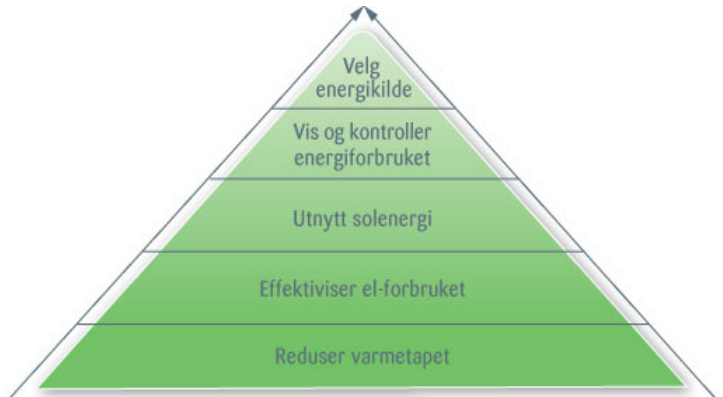
**Trinn 1:** Redusere varmetapet fra boligen mest mulig - arealeffektivitet, ekstra isolasjon og balansert ventilasjon.

**Trinn 2:** Redusere elektrisitetsforbruket til lys og utstyr - energieffektive hvitevarer og belysning.

**Trinn 3:** Utnytt solenergi - utnytt passiv solenergi, solskjerming og eventuelt solfangeranlegg til oppvarming av tappevann.

**Trinn 4:** Vis og kontroller energibruken - enkel og lettforståelig tilbakemelding til beboerne på deres energiforbruk.

**Trinn 5:** Velg effektiv energiforsyning - velg den energikilden som er mest energieffektiv. For eksempel fjernvarme i byene og biobrensel i distriktene.



Figur 18 Kyoto-pyramiden (12)

### 3.7.2 ENERGIMERKING

Energimerking av boliger er en lovpålagt ordning fra 1.juli 2010 der alle nye boliger skal ha en energiattest (Energiattesten består av: *Energimerket* (energikarakter og oppvarmingskarakter), *Målt energibruk*, *Tiltaksliste* og *Sammendraget*).

Hovedpunkter i energiattesten er energikarakteren som er gitt basert på levert energi til bygningen og oppvarmingskarakteren som blir gitt basert på type og andel energiforsyning.

For energikarakteren skal beregningsmetodene beregnes iht. NS 3031.

I eksempelvis en boligblokk får både selve bygget som en helhet en egen energimerking, samt leilighetene (boenhetene) i bygget hver sin energimerking, grunnet ulikt varmetap fra de forskjellige leilighetene.

#### Energikarakter

Energikarakteren gir en samlet vurdering av bygningens/ boenhetens energibehov. Dette basert på behovet ved normalt bruk oppgitt i kWh/m<sup>2</sup>.

Passiv- og lavenergihus ligger henholdsvis på karakter A og B basert på krav i standarden (13).

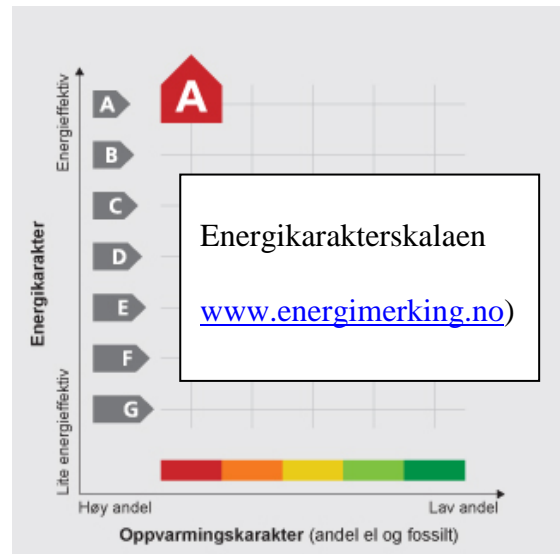
Kravene til energikarakter (A-G) er definert for ulike bygningskategorier (vedlegg 12.13.5)

#### Oppvarmingskarakter

Oppvarmingskarakteren gis etter hvor mye av boligen som kan varmes opp ved hjelp av andre energikilder enn elektrisitet og fossilt brensel. Det vil si bruksandel av fornybar energi.

### 3.7.3 ENERGIBEHOV

Energibehovet til bygninger kan i hovedsak deles inn i to poster. Oppvarmingsbehov og andre formål. Oppvarmingsbehovet er knyttet det lokale klimaet og bygningens byggetekniske egenskaper, mens andre formål gjelder de ymse behovene til brukerne til bygget.



Figur 19 Energimerking

Tabell 2 Høyeste beregnede netto energibehov til oppvarming (kWh/m<sup>2</sup>år)

Høyeste beregnede netto energibehov til oppvarming (kWh/ m <sup>2</sup> år)				
Årsmiddel-temperatur,θym		Bygg med Afl < 250 m <sup>2</sup>	Bygg med Afl < 250 m <sup>2</sup>	TEK 10 boligblokk
≥ 6,3 °C	Klasse 1	$30 + 8 \times \frac{(250 - Afl)}{100}$		30      115
< 6,3 °C	Klasse 1	$30 + 8 \times \frac{(250 - Afl)}{100} + (3,3 + 0,75 \times \frac{(250 - Afl)}{100}) \times (6,3 - \thetaym)$		$30 + 3,3 \times (6,3 - \thetaym)$ 115

Krav til høyeste beregnede netto energibehov til oppvarming (Afl – oppvarmet del av BRA, θym – årsmiddel temperatur) (11)

Netto energibehov: *Er bygningens energibehov uten hensyn til energisystemets virkningsgrad eller tap i energikjeden* (14).



Figur 20 Energibehov (12)

### 3.7.4 ENERGIFORSYNING

For lavenergibygninger er der krav i henhold til NS 3700:2013 at varmesystemet i stor grad kan kunne benytte andre energikilder enn elektrisitet og fossilt brensel.

*Beregnet mengde levert elektrisk og fossil energi skal være mindre enn totalt netto energibehov fratrukket 50% av netto energibehov til varmtvann, som vist i ligning.*

$$E_{del, el} + E_{del, oil} + E_{del, gas} < Et - 0,5 \times QW, nd$$

(11)

### 3.7.5 VARMETAP

Kravene til høyeste varmetapstall hentes fra tabell 2 i NS 3700:2013. Der varmetapstallene gjelder for transmisjons- og infiltrasjonsvarmetap (som inkluderer ventilasjonsvarmetap).

Transmisjonsvarmetap vil si varme som overføres gjennom en bygningsdel eller konstruksjon grunnet oppbygningen og/eller materialer, mens infiltrasjonsvarmetap er luftlekkasjer.

Tabell 3 Varmetapstall for transmisjons- og infiltrasjonstap

		Varmetapstall for transmisjons- og infiltrasjonstap, $H''_{tr,inf}$ W/(m <sup>2</sup> ·K)		
		Boligbygning der $A_{fl} < 100m^2$	Boligbygning der $100m^2 < A_{fl} < 250m^2$	Boligbygning der $A_{fl} \geq 250m^2$
Passivhus		0,53	0,48	0,43
Lavenergi- bygning	Klasse 1	0,7	0,65	0,55
	Klasse 2	0,93	0,83	0,68

### 3.7.6 U-VERDI

Dette er varmegjennomgangskoeffisienten (u-verdi) for en konstruksjon som beskriver den varmeisoleringen evnen i bygningsdeler. Denne verdien definerer mengde varme (W/(m<sup>2</sup>K)) som passerer 1m<sup>2</sup> av en konstruksjon når luften på hver side av konstruksjonen har en temperaturforskjell på en grad celsius eller kelvin (15).

Tabell 4 Minstekrav for bygningsdeler lavenergi og TEK 10

Bygningskomponenter	Lavenergiboliger	TEK 10
U-verdi gulv	0,10-0,12 W/m <sup>2</sup> K	≤ 0,18 W/m <sup>2</sup> K
U-verdi yttervegg	0,15-0,16 W/m <sup>2</sup> K	≤ 0,22 W/m <sup>2</sup> K
U-verdi tak	0,10-0,12 W/m <sup>2</sup> K	≤ 0,18 W/m <sup>2</sup> K
U-verdi vinduer	≤ 1,2 W/m <sup>2</sup> K	≤ 1,20 W/m <sup>2</sup> K
U-verdi dører	≤ 1,2 W/m <sup>2</sup> K	≤ 1,20 W/m <sup>2</sup> K
Normalisert kuldebroverdi, $\Psi''$	≤ 0,05 W/m <sup>2</sup> K	≤ 0,06 W/m <sup>2</sup> K
Virkningsgrad varmegjenvinner	≥ 70 %	≥ 70 %
SFP-faktor ventilasjonsanlegg	≤ 2,0 kW/(m <sup>3</sup> /s)	≤ 2,5 kW/(m <sup>3</sup> /s)
Lekkasjetall ved 50 Pa,n50	≤ 1,0 h <sup>-1</sup>	≤ 1,5 h <sup>-1</sup>

(U-verdiene uttrykkes som gjennomsnitt for bygningsdelen. For glass/vinduer/dører er det inkludert karm/ramme.)  
(2,5)

### 3.7.7 KULDEBROVERDI ( $\Psi$ )

Dette er den lineære varmegjennomgangskoeffisienten og forteller oss tilleggsvarmetap pr. lengdeenhet og pr. temperaturforskjell for den aktuelle kuldebroen oppgitt med benevningen

$W/mK$ . Denne gjelder i hovedsak for bygningsdeler som har lavere isolasjonsevne og varmemotstand grunnet materialvariasjoner i de omliggende bygningsdelene.

### 3.7.8 NORMALISERT KULDEBROVERDI ( $\Psi'$ )

Denne verdien forteller oss summen av varmetapet for alle kuldebroene i et bygg dividert på oppvarmet bruksareal (BRA)

## 3.8 PROGRAMMER

### 3.8.1 THERM

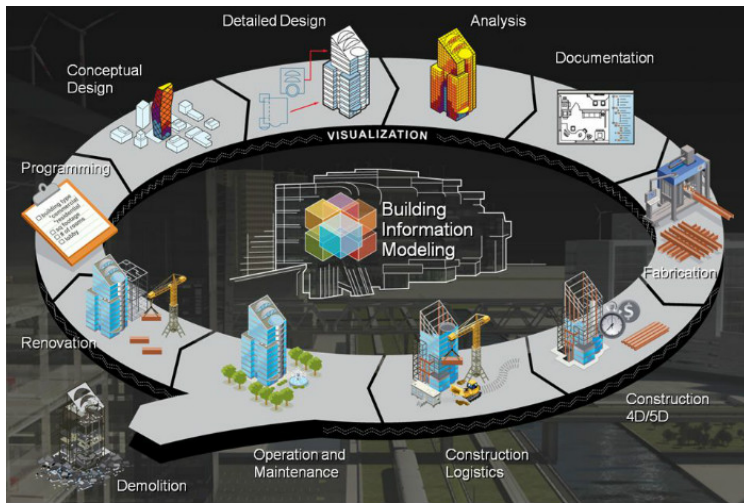
Therm 6.3 er et simulerings program for varmestrøm (u-verdi) gjennom en konstruksjon. Dette gjøres ved at den aktuelle konstruksjonen som ønskes beregnet, tegnes inn 2 dimensjonalt i programmet eksempelvis tverrsnittet til en vegg. De ulike komponentene tegnes inn med ønskede dimensjoner og plassering i forhold til hverandre som da vil danne ulike material sjikt. Herunder homogene sjikt eller sammensatte sjikt.

De ulike komponentene i den 2 dimensjonale figuren gis så parametere for hvilken materialer de skal forestille. I de homogene sjiktene vil de ulike materialenes varmekonduktivitet brukes, mens i de sammensatte sjiktene må man først beregne den prosentvise andelen av de ulike materialene for så definere en varmekonduktivitet på sammensetningen.

Etter material parametrene er gitt, trenger programmet at vi definerer grenser og flater på modellen, såkalt "Boundary Conditions". Det vil si ytre/indre varmeovergangsmotstand til flatene og ute/inne temperatur. Therm vil da ta hensyn til alle disse parametrene i simuleringen og beregner så u-verdien til konstruksjonen, med evt. tilhørende feil margin. Feil marginen er direkte knyttet til den geometriske kompleksiteten til konstruksjonen og øker dess mer kompleks konstruksjonen er.

### 3.8.2 REVIT

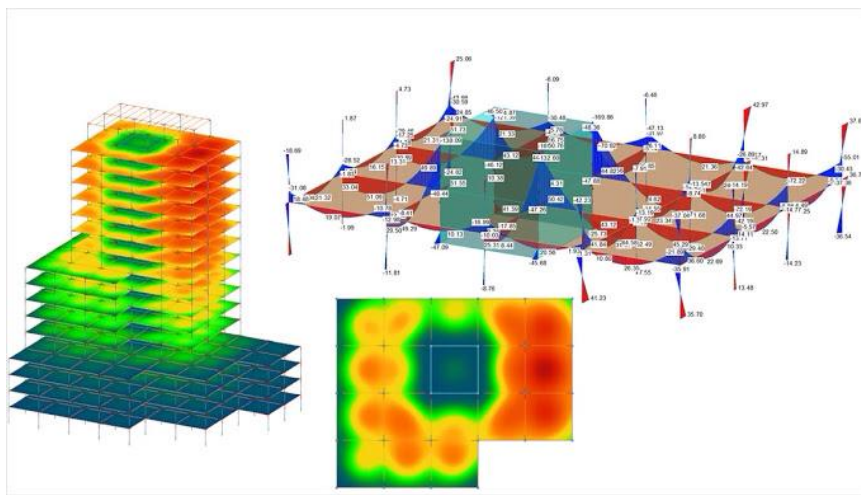
Revit 2015 er Autodesk sitt BIM (Bygning informasjons modell) verktøy for å konstruere objekt baserte 3D modeller i et bygningsprosjekt. Objektene kan inneholde informasjon om volum, pris, material kvalitet mm. «En modell» løser de fleste oppgaver. Revit gjør det mulig at ARK, RIB, RIV(rådgivende ingeniører) osv. samarbeider på den samme modellen som oppdateres gjennom en server. Revit gir brukeren mulighet til å hente ut plan, snitt og utskrift fra en og samme modell. I tillegg kan man generere tabeller med informasjon om de ulike objektene som er brukt i modellen. Oppdateres modellen i et vindu (flyttes en dør) oppdateres de andre vinduene samtidig. Detaljerte tegninger som skal skrives ut berikes med 2D objekt for den aktuelle tegningen. Dette kan for eksempel være påskrift som beskriver hvordan noe skal utføres, eller målsetting. Revit modellen kan lett eksporteres til Robot.



Figur 21BIM modell

### 3.8.3 ROBOT (VERSION: 29.01.15678(x64))

Robot Structural Analysis Professional 2015 (heretter kalt "Robot"). Det ble valgt å benytte Robot da dette programmet "lett" kan integreres mot Revit om man modellerer riktig i Revit fra starten. Robot er et rent beregningsverktøy for styrkebergeling, vindsimulering og jordskjelv simulering ved hjelp av finn element modellering. Mulighetene er mange i denne programvaren. Det benyttes i denne oppgave to deler av softwaren, for å modellere bygg og 2D rammer. 2D rammer benyttes i hovedsak for å verifisere forståelsen av hva programvaren sier til oss. "Svarene" som Robot gir i 2D blir sammenlignet med håndberegning og Frame (16).

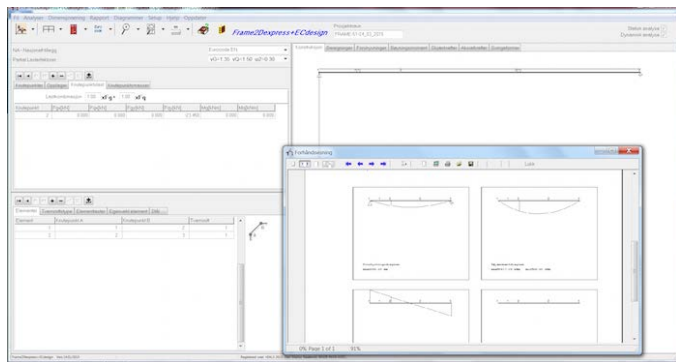


Figur 22 Illustrasjonsbilde fra Robot

### 3.8.3

## FRAME2DEXPRESS

Frame er et program for statisk og dynamisk analyse av 2-dimensjonale rammestrukturer. Programmet utfører beregninger av interne krefter og produserer diagrammer for forskyvninger, bøyningsmoment, skjærkrekter og aksialkrester. Programmet er utviklet for å være enkelt å bruke (17).



Figur 23 Illustrasjonsbilde fra Frame

## 4 KARAKTERISTISKE LASTER PÅ KONSTRUKSJONEN

### 4.1 VERTIKALLASTER

#### 4.1.1 EGENLAST

Tabell 5 Egenlast på konstruksjonselementer

Konstruksjonsdel	Egenlast $kN/m^2$
Lett-tak	0,65
Kompakt tak	4,31
Veranda	6,56
Dekke mellom boenheter	6,47
Dekke mellom bolig og garasje	6,57
Dekke mellom garasje	5,20
TV1 (Yttervegg av I-profiler)	0,63
BV1 (betongvegg i K01, tykkelse 0,25 m)	6,30
BV2 (betongvegg i U01, tykkelse 0,2 m)	5,13
BV3 (betongvegg i U01-H07, tykkelse 0,2 m)	5,31

Utrengning av egenlast på alle de forskjellige konstruksjonselementene er utregnet i Excel og ligger som vedlegg 12.5 Egenvekt på komponenter. (18)

#### 4.1.2 NYTTELAST

Tabell 6 Karakteristiske nyttelaster på gulv (19)

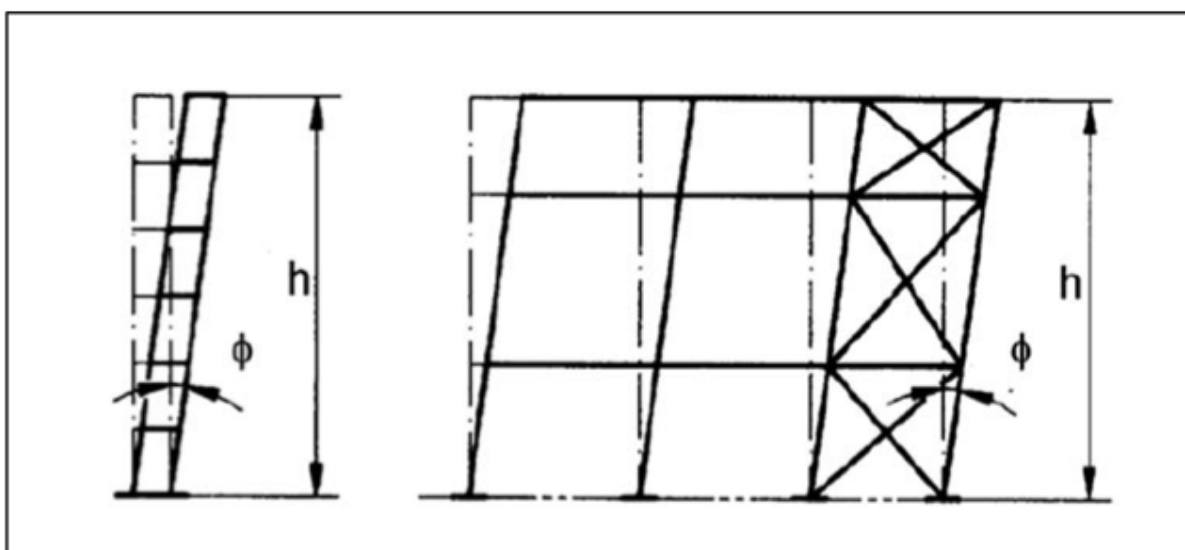
Kategori	Bruk	Eksempler	$q_k (kN/m^2)$	$Q_k (kN)$
A	Arealer for inneaktiviteter og hjemmeaktiviteter	Rom i boligbygg		
		Golv	2,0	2,0
		Trapper	3,0	2,0
		Balkonger	4,0	2,0
F	Parkeringsarealer for lette kjøretøy (mindre enn 30 kN)	Garasje, parkeringsarealer, parkeringshus	2,5	20

## 4.2 HORISONTALLASTER

### 4.2.1 SKJEVSTILLINGSLAST

Skjevstillingsslask skyldes avvik i geometri og materialegenskaper. Den står beskrevet i Eurocode 3 punkt 5.3.2-3 (20)og vedlegg 12.8). Startverdien for global skjevstilling benytter en basisverdi, som multipliseres med reduksjonsfaktor for høyde gjeldende for søyler og reduksjonsfaktor for antall søyler i en rad.

Denne startverdien ( $\phi$ ) multipliseres med de vertikale lastene på konstruksjonen. Se vedlegg 12.8 for utregning av skjevstillingsslask.



Figur 24 Skjevstillingsslask (20)

### 4.2.2 JORDSKJELVLAST

Alle laster er beregnet etter gjeldene regelverk og tilfredstiller NS-EN 1998-1:2004+NA 2008.

Egenlast

Beskrivelse	Symbol	Verdi $kN/m^2$
Påfort egenvekt	$G_{k,påf}$	6.47
Tettheten til betong	$\rho_{betong}$	25.0

## Karakteristiske verdier for betong av kvalitet B35

Beskrivelse	Symbol	Verdi $N/mm^2$
Trykkfasthet	$f_{ck}$	35
Elastisitetsmodul	$E_{cm}$	34000
Middelverdi av aksiel strekkfasthet	$f_{ctm}$	3.2

Lastkombinasjon

NS-EN 1990

$$\gamma_f = 1 \text{ i ulykkesgrensetilstanden}$$

$$E_d = \sum G_{k,i} + \gamma_1 A_{Ek} + \sum \psi_{2,i} Q_{k,i}$$

Seismisk situasjonen

NS-EN 1998-1 punkt 3.2.4

$$\sum G_{k,i} + \sum \psi_{E,i} Q_{k,i}$$

Justeringsfaktor for kombinasjoner av den påvirkningen  $\psi_{E,i}$

$$\psi_{E,i} = \varphi_i \psi_{2,i}$$

Faktor for tilnærmet permanent verdi av variabel last i ulykkesgrensetilstanden

Situasjon	$\psi_{2,nytte}$	$\psi_{2,snø}$
Seismisk	0,3	0,2

Verdier for skalaren  $\varphi$

Etasje i	$\varphi_i$
1-8	1.0

## 4.3 NATURLASTER

### 4.3.1 SNØLAST

Fremgangsmåten for å finne frem til snølast på tak, er beskrevet i Eurokode 1: Laster på konstruksjoner. Del 1-3: Allmenne laster, snølast. (21)

$S = 2,4 \text{ kN/m}^2$  (snølast på tak per  $\text{m}^2$  horisontalprojeksjon) Se vedlegg 12.6 for utregning

### 4.3.2 VINDLAST

Vindlasten er beregnet etter kompendium i lastberegning (19) og på bakgrunn fra Eurokode 1: Laster på konstruksjoner: Del 1-4: Allmenne laster, vindlast. (22)

Det ble benyttet en forenklet metode til å regne ut vindlast (19). Referansevindhastighet, konstruksjonens utforming og lokalisering i terrenget er benyttet i utregningene.

Det er delt i en sone i y-retning og to soner i x-retning grunnet form på konstruksjonen.(vedlegg 12.7 figur 2)

Vindretning fra Y-retning:

Sone 1: Hastighetstrykk  $q_p = 1,502 \text{ kN/m}^2$

Vindretning fra X-retning:

Sone 1: Hastighetstrykk  $q_p = 1110 \text{ N/m}^2$

Sone 2: Hastighetstrykk  $q_p = 1312 \text{ N/m}^2$

Se vedlegg 12.7 for beregning.

### 4.3.3 VINDLAST I ROBOT

Ut i fra hastighetstrykk har vi regnet om vindlasten til linjelast på dekkene som er lagt inn i robotmodellen. Se vedlegg 12.7 for utregning.



5



Figur 25 Vind som linjelast i X-retning

Figur 26 Vind som linjelast i Y-retning

## DIMENSJONERING AV BÆRESYSTEMET

Robot er brukt som dimensjonerings verktøy, det gir mulighet til å hente data som beregninger, rapporter og arbeidstegning til alle bygningselementene i 3D-modellen.

### 5.1 FORUTSETNINGER OG DIMENSJONERINGSGRUNNLAG

#### 5.1.1 PÅLITELIGHETSKLASSE

Tabell 7 NA.A1 (901) - Veiledende eksempler for klassifisering av byggverk, konstruksjoner og konstruksjonsdeler

Veiledende eksempler for klassifisering av byggverk, konstruksjoner og konstruksjonsdeler	Pålitelighetsklasse (CC/RC)			
	1	2	3	4
Atomreaktor, lager for radioaktivt avfall				x
Dammer			x	(x)
Marine konstruksjoner for petroleumsindustrien			x	(x)
Grunn- og fundamentearbeider og undergrunnsanlegg i kompliserte tilfeller	(x)	x	(x)	
Veg- og jernbanebruer			x	
Byggverk med store ansamlinger av mennesker (tribuner, kinosaler, sportshall, kjøpesentre, forsamlingslokaler, osv.)	(x)	x		
Kai- og havneanlegg		x	(x)	
Tårn, master, skorsteiner, siloer		x	(x)	
Industrianlegg		x	(x)	
<b>Kontor- og forretningsbygg, skoler, institusjonsbygg, boligbygg</b>		x	(x)	
Fiskerihavner og –anlegg	(x)	x		
Landbruksbygg	x	(x)		
Feste av kledninger, taktekking og lignende komponenter	x	(x)		
Grunn- og fundamentearbeider og undergrunnsanlegg ved enkle oversiktlige grunnforhold	x	(x)		
Småhus, rekkehus, mindre lagerhus osv.	x			
Kaier og fortøyningsanlegg for sport og fritid	x			
Ved vurdering av pålitelighetsklasse for grunn- og fundamentearbeider og undergrunnsanlegg skal det også tas hensyn til omkringliggende områder og byggverk				

Bygget er i pålitelighetsklasse 3 så det blir ingen reduksjon med faktoren  $k_{Fi}$  ( $k_{Fi} = 1,0$ )

## 5.1.2 KONTROLLKLASSE

Tabell 8 Kontrollklasse (315)

Pålitelighetsklasse (CC/RC)	Kontrollklasse
1	B (begrenset)
2	N (normal)
3	U (utvidet)
4	Skal spesifiseres

## 5.2 GRENSETILSTANDER

Etter NS-EN 1990 er grensetilstander definert til *tilstander som definerer grensene for når konstruksjonen ikke lenger oppfyller fastsatte dimensjoneringskriterier* (23). Denne oppgaven skal påvise at dimensjonering og beregning av konstruksjonen tilfredsstiller dimensjoneringsreglene krav til bruddgrensetilstand og bruksgrensetilstand

### 5.2.1 BRUDDGRENSETILSTAND (ULS – ULTIMATE LIMIT STATE)

Benyttes for å kontrollere konstruksjonens kapasitet mot brudd. Dette med de mest ugunstige lastvirkningene som kan føre til brudd, eller forskyvninger som kan sammenliknes med brudd (19).

Tabell 9 Forenklet NA:A1.2(B) - Dimensjonerende verdier for laster i bruddgrensetilstanden (315)

Dimensjonerings situasjoner	Permanente laster		Dominerende variabel last	Øvrige variable laster
	Ugunstig	Gunstig	$Q_{k,1}$	$Q_{k,i}$
	$\gamma_{Gj,sup}$	$\gamma_{Gj,inf}$	$\gamma_{Q1}\varphi_{0,1}$	$\gamma_{Qi}\varphi_{0,1}$
(Ligning 6.10a)	1,35	1,0	1,05	1,05(0,90)
(Ligning 6.10b)	1,2	1,0	1,50	1,05(0,90)

### 5.2.2 BRUKSGRENSETILSTAND (SLS – SERVICEABILITY LIMIT STATE)

Bruksgrensetilstanden brukes til å kontrollere konstruksjonens tilfredsstillelse av krav til formål og bruk (funksjonsdyktighet) (19).

Tabell 10 Lastfaktorer  $\gamma$  inkludert  $\psi$  – faktorer for bruksgrensetilstanden (304)

Lastkombinasjoner	Permanente laster	Dominerende last	Øvrige variable laster
	$\gamma_{Gj}$	$\gamma_{Q1}$	$\gamma_i$
Karakteristisk	1,0	1,0	0,7
Ofte forekommende	1,0	0,7	0,6
Tilnærmet permanent	1,0	0,6	0,6

### 5.2.3 $\Psi$ -FAKTOR

Tabell 11 NA.A1.1 – Verdier for  $\psi$ -faktorer for bygninger (23)

Last	$\psi_0$	$\psi_1$	$\psi_2$
Nyttelastkategori i bygninger (NS-EN1991-1-1)			
Kategori A: bolig	0,7	0,5	0,3
Kategori B: kontorer	0,7	0,5	0,3
Kategori C: forsamlingslokaler, møterom	0,7	0,7	0,6
Kategori D: butikker	0,7	0,7	0,6
Kategori E: lager	1,0	0,9	0,8
Kategori F: trafikk- og parkeringsarealer for små kjøretøyer	0,7	0,7	0,6
Kategori G: trafikk- og parkeringsarealer for mellomstore kjøretøyer	0,7	0,5	0,3
Kategori H: tak	0,0	0	0
Snølaster (NS-EN 1991-1-3)	0,7	0,5	0,2
Vindlaster (NS-EN 1991-1-4)	0,6	0,2	0
Temperatur i bygninger (NS-EN 1991-1-5)	0,6	0,5	0

### 5.2.4 LASTKOMBINASJONER I ROBOT

Robotmodellen benytter mange forskjellige kombinasjoner i henhold til NS EN 1990:2002/NA:2008. Det ble valgt å se bort fra brann i robotmodellen.

Tabell 12 Lite utdrag fra automatisk genererte kombinasjoner i Robot

Combinations/Comp.	Definition
ULS/ 1	1*1.35 + 2*1.05 + 3*1.05 + 4*1.05
ULS/ 2	1*1.35 + 2*1.05 + 3*1.05
ULS/ 3	1*1.35 + 2*1.05 + 3*1.05 + 4*1.05 + 31*0.90
ULS/ 4	1*1.35 + 2*1.05 + 3*1.05 + 31*0.90
ULS/ 5	1*1.35 + 2*1.05 + 3*1.05 + 4*1.05 + 32*0.90
ULS/ 6	1*1.35 + 2*1.05 + 3*1.05 + 32*0.90
ULS/ 7	1*1.35 + 2*1.05 + 4*1.05
ULS/ 8	1*1.35 + 2*1.05
ULS/ 9	1*1.35 + 2*1.05 + 4*1.05 + 31*0.90
ULS/ 10	1*1.35 + 2*1.05 + 31*0.90

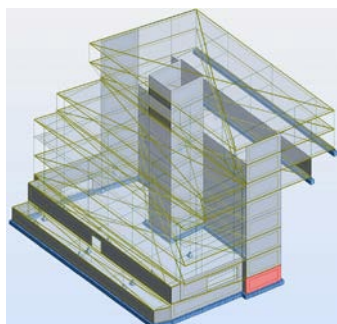
### 5.3 FUNDAMENT/P-ANLEGG OG BETONGVEGG

Plasstøpt betong direkte på fjell er utgangspunktet for våre beregninger i robot. Lastene som skal tas opp i fundamentene og veggene er fra beregninger i robot. Den norske standarden er ikke lagt til i robot for vegg og fundament. Fra autodesk forum ble det fortalt at ved å legge til NF EN 1992-1-1/NA:2007 (fransk eurokode 2) kunne det hentes ut beregninger fra robot.

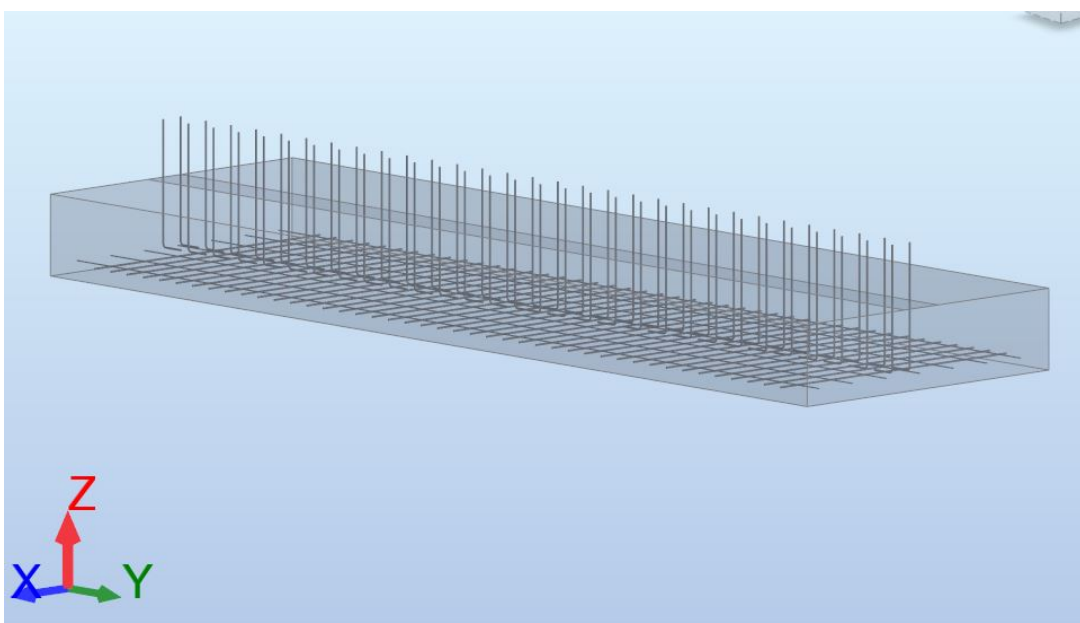
Beregningene er uten tillegg som er med i den norske standarden, men de er etter eurokode 2.

### 5.3.1 VEGGFUNDAMENT

Det er hentet ut veggfundamentet med størst påkjenning. Dette er fundamentet til veggskivene i y-retning i akse 8. Fra robot er det hentet ut nødvendig veggfundament med armering. Se vedlegg 12.11.1 for begninger, arbeidstegning og rapport fra robot



Figur 27 Plassering av vegg over fundament i 3D-modell



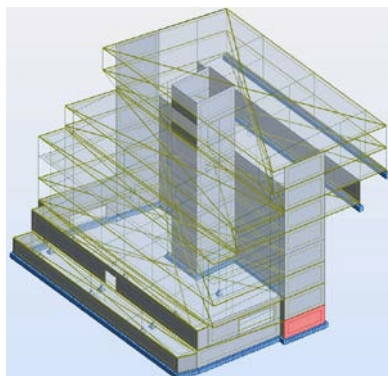
Figur 28 3D-modell av armering

Tabell 13 Oversikt over armering i fundament

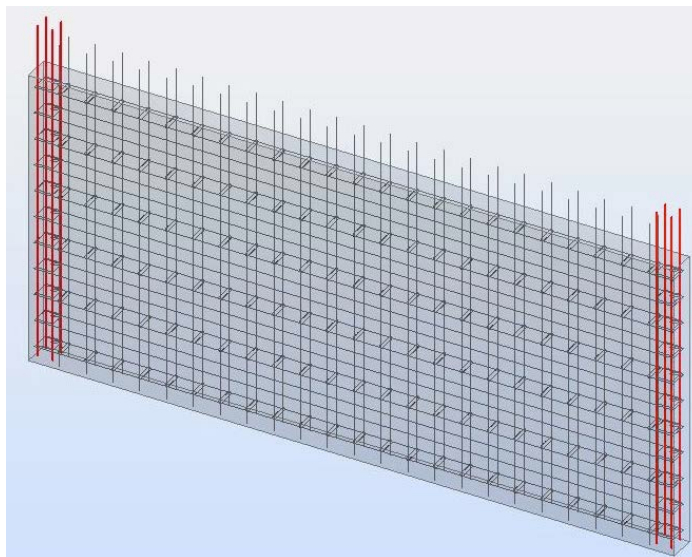
	No.	Reinforcement Type	Steel Grade	Diameter (mm)	Shape Code	Number	(m)
1	1	dowel bar	B500C	12	00	60	A = 0,7
2	2	bottom in the X direction	B500C	12	00	43	A = 1,6
3	3	bottom in the Y direction	B500C	8	00	7	A = 5,9
*							

### 5.3.2 BETONGVEGG

I denne oppgaven er det hentet ut betongveggen med størst påkjenning. Dette er nederste del av veggskiven i y-retning, akse 8 i etasje K01. Veggens definert som 250mm armert betongvegg med betongklasse B35. Fra Robot er det hentet ut nødvendig armering på veggens. Se vedlegg 12.11.2 for beregninger, rapport og arbeidstegning fra Robot.



Figur 29 Plassering av vegg i 3D-modell



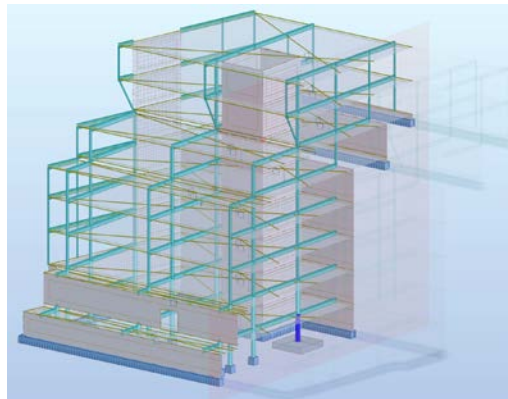
Figur 30 3D-modell av veggarmering

Tabell 14 Oversikt over armering i vegg

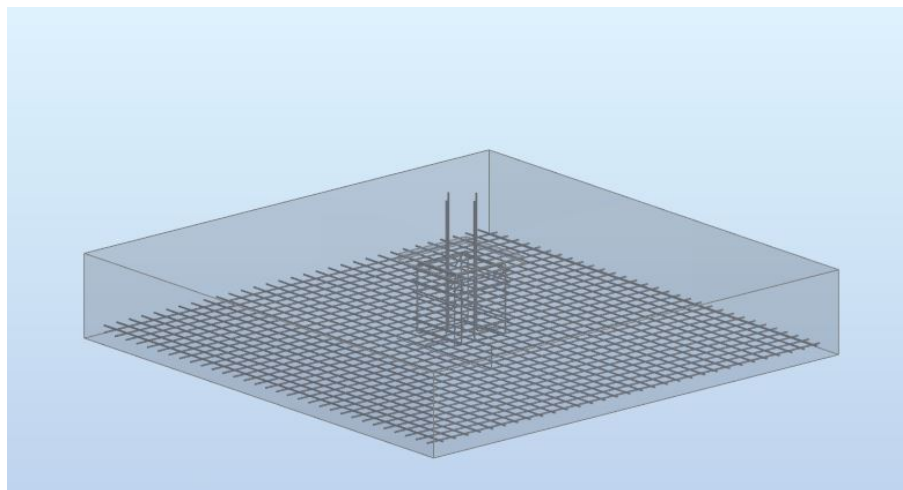
	No.	Reinforcement Type	Steel Grade	Diameter (mm)	Shape Code	Number	(m)	(m)	(m)	(m)
1	1	main - U bars	B500C	8	21	22	A = 0,4	B = 0,1	C = 0,4	
2	2	horizontal-main	B500C	8		22				
3	3	vertical.main	B500C	8		46				
4	4	Edge longitudinal	B500C	10		8				
5	5	Edge transversal	B500C	8	31	56	A = 0,1	B = 0,1	C = 0,1	D = 0,1
6	6	Pins	B500C	8	00	138	A = 0,1			
*										

### 5.3.3 SØYLEFUNDAMENT

Søylefundamentet til søylen med den største lasten er hentet ut fra robot, med nødvendig tverrsnitt og armering. Fundamentet ligger i K01 akse F13. Se vedlegg 12.11.3 for beregninger, rapport og arbeidstegning fra Robot.



Figur 31 Plassering av søylefundament i 3D-modell



Figur 32 3D-modell av søylefundament

Tabell 15 Oversikt over armering i søylefundament

No.	Reinforcement Type	Steel Grade	Diameter (mm)	Shape Code	Number	(m)	(m)	(m)	(m)
1	dowel bar	B500C	16	00	4	A = 1,0			
2	<different value>	B500C	16	00	62	A = 3,7			
3	transversal	B500C	14	31	4	A = 0,5	B = 0,5	C = 0,5	D = 0,5
4	transversal	B500C	12	31	2	A = 0,5	B = 0,5	C = 0,5	D = 0,5
5	transversal	B500C	12	31	2	A = 0,5	B = 0,5	C = 0,5	D = 0,5
*									

## 5.4 DEKKE

Valg av dekke er i denne oppgaven på bakgrunn av fokus mot jordskjelv beregning og lange spenn. Lav vekt er en viktig faktor i jordskjelv beregning. Hulldekke kan oppnå lange spenn og har lavere vekt i forhold til styrke og stivhet enn plaststøpt betong, og er derfor valgt dekke.

### 5.4.1 HULLDEKKER

Hulldekkene blir dimensjonert ut i fra et spenn på 10 meter som er byggets største spennvidde. Tre forskjellige nyttelaster og egenlaster blir benyttet (veranda, bolig og garasje)

Tabell 16 Norelement

Bruk	Spennvidde	NytTELAST	PÅført egenlast	Total last	Avlest last	HD
veranda	10	4	2,6	6,6	8,0	265
Bolig	10	2	2,5	4,5	8,0	265
Garasje	10	2,5	1,6	4,1	8,0	265

Avlest last fra vedlegg 12.9 tabell 1 (24)

Tabell 17 Spenncon

Bruk	Spennvidde	NytTELAST	PÅført egenlast	Total last	Avlest last	HD	Spenntau
veranda	10	4	2,6	6,6	6,8	265	8
Bolig	10	2	2,5	4,5	4,5	265	6
Garasje	10	2,5	1,6	4,1	4,5	265	6

Avlest last fra vedlegg 12.9 tabell 2 (25)

HD-265 blir valgt til dekke i alle etasjene. Ved bruk av Spenncon hulldekke elementer er det mulig å redusere spenntau (armering i hulldekke) fra 8 til 6 på dekke som blir benyttet til bolig og garasje.

## 5.5 BJELKER

Bjelke ble valgt etter krav om å oppnå et spenn på opptil 7 m og ha en så liten som mulig dekke-til-dekke høyde. Etter møte med veileder og oppdragsgiver kom forslaget om å prøve deltabjelken.



Figur 33 Deltabjelken (26)

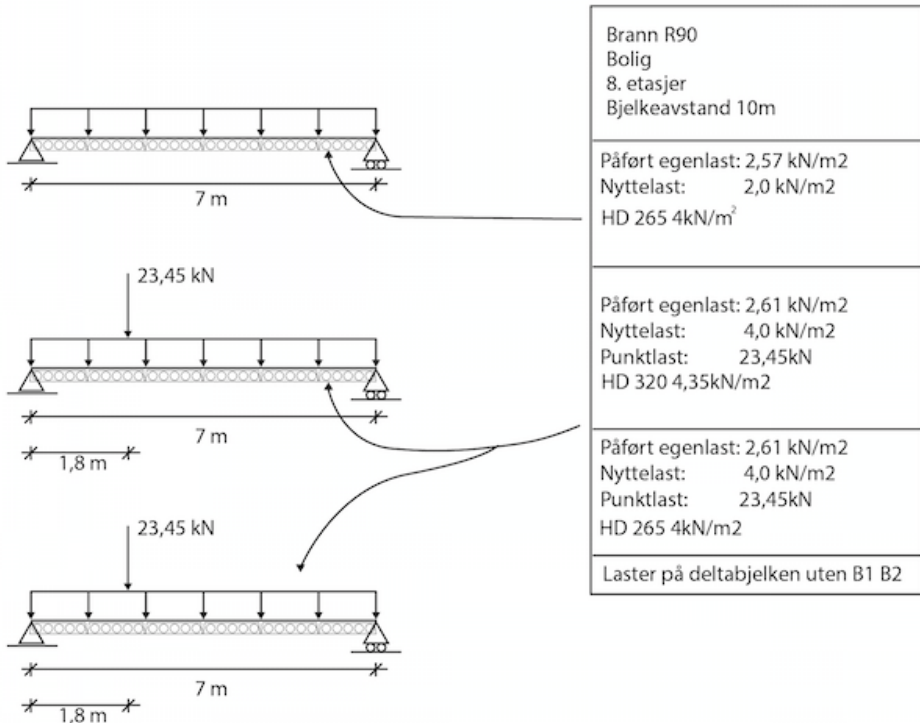
Etter positiv tilbakemelding fra Morten Evensen i Peikko (leverandør av deltabjelken) falt valget på å benytte deltabjelken (26).

### 5.5.1 DIMENSJONERENDE LASTVIRKNING FOR BJELKE

Stålbjelkene er dimensjonert etter en lengde på 7 meter og en bjelkeavstand på 10 meter, da dette er dimensjonerende. Det er satt to forskjellige belastninger som dimensjonerende, veranda- og boligdekke. Dette for å øke utnyttelsen av dem. På bjelken under verandadekke er lagt til en punktlast som skal utgjøre samme tyngde innspenningsveggen i H05 akse D-F får på bjelken.

Tabell 18 Brannkrav og belastninger vi sendte til Peikko

Bjelke	HD	Påført egenlast kN/m <sup>2</sup>	Nyttelast kN/m <sup>2</sup>	Punktlast kN (se tegning)	Brannmotstand
1 (Bolig)	265	2,57	2	0	R90
2 (veranda)	320	2,61	4	23,45	R90
3 (veranda)	265	2,61	4	23,45	R90



Figur 34 Illustrasjonsbilde av laster på bjelkene

Det er ikke tatt med arealreduksjon på disse beregningene, men i vedlegg 12.10.4 laster på bjelker med arealreduksjon er det tatt med. Av disse resultatene ser vi at stålbjelkene som er dimensjonerende har en arealreduksjon på 0,7. Det fører til at nyttelasten på bjelke 1 blir redusert fra 2 til 1,4 kN/m<sup>2</sup> og bjelke 2 og 3 blir redusert fra 4 til 2,8 kN/m<sup>2</sup>. Det benyttes ikke arealreduksjon på bjelkene i denne oppgaven, da det var nok kapasitet med de valgte bjelkene. Reduksjonen fører bare til litt mindre utnyttelse av bjelkene.

### 5.5.2 VALGT PROFIL

Morten Evensen var behjelpeelig og leverte beregningene kort tid etter at de nødvendige dataene var sendt over.

Til bjelke 1 blir det benyttet en D26-400-30/20 (bolig- og taketasje)

Til bjelke 2 blir det benyttet en D26-500-25/20 (Veranda- og garasjeetasje)

Bjelke 3 var bare et forslag hvis bjelke 2 ikke klarte belastningene med en bjelkehøyde som passet til HD-265 dekke. Det klarte den fint, så denne blir ikke benyttet.

For fullstendig beregning fra Peikko se vedlegg 12.10.1 for beregninger fra Peikko

### 5.5.3 VALG AV BJELKE I ROBOT

Det blir benyttet Delta bjelken D26400 og D26500 til bjelker i dette prosjekt. Da disse ikke er tilgjengelige i Robot ble det brukt noen som hadde tilnærmede like egenskaper. Ut i fra utvalget i Robot falt valget på HEB bjelker, som klarte bruddgrense kriteriene og ga tilnærmet lik nedbøyning i bruksgrense kriteriet. Det ble også sammenlignet med Frame.

Etter utregninger ble det valgt HEB 400 for D26400 og HEB 450 for D26500. Se vedlegg 12.10.2 for beregning av bruksgrense i Robot og 12.10.3 for beregning av bruksgrense i Frame.

Tabell 19 Sammenligninger mellom HEB og deltabjelken

Bjelke	Nedbøyning i bruksgrense	Robot	Frame	Nedbøyning av deltabjelke i bruksgrense
HEB 400	22	x		18
HEB 400	22		x	18
HEB 450	20	x		20
HEB 450	20		x	20

### 5.6.5 BRUKSGRENSE

Nedbøyning av bjelke i z-retning:

$\delta$  største tillatte nedbøyning

$$\delta < \frac{L}{300} \quad L = 7m$$

$$\frac{L}{300} = 23,33 \text{ mm} > 20\text{mm og } 18\text{mm (deltabjelke D26500 og D26400)}$$

## 5.6 SØYLER

### 5.6.1 VALG AV MATERIALE

Kombinasjon av betong- og stålsøyler er benyttet i denne oppgave.

Søyler i betong passer ekstra godt i såkalte «aggressive» miljøer, som for eksempel i parkeringshus, hvor betongens holdbarhet og slitestyrke er en stor fordel. Betongsøyler blir derfor benyttet i K01 og U01 da disse etasjene blir benyttet til parkering.

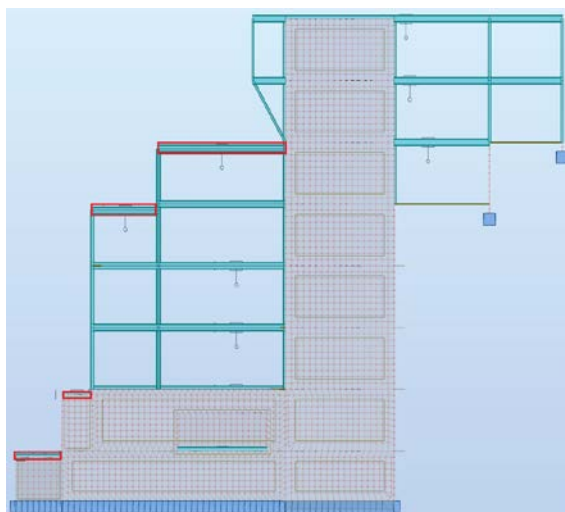
Lavenergikravet om minimalt med kuldebro førte til at hovedbæresystemet blir flyttet på innsiden av bygningskallet. Grunnet relativt store tverrsnitt på betongsøylene benyttes stålsøyler i resten av bygget, for å unngå unødvendig mye tap av boligareal. Tidsbesparelse ved montering er også en viktig faktor for valget av stålsøyler.

### 5.6.2 PLASSERING

Dette prosjektet satte noen begrensninger for plassering av søyler:

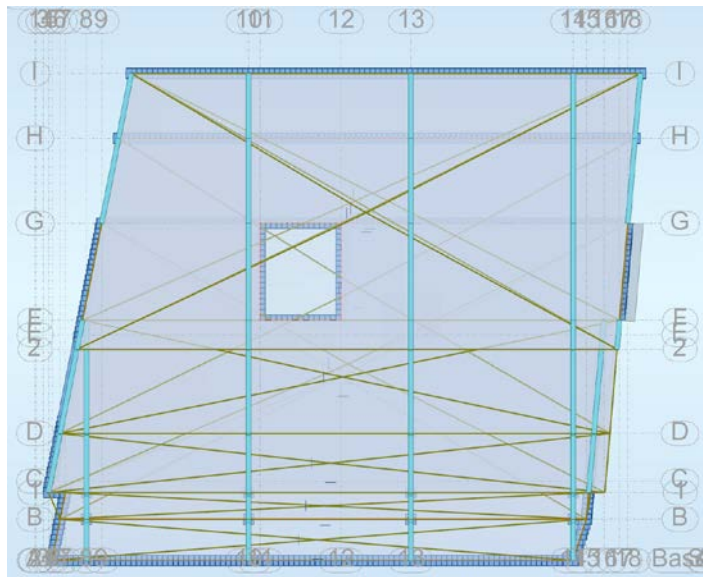
- 7 m fri kjøre bane i parkeringskjeller (x-retning)
- Inntappingene i bygningsformen
- Lavenergikrav (kuldebro)

For å klare å unngå kuldebro på takverandaene er det valgt en løsning hvor søyleradene går i y-retning. Da kan verandadekkene senkes i forhold til boligdekkene for gi plass til nødvendig isolasjon. Dette fører til at ferdig takveranda vil få samme høyde på gulv som innvendig parkett. Avstanden mellom søylene i y-retning er noe låst. Det største spennet er på 7 m for å tilfredsstille kravet om fri kjørebane i kjeller, de andre søylene er plassert for å effektivt lede kreftene fra inntappingene ned til fundament.



Figur 35 Nedsenket veranda i Robot-modell

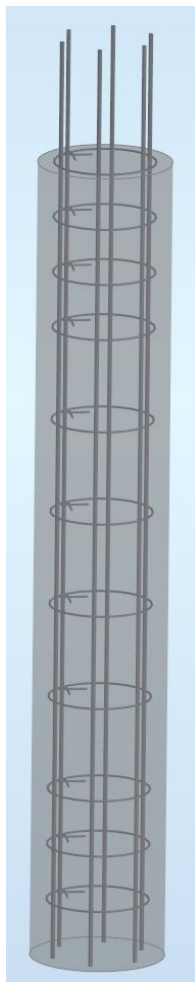
Plassering i søyler i x-retning er satt til 10 m for å få like lengder på HD-elementene. Dette vil bidra til en raskere og enklere montasje av dekkene. I tillegg er det en ekstra søylerad i hver ende av bygget, dette er et resultat av at byggets utforming.



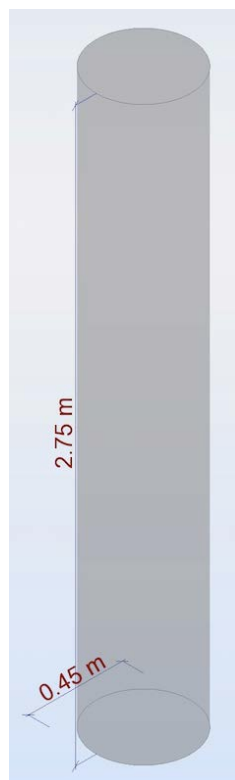
Figur 36 Plassering av bjelker å søyler i Robot-modell

## 5.7 BETONGSØYLER

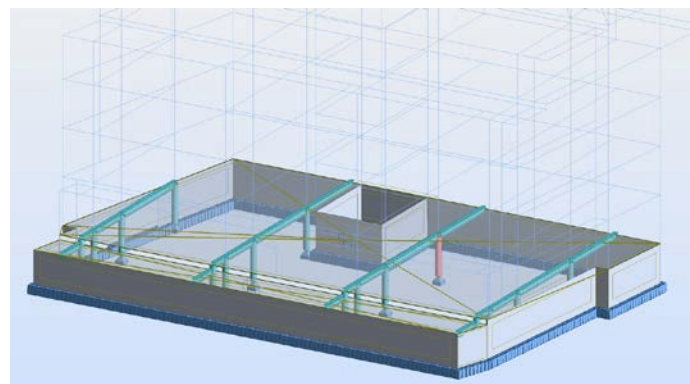
Det er hentet ut betongsøylen med størst påkjenning, den ligger i akse F13 i K01. Den er definert som en 450mm betongsøyle med betongklasse B35, fra robot er det hentet ut nødvendig armering på søylen. Se vedlegg 12.12.1 for beregninger, rapport og arbeidstegning av denne søylen.



Figur 37 3D-modell  
av armering i søyle



Figur 39 3D-modell av  
søyle



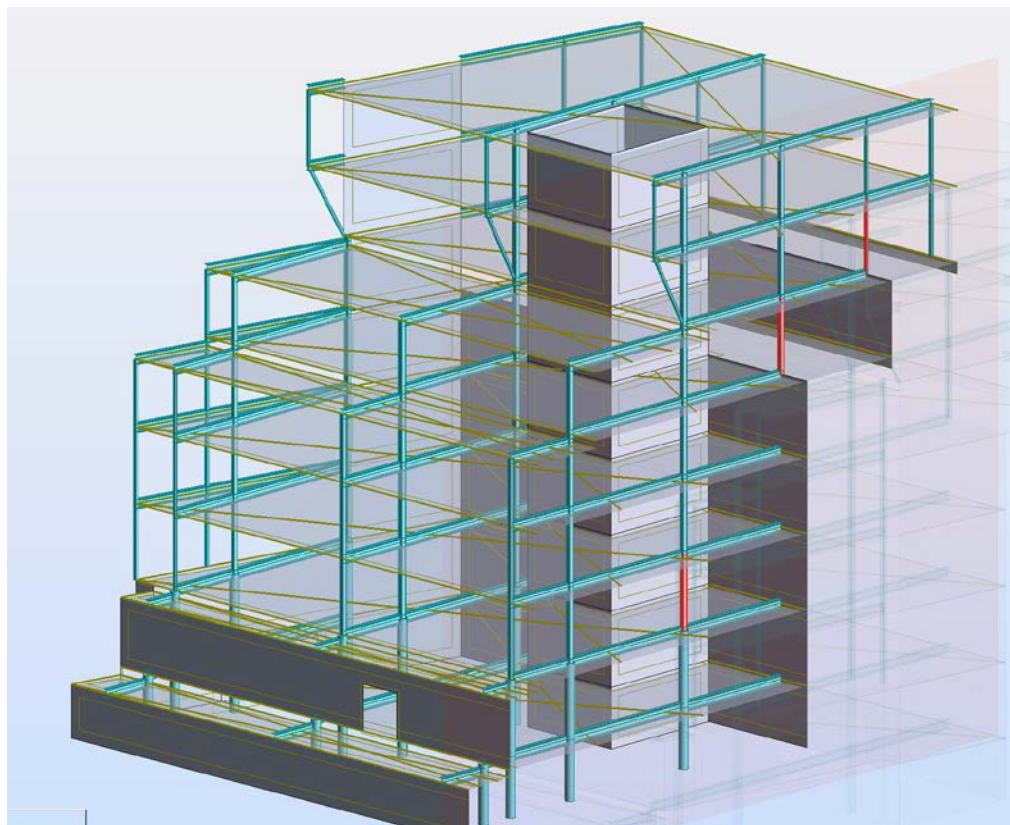
Figur 38 Plassering av søyle i 3D-modell

Tabell 20 Armering av betongsøyle

	No.	Reinforcement Type	Steel Grade	Diameter (mm)	Shape Code	Number	(m)
1	1	main	B500C	16	00	6	A = 3,1
2	2	transversal	B500C	8		11	
*							

## 5.8 STÅLSØYLER

Det er benyttet tre forskjellige størrelser på tverrsnitt av stålsøylene for å øke utnyttelsen. RHS 140X140X8, 200X200X8 og 250X250X12,5. Søylen med størst utnyttelse til hver av de forskjellige tverrsnittene er hentet ut fra Robot. Se vedlegg 12.12.2 for beregninger og rapport. Søylene er markert med rødt i figur 34.



Figur 40 Plassering av de stålsøylene med størst utnyttelse i 3D-modellen

Tabell 21 Utnyttelse av søyler

Søyle nr	Dimensjon (mm)	Utnyttelse (%)	Etasje	Akse
218	140X140X8	83	H05	H13
206	200X200X8	79	H04	G13
94	250X250X12,5	76	H01	F13

## 5.9 TAK KONSTRUKSJON

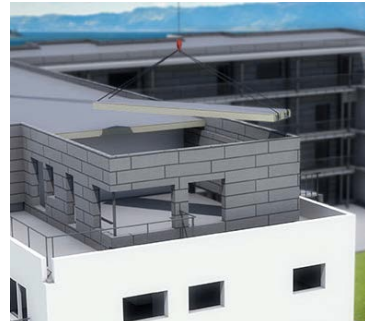
For å finne den beste løsningen er det vurdert to alternativer. Lett-tak element og kompakttak på hulldekke. Disse ble vurdert i forhold til:

- Egenlast
- Byggetid
- Levetid
- U-verdi

Fra arkitektens synspunkt vil det ikke ha noe forskjell av betydning hvilken løsning man velger.

### Alternativ 1: Lett-tak elementer

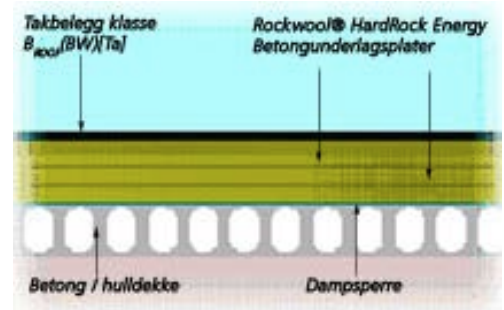
- Egenlast:  $0,65 \text{ kN/m}^2$
- Byggetid: opp til  $1200 \text{ m}^2$  ferdig tak per dag
- Levetid: Kommer an på hvilken type tekking
- U-verdi:  $0,10 \text{ W/m}^2\text{K}$  på valgt element



Figur 41 Illustrasjonsbilde av lett-tak

### Alternativ 2: Kompakt tak på hulldekke

- Egenlast:  $4,307 \text{ kN/m}^2$
- Byggetid: En dag legging og fusing av hulldekke, så kommer isolering og tekking av dekke i tillegg.
- Levetid: Kommer an på hvilken type tekking
- U-verdi:  $0,10 \text{ W/m}^2\text{K}$  på valgt løsning



Figur 42 Eksempel på kompakt tak

### 5.9.1 VALG AV KONSTRUKSJONSTYPE

For å velge løsning er det flere hensyn som må tas, som for eksempel pris per  $\text{m}^2$ . Med de kriteriene som er tatt hensyn til er det lett-tak som er den mest gunstige løsningen. U-verdi og levetid vil være det samme på begge løsningene, men man har klare fordeler med både byggetid og egenvekt på lett-tak. Det å få tett tak samme dag som man starter montering av takelementer er en stor fordel, spesielt på Vestlandet hvor været kan være mye regn til tider.

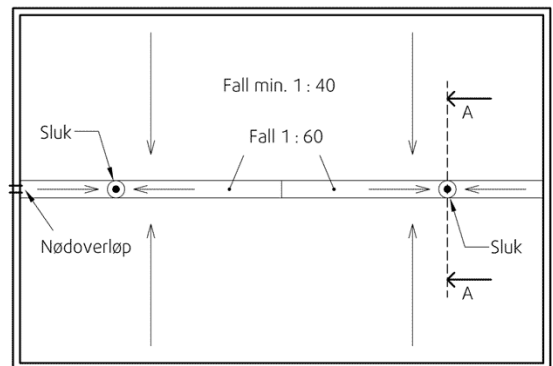
Lett-tak sammenlignet med kompakt tak, reduserer totalvekten til taket med ca 1500 kN, noe som fører til store fordeler med tanke på jordskjelv beregninger og vertikalbelastninger.

### 5.9.2 FALL PÅ TAKKONSTRUKSJONEN

Fall på takkonstruksjonen løses forskjellig på de to alternativene.

Hulldekke med kompakttak:

Fallet bygges opp med skråskårne plater av polystyren eller mineralull, som tosidig fall mot renne som har fall mot sluk. Denne løsningen krever innvendig nedløpssystem (27).



Figur 43 Illustrasjonsbilde av fall på tak

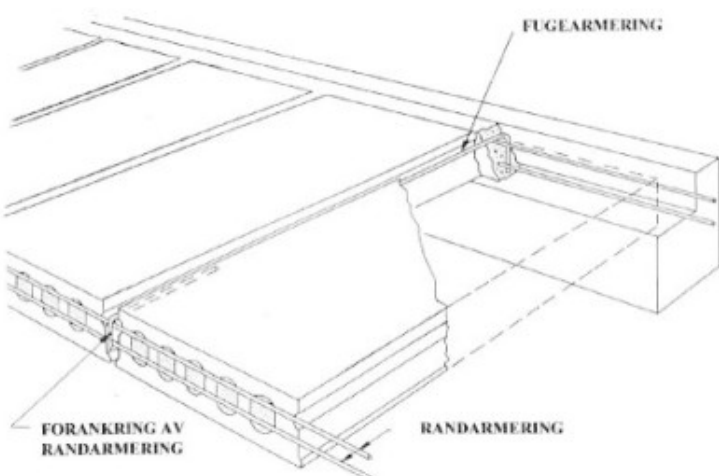
Lett-tak:

Her er det valgt å legge fallet i selve bærekonstruksjonen, som fall til bakkant av bygget ned i en takrenne. Utvendig nedløp og takrenne er valgt som nedløpssystem og er en bedre løsning etter anbefalinger fra Byggforsk (28). Med et fall på 1:40 vil det skille 35 cm fra bakkant til fremkant av bygget, dette blir skjult ved å lage en rett gesims rundt taket.

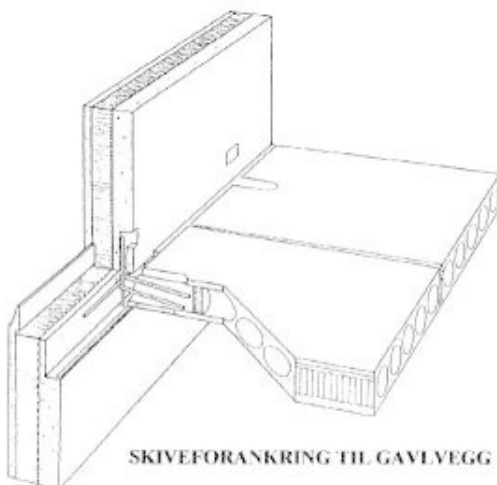
### 5.10 AVSTIVNING AV BYGGET

Skiver er valg som avstivning av bygget, i tillegg er bygget i bakkant forankret til fjell i H04 og H05. Hulldekke elementene vil være avstivningen i horisontal retning. For etablering av skivevirkning må det fuges med fugearmering mellom elementene.

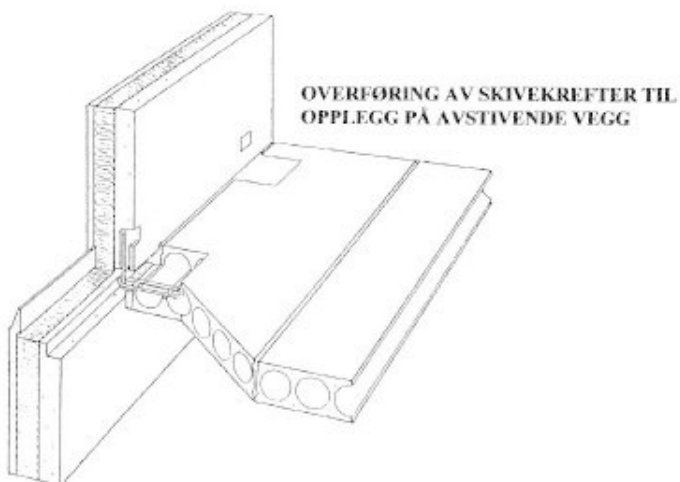
Detaljer av fugearmering og overføring av krefter til avstivende vegg (29):



Figur 44 Detalj for fugearmering av hulldekke (29)



Figur 45 Detalj for skiveforankring fra huldekke til veggskive

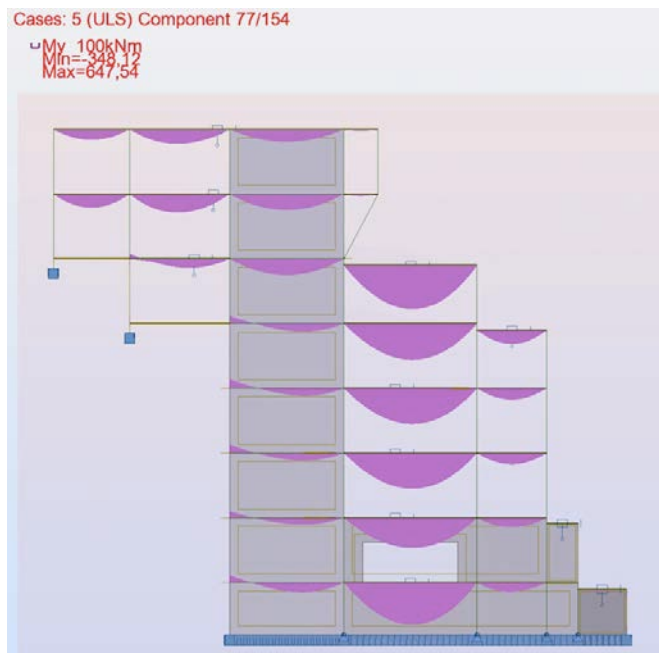


Figur 46 Detalj for skiveforankring fra huldekke

Vertikalskivene består av trappe/ heissjakt og skivevegger. Tappe/heissjakt er plassert ganske sentrisk i bygget og vil ha en avstivende effekt både i x og y retning. Skiveveggene i y-retning er plassert hvor de kan gå kontinuerlig fra tak ned i fundament. I x-retning er bakveggen som går mot fjell benyttet som en stor skive. Se vedlegg 12.4 snitt og plantegninger.

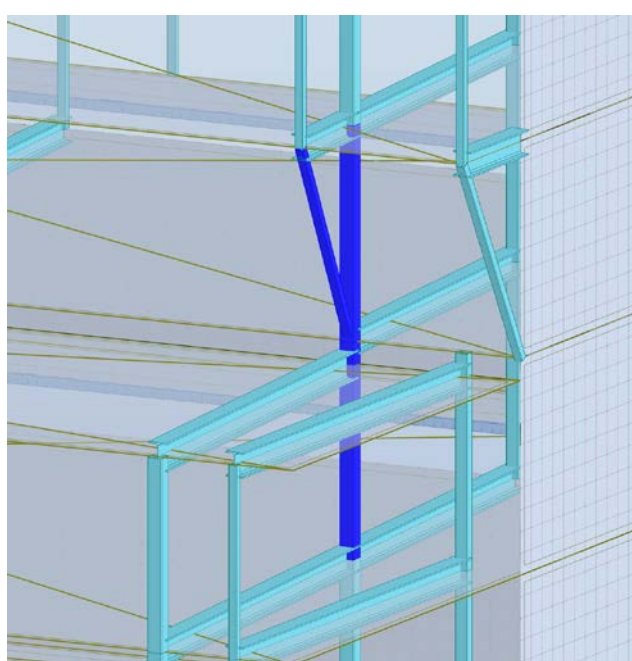
## 5.11 DETALJER I BÆRESYSTEMET

Bilde som viser at bjelkene er konstruert som fritt opplagt og at det ikke blir ført over moment fra bjelke til søyle i Robot.



Figur 47 Moment i bjelker

Knutepunkt mellom vertikal og skrå stålsøyle. Se vedlegg 12.12.3 for beregning.



Figur 48 Knutepunkt fra skrå søyle

## 6 JORDSKJELV BEREGNING

### 6.1 IDENTIFISERING AV GRUNNTYPER

Stratigrafiske profiler og parametere beskriver grunntyper. Man kan snakke om grunntypene A, B, C, D og E (tabell vedlegg 17). Men oversikten over klassifisering av byggegrunn som tar hensyn til geologiske forhold i dybden til bruk i et land, kan spesifiseres av i det nasjonale tillegget til dette dokumentet, medregnet verdiene av parametrene  $S$ ,  $T_B$ ,  $T_C$  og  $T_D$ .

Byggegrunnen bør klassifiseres etter verdien av den gjennomsnittligge skjærbølggehastigheten  $v_{s,30}$ , hvis den er tilgjengelig. Ellers bør verdien av  $N_{SPT}$  brukes. Da  $v_{s,30}$  bør beregnes i samsvar med uttrykk:

$$v_{s,30} = \frac{30}{\sum_{i=1}^{N_V} \frac{h_i}{V_i}}$$

(8)

$h_i$  og  $V_i$  angir tykkelsen i meter og skjærbølggehastigheten (ved skjærtøyningsnivå på  $10^{-5}$  eller mindre) av den i-te av totalt formasjoner eller lag i de øverste 30 m.)

I dette prosjekt antar vi grunntype A (vedlegg 17).

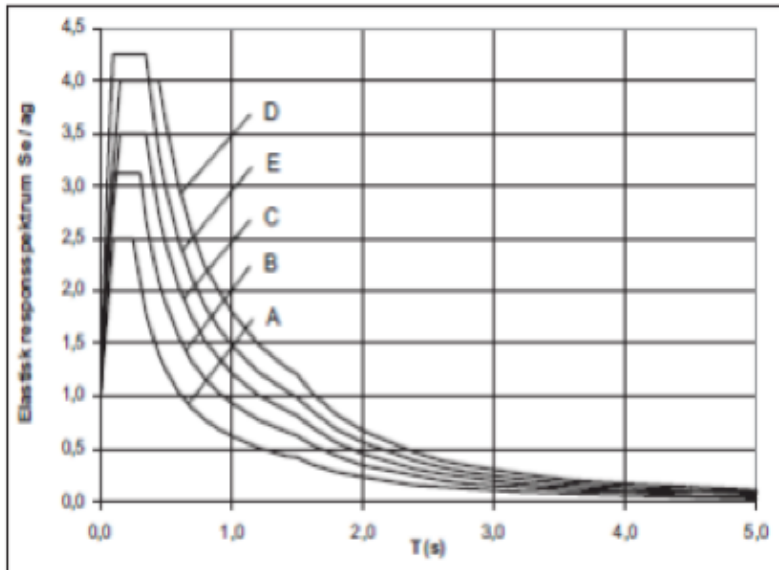
Parametrene i tabellen hjelper å bestemme knekkpunktene for elastisk responsspektret som brukes i Norge.

Tabell 22 Grunntyper

Grunntype	S	$T_B(S)$	$T_C(S)$	$T_D(S)$
A	1,0	0,10	0,25	1,5
B	1,25	0,10	0,30	1,5
C	1,4	0,15	0,35	1,5
D	1,6	0,15	0,45	1,5
E	1,7	0,10	0,35	1,5

Plotte responsspekteret  $S_d(T_1)$ .

Beregning av  $S_d(T)$  hjelper man å plotta kurven. Her kan man lese egenperiode av dimensjonerende seismisk akselrasjon.



Figur 49 Responsspekteret

## 6.2 DUKTILITET

### 6.2.1 DCL LAV DUKTILITET. ( DUKTILITETSKLASSE LAV )

Konstruksjonsfaktoren brukes i dimensjonering med lav duktilitet er  $q \leq 1,5$ . EC8 er vanlig å bruke i DCL til å beregne belastningene på bygget fra jordskjelvet.

Der  $q$  er konstruksjonsfaktorer. Avhengig av byggets duktilitetsegenskaper,  $q$  er uttrykk som viser hvor mye energi som kan absorberes og fordeles i bygget.

### 6.2.2 DCM MIDDELS DUKTILITET. ( DUKTILITETSKLASSE MIDDELS )

Det er registrert en reduksjon av tilsvarende jordskjelvbelastningen  $q > 1.5$  til 4 mens en duktil deformasjonsmekanisme for bærekonstruksjon er identifisert.

Middels duktilitet forutsetter større deformasjoner og rotasjon enn det som tillates i bruddgrensetilstand.

Tabell 23 Duktilitetsklasse

Duktilitetsklasse	NS-EN 1998
lav	$q \leq 1,5 - 2$
middels	$q \leq 4$
Høy	$q > 4$

### 6.3 LASTKOMBINASJONER

Jordskjelv er en ulykkeshendelse og en ulykkeslast, som ifølge NS3490 skal kombineres med andre laster. Det står krav til at vindlaster kan ikke regnes samtidig med jordskjelv, mens snølaster kun skal regnes med 20 % av maksimalverdi. Nyttelaster i bygninger er avhengig av type bygg. Materialfaktorer, lastfaktorer og permanent lastandel av nyttelaster er gitt i tabeller nedenfor (30).

Tabell 24 Kombinasjonsfaktorer med andre laster

	Permanente laster	Jordskjelv last variabel last	Dominerende laster	Andre variable
For krefter i konstruksjonen	1,0	1,0	0,0- 0,8 Se tabell	0,0- 0,8 Se tabell
For brudd i grunnen	1,0	1,0	1,0 eller 0,0	1,0 eller 0,0

Tabell 25 Lastfaktor avhengig av type bygg

Type bygg	Boliger	Kontorer	forsamlingslokale	Butikker	Lager
lastfaktorer	0,3	0,3	0,6	0,6	0,6

Tabell 26 Material faktor ved dimensjonering for jordskjelv

FOR BETONGKONSTRUKSJONER:			
Dimensjoneringstilstand	$\gamma_c$	$\gamma_s$	Referanse
Ordinært	1,5	1,15	EC2 \2\
Seismisk DCL	1,2	1,0	EC8 \1\
Seismisk DCM	1,5	1,15	EC 8 \1\
FOR STÅLKONSTRUKSJONER GENERELT:			
Dimensjoneringstilstand	Type	$\gamma_s (\gamma_M)$	Referanse
Ordinært	Generelt	1,05	EC3 \4\ *)
	Strekkbrudd	1,25	EC8 \1\
DCL	Generelt	1,05	EC3 \4\ *)
	Strekkbrudd	1,25	EC8 \1\
DCM	Generelt	1,10	EC3 \4\ *)
	Strekkbrudd	1,25	EC8 \1\

Tabellen fortsetter på neste side

## 6.4 ORTOGONALE RETNINGER.

En konstruksjon som utsettes for seismiske belastning er ofte beregnes i x-y ortogonal koordinat aksiale retninger inn i horisontalplan. Retningen til skjelvet rystelser vil ikke sammenfalle med det aksesystemet. For kombinasjon lastvirkningene i konstruksjonen fra primærretningen med en faktor 1,0, en må ta hensyn til den ulike retningen av skjelvet virkning, mens sekundærretningene har multiplikator på 0,3. Hvis bygningen er symmetrisk og reglemessig både i planet og vertikalt kan faktor for sekundærretningen redusert til 0,1. NS-EN 1998 PKT. 4.3.3.5.2

a)  $E_{dx} + 0,3 \times E_{dy} + 0,3 \times E_{DZ}$

b)  $0,3 \times E_{dx} + E_{dy} + 0,3 \times E_{dz}$

c)  $0,3 \times E_{dx} + 0,3 \times E_{dy} + E_{dz}$

Vanligvis trenger man ikke ta hensyn til vertikale rystelser i Norge. Vi setter  $E_{dz}=0$  hvis bygningen har normale spenn og befinner seg i et lavseismisk område.

## 6.5 METODE ETTER NS-EN 1998

- Analysemetoder
- Tverrkraftmetode
- Modal responsspektrumanalyse
- Vurdering av analyse metoder
- Robot Struktural Analysis (RSA)
- Modell

### 6.5.1 ANALYSEMETODE

Til bestemmelse av dimensjonerende seismiske påvirknings på bygninger, er det fire standardiserte analysemetoder ifølge EC8-1. De er: lineær metoder og ikke-lineær metoder. For lineær metode gjelder tverrkraftmetoden og modal responsspektrumanalyse. For ikke-lineær metoder bruker man tidshistorieanalyse og ikke lineær statisk analyse.(dynamisk)

De to første metoder skal brukes i dette oppgaven, de to andre anvendes til bygninger som krever større sikkerhetsnivå.

Lineær analyse og modell skal velges etter faktorer gis av EC8 -1 regularitet i plan og opprikk. Kravet til regularitet er flere og refereres til NS-EN 1998-1.pkt 4.2.3.1

Tabell 27 Valg av modell og analyse i seismisk dimensjonering

Regularitet		Tillatt forenkling		konstruksjonsfaktor
Plan	Oppris	Modell	Lineær elastisk analyse	(For lineær analyse)
Ja	Ja	Plan	Tverrkraft	Referanseverdi
Ja	Nei	Plan	Modal	Redusert verdi
Nei	Ja	Romlig	Tverrkraft	Referanseverdi
Nei	Nei	Romlig	Modal	Redusert verdi

### 6.5.2 TVERRKRAFTMETODEN. (FORENKLET METODE).

Engenperioden T

Tiden som ta bygget til å forflytte seg fra start ut av først posisjon og tilbake igjen er engenperiode og regnes ut med utrykk:

$$T_1 = C_t \cdot H^{\frac{3}{4}}$$

$C_t$  er en koeffisient som er avhengig av konstruksjonens avstivningssystem og materiale.

Den metoden skal regnes for to ortogonale retninger og kan benyttes så lenge bygget er regulært i oppriss (9).

For bygningen med  $h \leq 40$  m

$$T_1 \leq \begin{cases} 4 \cdot T_c \\ 2.0 \text{ s} \end{cases}$$

der  $T_c$  er den nedre grenseverdien av området med konstant spektralakselerasjon

Bygget er innfor regularitet og symmetri i følge NS-EN 1998 pkt 4.2.3 (9)

Bygget tilfredsstiller betingelsene avstivningssystem og material.

$C_t$  avstivningssystem

Tabell 28 Avstivningssystem

$C_t$	Avstivningssystem
0,085	Momentstive romlige stålrammer
0,075	Momentstive romlige betongrammer
0,050	For andre konstruksjoner

Dimensjonerende spektrum for elastisk analyse

$S_d(T)$  med uttrykk viser nedenfor skal dimensjoneres for de horisontale komponentene av seismiske påvirkningen i henhold med NS-EN 1998 pkt 3.2.2.5 (9)

$$0 \leq T \leq T_B : S_d(T) = a_g \cdot S \cdot \left[ \frac{2}{3} + \frac{T}{T_B} \left\langle \frac{2,5}{q} - \frac{2}{3} \right\rangle \right]$$

$$T_B \leq T \leq T_C : S_d(T) = a_g \cdot S \cdot \frac{2,5}{q}$$

$$T_C \leq T \leq T_D : S_d(T) \begin{cases} = a_g \cdot S \cdot \frac{2,5}{q} \left[ \frac{T_C}{T} \right] \\ \geq \beta \cdot a_g \end{cases}$$

$$T_D \leq T : S_d(T) \begin{cases} = a_g S \frac{2,5}{q} \left[ \frac{T_C T_D}{T^2} \right] \\ \geq \beta \cdot a_g \end{cases}$$

Konstruksjonsfaktoren q er innført for å unngå detaljerte ikke lineære analyse. Då konstruksjon er duktil og kan absorbere energi. Den tar også hensyn til ikke lineære respons. Dermed er krefter reduseres

S- verdi

S- verdi er en forsterkningsfaktor som er avhengig av grunnforholdene. kombineres med  $T_B$ ,  $T_C$ ,  $T_D$  er med på å bestemme knekkpunktenne til responsspekteret, slik at dimensjonerende akselerasjon blir tilnærmet riktig (9).

Beregne skjærkraften i terren – fundamentnivå eller ved toppen av en stiv kjeller.

Etter NS-EN 1998 pkt. 43322 (9)

$$F_b = S_d (T_1) \cdot m \cdot \lambda$$

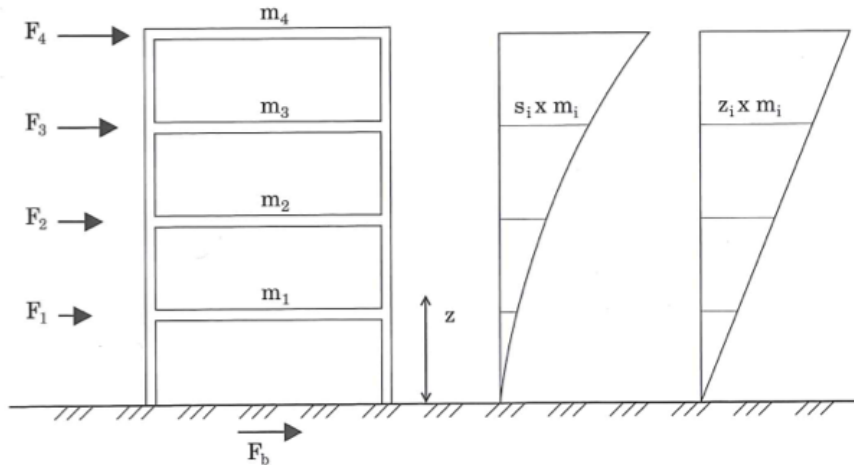
$F_b$  :

$S_d(T_1)$ : er ordinaten av det dimensjonerende spektret for periode  $T_1$

$T_1$  : er bygningens første egensvingeperiode for sidebevegelse i retningen som vurderes

$m$ : er bygningens total masse over fundamentet eller en stiv kjelleretasje.

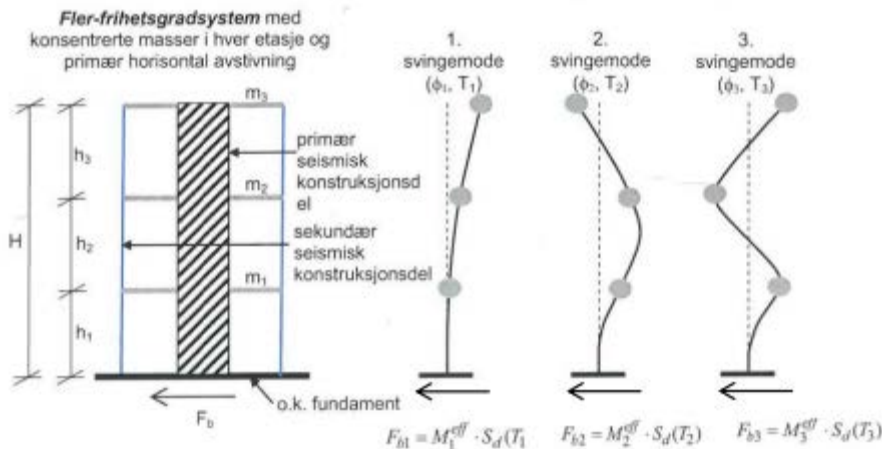
$\lambda$  : er korreksjonsfaktoren der verdien er lik:  $\lambda = 0,85$  hvis  $T_1 \leq 2T_c$  og bygningen har flere enn etasjer, eller  $\lambda = 1,0$ .



Figur 50 Fordeling av krefter i konstruksjonen

### 6.5.3 MODAL RESPONSSPEKTRUMANALYSE

Konstruksjoner som ikke følger krav til tverrkraftmetode og ikke tilfredsstiller krav til regularitet i oppriss, trenger modal responsspektrumanalyse. Metoden som brukes mest i Norge er tverrkraftmetoden og er ofte basert på programvareverktøy.



Figur 51 Modal responspektrum

Summen av de effektive modale massene for svingeformene ifølge EC 8 skal det oppfylles. Kravet er at den effektive massen må beløpe seg til minst 90 % av konstruksjonens totale masse og for alle svingeformer med mer enn 5 % av den totale masse.

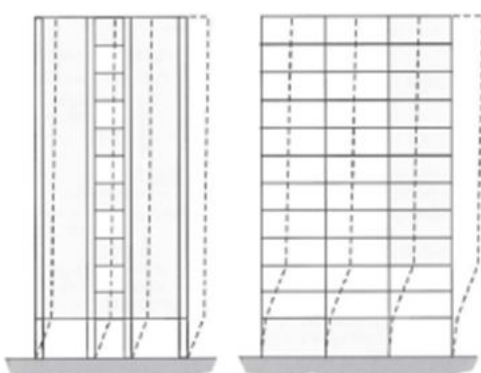
Dvs.:  $\sum M_i^{eff} > 0,9 \times m$  og  $\sum M_i^{eff} > 0,5 \times m$ . med m seismisk masse.

## 6.6 REGULARITET I PLANET

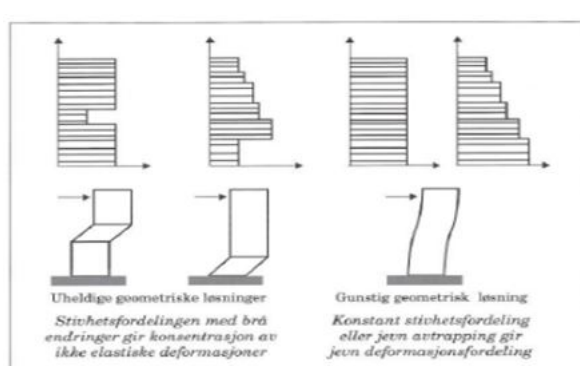
Avstivningssystemet som tar opp kretene i vertikalretning må være kontinuerlig fra fundament til toppen av bygningen. Begge massene og stivheten til konstruksjonen bør være konstant og uten brå endring fra etasje til etasje. Konstruksjonsfaktoren som brukes i dimensjoneringen er avhengig av regulariteten i opprisset (8).

For et system som ikke er regulært i oppriss, en reduksjon av 20 % bør innføres.

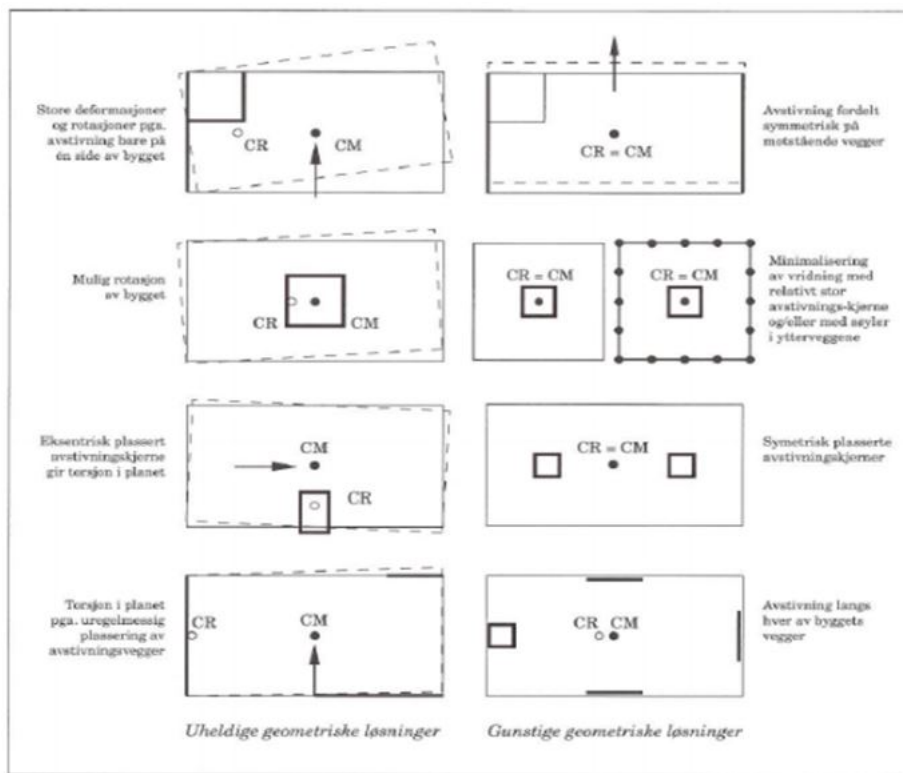
For a soft story, en konstruksjon hvor det er manglende regularitet i oppriss. Det oppstår der en etasje har lavere stivhet enn de andre og spenningene blir da konsentrert her.



Figur 52 Soft story



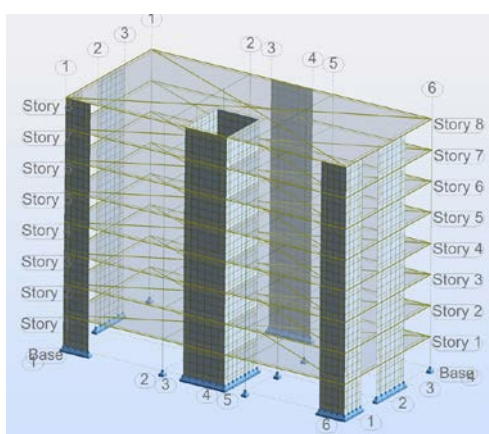
Figur 53 Regularitet i oppriss. Heldige og uheldige løsninger



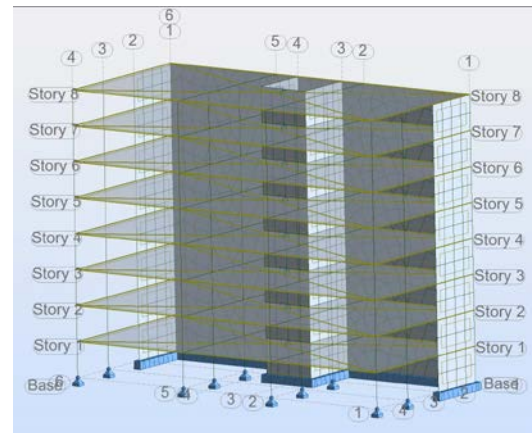
Figur 54 Regularitet i plan. Heldige og uheldige løsninger

## 6.7 MANUEL BEREGNING

For å få en grunnleggende forståelse ble det laget en forenklet modell av dette prosjektet. På denne modellen ble det valgt en mer gunstig geometrisk løsning (figur 56). Etter å ha fulgt fremgangsmåten for dimensjonering i DCL. Viste det seg at utelatelseskriteriet 2 ble oppfylt, da kan man se bort i fra seismiske påkjenninger. Se vedlegg 12.14.1 Gunstig geometrisk løsning for utregning i Mathcad. Målet var med jordskjelvberegning var å kunne sammenligne resultatene med Robot noe som ikke kunne gjøres med denne modellen.



Figur 55 Ugunstig geometrisk løsning



Figur 56 Gunstig geometrisk løsning

Det ble da laget en ny tilsvarende forenklet modell med mer ugunstig geometrisk løsning (figur 57) for å ikke komme under utelatelses kriteriet. Da kunne tverkraftmetoden fullføres for deretter å kjøre sammenligninger med robot. Resultatene fra beregningene viste at håndberegnung samsvarer med Robot. Se vedlegg 12.14.2 og 12.14.3 ugunstig geometri for utregning i Mathcad og Robot.

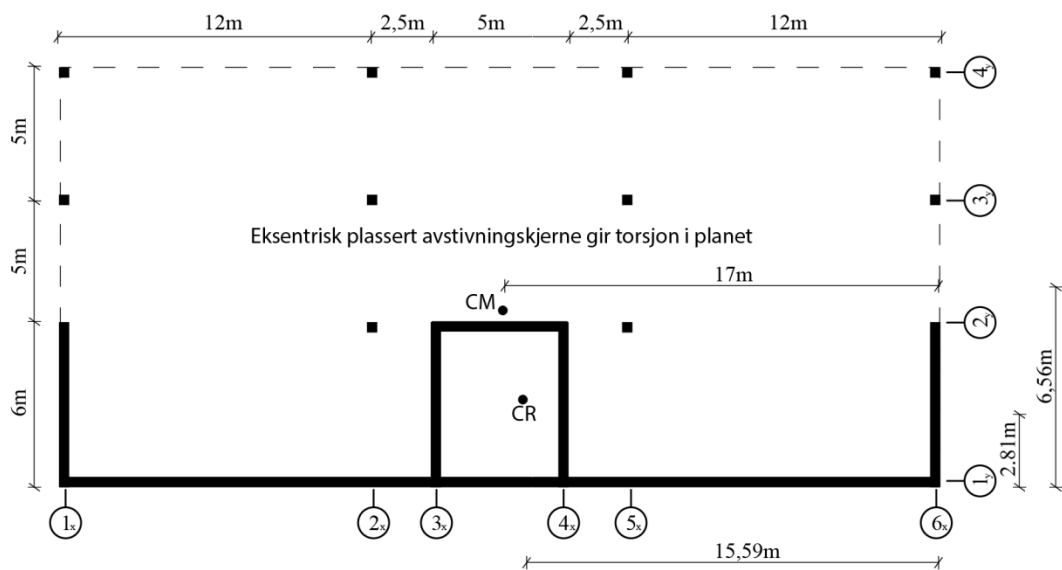
Tabell 29 Resultat svingeperiode

	$S_d(T_1)$	$m_{total}$	Svingeperiode T	$q$	S	$T_B$	$T_c$	$T_D$
Mathcad	0,5034	4082000,00(kg)	0,596(sec)	1,5	1	0,1	0,25	1,5
Robot	0,5	4104157,06(kg)	0,6(sec)	1,5	1	0,05	0,25	1,2

Parameterne som beskriver de anbefalte elastiske responspekterne er forskjellig, dette kommer av at Robot ikke har med det nasjonale tillegget (NA:2008). Massene viser et lite avvik dette har med at stålsøyler og bjelker ikke er beregnet manuelt. Avvikene er såpas små at resultatene er sammenlignbare.

#### 6.7.1 STIVHETSSENTER OG UTILSIKTEDE TOSJONSVIRKNINGER

Stivhetssenter av bygningen er ikke på samme akse med massesenter (8).



Figur 57 Eksentrositet

## Utilsiktede torsjonsvirkninger

Utilsiktede torsjonsvirkninger er viktig gjennom regulariteten i planet for å unngå store torsjonskrefter i bygget. Når stivhetssenteret ikke sammenfaller med massesenteret vil bygget rotere under påkjenning av krefter. Plassering av punktmassen har stor betydning for kretene i konstruksjonen. Eurokode 8 (9) forklarer usikkerheten med tanke på at massen plassering skal forskyves fra sin nominelle plassering i hver retning av en utilsiktet eksentrisitet.

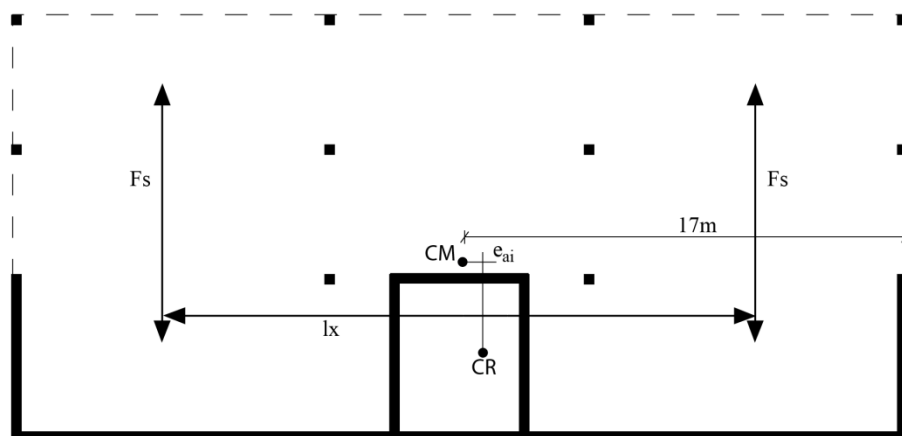
$e_{ai} = \pm 0.05 \times l_i$  hvor  $l_i$  er lengde av gulvet vinkels rett på den seismiske påkjenningen i etasje i.

$$\Delta F_{si} = \frac{e_{ai} \times F_i}{l_x}$$

$l_x$  Er bredden mellom avstiverne.

$M_{ai}$  : torsjonsmoment i hver etasje

$$M_{ai} = e_{ai} \times F_i$$



Til nå er det ikke tatt hensyn til utilsiktet eksentrisitet. I den forenklede metoden kan kretene regnes som et tillegg i hver etasje på grunn av eksentrisitetene, som blant annet kan komme av usikkerheten i plassering av masse i konstruksjon.

Stivheter av skiver i xy- retningen med  $i = 1,2\dots8$

Etasje i	Skive akse	$b_{wj}(\text{m})$	$l_{wj}(\text{m})$	$h_{sj}(\text{m})$	$K_{jx}(\frac{N}{m}).10^9$
	$x_{1n}$	0,25	34	3,4	2,724
	$x_{2n}$	0,25	5	3,4	1,462
	$y_{1n}$	0,25	6	3,4	2,189
	$y_{3n}$	0,25	6	3,4	2,189
	$y_{4n}$	0,25	6	3,4	2,189
	$y_{6n}$	0,25	6	3,4	2,189

Rotasjonsstivhet

skive	$x_{1n}$	$x_{2n}$	$y_{1n}$	$y_{3n}$	$y_{4n}$	$y_{6n}$	sum
$x = x_i - x_t(\text{m})$	15,588	15,588	-1,287	13,088	18,088	32,463	
$y = y_i - y_t(\text{m})$	-5,058	0,941	-2,184	-2,184	-2,184	-2,184	
$x \cdot k_y$	0	0	$-2,817 \cdot 10^9$	-2,817	-2,184	-2,184	
$y \cdot k_n$	25640,10	$1,376 \cdot 10^9$	0	0	0	0	
$x^2 \cdot k_y$	0	0	3,625	3,625	$7,161 \cdot 10^{11}$	$7,16 \cdot 10^{11}$	
$y^2 \cdot k_x$	$2412 \cdot 10^{10}$	$1295 \cdot 10^9$	0	0	0	0	

$$K_{rot} = \sum y_i^2 \cdot K_{xi} + \sum x_i^2 \cdot K_{yi} = 3,001 \cdot 10^{12}$$

Resultat av beregningene til denne modellen viser toleransen, det vil si rotasjonsstivheten bygget kan motstå ved påkjenning av rotasjonskrefter under jordskjelv.

#### 6.7.2 FORSKYVNING I FORENKLET PINNEMODELL

For å finne forskyvningen i øverste etasje ble det laget en forenklet pinne modell. Denne forskyvningen ble sammenlignet i Robot og Frame. Dette resulterte i noe avvik. Frame legger ved stål automatisk, noe som Robot ikke gjør. Det viste seg vanskelig å anslå hvor mye stål som Frame legger inn.

Forskyvning max i 8. etasje.	$u_x (\text{mm})$	$u_y (\text{mm})$
Robot svake akse	22,12	-0,27
Robot sterke aksee	8,31	0,26
Frame Sterke akse	5,17	-0,245
Frame Svake akse	13,75	-0,245

Se vedlegg 12.14.4 forenklet pinnemodell for utregning av forskyvning.

## 6.8 BEREGNING I ROBOT-STRUCTURAL ANALYSIS (ROBOT)

Robot gir mulighet til å utføre de fleste standardiserte seismiske analysene. I denne oppgaven ble det brukt modal responspektrumanalyse på grunn av byggets oppriss og ugunstig symmetri i planet.

Det er mulig å gjennomgå hver enkelt svingeperiode i modal- analysen. Svingeperiodene bestemmes av effektive masser og byggets egensvingeperiode. Under jordskjelvhendelser kan konstruksjons- deformasjoner studeres godt med modal- analysen.

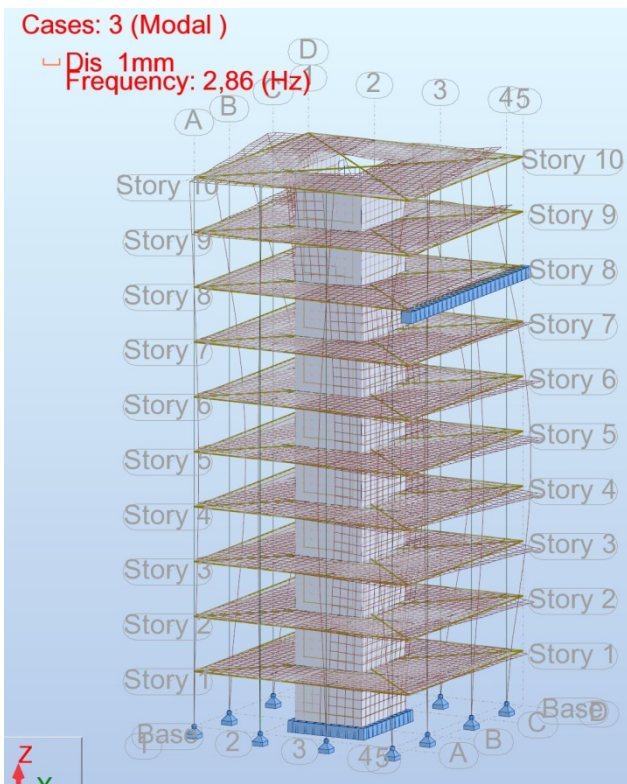
### 6.8.1 MODALANALYSE

Borgundveien 151/153 viste merkelig oppførsel ved modal analyse. Man så at bygget ikke får den type svingeform som en modal analyse burde gi. Så også at enkelte bjelker/søyler får all utbøyingen. Det vil si at kretene ikke blir overført ned til bakken på riktig måte. Vi har gjennomført flere iterasjoner av modellen men resultatet blir de samme.



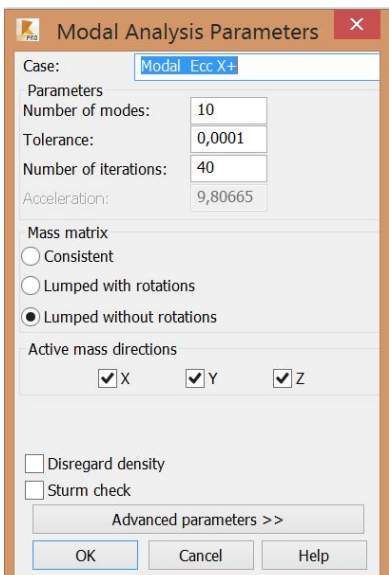
Figur 58 Modalanalyse 1

Ved sammenlikning med en annen enklere modell fikk bygget de svingeformene som er forventet av en modal analyse. Dette bygget ble modellert slik at det enklere skulle få de forventede resultatene.



Figur 59 Modalanalyse 2

### 6.8.1 INNDATA I ROBOT

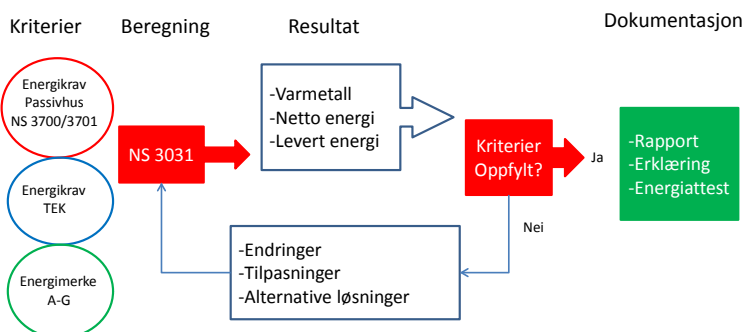


Figur 60 Inndata i Robot

## 7 ENERGIBEREGNING LAVENERGI

Energidokumentasjon gjennom beregninger er viktig ved prosjektering av passiv- og lavenergibygninger (31). Energiberegninger tar for seg i utgangspunktet tre standarder. NS3031 energiberegningssandarden, NS 3700 Passiv/lavenergistanndard for boliger og NS3701 passiv/lavenergistanndard for yrkesbygg.

### Beregningsmetodikk



#### 7.1 energiberegningspunkter for lavenergihus – NS 3700:2013

Den norske standarden NS 3700:2013 ”Kriterier for passiv og lavenergibygninger – Boligbygninger” stiller fire hovedkrav (32) for lavenergihus og passivhus som skal oppfylles og dokumenteres. Disse er:

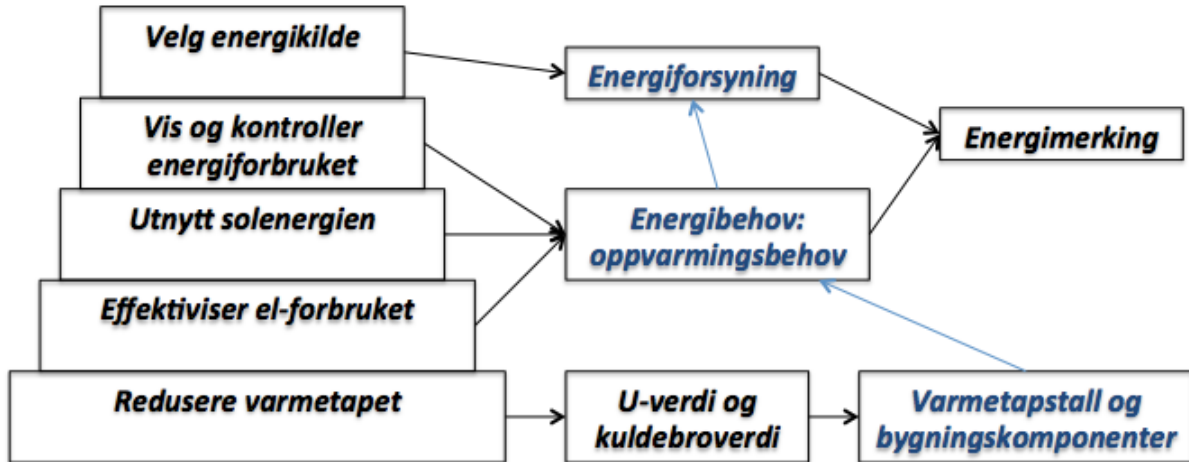
1. *Varmetapstall* ( minstekrav W/K per m<sup>2</sup> oppvarmet BRA)
2. *Komponenter* ( minstekrav til bygningsdeler og komponenter)
3. *Oppvarmingsbehov* ( maksimalt spesifikt oppvarmingsbehov- kWh/m<sup>2</sup> oppvarmet BRA)
4. *Energiforsyning* (fornybar energi)

NS 3031 brukes til energiberegningen (33), samt som dokumentasjon for oppfyllelse av kravene i NS 3700 (se figur over).

Som nevnt i teorikapittelet er passiv energidesign en nøkkelfaktor for passiv- og lavenergihus og kyoto-pyramiden er malen som brukes til dette. Kravene i de fire hovedpunktene til NS 3700:2013 er direkte hentet fra passiv energidesign.

Trinn 1 i kyoto-pyramiden er det u-verdier og kuldebrotverdier som er de viktigste faktorene med tanke på varmetapstall og bygningskomponenter. De resterende fire trinnene er viktigst

for energibehov som på sin side gir nøkkeltall for energimerking av bygget (illustrert i figur under).



## 7.2 VALG AV BEREGNINGSMETODE ETTER NS 3031 (14)

- Månedsstasjonær metode – månedsberegning etter NS-EN ISO 13790
- Dynamisk metode – forenklet timeberegring etter NS-EN ISO 13790
- Dynamisk metode – detaljert , validerte beregningsprogrammer etter NS-EN ISO 15265

Tabell 30 Bygningskategori og energiberegning

Bygningskategori	Energiberegning <sup>a</sup>
Småhus	Månedsstasjonær eller dynamisk
Boligblokk	Månedsstasjonær eller dynamisk
Barnehage	Månedsstasjonær eller dynamisk
Kontorbygning	Dynamisk
Skolebygning	Månedsstasjonær eller dynamisk
Universitets- og høgskolebygning	Dynamisk
Sykehus	Dynamisk
Sykehjem	Månedsstasjonær eller dynamisk
Hotellbygning	Månedsstasjonær eller dynamisk
Idrettsbygning	Månedsstasjonær eller dynamisk
Forretningsbygning	
Kulturbygning	Månedsstasjonær eller dynamisk
Lett industribygning, verksted	Månedsstasjonær eller dynamisk

<sup>a</sup> I bygninger der det er installert ventilasjonskjøling, skal det alltid benyttes beregniskmetode

## 7.3 UTLEDING AV ENERGIBEREGNINGSPUNKTENE

### 7.3.1 VARMETAPSTALL OG BYGNINGSKOMPONENTER

Krav – Høyeste varmetapstall for transmisjons- og infiltrasjonstap ref tabell 2 NS 3700

		Varmetapstall for transmisjons- og infiltrasjonstap, $H''_{tr,inf}$ W/(m <sup>2</sup> ·K)		
		Boligbygning der $A_{fl} < 100m^2$	Boligbygning der $100m^2 < A_{fl} < 250m^2$	Boligbygning der $A_{fl} \geq 250m^2$
Passivhus		0,53	0,48	0,43
Lavenergi-bygning	Klasse 1	0,7	0,65	0,55
	Klasse 2	0,93	0,83	0,68

- Varmetransportskoeffisient  $H_{tr,inf}$ , i W/K

$$H_{tr,inf} = H_D + H_U + H_g + H_{inf}$$

$H_D$  er direkte varmetransmisjonstap til det fri, i W/K

$H_U$  er varmetransmisjonstap til uoppvarmede soner, i W/K

$H_g$  er varmetransmisjonstap mot grunnen, i W/K

$H_{inf}$  er infiltrasjonsvarmetap, i W/K

(NB! Forskjellen på NS 3031:2014, NS 3700:2012 og gjeldende NS 3700:2013 er at ventilasjonsvarmetap  $H_V$  ikke skal være med på denne utregningen)

- Varmetapstallet for transmisjons- og infiltrasjonsvarmetap  $H''_{tr,inf}$

$$H''_{tr,inf} = \frac{H_{tr,inf}}{A_{fl}}$$

*Krav - Minstekrav til bygningsdeler, komponenter og lekkasjetall ref 5 og B.1 NS 3700*

Tabell 31 Minstekrav til bygningsdeler, komponenter og lekkasjetall

Egenskap	Lavenergi klasse 1 W/(m <sup>2</sup> ·K)	TEK 10 W/(m <sup>2</sup> ·K)
U-verdi yttervegg	0,15-0,16	≤ 0,22
U-verdi tak	0,10-0,12	≤ 0,18
U-verdi gulv	0,10-0,12	≤ 0,18
U-verdi vindu og dør	≤ 1,2	≤ 1,6
Normalisert kuldebroverdi, $\Psi$	≤ 0,05	-
Årgjennomsnittlig temperatur-virkningsgrad for varmegjenvinner	≥ 70%	-
SFP- faktor ventilasjonsanlegg	≤ 2,0	-
Lekasjetall ved 50 Pa, n50	≤ 1,0 h <sup>-1</sup>	≤ 3,0 h <sup>-1</sup>

Varmetapstallene som blir utregnet settes inn i en tabell ofte kalt varmetapsbudsjett for hver enkelt bygningsdel, og gir da et samlet varmetapstall (se tabell under)

$A_{fl}$  er oppvarmet del av BRA, i m<sup>2</sup>  
 $H_{tr,inf}$  er varmetransportkoeffisienten for transmisjons- og infiltrasjonsvarmetap, i W/K.

Varmetallet for bygningsdeler får man ved å multiplisere u- verdien for den enkelte bygningsdelen med arealet.

Varmetapsbudsjett	Varmetapstall, H''(tr,inf) (W/m <sup>2</sup> ·K)
Yttervegger	
Yttertak	
Gulv	
Vinduer og dører	
Kuldebroer	
Infiltrasjon	
Samlet varmetapstall	

### 7.3.3 OPPVARMINGSBEHOV OG ENERGIBEHOV

Selve kravet til oppvarmingsbehovet er meget avhengig av det lokale klimaet og boligstørrelsen. NS 3700:2013 tar hensyn til disse to faktorene. Kravet til areal gjelder for hele bygningen, dette selv om det er en boligblokk (11).

Årsmiddel temperatur for Ålesund ligger på 6,7°C (34)

*Krav- til høyeste beregnede netto energibehov til oppvarming ref tabell 4 NS 3700*

Årsmiddel temperatur $\theta_{ym}$	Høyeste beregnede netto energibehov til oppvarming kWh/(m <sup>2</sup> ·å)	
	Boligbygning der Afl<250m <sup>2</sup>	Boligbygning der Afl≥250m <sup>2</sup>
≥ 6,3 °C	klasse 1 $30 + 8 \times \frac{(250-A_{fl})}{100}$	30
	klasse 2 $45 + 10 \times \frac{(250-A_{fl})}{100}$	45
< 6,3 °C	klasse 1 $30 + 8 \times \frac{(250-A_{fl})}{100} + (3,3 + 0,75 \times \frac{(250-A_{fl})}{100}) \times (6,3 - \theta_{ym})$	$30 + 3,3 \times (6,3 - \theta_{ym})$
	klasse 2 $45 + 10 \times \frac{(250-A_{fl})}{100} + (4,8 + 1,05 \times \frac{(250-A_{fl})}{100}) \times (6,3 - \theta_{ym})$	$45 + 4,8 \times (6,3 - \theta_{ym})$

Sammen med netto energibehov til oppvarming, omfatter det totale energibehovet også energi til belysning, teknisk utstyr, vifter, pumper og kjøling. Utregningene utføres etter NS 3031:2014. Disse utregningene føres i en netto energibudsjett tabell for summering og får ut totalt netto energibehov for bygningen (se tabell under)

#### Netto energibudsjett

Netto energibudsjett		Symbol	Energibehov kWh/år	Spesifikt energibehov kWh/(m <sup>2</sup> ·K)
NR	Navn			
1a	Romoppvarming	$Q_{H,nd}$		
1b	Ventilasjonsvarme			
2	Varmtvann	$Q_{W,nd}$		
3a	Vifter	$E_{fan}$		
3b	Pumper	$E_p$		
4	Belysning	$E_l$		
5	Teknisk utstyr	$E_{eq}$		
6a	Romkjøling	$Q_{C,nd}$	-	-
6b	Ventilasjonskjøling		-	-
<b>Totalt netto energibehov</b>				

### 7.3.4 ENERGIFORSYNING

Beregningen av behov for levert energi gjøres etter NS3031:2014 og føres inn i energiposten for levert energi (se tabell under).

Energipost	Levert energi kWh/år	Spesifikk levert energi kWh/(m <sup>2</sup> ·år)
1 Elektrisitet		
2 Olje	-	-
3 Gass		
4 Fjernvarme		
5 Biobrensel	-	-
6 Annen energivare	-	-

Verdiene i energiposten brukes for å kontrollberegne mot offentlige krav eksempelvis TEK10. I dette prosjektet ville de blitt kontrollberegnet mot lavenergistandarden der andelen av de ulike energivarene har gitte krav.

*Beregnet mengde levert elektrisk og fossil energi skal være mindre enn totalt netto energibehov fratrukket 50% av netto energibehov til varmtvann, som vist i lign under (11)*

$$E_{del,el} + E_{del,oil} + E_{del,gas} < E_t - 0,5 \times Q_{W,nd}$$

- $E_{del,el}$  er energi fra årlig levert elektrisitet (kWh/år)  
 $E_{del,oil}$  er energi fra årlig levert fossil olje (kWh/år)  
 $E_{del,gas}$  er energi fra årlig levert fossil gass (kWh/år)  
 $E_t$  er årlig netto energibehov (kWh/år)  
 $Q_{W,nd}$  er årlig netto energibehov for oppvarming av tappevann (kWh/år)

## 8 BYGGETEKNISKE LØSNINGER

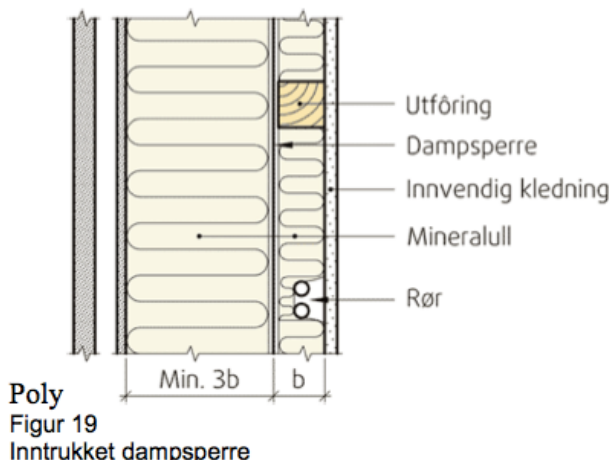
Dette kapitelet tar for seg bygningsskallet til dette prosjektet herunder komponenter henvis til kap. 7.1

### 8.1 DAMPSPERRE

Dampsperre skal ligge på den varme siden av isolasjonen i yttervegger og tak, og har to hovedoppgaver (35):

- Hindre varmetap på grunn av luftlekkasjer
- Hindre at det transportereres fukt fra varm side og ut i de kaldere delene av konstruksjonen ved luftlekkasjer og diffusjon.

Aktuelle dampsperrematerialer (Polyetylenfolie med tykkelse 0,015 eller 0,02 mm er nesten enerådende som dampsperre i Norge) har god lufttettethet, det er tettarbeidet med skjøter, gjennomføringer og overganger til andre materialer som avgjør om dampsperresjiktet er tilstrekkelig lufttett. Klebing (teip, klebebånd, lim/fugestrenger, ulike membraner og mansjetter) blir stadig mer aktuelt, både som en forsterkning av klemte skjøter og som primær skjøtemetode, men klemming mellom plane flater bør være fortsatt være hovedmetoden. Med en løsning hvor dampsperren monteres bak innvendig utforing unngår man at føringsrør for skjult elektrisk anlegg gjennomhuller dampsperren (36).



Figur 61 Inntrukket dampsperr

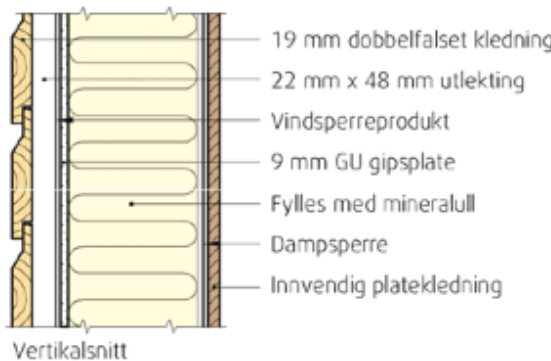
## 8.2 VINDSPERRE

Både i byggetiden og etter bygningen er tatt i bruk har vindsperra flere funksjoner (35):

- Bidra til å lukke bygget
- Beskytte isolasjon og rommene innenfor mot regn og vind
- Hindre varmetap på grunn av luftlekkasjer
- Slippe fukt ut av konstruksjonen (minst mulig dampmotstand)

Grunnet at bygget er i brannklasse 3 (bygninger over 4 etasjer) må det benyttes vindsperrer som ikke gir uakseptabel økning i farene for brannspredning. Gipsplater som er ubrennbare blir derfor et naturlig valg. Gipsplater som brukes til vindsperrre er spesielt tilpasset utendørs bruk, både gipskjernen og kartongen på begge sider er impregnert slik at platen skal tåle fukt bedre. Platene har gode egenskaper i hensyn til både dampåpenhet og lufttettethet (37).

Rulltettingsprodukter fungerer bra rundt hjørner og på store veggflater. De kan være 5-10 ganger så lufttette som plateproduktene. Det kan derfor lønne seg å ha dobbelt vindtetting med rullprodukter utenpå platene, spesielt i vind og regnutsatte områder som Ålesund. Ulempen er at det kan oppstå muggdannelse mellom de to sjiktene som følge av regn i byggefasesen. I følge tester utført av Sintef anses risikoen for muggsoppvekst som svært liten hvis det benyttes en dampåpen vindsperrre (38).



Figur 62 Dobbel vindsperrre

## 8.3 VINDUER OG DØRER

Det største potensialet til å redusere energibehovet ligger bygningsdelene vinduer og dører. Viktige faktorer disse bygningsdelene er U-verdi, kuldebrotverdi og tetthet.

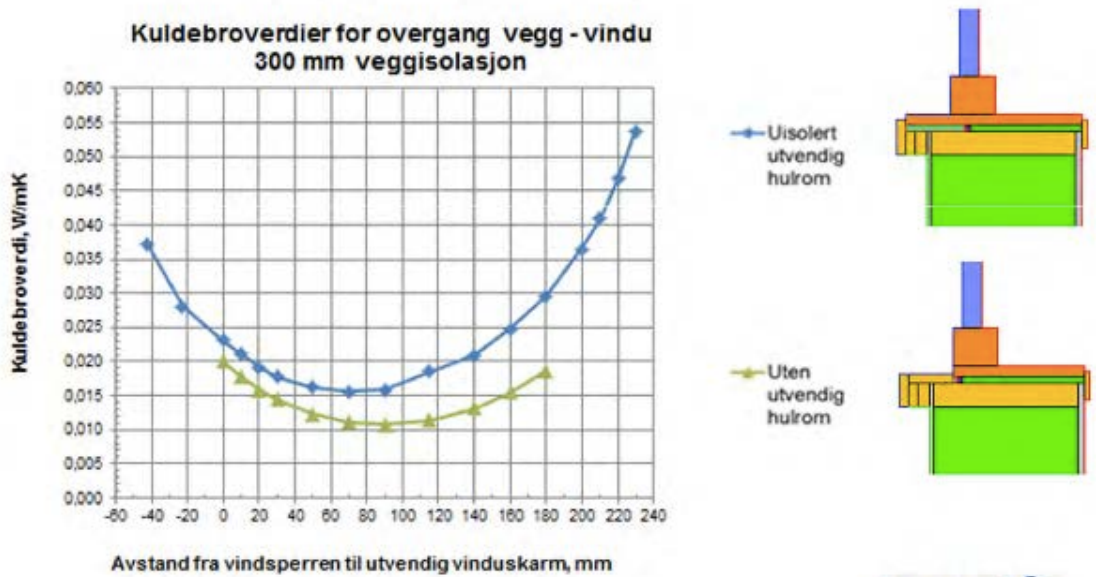
### 8.3.1 TETTING RUND VINDUER OG DØRER

Det kan være en utfordring å oppnå kontinuerlig tetting rundt vinduer og dører. Dette løses med en utvendig omramming og tetning. Sintef anbefaler å bruke bunnfyllingslist og

fugemasse i en 10-12 mm spalte som tetting. For å hindre luftlekkasjer må fugen være tilstrekkelig lufttett på både kald og varm side (40).

### 8.3.2 VINDU

Kravet til U-verdi på vinduer i lavenergibygger klasse 1 er  $\leq 1,20 \text{ W}/(\text{m}^2 * \text{K})$ . For å oppnå minimalt varmetap plasseres vinduene ca. 50 mm inn i veggen. Det er tett opp mot minimumsverdi, noe som må til for å klare kravet til normalisert kuldebroverdi.(314)



Figur 63 Kuldebroverdier for overgang vegg - vindu

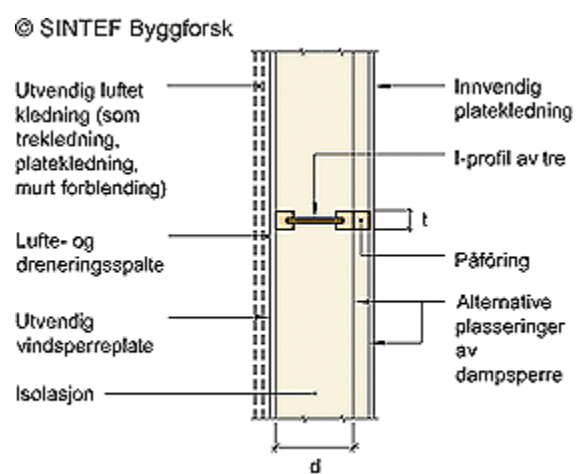
### 8.3.3 Dører

Kravet til U-verdi på dører i lavenergibygger klasse 1 er  $\leq 1,20 \text{ W}/(\text{m}^2 * \text{K})$

## 8.4 VEGG

Grunnet prosjektets lavenergi prosjektering, er u-verdi kravet til veggen fra 0,15 til 0,16, det ble derfor valgt en preakseptert vegg løsning som gir oss en u-verdi på 0,152 (41).

Figuren til siden viser et horisontalt snitt på hvordan denne preaksepterte veggen er bygget opp av bindingsverk. For at veggen skal holde lavenergi standarden er den bygget opp med 12,5 mm kledning, 23 mm luftespalte, 2 lags

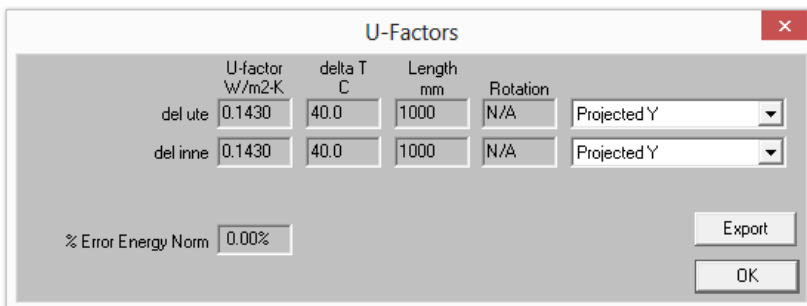


Figur 64 Oppbygning av vegg

vindsperre bestående av folie og gips, 240 mm isolasjon med I-bjelke stendere, dampsperre, 48 mm påforing med isolasjon og (48x48) stendere og avslutes med 2 lag 13 mm gips. Dampsperren er lagt mellom de to isolasjonssjiktene for å unngå punktering, samt gjør det lettere med tanke på rør- og ledningsføring.

Andelen av treverk i isolasjonssjiktet varierer med valgt stenderbredde henholdsvis 16% for 36 mm og 22% for 48 mm. Da det ble brukt 48 mm bredde på stenderverket og dette er en boligblokk er treandelen i isolasjonssjiktene på 22% (ref tabell 1 og 2).

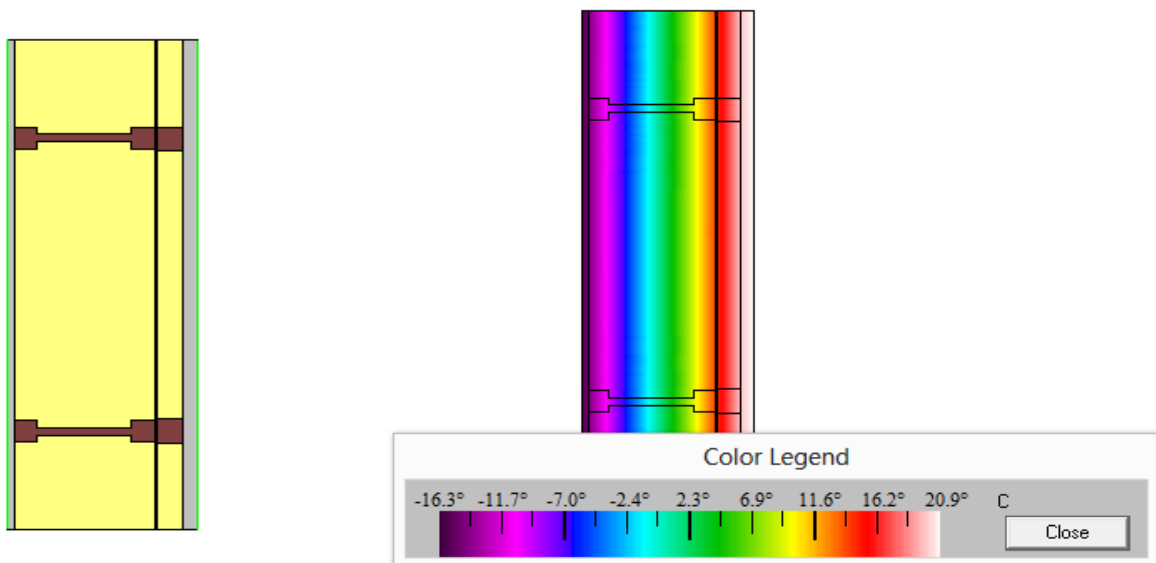
Løsningen ble simulert i Therm noe som gav en u-verdi på 0,143 dette er noe bedre resultat, men ikke overraskende da det ble brukt gips som ekstra vindsperre og 2 lags gips innvendig, hovedsaklig grunnet brannsikkerhet og brannkrav.



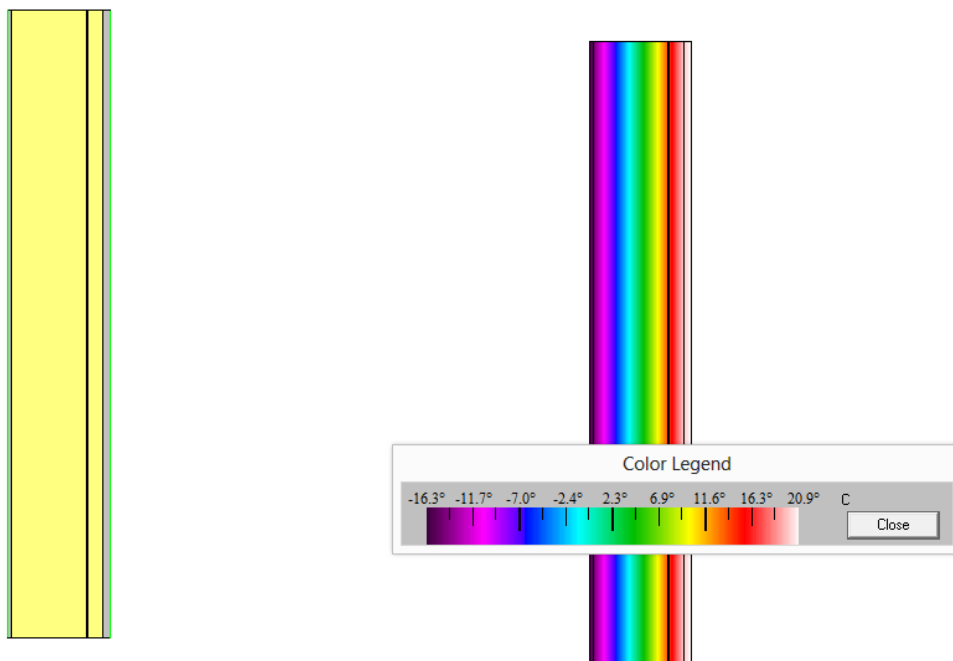
I tillegg til simulering i Therm ble veggen håndberegnet for å kontrollere resultatet og fikk da en u-verdi på 0,145.

Figuren på neste side viser en horisontal oppbygningen av vegglosningen og hvordan temperaturen fordeler seg gjennom konstruksjonen med en delta

temperatur på 40 °C (ute -18°C og inne 22 °C).

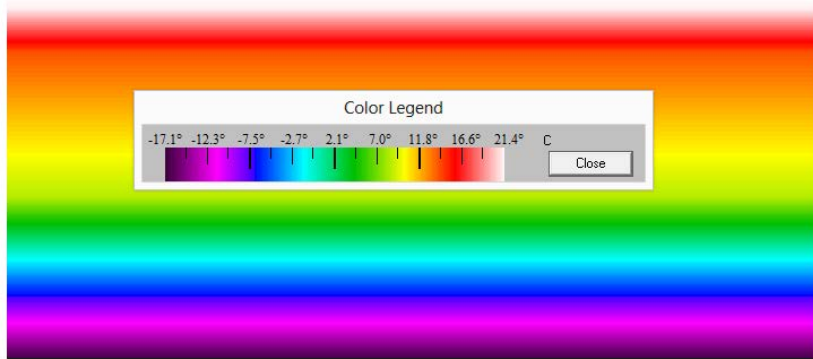


Figur 65 Vegg horisontalt



Figur 66 Vegg vertikalt

## 8.5 ETASJESKILLER MELOM BOLIG OG GARASJE



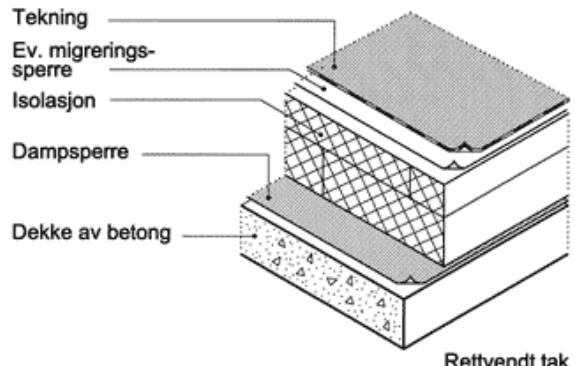
Oppbygning av etasjeskiller:

- Parkett
- Parkettunderlag
- 80mm påstøp
- HD-265
- 300mm rockwool garasjehimling

## 8.6 TAK

### Overgang tak-bolig

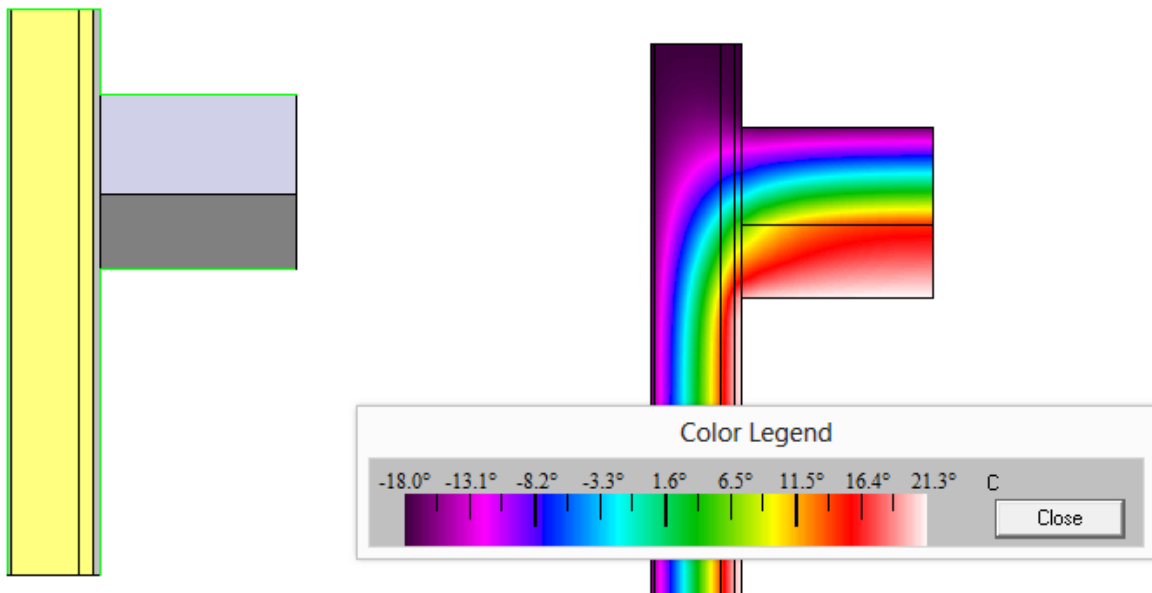
Taket består av 265 mm hulldekke, dampsperre, 350 mm isolasjon og tekking. Da dette er et flatt tak skal det i henhold til krav grunnet drenering en minimums helning på 1:40. Kravet til u-verdi til tak i lavenergi standarden er 0,10 til 0,12 W/(m<sup>2</sup>K) i motsetning til TEK 10 det kravet er < 0,13 W/(m<sup>2</sup>K). Det ble brukt et preakseptert tak oppbygd som vist på tegningen til siden, med isolasjonstykkele som holder de gitte kravene til lavenergi (ref byggforsk vedlegg 12.13)



Figur 67 Oppbygning av kompakttak

Overgangen tak-bolig ble modulert i Therm.

Varmestrømmen vi fikk i Therm gjennom overgangen tak-bolig er vist på modellen under.



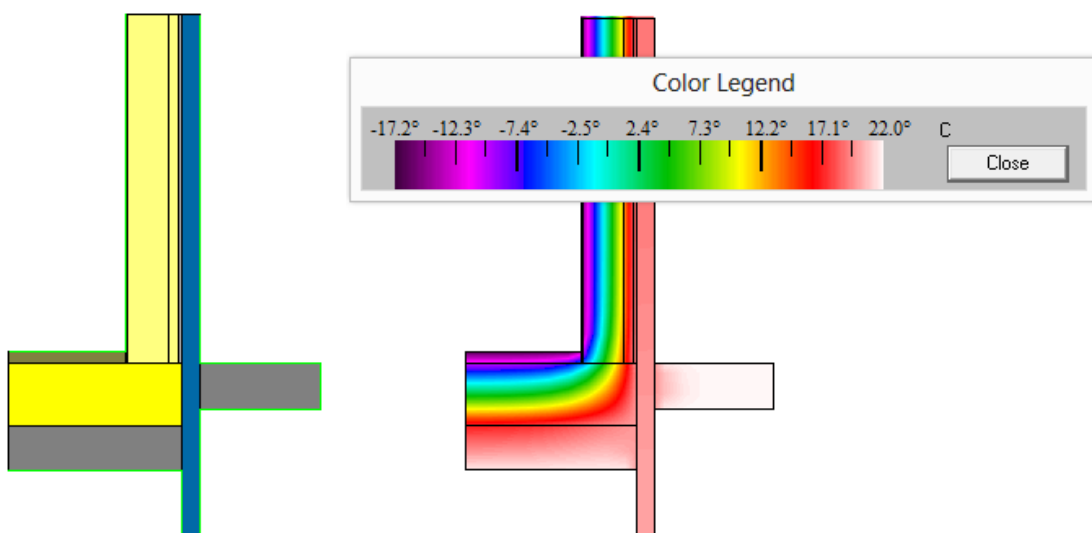
Figur 68 Overgang vegg tak

## 8.7 VERANDA

De ulike nivåene i bygget har ulike utfordringer med overgangen bolig veranda

### 8.7.1 OVERGANG VERANDA VED H05

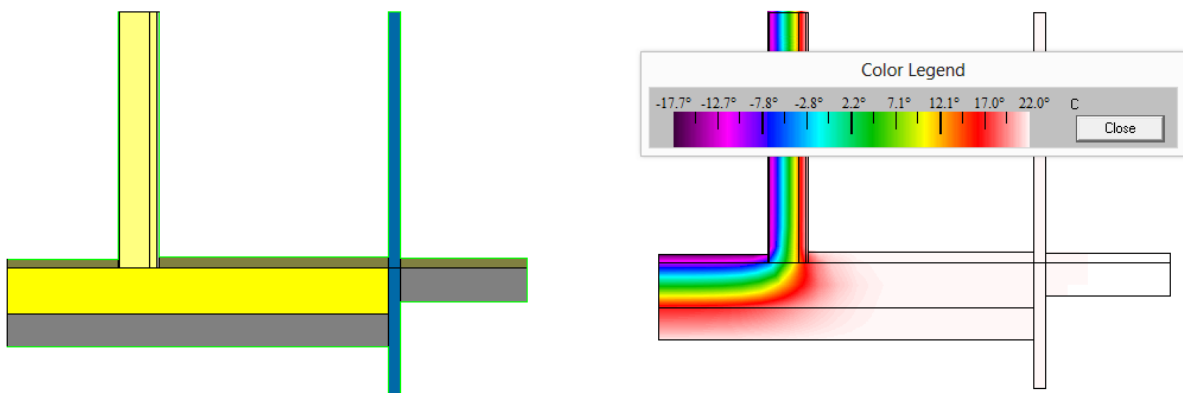
Ved akse linje H05 på byggetegningen er det tegnet en snittegning av overgangen. Der ser man den preaksepterte veggen hvile på det preaksepterte taket til boligen under. Ser også den gjennomgående stålsøylen til bygget. De ble laget en modell i Therm for å se varmestrømmingen til denne overgangen. Det er ikke tatt hensyn til veranda dører/ glassdører i veggen til denne modellen som er vist under.



Figur 69 Overgang vegg/veranda

### 8.7.2 Overgang balkong ved H04

Ved akselinje H04 fikk bygget grunnet bygningsformen bolig over og under dekke. Den gjennomgående stålsøylen som vist i modellen til H05 vil da være innvendig og vegg flyttes frem. Simuleringen av modellen i Therm viste varmestrømmen gjennom konstruksjonen. Det er det ikke tatt hensyn til verandadører/glassdører i veggene.



Figur 70 Overgang vegg/veranda

## 8.8 RASSIKRING

Mange bygg og anlegg har blitt utført uten store krav til fjellsikring, men etter Ålesundraset (Fjelltunvegen 31) i 2008 ble fokuset på rassikring forandret. Hensikten med rassikring er å hindre at fjell raser ut fra en fjellsiden.

Møre og Romsdal fylke er ett av de mest rasutsatte i Norge. Dette prosjektet er i Ålesund som tilhører dette fylket. Den aktuelle tomta ligger 750m i luftlinje fra raset som var i 2008. Fjellsikring av tomtens skjæring blir derfor en viktig faktor før oppføring av dette prosjektet, men vi går ikke inn på det i denne oppgaven.

## 8.9 BRANN

### 8.9.1 BRANNCELLEBEGRENSENDE BYGNINGSDELER

Branncellebegrensende bygningsdeler omfatter alle innervegger og etasjeskillere som er knyttet til en branncelle. Yttervegg må utføres som branncellebegrensede bygningsdel der rømningsvei går utenfor fasaden.

Brannceller i dette prosjektet:

- Rømningsveier (korridorer)
- Trapperom
- Tekniske rom (heismaskinrom, tavlerom, rom for ventilasjonsaggregat og søppelrom)
- Sjakter (heissjakter, tekniske installasjonssjakter som går gjennom flere brannceller)
- Hver selvstendig bruksenhets (leilighet)

Branncellebegrensende bygningsdeler i brannklasse 3 må utføres med brannmotstand EI 60 A2-s1,d0 (42)

#### 8.9.2 BRANNVEGG

Vi tar forbehold at avstanden mellom nabobygningene er mer en 8,0 m, så det ble ikke prosjektert noen brannvegger i denne oppgaven

#### 8.9.3 BRANNISOLERING

Hovedbæresystemet har R90 som brannkrav

#### 8.9.4 SØYLER

Til søylene er det benyttet ISOVER FireProtect som gir effektiv brannbeskyttelse av bærende stål-konstruksjoner. Beregningen lot seg enkelt utføre ved hjelp av beregningsprogrammet ISOVER FireProtect Calc som er gratis og bruke på glava.no. 500 °C ble benyttet som kritisk stålt temperatur. Produktet er testet og godkjent av SINTEF (43).

Tabell 32 Brannisolering av de forskjellige søylene

Profil	4-sidig isolasjon	Brannmotstand	Nødvendig tykkelse
RHS 250 × 250 × 12,5	Ja	R90	25 mm
RHS 200 × 200 × 10	Ja	R90	30 mm
RHS 120 × 120 × 10	Ja	R90	30 mm

Utdregninga ligger i vedlegg 12.15.2

#### 8.9.5 BJELKER

Deltabjelken er benyttet som bjelke i hovedbæresystem. Den har innebygd brannmotstand opptil R180. Prosjektgruppen har korrespondert med Peikko group via Morten Evensen. Peikko er leverandør av Deltabjelken og bekreftet via mail at valgt bjelke har R90 brannmotstand.

## 8.9.6 DEKKER

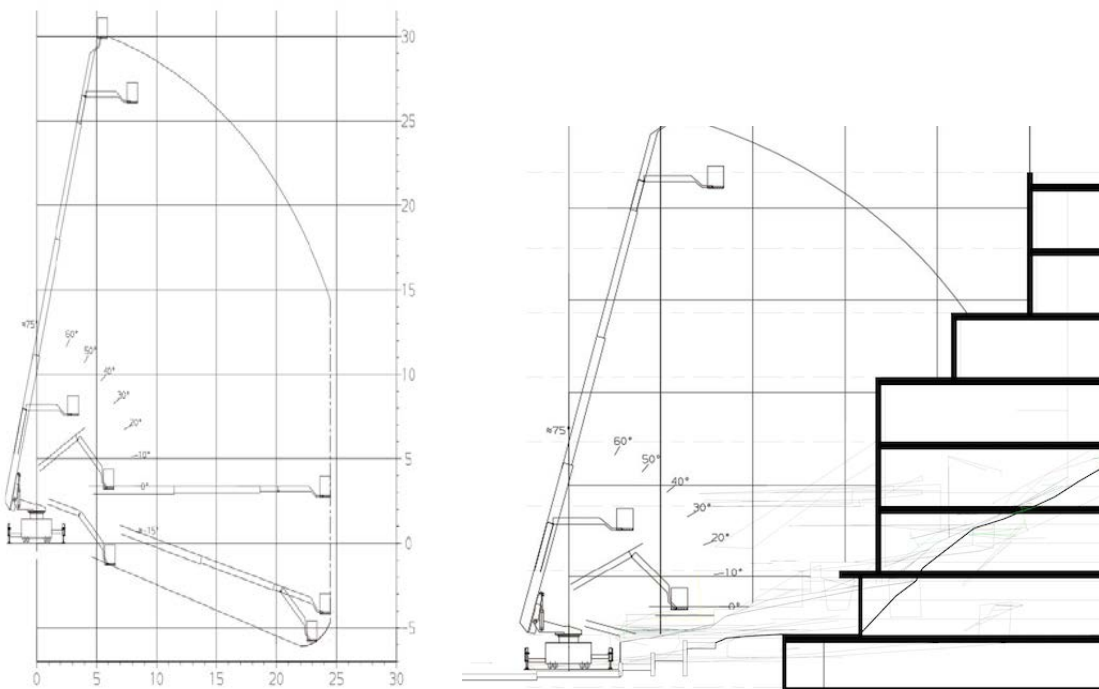
HD 265 er benyttet som dekker, og har R90 brannmotstand uten ekstra tiltak. Ved bruk av lett-tak må elementer med 100 mm himlingsisolasjon benyttes for å oppnå brannmotstand tilsvarende R90.

## 8.9.7 RØMNING

*"Vi betrakter boligbygget som et bygg med krav om heis, og dermed også krav til sprinkleranlegg. Dersom brannvesenet kan nå alle leiligheter i bygget med sitt stigemateriell kan vi se på en rømningsløsning med ett trapperom i kombinasjon med sprinkleranlegg.*

*Dette forutsetter at det tilrettelegges slik at brannvesenet kommer tilstrekkelig nært bygget med sine biler og at de kan nå alle leiligheter av bygget med lift/stigebil. Ålesund brannvesen oppgir på telefon at lift skal betraktes som 32 m i rekkeviddediagrammet. Diagrammet viser avstand fra fasade i x-aksen og hvor høyt liften rekker i y-aksen. For øvrig må det tilrettelegges for kjørbar atkomst til byggets hovedangrepssvei samt at det må være maks hellingsvinkel og størrelse på oppstillingsplass og at underlaget dimensjoneres for nødvendig belastning. Det må legges til grunn brannvesenets lift. Vi ser at de oppgir 1:8 i stigning."*

(Ref Mail fra Liv Astrid Bergsager Vedlegg 12.16)



Figur 71 Rekkeviddediagram stigebil

Oppstillingsplass for stigebil er på fortau/hovedvei som ligger 10 meter fra bygget. Stigebilen har ikke kapasitet til å evakuere den øverste etasjen (H06). Løsning på dette må løses i samråd med brannkonsulent(cowi), men vi har utarbeidet 3 mulige forslag:

- Utvendig rømningstrapp ned til terreng i akse A2 og A4 fra H06 til H05
- Utvendig brannstige fra alle leiligheten i H06 ned til takveranda i H05
- Kombinasjon av forslagene over

## 9 VURDERING AV RESULTATENE

Bæresystemet til dette prosjektet er laget ut ifra byggets utforming. I tillegg måtte vi ta hensyn til lavenergi prosjektering og jordskjelv i henhold til valgt problemstillingen. I startfasen brukte vi det opprinnelige bæresystemet, men som etter hvert viste seg problematisk grunnet lavenergi krav mot kuldebro, spesielt med tanke på overgang veranda og utvendig skall. Av den grunn prøvde vi å endre retning på bærebjelkene. Dette mente vi at ville være en god løsning da vi kunne ha forskjellige dekke høyder på samme etasje. På denne måten unngå å få kuldebroer på verandaer. Denne senkningen ville i forhold til det originale bjelkesystemet gi oss en ny utfordring med økt bjelkespenn grunnet kravet til fri kjørebane i parkeringskjeller.

Vi prøvde først å bruke hatteprofil bjelker på dette spennet, men ut i fra tabeller og ønsket høyde på bjelke lot dette seg ikke gjøre med gitte belastinger. Hatteprofiler var et alternativ for å få lav dekke til dekke høyde. Dette for å oppnå ønsket antall etasjer innen gitt maksimum høyde. Etter mislykkede forsøk på diverse bjelker, kom veileder med forslag om å benytte deltabjelke. Etter samtaler med leverandør, ønsket vi å prøve deltabjelken som klarte våre krav til spenn, høyde og kapasitet. For å øke utnyttelsen brukte vi to forskjellige tverrsnitt på deltabjelken.

Neste utfordring ble da å modellere dette i Robot. Dette viste seg vanskelig da deltabjelken ikke var tilgjengelig i programvaren. Vi løste dette med å bytte til HEB bjelke med til tilsvarende kapasitet.

I startfasen av prosjektet mottok vi en Revit modell fra oppdragsgiver som ble importert til robot. Modellen var en volum- og bæresystem skisse. Denne benyttet lenge som utgangspunkt for omriss og akse mål til vår modellering, men vi møtte på mange feilmeldinger og problem. Det viste seg at måten den var modellert på i Revit førte til feil i robot modellen. Feilen viste seg å være akser som ikke lot seg korrigere. Vi laget derfor ny modell og definerte nytt aksesystem. Da falt ting på plass og vi kunne begynne å definere bygningsstruktur og deler.

Robot ble brukt som modelleringsprogram grunnet det er Autodesk sitt beregningsprogram, som er i familie med Autodesk Revit som vi har fått opplæring i. Ut fra programbeskrivelse mente vi at det ville være mange fordeler med å benytte robot. Målet var å lage en modell der vi kunne ta ut valgte elementer i bygget med rapporter, beregninger og arbeidstegninger. I denne oppgaven har vi kun lagt med de elementene som er nevnt i oppgaven for å ikke få uoversiktlig mye vedlegg. Vi kunne med fordel sammenlignet med noen andre tilgjengelige beregningsprogram, men robot krevde såpass mye tid at dette ikke ble gjort.

Robot definerer originalt alle knutepunkt som momentstive. Vi så av den grunn at det ble store momentbelastninger på søylene som førte til behovet for store tverrsnitt på søyler. For å redusere momentbelastningen i søyler prøvde vi å definere enklere knutepunkter mellom

søyler og bjelker. Vi definerte da bjelker i modellen som fritt opplagt for å unngå store momentbelastninger i knutepunktene.

Avstivning av bygget består av et skivesystem i betong. Vår modell i robot definerer dekkene som en uendelig stiv skive med simulert vekt lik hulldekke. Robot beregner ikke nedbøyning av dekker, da dette ble gjort manuelt fra tabeller til hulldekke produsenter. I modellen er alle vertikalskivene modellert som 250mm tykke betongvegger. Vertikalskivene består av heissjakt, sidevegger og bakvegg. Heissjakt er plassert etter skissetegning, sidevegger er plassert slik at de går kontinuerlig fra fundament til tak og bakveggen kommer som en følge av byggets plassering i forhold til fjell. Vi har ikke fokusert på å prøve andre alternativer da modellen klarte kravene i forhold til avstivning. Vi vurderte å prøve kryssavstivning i stål istedenfor betong, men har ikke rukket å modellere en modell med denne løsningen.

Stålsøylene er dimensjonert i robot i henhold til Norsk Standard. Av prosjekterings- og monterings hensyn er søylene med samme tverrsnitt fra fundament til tak. For bedre utnyttelse av søylene har vi benyttet tre ulike tverrsnitt.

Til dette prosjektet prøvde vi å bruke hulldekker. Da dette er en godt utprøvd byggemetode. Vi vurderte plasserte dekker, men grunnet lengre byggetid, mer omfattende prosjektering, høyere vekt i forhold til stivhet og styrke ble det naturlig å velge hulldekker. Hadde vi hatt bedre tid ser vi at det kunne hvert sett på flere alternativer.

To typer tak ble vurdert til dette prosjektet. Basert på resultater tidligere i oppgaven ble lett tak mest gunstig grunnet kriterier tid og vekt. Modelleringen i robot ble utført med kompakt tak, da denne har likt dekke som resten av bygget og er den mest ugunstige løsningen mtp jordskjelv.

Vi utførte jorskjelvberegninger både i robot og manuelt for å kunne sammenligne. For å klare å beregne dette manuelt laget vi en forenklet modell. Vi startet med en modell som hadde gunstig geometrisk løsning. Dette var uheldig da vi ikke kunne bruke resultatene til beregning i Robot. Vi måtte derfor lage en ny forenklet modell som hadde mer ugunstig geometrisk løsning. Resultatet av denne manuelle beregningen ble sammenlignet med den forenklede modellen i robot. Grunnen til at vi sammenlignet den forenklede modellen både manuelt og i robot var å kvalitetssikre dataen. På denne måten fikk vi en bedre forståelse til å tolke resultatene av hovedmodellen.

For at lavenergi standard kravene skulle innfris fant vi ut at bygningskallet med stor fordel kunne plasseres på utsiden av bæresystemet. På denne måte unngikk vi kuldebroer. Vi brukte i hovedsak preaksepterte løsninger på bygningskomponenter som lå innenfor lavenergi kravene. Kvalitetssikring av resultater ble gjennomført med programmer Therm der vi kontrollerte enkelt elementer og overganger.

## 10 KONKLUSJON

Gjennom prosjektering av denne 8 etasjes boligblokken har vi svart på vår problemstilling.

Bæresystemet ble valg ut i fra hensyn til lavenergistandarden og jordskjelv. Valget med å bruke stålbaresystem og hulldekker viste seg å være en god løsning. Dette førte til stor fleksibilitet i utformingen grunnet lange spenn på dekkene. Det å endre retning på bjelkene i bæresystemet er et valg vi er veldig fornøyd med. Ikke bare løste det problemene med kuldebro på verandaene, men gav også et mindre antall søylerader i x-retning som vil gi arkitekten mye større frihet.

Deltabjelken hadde vi liten kunnskap om, men vi fikk god hjelp av leverandør. Valget med å bruke denne løste alle våre krav til styrke og spenn. I tillegg til dette fikk vi dekket brannkravet da bjelken har en innebygd brannmotstand.

Valgt løsning på avstivning av bygget tilfredsstilte kravene, og den viste seg enkel å modellere i robot. Vi kunne prøvd flere alternativer for å kunne gjort sammenligninger, men siden løsningen var tilfredsstillende ble ikke dette prioritert.

Modellering i robot var vesentlig mer komplisert enn det vi antok når vi startet. Det tok lang tid å tegne inn omrisset nøyaktig og det var omfattende å definere laster og knutepunkter. Robot var et krevende program som krevde mye tid og disiplin, men nytteverdien til sluttproduktet var verdt det. Fordelene kom tydelig frem i slutten av prosjektet, da vi kunne hente ut alt fra arbeidstegninger til beregninger og rapporter direkte fra programmet.

Jordskjelv var noe vi utgangspunktet hadde minimal kunnskap om. Dette var kanskje det mest krevende temaet i oppgaven. Det var mye å sette seg inn i og krevde mye tid. Selv om læringskurven var ekstremt bratt, føler vi at vi sitter igjen med en bedre forståelse. Måten vi jobbet oss mellom teori og metode ga oss innsikten vi trengte til beregning. Mathcad var et oversiktlig program til å gjennomføre håndberegningen. Valget med å lage forenklede modeller var helt avgjørende for den manuelle jordskjelvberegningen og forståelsen av hovedmodellen. Vi fikk Modal analysen til å fungere på en forenklet modell, men det viste seg vanskelig på hovedmodellen.

Valget med å benytte preaksepterte løsninger på bygningskallet viste seg og forenkle prosjekteringen i stor grad. Therm var et brukervennlig program som gjorde det enkelt å kvalitetssikre bygningselementer i henhold til standard.

## BIBLIOGRAFI

1. Norsk stålforbund og betongforening. Hulldekker på bæresystem av stål. [Online].; 2008. Available from:  
[http://www.betongelement.no/media/9467/BEF.Veileder.Hulldekker\\_L3%285%29.pdf](http://www.betongelement.no/media/9467/BEF.Veileder.Hulldekker_L3%285%29.pdf).
2. Larsen PK. Dimensjonering av stålkonstruksjoner. 2nd ed.: Tapir akademiske forlag; 2010.
3. Larsen PK. Konstruksjonsteknikk: Laster og bæresystemer. 2nd ed. Norge: Tapir akademiske forlag; 2008.
4. Alexander JHoS. Betongelementboken bind B avstivning og kraftoverføring. 5th ed. Norge: Betongelementforeningen; 2012.
5. moderniseringsdepartementet Ko. § 7 Sikkerhet ved brann. [Online]. Available from: [www.lovdata.no](http://www.lovdata.no).
6. byggkvalitet Df. Veiledning om tekniske krav til byggverk. [Online]. Available from: <http://dibk.no/no/BYGGEREGLER/Gjeldende-byggeregler/Veiledning-om-tekniske-krav-til-byggverk/?dpx=/dpx/content/tekniskekrav/&q=veiledning+om+tekniske+krav>.
7. Norsar. [Online]. Available from: [www.jordskjelv.no](http://www.jordskjelv.no).
8. Betongelementforeningen. Betongelementboken bind H Dimensjonering for jordskjelv: Betongelementforeningen; 2011.
9. Norge S. NS-EN1998-1: 2004+NA: 2008, Eurokode 8: Prosjektering av konstruksjoner for seismisk påvirkning; 2008.
10. Hermstad THDoK. SINTEF Byggforsk. [Online].; 2012 [cited 2015 02 05]. Available from: [http://www.husbanken.no/miljo-energi/mg\\_nyb%20ygg\\_verktøy/energieffektive-boliger-for-fremtiden\\_gul\\_handbok//~media/Miljo\\_energi/Energieffektive\\_boliger\\_Juli\\_2012.ashx](http://www.husbanken.no/miljo-energi/mg_nyb%20ygg_verktøy/energieffektive-boliger-for-fremtiden_gul_handbok//~media/Miljo_energi/Energieffektive_boliger_Juli_2012.ashx).
11. Norge S. NS 3700:2013: Kriterier for passivhus og lavenergibygninger, Boligbygninger norge S, editor. Norge: Standard Norge; 2013.
12. Husbanken. Hva er et passivhus. [Online].; 2014. Available from: [http://www.husbanken.no/miljo-energi/hva\\_er\\_et\\_passivhus/](http://www.husbanken.no/miljo-energi/hva_er_et_passivhus/).
13. NVE. energimerking.no. [Online].; 2015. Available from: <http://www.energimerking.no>.
14. Norge S. NS 3031:2014 Beregning av bygningers energiyttelse, Metode og data. 30312014th ed. norge S, editor. Norge: Norsk Standard.
15. Espedal KJ. Bygningsfysikk. 4th ed. Norge: Byggenærings forlag; 2010.
16. Marsh K. Autodesk Robot Structural Analysis Professional 2014: Marsh API, LLC, Smerville, Massachusetts; 2014.
17. as RN. FRAME 2DExpress. [Online]. Available from: <http://www.runet.no/FRAME2DExpress.htm>.
18. Byggforsk S. 471.031 Egenlaster for bygningsmaterialer, byggevarer og bygningsdeler. [Online].; 2015. Available from: <http://bks/byggforsk.no/DocumentView.aspx?sectionId=2&documentId=215>.
19. Tarald Rørvik VÅ. Konstruksjonssikkerhet og belastning. 3rd ed. Norge: Tarald Rørvik, Vemund Årskog; 2010.
20. Norge S. Eurokode 3: Prosjektering av stålkonstruksjoner. Del 1-1 Allmene regler for bygninger; 2008.
21. Norge S. NS-EN 1991-1-3:2003+NA:2008, Eurokode 1 Laster på konstruksjoner. Del 1-

- 3 allmene laster, snølaster; 2008.
22. Norge S. NS-EN 1991-1-4:2005+NA:2009. Eurokode 1: Laster på konstruksjoner. Del 1-4: Allmene laster, vindlaster; 2009.
23. Norge S. NS-EN 1990:2002+NA:2008, Eurokode: Grunnlag for prosjektering av konstruksjoner; 2008.
24. Norelement. Betongelement. [Online].; 2015. Available from: [www.norelement.no](http://www.norelement.no).
25. Spenncon. Kapasiteter, bruddgrense. [Online].; 2015. Available from: <http://handbook.spenncon.e21solu.fi/Spenncon/?node=1.1.1.2#hd265-og-hd285>.
26. Peikko. Deltabjelken. [Online].; 2015. Available from: <http://www.peikko.no/>.
27. Byggforsk S. 525.207 Kompakte tak. [Online].; 2015. Available from: <http://bks.byggforsk.no/DocumentView.aspx?sectionId=2&documentId=387#i53>.
28. Byggforsk S. 525.002 Takkonstruksjoner. Valg av taktype og konstruksjonsprinsipper. [Online].; 2015. Available from: <http://bks.byggforsk.no/DocumentView.aspx?sectionId=2&documentId=381>.
29. Nordland-betongelement. Overføring av skivekrefter i hulldekke. [Online].; 2015. Available from: <http://nordland-betongelement.no>.
30. Norge S. NS 3490 Prosjektering av konstruksjoner - Krav til pålitelighet ; 2004.
31. Rambøll SBo. Passivhuskurs for utførende. [Online].; 2012. Available from: <http://www.lavenergiprogrammet.no/getfile.php/Kursmateriell/passivhuskurs%20h%C3%A5ndverkere.pdf>.
32. Lavenergiprogrammet. lavenergiprogrammet. [Online].; 2015 [cited 2015 02 02]. Available from: <http://www.lavenergiprogrammet.no/>.
33. Lavenergiprogrammet. Prosjektering av passivhus. 3rd ed. Norge: Lavenergiprogrammet.
34. institutt M. Årsmiddel temperatur. [Online]. Available from: [met.no](http://met.no).
35. Ramstad KiEoT. Trehus Håndbok 53. 9th ed. Haug T, editor.; 2010.
36. Byggforsk S. Prosjektrapport 98. [Online].; 2012. Available from: [http://www.sintef.no/globalassets/upload/byggforsk/fagartikler/v\\_info\\_pub\\_utgivelser/prosjektrapport\\_sintef-byggforsk-prosjektrapporter\\_sb-prapp-98\\_nett\\_sb-prapp-98.pdf](http://www.sintef.no/globalassets/upload/byggforsk/fagartikler/v_info_pub_utgivelser/prosjektrapport_sintef-byggforsk-prosjektrapporter_sb-prapp-98_nett_sb-prapp-98.pdf).
37. Byggforsk S. 573.121 Materialer til luft- og dampetting. [Online].; 2015. Available from: <http://bks.byggforsk.no/DocumentView.aspx?sectionId=2&documentId=598>.
38. Byggforsk JHoSGS. Er det risiko for muggvekst ved bruk av dobbel vindsperre. [Online].: Byggeindustrien; 2009. Available from: [http://www.sintef.no/globalassets/upload/skmbt\\_c45009092910160.pdf](http://www.sintef.no/globalassets/upload/skmbt_c45009092910160.pdf).
39. Byggforsk S. 523.701 Innsetting av vindu i vegger av bindingsverk. [Online].; 2015. Available from: <http://bks.byggforsk.no/DocumentView.aspx?sectionId=2&documentId=369#i11>.
40. Byggforsk S. 471.403 U-verdier. Vegger over terreng - bindingsverk av I-profiler av tre. [Online].; 2015. Available from: <http://bks.byggforsk.no/DocumentView.aspx?sectionId=2&documentId=4098>.
41. Byggforsk S. 321.030 Brannteknisk oppdeling av bygninger. [Online].; 2015. Available from: <http://bks.byggforsk.no/DocumentView.aspx?sectionId=2&documentId=79>.
42. GLAVA. ISOVER FireProtect. [Online]. Available from: <http://fireprotect.isover.se/?lang=no>.
43. Lett-tak.no. Taksystemer. [Online].; 2015. Available from: <http://lett-tak.no>.

44. Norsar. Jordskjelv i Norge. [Online]. Available from:  
<http://www.jordskjelv.no/jordskjelv/norge.html>.
45. Norsar. Jordskjelv i Ålesund. [Online]. Available from: <http://www.jordskjelv.no/cgi-bin/showpage.cgi?type=siste&id=1245066129>.
46. Byggforsk S. Teknisk godkjenning. [Online]; 2012. Available from:  
[http://www.skanska.no/Global/ProductsAndServices/Husfabrikken/Godkjenning%20217\\_3.pdf](http://www.skanska.no/Global/ProductsAndServices/Husfabrikken/Godkjenning%20217_3.pdf).
47. Byggforsk S. 522.881 Dekker av betong- og lettbetongelementer. [Online].; 2015.  
Available from:  
<http://bks.byggforsk.no/DocumentView.aspx?sectionId=2&documentId=346>.

## 12 VEDLEGG

### 12.1 FORPROSJEKT

Oppdragsgiver:	MOLDSKRED AS	Referanse:	SINDRE MOLDSKRED
----------------	--------------	------------	---------------------

Tittel:	Dokument:
	Dok.: nr.:
	Dok.: type: <b>Forprosjekt</b>
<b>Bacheloroppgave IB 302812 2015</b>	Dok. Tilgang:
	Dok.:status:
	Versjon nr.: 1
	Antall sider: 10
	Bibl. nr.:

studentgruppe (navn/underskrift):  Bengt kongsvoll Dan Marius Stålerød Hans Christian Giske Solomon Mwamba Tshibanda	studieretning/klasse:  <b>Bygg-Konstruksjon</b>
	Dato: 29.01.2015

## PROSJEKTOPPGAVE

Prosjektering av boligblokk i lavenergistandard med primær fokus på bygningsfysikk, dimensjonering og jordskjelvanalyse.

emner:

bygningsfysikk, bæresystemer og jordskjelvanalyse

Godkjent (sign/dato)	Veileder	Ekstern kontakt
	VEMUND ÅRSKOG	

## FORORD

Dette forprosjektet inneholder målsetningene vi setter til i hovedoppgaven. Oppgaven i hovedprosjektet er gitt av Moldskred AS og er 8. etasjers boligblokk på en tomt i Borgundveien 151/153.

Oppgaven omhandler dimensjonering av bæresystemet, prosjektering i henhold til lavenergistandard og jordskjelvanalyse. Vårt hovedfokus er på bygningsfysikk og dimensjonering.

Denne oppgaven gir oss mulighet til å gå i dybden på kjente tema som vi har hatt i skole sammenheng, samt supplere med nye og spennende emner. Spesielt lavenergistandarden er interessant med tanke på fremtidige krav i PBL.

## 1.1 REVISJONSOVERSIKT

Revisjonsdato	Revisjonsnr	Tema	Godkjenning
---------------	-------------	------	-------------

## 1.2 BEGREPER

- PBL- Plan- og Bygningsloven
- TEK 10- Krav til byggverk og produkter til byggverk
- NS- Norsk Standard
- ENØK- Energiøkonomisering

## 1.3 SAMMENDRAG

Vår oppgave bygger på et reelt prosjekt gitt av Moldskred AS.

Formålet med oppgaven er å utarbeide et fungerende bæresystem som skal dimensjoneres basert på skisseprosjektet.

Parallelt med deres prosjektering i TEK 10 standard vil vi prosjektere i lavenergistandarden og belyse fordeler med denne.

Muligheten for realisering av prosjektet er gode, men krever toveis kommunikasjon mellom prosjektgruppen og oppdragsgiver. At vi jobber struktureret mot delmål og mål. Holder oss innenfor fremdriftsplan og hele tiden har et helhetlig perspektiv.

Utfordringene blir å ikke henge seg opp i detaljer, sikre god kommunikasjonsflyt, følge gitte tidsrammer og revidere utførte oppgaver ved behov.

## 2 PROSJEKTORGANISASJON

### 2.1 Prosjektgruppe

Navn	Adresse	Tlf- arb	Mobil	e-post
------	---------	-------------	-------	--------

Bengt Kongsvoll	Eidsgata 5, 6770 Nordfjordeid		41688946	bengtkongsvoll@hotmail.com
Dan Marius Stålerød	Ystnesgata 33, 6007 Ålesund		91853382	dan.stalerod@gmail.com
Hans C. Giske Solomon T	Aspegata 7, 6005 Ålesund Mjelkevegen 10A, 6155 Ørsta		98859798 96731951	hcgiske@gmail.com mwa_tshi@yahoo.no

### 2.1.1 Opgaver for prosjektgruppen

- Følger den definerte prosjektoppgaven
- Utarbeiding av prosjektplan og fremdriftsplan
- Sikre god kommunikasjon innad i prosjektgruppen og oppdragsgiver
- Kvalitetsikre delrapporter og sluttrapport
- Løpende evaluering av prosjekt mtp. Tid og utforming
- Daglig backup av arbeid

### 2.1.2 Opgaver for prosjektleder – Bengt Kongsvoll

- Likestilt til gruppearbeid som resten av gruppen
- Planlegging av prosjektets organisering
- Oppfølging av arbeid
- Informasjonsflyt innad i prosjektgruppen
- Overordnet ansvar for at delmål blir gjennomført
- Innkalle til møte
- Daglig loggføre eget arbeid

### 2.1.3 Opgaver for sekretær – Dan Marius Stålerød

- Likestilt til gruppearbeid som resten av gruppen
- Ansvarsområder:
  - Oppfølging av fremdriftsplan
  - Dokumentflyt
  - Møtereferat
- Daglig loggføre eget arbeid

#### **2.1.4 Opgaver for teknisk ansvarlig – Hans Christian Giske**

- Likestilt til gruppearbeid som resten av gruppen
- Ansvarsområder:
  - Software og design
  - Standarder
- Daglig loggføre eget arbeid

#### **2.1.5 Opgaver for øvrige medlemmer - Solomon Mwamba Tshibanda**

- Likestilt til gruppearbeid som resten av gruppen
- Daglig loggføre eget arbeid

### **2.2 Styringsgruppe (veileder og kontaktperson oppdragsgiver)**

Veileder: Vemund Årskog

Kontaktperson: Sindre Moldskred

## **3 AVTALER**

### **3.1 Arbeidssted og ressurser**

Prosjektgruppen har fått tildelt et hjørne i kart- og landmålingslabben som arbeidsplass. Vi får fortløpende tilgang på ressurser etter behov. Våre kontakt- og ressurspersoner er Vemund Årskog og Sindre Moldskred. Vi har avtalt rapportering til veileder hver 14. dag.

### **3.2 Gruppenormer – samarbeidsregler**

Hver enkelt deltager i gruppen plikter å utføre avtalt arbeid innenfor gitte tidsrammer. Oppstår det sykdom og lignende skal gruppen informeres snarest.

Planlagte fellesaktiviteter skal gjennomføres selv om ikke alle gruppemedlemmene er til stede, så sant det lar seg gjøre.

Oppstår det uenigheter/konflikter skal dette løses i plenum fortløpende.  
Skal det jobbes hjemmefra skal dette avtales med resten av gruppen.  
Alle gruppemedlemmene plikter å stille til alle oppsatte møter, om ikke annet er avtalt.

Alle gruppemedlemmer er forpliktet til å holde seg oppdatert med andres arbeid, samt dele sitt eget arbeid.

## 4 PROSJEKTBESKRIVELSE

### 4.1 Målsetting

Resultatmål:

- 3D modell i tilgjengelig Software, med plan og snitt tegninger
- Prosjektert bygg ut ifra lavenergi standard og PBL
- Dimensjonert hovedkonstruksjon
- Jordskjelvanalyse

Effektmål:

- Oversikt over prosjekteringsprosessen
- Lære å utforme bygg i henhold til PBL
- Lære dimensjoneringsprosessen
- Kunnskap for å utføre og vurdere en jordskjelvanalyse

### 4.2 Krav til løsning eller prosjektresultat – spesifikasjon

Innfri gitte krav som faller under:

- TEK 10
- Lavenergistandarden
- NS-standarder
- PBL

### 4.3 Informasjonsinnsamling – utført og planlagt

Planlagt:

- Reguleringsplan
- Tek 10
- Lavenergistandarden
- PBL
- NS
- Byggforsk
- Moldskred informasjon

### 4.4 Vurdering

Dette er et prosjekt som blir realisert i regi av Moldskred i henhold til TEK 10. Vårt bidrag er prosjektering etter lavenergistandarden. På denne måten har vi konkret noe vi kan trekke sammenligninger med.

Hvis ikke Moldskred har kommet langt nok i prosessen vil det skape noen utfordringer med tanke på sammenligninger. Vi vil uansett fortsette vår prosjektering basert på egenproduserte tegninger.

Vi har liten erfaring og kunnskap om lavenergistandarden og jordskjelvanalyser, dette er emner som vi må dette oss inn i. Etter samtaler med Moldskred velger vi ikke å fokusere på VVS, innvendig planløsning og elektriske installasjoner.

#### 4.5 Hovedaktiviteter i videre arbeid

Nr	Hovedaktivitet	Ansvar	Tidsomfang
<b>A</b>	<b>Forprosjekt</b>	<b>Alle</b>	<b>4 uker</b>
A1	Veiledermøte		
A2	Møte med Moldskred		
A3	Ferdigstilling av forprosjekt		
<b>B</b>	<b>Hovedprosjekt</b>	<b>Alle</b>	<b>10 uker</b>
B1	Innsamling av grunnlagsdata		
B2	Sette seg inn i de ulike Standarder		
B3	Sette seg inn i Revit og Robot		
B4	Bygningsfysikk		
B5	Beregninger av Bærekonstruksjonen		
B6	Sammenligning mellom lavenergi og TEK10		
B7	Grunnlagsdata for jordskjelvanalyse		
B8	Diskusjon		
B9	Konklusjon		
<b>C</b>	<b>Ferdigstilling av rapport</b>	<b>Alle</b>	<b>3 uker</b>
C1	Sammenføyning av arbeid		
C2	Møte med veileder		
C3	Evt. Revideringer		
<b>D</b>	<b>Avslutning</b>	<b>Alle</b>	<b>1 uke</b>
D1	Lage presentasjon og poster		
D2	Øve på presentasjon		

#### 4.6 Framdriftsplan – styring av prosjektet

Microsoft Prosjekt blir brukt til utarbeidelse og revidering av fremdriftsplan.

#### 4.6.1 Hovedplan

Hovedplan er beskrevet i punkt 4.5

Milepæler i prosjektet:

- M1: Definering av oppgave
- M2: Innlevering av forprosjekt
- M3: Valg av bæresystem
- M4: Endelige tekniske løsninger
- M5: Ferdigstillelse av tegninger
- M6: Jordskjelvanalyse
- M7: Innlevering hovedprosjekt
- M8 : Presentasjon

#### 4.6.2 Detaljplan

Detaljplan og oversikt er beskrevet i Microsoft Project, se vedlegg

#### 4.6.3 Intern kontroll – evaluering

- Prosjektleder har overordnet ansvar for evalueringen
- Kvalitetssikring av alle kritiske beregninger med veileder eller oppdragsgiver.
- Daglig loggføre og evaluere eget arbeid
- Fremdriftsrapport hver mandag med påfølgende avviksbehandling
- Alle gruppemedlemmer er pliktet til å kjøre backup til dropbox daglig.

### 5 DOKUMENTASJON

#### 5.1 Rapporter og tekniske dokumenter

Dokumentasjon:

- Fremdriftsrapport

- Møtereferat
- Rutiner:
- Fremdriftsmøte hver mandag
  - Kontroll av kilder
  - Møte med oppdragsgiver og veileder hver 14. dag
  - Møtereferat fortløpende
  - Loggføring av eget arbeid og opplasting til dropbox
  - Fremdriftsrapport annenhver fredag
  - Backup av arbeid kontinuerlig
- Godkjennelse:
- Alle referat og rapporter skal ha samme mal og kontrolleres og godkjennes av prosjektleder
- Distribusjon:
- Forprosjekt og hovedprosjekt blir levert både elektronisk og på papirform
- Registrering:
- Revideringer og endringer av aktiviteter skjer fortløpende
  - Kilder legges fortløpende inn i Excel-ark på dropbox
- Kopiering:
- Aktuelle parter får kopi av endelig hovedprosjekt

## 6 PLANLAGTE MØTER OG RAPPORTER

### 6.1 Møter

Gruppe 6	04.02	18.02	04.03	18.03	09.04	23.04	06.05	
----------	-------	-------	-------	-------	-------	-------	-------	--

#### 6.1.2 Prosjektmøter

- Prosjektgruppe møte hver mandag

### 6.2 Periodiske rapporter

#### 6.2.1 Framdriftsrapporter (inkl. milepål)

- Fremdriftsrapport leveres annenhver fredag

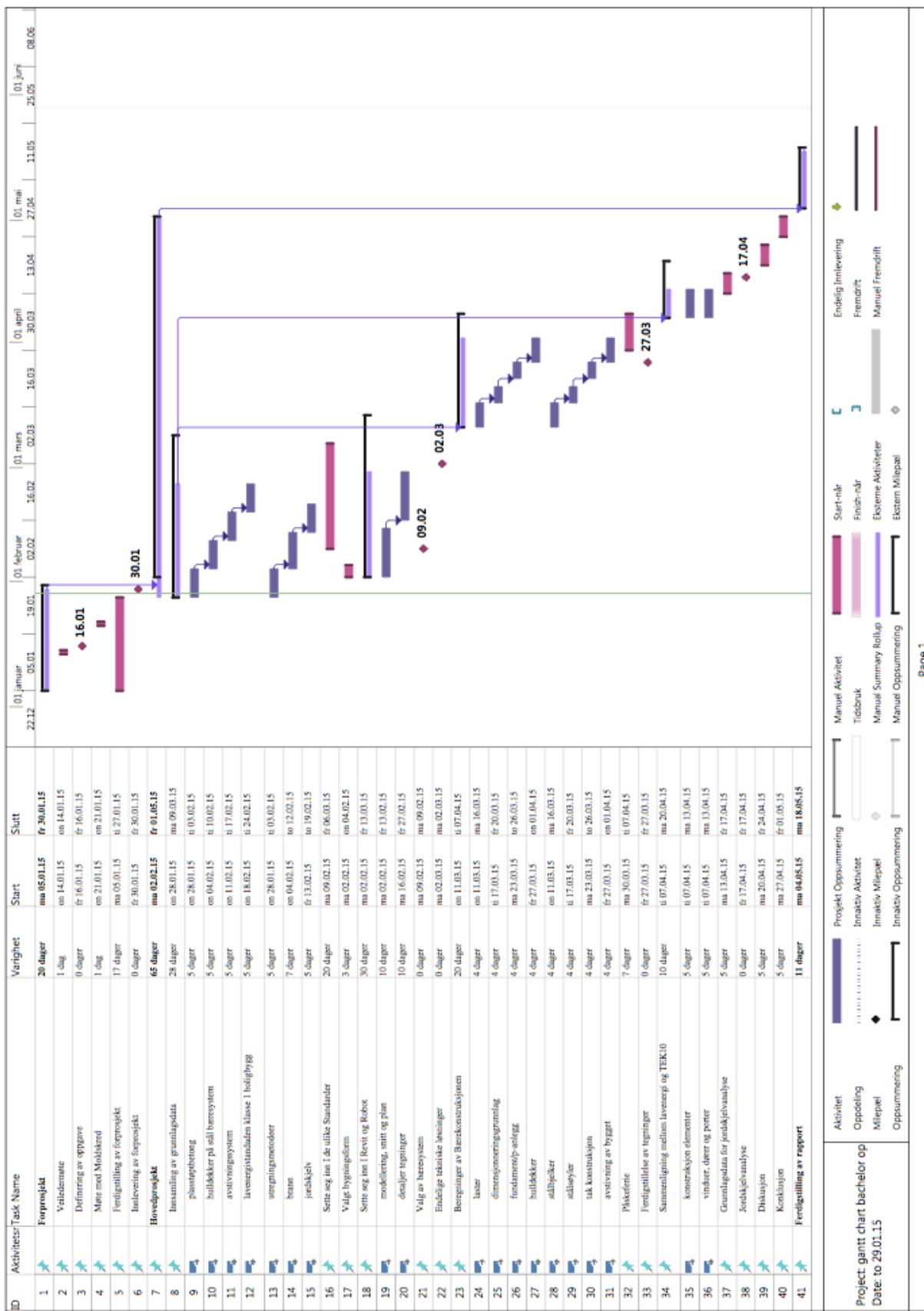
## 7. PLANLAGT AVVIKSBEHANDLING

Avvik til fremdriftsplan og revideringer behandles fortløpende. Uenigheter skal løses innad i gruppen, men hvis dette ikke lar seg gjøre kontaktes veileder for å bistå.

## 8 UTSTYRSBEHOV/FORUTSETNINGER FOR GJENNOMFØRING

- PC
- Microsoft Project
- Revit/FEM-design/Robot
- Arkitektegninger
- Byggforsk
- Litteratur
- Norsk Standard

## 12.1.1 FREMDRIFTSPLAN



## 12.2 LOGG

Timer		
Navn :	Solomon	
Prosjekt :	BacheloroppgaveBorgundveien 151-153	
År :	2015	
Mnd :	Januar	
Dag	Beskrivelse av aktivitet	Sum timer
1		
2		
3		
4		
5		
6		
7		
8		
9		
10		
11		
12	Forsprosjekt/Møte Terje Tvedt	5
13	Forsprosjekt/Fremdriftsplan	5
14	Forsprosjekt, fremdriftsplan og møte med Vemund	5
15	fremdriftsplan og litteratur	5
16	Fremdriftsplan	4
17		
18	Fremdriftsplan	3
19	Foredrag rapport og fremdriftsplan	5
20	Forsprosjekt/Fremdriftsplan	3
21	Forsprosjekt og møte Moldskred	8
22	Forsprosjekt og inhenting av litteratur	7
23		
24	Lesing litteratur	2
25	Lesing litteratur	2
26	Finpus forprosjekt og fremdriftsplan	7
27	Forsprosjekt og inhenting av litteratur	6
28		
29	Hovedprosjekt - bæresystem	6,5
30		
31		
Sum timer denne måneden		73,5

Timer		
Navn :	Dan Marius Stålerød	
Prosjekt :	BacheloroppgaveBorgundveien 151-153	
År :	2015	
Mnd :	Januar	
Dag	Beskrivelse av aktivitet	Sum timer
1		
2		
3		
4		
5		
6	Forprosjekt, målformulering	2
7	Forprosjekt, målformulering	3,5
8	Forprosjekt, oppgavefordeling	4
9		
10		
11		
12	Forsprosjekt/Møte Terje Tvedt	5
13	Forsprosjekt/klargjøring til veiledermøte	5
14	Forsprosjekt, målformulering og møte med Vemund	5
15	Skaffe oversikt over lavenergistanden	4
16	Fremdriftsrapport, informasjonsinntenting	4
17		
18		
19	Redigering forprosjekt og foredrag om rapport	5
20	Forprosjekt og inhenting av standarder	3
21	Forprosjekt og møte Moldskred	8
22	Forprosjekt og inhenting av litteratur	6
23	Inhenting av litteratur	4
24		
25		
26	Finpus forprosjekt og fremdriftsplan	7
27	Hovedprosjekt - Teori - avstivningsystem	7
28	Hovedprosjekt - avstivningsystem- brannsikkerhet	7
29	Hovedprosjekt - avstivningsystem- brannsikkerhet	5,5
30	Hovedprosjekt - avstivningsystem- naturlaster	3
31		
Sum timer denne måneden		88

Timer		
Navn :	Hans Christian Giske	
Prosjekt :	Bacheloroppgave Borgundveien 151-153	
År :	2015	
Mnd :	Januar	
Dag	Beskrivelse av aktivitet	Sum timer
1		
2		
3		
4		
5		
6	Forprosjekt, målformulering	2
7	Forprosjekt, målformulering	3,5
8	Forprosjekt, oppgavefordeling	4
9		
10	Revit/robot	5
11		
12	Forsprosjekt/Møte Terje Tvedt	5
13		
14	Forsprosjekt, målformulering og møte med Vemund	4
15	Revit/robot modellering	5,5
16	Revit/robot modellering	4
17		
18		
19	Lesing litteratur	2
20	Lesing litteratur	2
21	Forsprosjekt og møte Moldskred	8
22		
23		
24	Design profil Bacheloroppgave	2
25	Lesing litteratur	2
26	Finpus forprosjekt og fremdriftsplan	7
27	Hovedprosjekt, bjelkeprofiler revit	6
28	Hovedprosjektet revit	5,5
29	Hovedprosjektet revit	7
30		
31		
Sum timer denne måneden		74,5

Timer		
Navn :	Bengt Kongsvoll	
Prosjekt :	BacheloroppgaveBorgundveien 151-153	
År :	2015	
Mnd :	Januar	
Dag	Beskrivelse av aktivitet	Sum timer
1		
2		
3		
4		
5		
6	Forprosjekt, målformulering	2
7	Forprosjekt, målformulering	3,5
8	Forprosjekt, oppgavefordeling	4
9		
10		
11		
12	Forsprosjekt/Møte Terje Tvedt	5
13	Forsprosjekt/klargjøring til veiledermøte	5
14	Forsprosjekt, målformulering og møte med Vemund	5
15		
16		
17		
18		
19	Foredrag om rapport	3
20	Forprosjekt og inhenting av standarder	3
21	Forprosjekt og møte Moldskred	8
22		
23		
24		
25	Lesing litteratur	2
26	Finpus forprosjekt og fremdriftsplan	7
27	Litteratur gjennomgang	6
28	Litteratur gjennomgang	6
29	Litteratur gjennomgang	4
30	Litteratur gjennomgang	5
31		
Sum timer denne måneden		68,5

Timer		
Navn :	Solomon	
Prosjekt :	BacheloroppgaveBorgundveien 151-153	
År :	2015	
Mnd :	Februar	
Dag	Beskrivelse av aktivitet	Sum timer
1	Huldekke beskrivelse	3
2	Huldekke beskrivelse	8
3	plassøpt betong beskrivelse	7
4	Møre Moldskred/plass betong beskriv.	7
5	tekniske løninger/ valg av bjelke	2
6		
7	teorie jordskjelv	6
8		
9	teorie jordskjelv	6
10	teorie jordskjelv	5,5
11	teorie jordskjelv	1
12		
13	Teori jordskjelv	7
14		
15		
16	NS-EN seismisk påvirking	7,5
17	dimensjonering for jordskjelv	7
18	dimensjonering for jordskjelv	7
19	dimensjonersmetoder	6
20	dimensjoneringsmetoder	3
21		
22		
23	dataprogrammer	6
24	leksjer og dataprogrammer	6
25	Robot Jordskjelv	6
26		
27		
28		
29		
30		
31		
Sum timer denne måneden		101

Timer		
Navn :	Dan Marius Stålerød	
Prosjekt :	BacheloroppgaveBorgundveien 151-153	
År :	2015	
Mnd :	Februar	
Dag	Beskrivelse av aktivitet	Sum timer
1		
2	Revit model / bæresystem	8
3	Naturlaster	7
4	Møre Moldskred / Tekniske løsninger	8
5	tekniske løninger/ valg av bjelke	4
6		
7		
8		
9	tekniske løninger	3
10		
11		
12	tekniske løninger/beregninger av egenvekt	7,5
13	tekniske løninger/beregninger av egenvekt	7,5
14		
15		
16	Beregningsgrunnlag	9
17	Beregningsgrunnlag/overdiberegning	9
18	tekniske løninger	6
19	Brann	6
20	bygningsfysikk	4
21		
22		
23	bygningsfysikk	6
24	bygningsfysikk/pålitighetsklasse	5,5
25	Vind	6
26	Vind	6
27	Etasjereduksjonsfaktor og vind	3,5
28		
29		
30		
31		
Sum timer denne måneden		106

Timer		
Navn :	Hans Christian Giske	
Prosjekt :	Bacheloroppgave Borgundveien 151-153	
År :	2015	
Mnd :	Februar	
Dag	Beskrivelse av aktivitet	Sum timer
1		
2	Revit model / bæresystem	8
3	Revit model / bæresystem	5,5
4	Møte Moldskred/ Revit model	7
5	tekniske løninger/ valg av bjelke	7
6		
7		
8		
9	Revit/robot	5,5
10	Robot / Deltabjelken i Revit	4
11	Revit Structure	4
12	Revit Structure	6
13	Revit Structure	7
14		
15		
16	Revit Structure	7,5
17	Revit Structure	6,5
18	Revit Structure	6,5
19	Robot	5,5
20		
21		
22		
23	Robot literatur	5,5
24	Robot literatur	5,5
25	Robot literatur	6
26	Robot literatur	4,5
27	Robot literatur	2,5
28		
29		
30		
31		
Sum timer denne måneden		104

Timer		
Navn :	Bengt Kongsvoll	
Prosjekt :	BacheloroppgaveBorgundveien 151-153	
År :	2015	
Mnd :	Februar	
Dag	Beskrivelse av aktivitet	Sum timer
1	Litteratur gjennomgang	5
2	Lavenergi	10
3	lavenergi	9
4	Møte Moldskred/lavenergi	7
5	Lavenergi	6
6		
7	Plassøpt betong og huldekker	3
8	Plassøpt betong og huldekker	
9	Sjukdom	
10	Sjukdom	
11	Sjukdom	
12	Plassøpt betong og huldekker	8
13	Plassøpt betong og huldekker	7,5
14		
15		
16	THERM	9
17	THERM	9
18	THERM	9
19	THERM	6
20	THERM	4
21		
22		
23		
24	U-verdi beregning	8
25	U-verdi beregning	8
26	U-verdi beregning	3
27		
28		
29		
30		
31		
Sum timer denne måneden		105,5

Timer		
Navn :	Solomon	
Prosjekt :	BacheloroppgaveBorgundveien 151-153	
År :	2015	
Mnd :	Mars	
Dag	Beskrivelse av aktivitet	Sum timer
1		
2	Mathcad	8,5
3	Mathcad	7,5
4		
5	Jordskjelv/Mathcad	7
6	Jordskjelv/Mathcad	3
7		
8		
9	Jordskjelv/Mathcad	5
10	Jordskjelvberegning	6,5
11	Jordskjelvberegning	7
12	Jordskjelv/Mathcad	6,5
13		
14		
15		
16	Jordskjelv/Mathcad	6
17	Jordskjelv/Mathcad	6
18	Jordskjelv/Mathcad	6
19	Jordskjelv/Mathcad	6
20		
21		
22		
23	Mathcad	4
24	Mathcad	6
25	Jordskjelv	4,5
26		
27		
28		
29		
30		
31		
Sum timer denne måneden		89,5

Timer		
Navn :	Dan Marius Stålerød	
Prosjekt :	BacheloroppgaveBorgundveien 151-153	
År :	2015	
Mnd :	Mars	
Dag	Beskrivelse av aktivitet	Sum timer
1		
2	Arealredusjon/ bruksgrensetilstand	5,5
3	huldekke og laster	6
4	Laster/tak	7
5	tak/innledning	6
6	Laster	3
7		
8		
9	Robot	5
10	skjevestillingslast og oppsett av oppgave	6,5
11	redigering	7
12	jordskjelv og beregning	6,5
13	fremdriftsrapport og tekniske løsninger	3
14		
15		
16	Kompletering og sammkjøring	6
17	Kompletering og sammkjøring	6
18	Definisjoner	6
19	Kompletering og sammkjøring	3
20		
21		
22		
23	Kompletering og sammkjøring	4
24	Robot/Frame	7
25	Revit Rendering	5
26	Kompletering og sammkjøring	4
27		
28		
29		
30		
31		
Sum timer denne måneden		96,5

Timer		
Navn :	Hans Christian Giske	
Prosjekt :	Bacheloroppgave Borgundveien 151-153	
År :	2015	
Mnd :	Mars	
Dag	Beskrivelse av aktivitet	Sum timer
1		
2	Robot/jordskjelv	5,5
3	Robot	4
4	Robot stålkonstruksjoner	6,5
5	Robot Modellering 8 etasjer	5
6	Robot Modellering 8 etasjer	3
7		
8		
9	Robot Beregning	8
10	Robot modellering	5
11	Robot vindsimulering	9
12	Robot	7
13	robo	3,5
14		
15		
16	Robot Jordskjelv Modal	4,5
17	Robot	9
18	Robot Jordskjelv Modal	6
19	Robot	3
20		
21		
22		
23	Robot/Matcad Modell	5
24	Robot	6,5
25	Robot	5
26		
27		
28		
29		
30		
31		
Sum timer denne måneden		95,5

Timer		
Navn :	Bengt Kongsvoll	
Prosjekt :	BacheloroppgaveBorgundveien 151-153	
År :	2015	
Mnd :	Mars	
Dag	Beskrivelse av aktivitet	Sum timer
1	U-verdi	3
2	U-verdi beregning + therm	6,5
3	Energi beregning	6
4	Energi beregning	6
5	Energi beregning	9
6		
7		
8		
9	Diverse energi tabeller	8
10	Energi beregning	6
11	Energi beregning	6,5
12	Energi beregning og jordskjelv	6
13		
14		
15		
16	Lavenergi	4,5
17	Lavenergi	5
18	Lavenergi	8
19	Lavenergi	6
20		
21		
22		
23	Lavenergi	6
24	Lavenergi	6,5
25	Lavenergi	2
26		
27		
28		
29		
30		
31		
Sum timer denne måneden		95

Timer		
Navn :	Solomon	
Prosjekt :	BacheloroppgaveBorgundveien 151-153	
År :	2015	
Mnd :	April	
Dag	Beskrivelse av aktivitet	Sum timer
1		
2		
3		
4		
5		
6		
7	Jordskjelv	5
8	Jordskjelv	6
9		
10		
11		
12		
13	Jordskjelv	6,5
14	Jordskjelv	9
15	Jordskjelv	7
16	Jordskjelv	7
17	Jordskjelv	7
18		
19		
20	Jordskjelv	5,5
21	Jordskjelv	5,5
22	Jordskjelv	5,5
23	Jordskjelv	6
24	Jordskjelv	6
25		
26		
27		
28		
29		
30		
31		
Sum timer denne måneden		76

Timer		
Navn :	Dan Marius Stålerød	
Prosjekt :	BacheloroppgaveBorgundveien 151-153	
År :	2015	
Mnd :	April	
Dag	Beskrivelse av aktivitet	Sum timer
1		
2		
3		
4		
5		
6		
7	Knutepunkt	7
8	Samkjøring	7
9		
10		
11		
12		
13	Komplitering/tegninger	6
14	Komplitering/tegninger	6,5
15	Tabeller/ omskriving/suplemering	6
16	bjelker/søyler suplemering	7
17	Figurtabell	6
18		
19		
20	Diskusjon	8,5
21	bideredigering, diskusjon/konklusjon	10
22	bideredigering, diskusjon/konklusjon	6
23	bideredigering, diskusjon/konklusjon	6
24	bideredigering, diskusjon/konklusjon	6
25		
26		
27		
28		
29		
30		
31		
Sum timer denne måneden		82

Timer		
Navn :	Hans Christian Giske	
Prosjekt :	Bacheloroppgave Borgundveien 151-153	
År :	2015	
Mnd :	April	
Dag	Beskrivelse av aktivitet	Sum timer
1		
2		
3		
4		
5		
6		
7	Jordskjelv/Robot	7
8	Jordskjelv/Robot	6
9	Opplager / Robot	5,5
10		
11		
12		
13	robot	6,5
14	Robot	9
15	robot	6
16	robot	8
17	robot	5
18	robot	10
19	robot	12
20	robot	6
21	robot	5
22	robot	6
23	robot	6
24	robot	6
25		
26		
27		
28		
29		
30		
31		
Sum timer denne måneden		104

Timer		
Navn :	Bengt Kongsvoll	
Prosjekt :	BacheloroppgaveBorgundveien 151-153	
År :	2015	
Mnd :	April	
Dag	Beskrivelse av aktivitet	Sum timer
1		
2		
3		
4		
5		
6		
7	Lavenergi	7
8	Lavenergi	5,5
9	Lavenergi	5,5
10		
11		
12		
13	Lavenergi	6
14	Lavenergi	6
15	lavenergi	6
16	lavenergi	6
17		
18		
19		
20	Diskusjon	8,5
21	diskusjon/konklusjon	10
22	diskusjon/konklusjon	6
23	diskusjon/konklusjon	6
24	diskusjon/konklusjon	6
25		
26		
27		
28		
29		
30		
31		
Sum timer denne måneden		78,5

Timer		
Navn :	Solomon	
Prosjekt :	BacheloroppgaveBorgundveien 151-153	
År :	2015	
Mnd :	Mai	
Dag	Beskrivelse av aktivitet	Sum timer
1		
2		
3		
4		
5		
6	Jordskjelv	6
7	Jordskjelv	6
8	Jordskjelv	6
9		
10		
11	Jordskjelv	6,5
12	Kompletering	5
13	Kompletering	5
14	Kompletering	5
15	Kompletering	5
16		
17		
18	Klargjøring til fremføring	5
19	Klargjøring til fremføring	5
20	Klargjøring til fremføring	5
21	Klargjøring til fremføring	5
22	Klargjøring til fremføring	5
23		
24		
25		
26		
27		
28		
29		
30		
31		
	Sum timer denne måneden	69,5

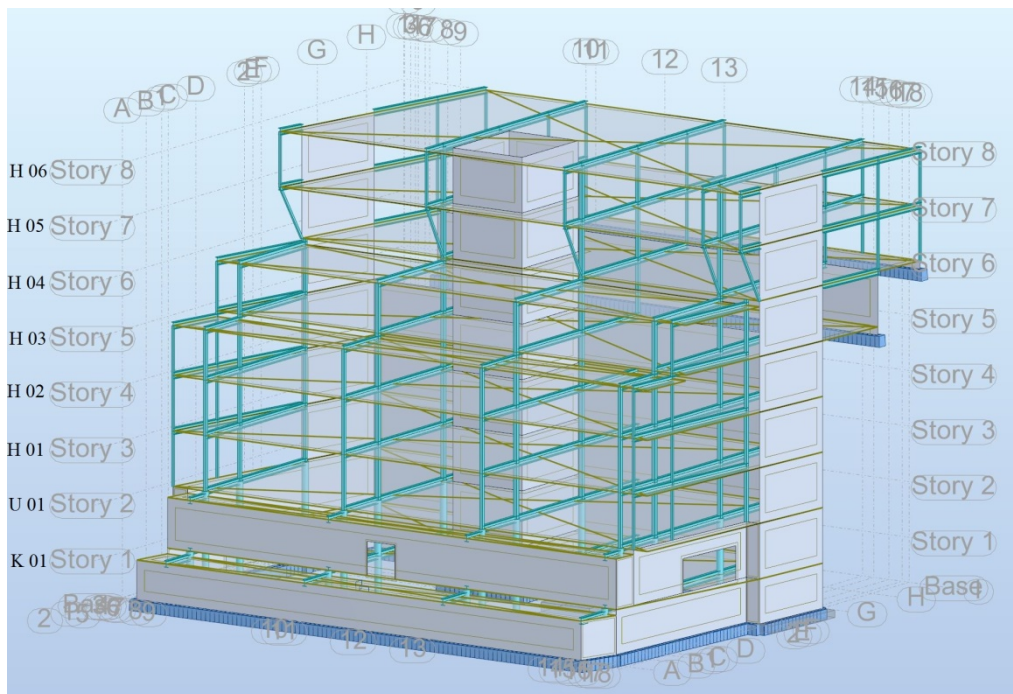
Timer		
Navn :	Dan Marius Stålerød	
Prosjekt :	BacheloroppgaveBorgundveien 151-153	
År :	2015	
Mnd :	Mai	
Dag	Beskrivelse av aktivitet	Sum timer
1		
2		
3		
4		
5		
6	Kompletering	6
7	Kompletering	6
8	Kompletering	6
9		
10		
11	Vedlegg	6,5
12	Kompletering	5
13	Kompletering	5
14	Kompletering	5
15	Kompletering	5
16		
17		
18	Klargjøring til fremføring	5
19	Klargjøring til fremføring	5
20	Klargjøring til fremføring	5
21	Klargjøring til fremføring	5
22	Klargjøring til fremføring	5
23		
24		
25		
26		
27		
28		
29		
30		
31		
	Sum timer denne måneden	69,5

Timer		
Navn :	Hans Christian Giske	
Prosjekt :	Bacheloroppgave Borgundveien 151-153	
År :	2015	
Mnd :	Mai	
Dag	Beskrivelse av aktivitet	Sum timer
1		
2		
3		
4		
5		
6	Robot/Jordskjelv	6
7	Robot/Jordskjelv	6
8	Robot/Jordskjelv	6
9		
10		
11	Robot/Jordskjelv	6,5
12	Revit	5
13	kompletering	5
14	kompletering	5
15	kompletering	5
16		
17		
18	Klargjøring til fremføring	5
19	Klargjøring til fremføring	5
20	Klargjøring til fremføring	5
21	Klargjøring til fremføring	5
22	Klargjøring til fremføring	5
23		
24		
25		
26		
27		
28		
29		
30		
31		
	Sum timer denne måneden	69,5

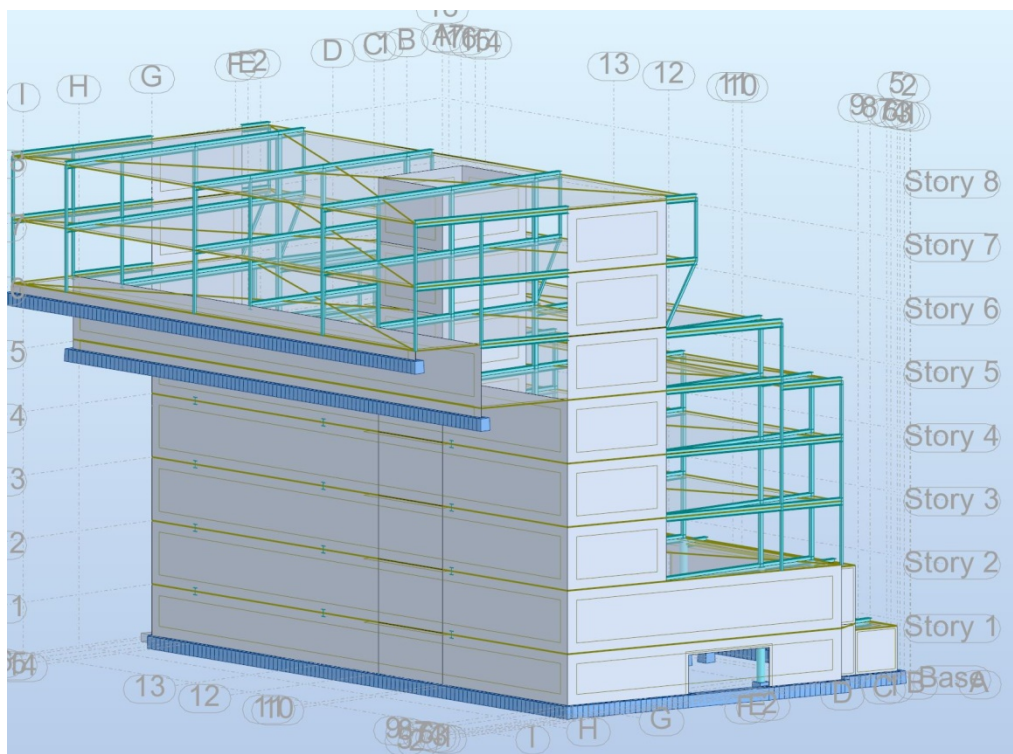
Timer		
Navn :	Bengt Kongsvoll	
Prosjekt :	BacheloroppgaveBorgundveien 151-153	
År :	2015	
Mnd :	Mai	
Dag	Beskrivelse av aktivitet	Sum timer
1		
2		
3		
4		
5		
6	Kompletering	6
7	Kompletering	6
8	Kompletering	6
9		
10		
11	Sammendrag	5,5
12	Kompletering	5
13	Kompletering	5
14	Kompletering	5
15	Kompletering	5
16		
17		
18	Klargjøring til fremføring	5
19	Klargjøring til fremføring	5
20	Klargjøring til fremføring	5
21	Klargjøring til fremføring	5
22	Klargjøring til fremføring	5
23		
24		
25		
26		
27		
28		
29		
30		
31		
	Sum timer denne måneden	68,5

Timeliste Bachelorprosjekt	
Navn :	Gruppe 6
Prosjekt :	Bacheloroppgave Borgundveien 151-153
År	2015
Mnd	Sum timer
Januar	304,5
Februar	416,5
Mars	376,5
April	340,5
Mai	277
Sum timer	2015
	1715

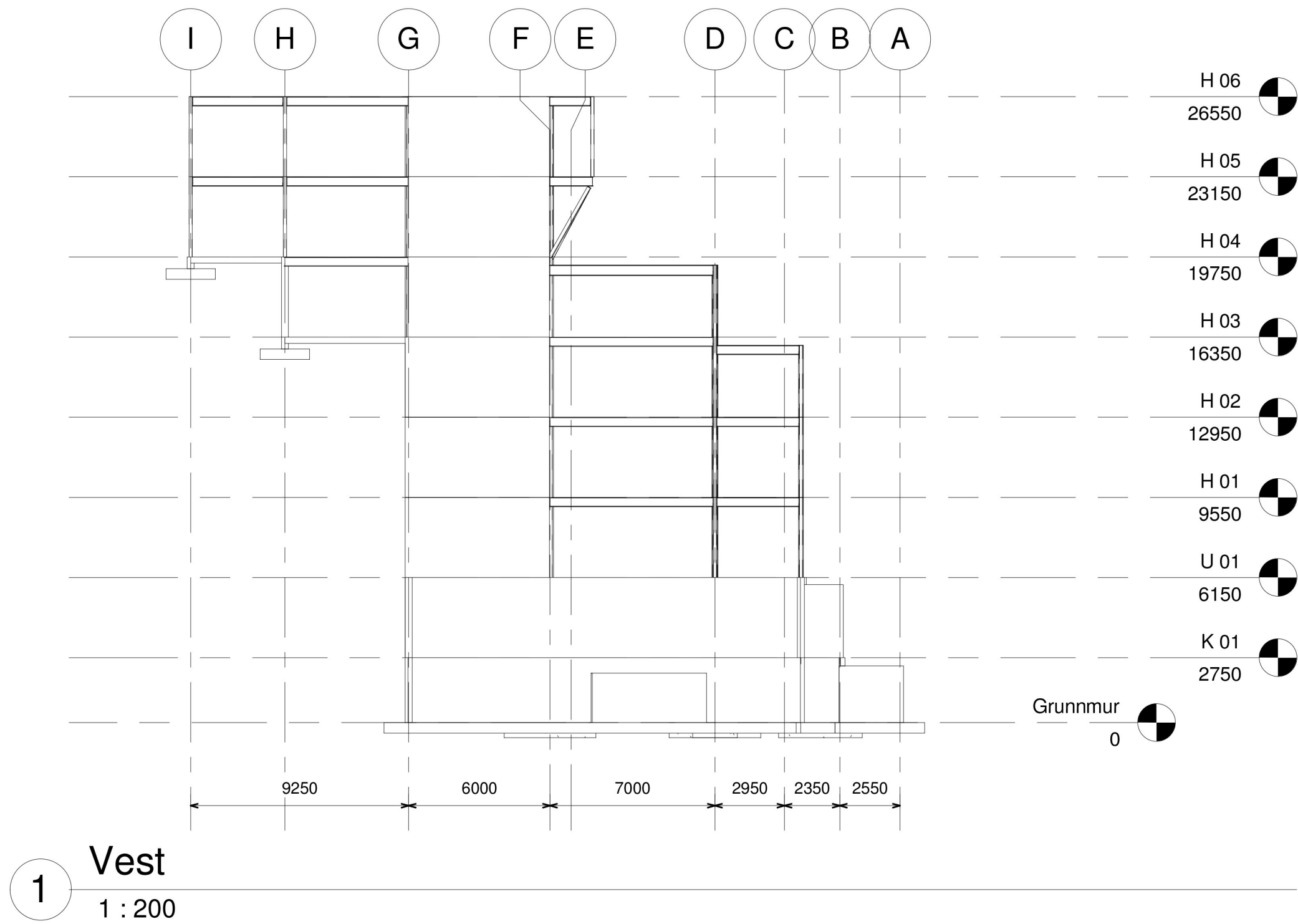
## 12.3 3D MODELL



Robot definerer egne aksesystem som er vanskelig å modifisere, på 3d modellen er Story 8 lik H 06.



## 12.4 Snitt og plantegninger



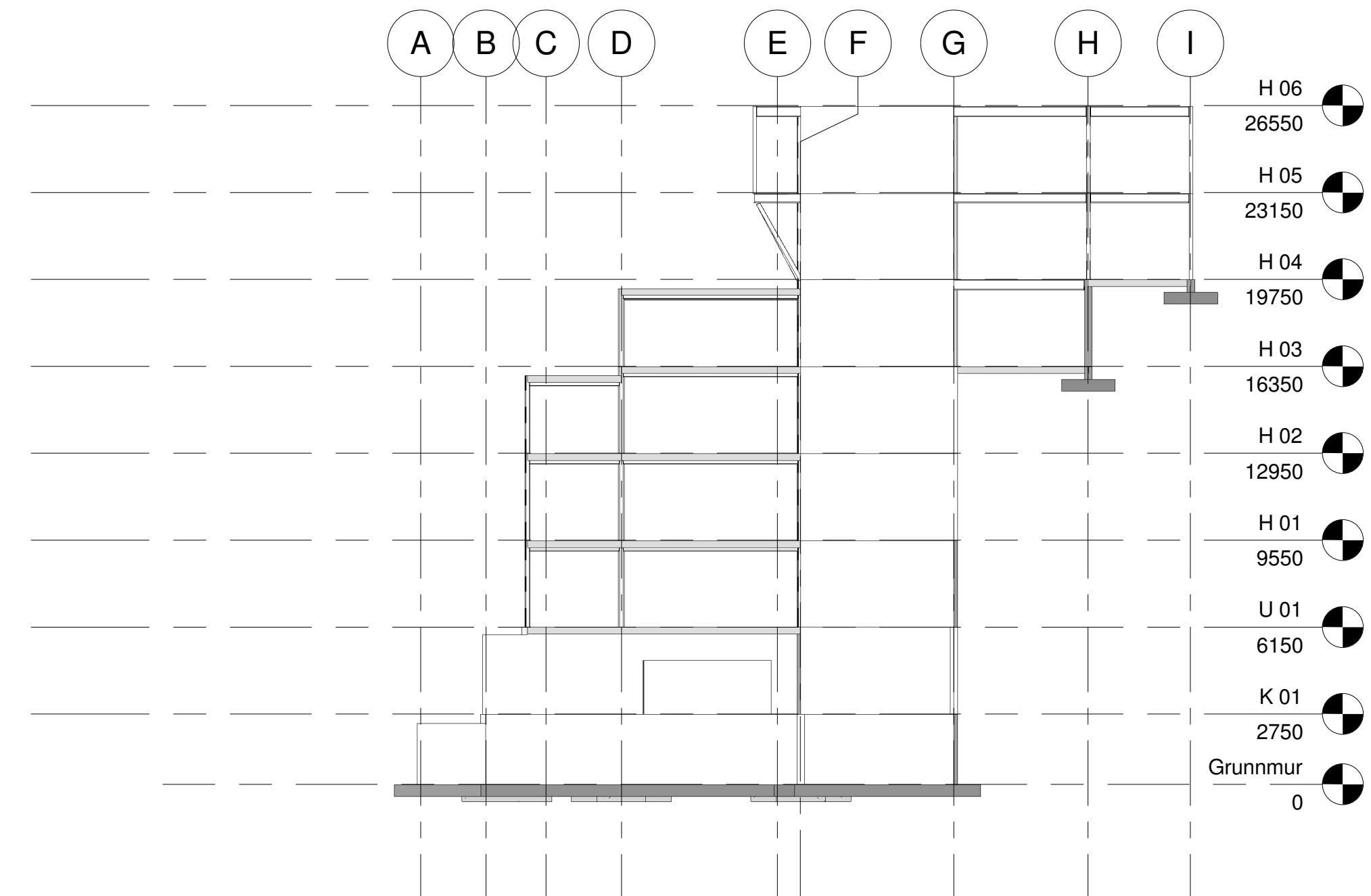
BD  
HS

No.	Beskrivelse	Dato

Hials  
Borgundveien 151/153

Vest

Prosjekt nummer	153	S.3
Dato	Issue Date	
Drawn by	Author	
Checked by	Checker	
	Scale	1 : 200



Øst  
1  
1 : 200



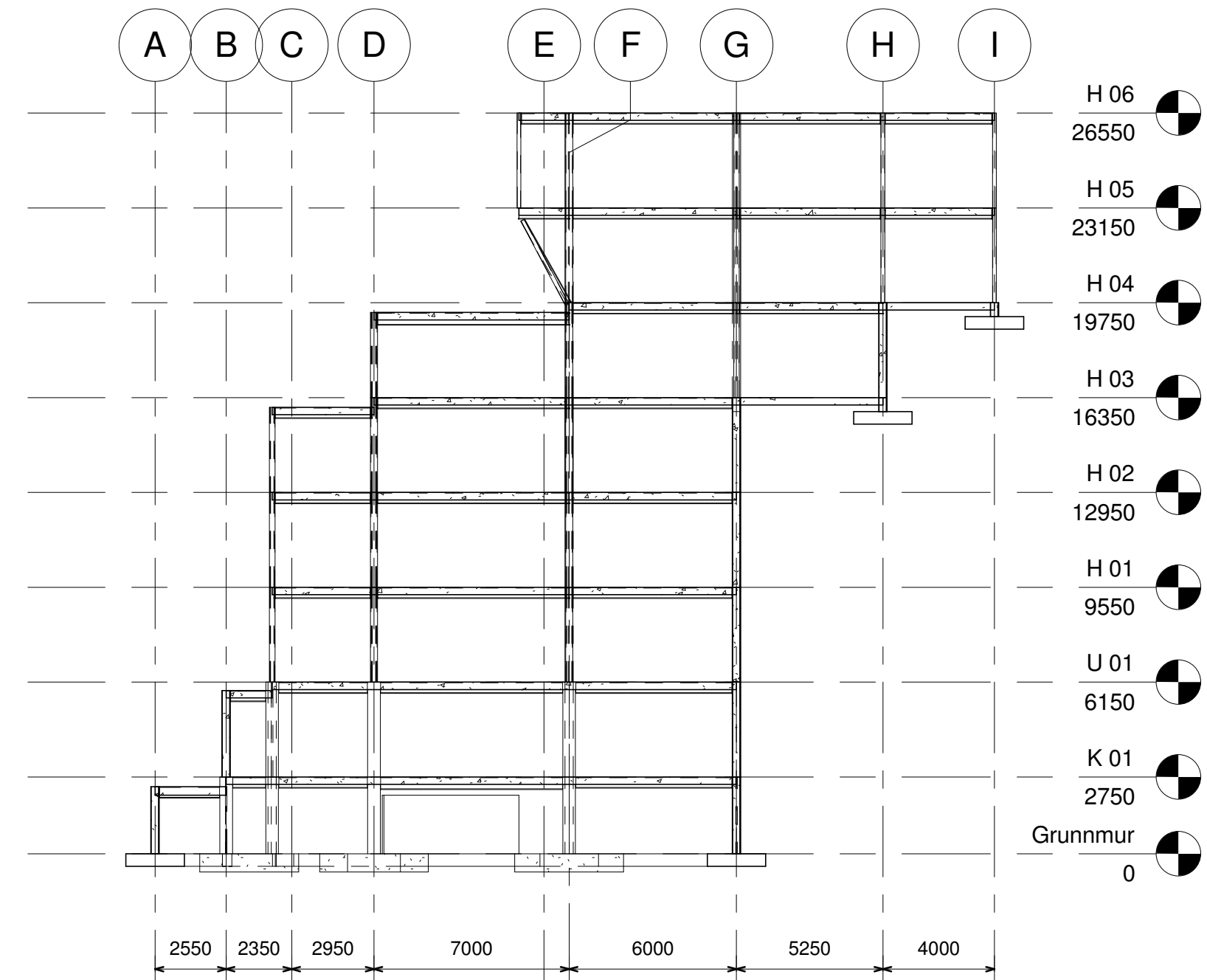
BD  
HS

No.	Beskrivelse	Dato

Hials  
Borgundveien 151/153

Øst

Prosjekt nummer	153	S.2
Dato	Issue Date	
Drawn by	Gruppe 6	
Checked by	Gruppe 6	
	Scale	1 : 200



BD  
HS

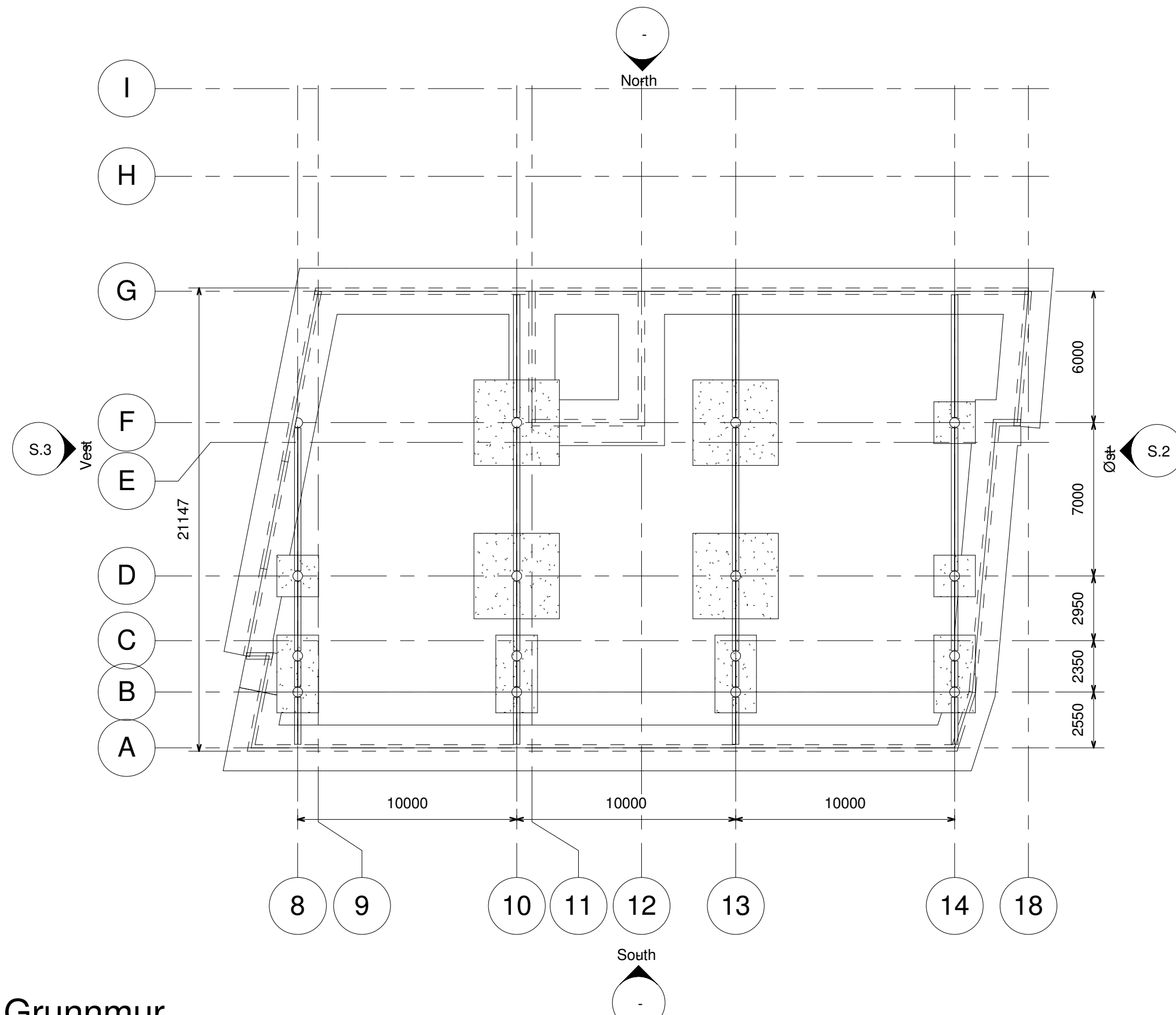
No.	Beskrivelse	Dato

Hials

Borgundveien 151/153

Snitt

Prosjekt nummer	153	S.1
Dato	Issue Date	
Drawn by	Gruppe 6	
Checked by	Gruppe 6	



**Grunnmur**  
1

1 : 200



BHDH

No.	Beskrivelse	Dato

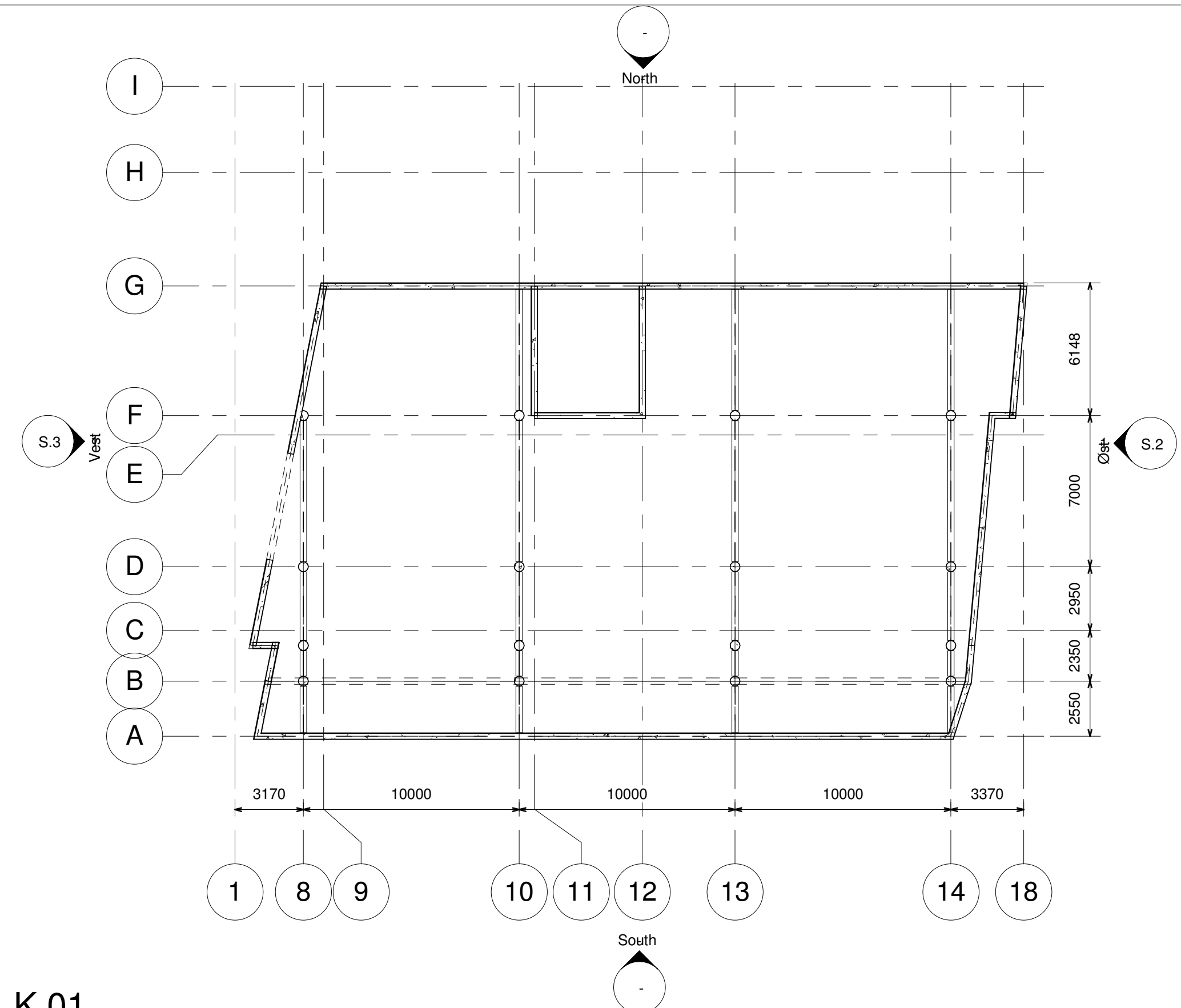
Hials

Borgundveien 151/153

Grunnmur

Prosjekt nummer	153	S.4
Dato	Issue Date	
Drawn by	Author	
Checked by	Checker	

1 : 200



1 K 01  
1 : 200



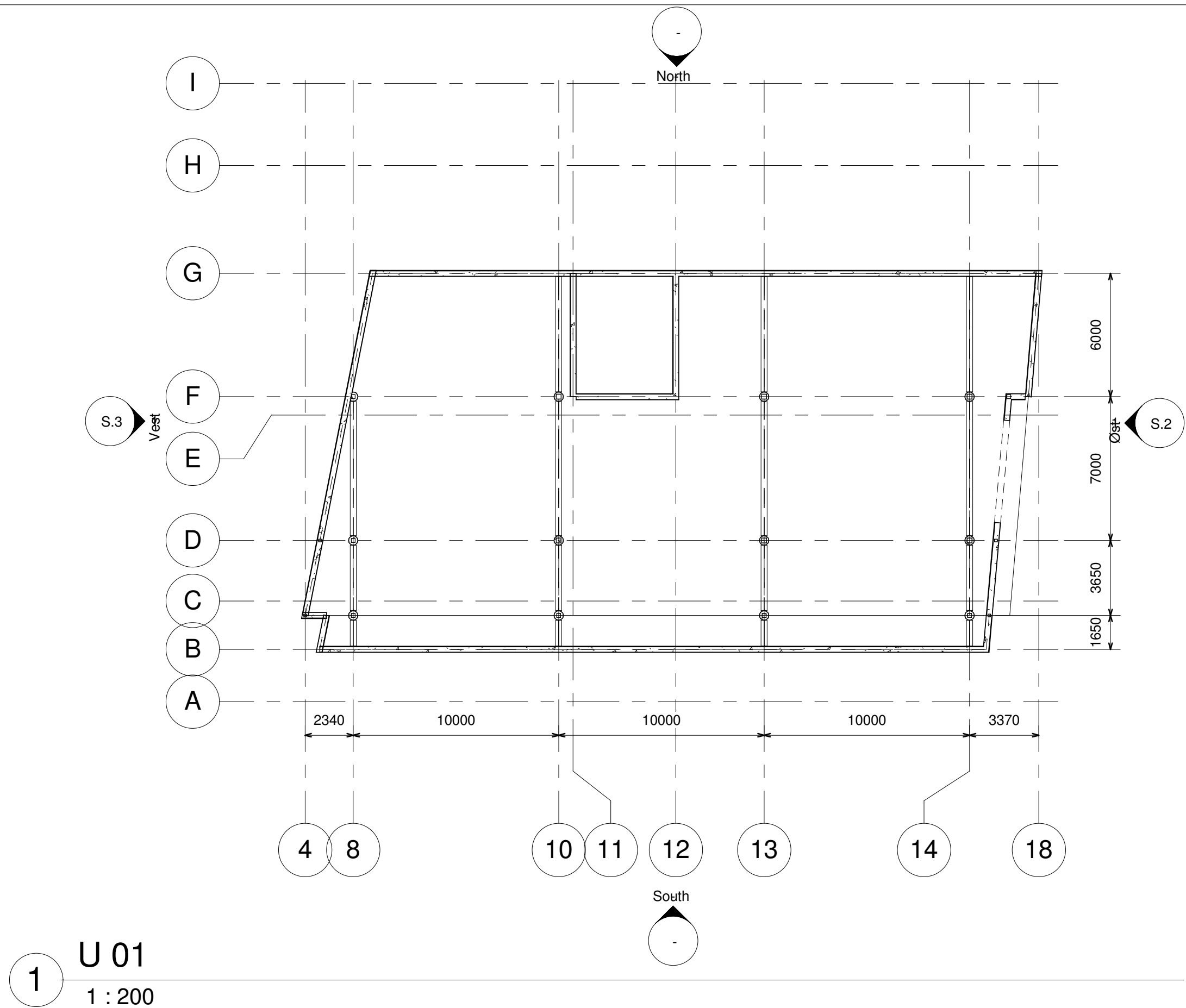
BHDH

No.	Beskrivelse	Dato

Hials  
Borgundveien 151/153

K 01

Prosjekt nummer	153	S.5
Dato	Issue Date	
Drawn by	Author	
Checked by	Checker	



BHDH

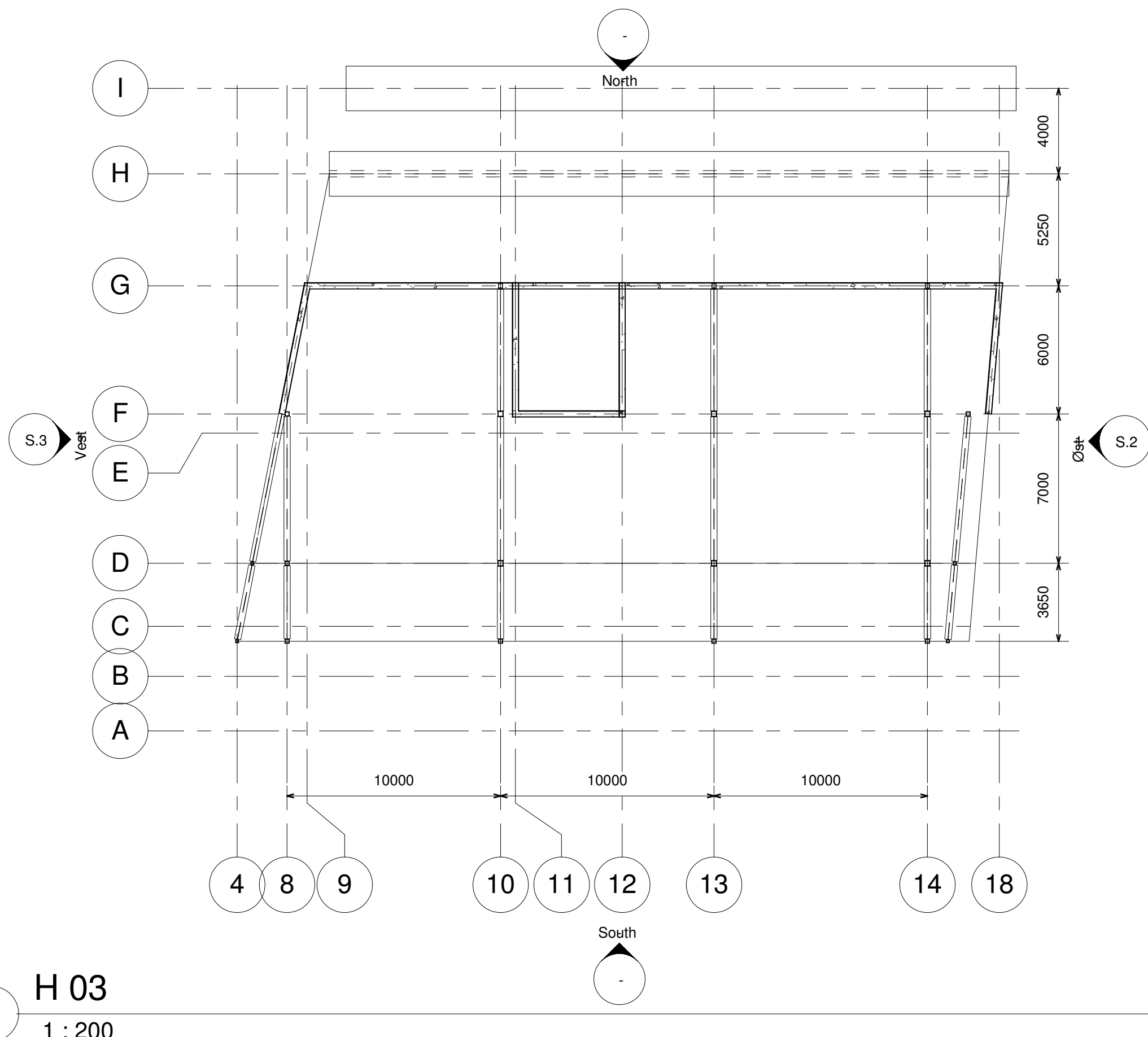
No.	Beskrivelse	Dato

Hials

Borgundveien 151/153

U 01

S.6



1 H 03  
1 : 200



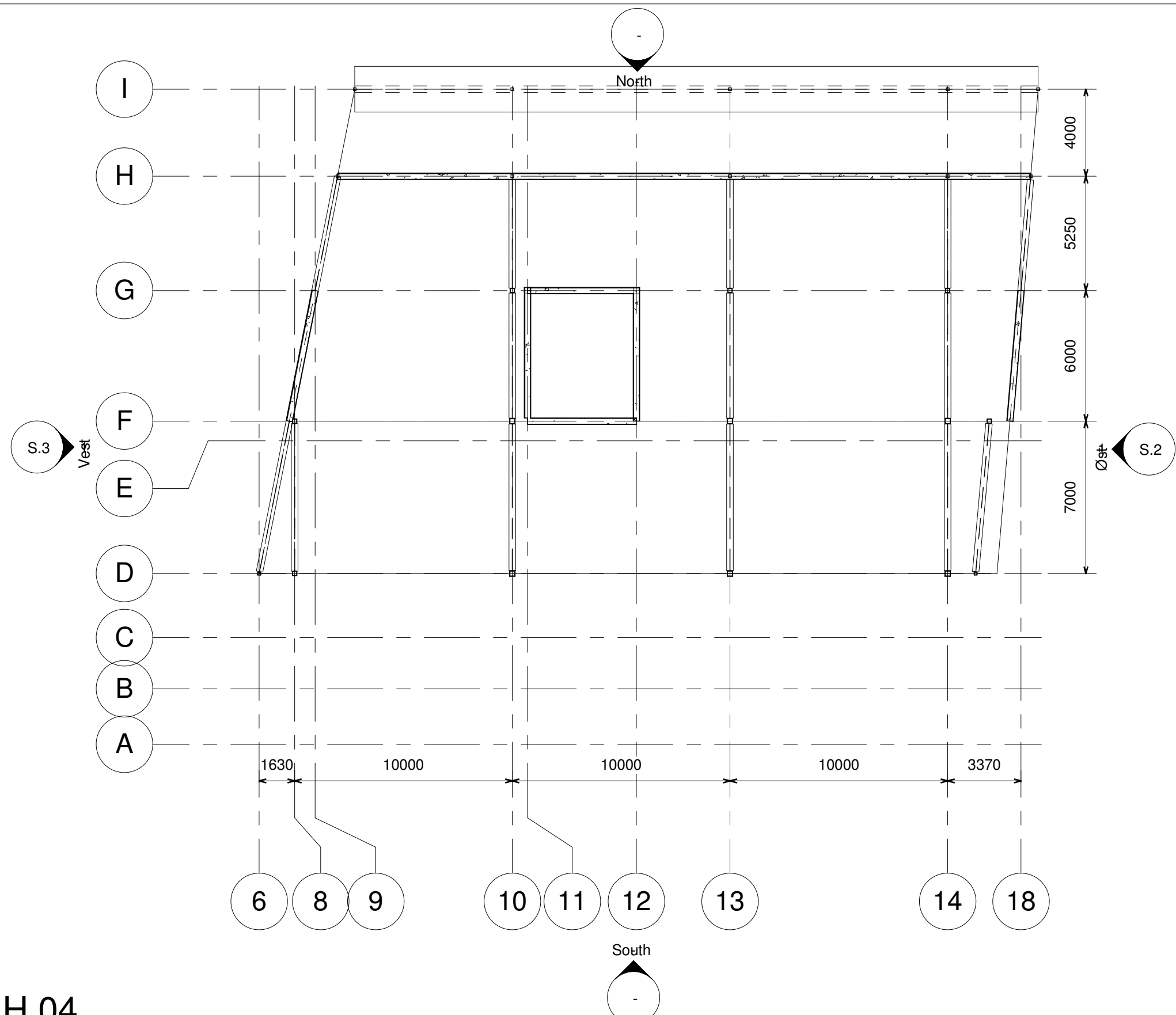
HJS

No.	Beskrivelse	Dato

Hials  
Borgundveien 151/153

H 03

Prosjekt nummer	153	S.7
Dato	Issue Date	
Drawn by	Author	
Checked by	Checker	
	Scale	1 : 200



1 H 04  
1 : 200



BD  
HS

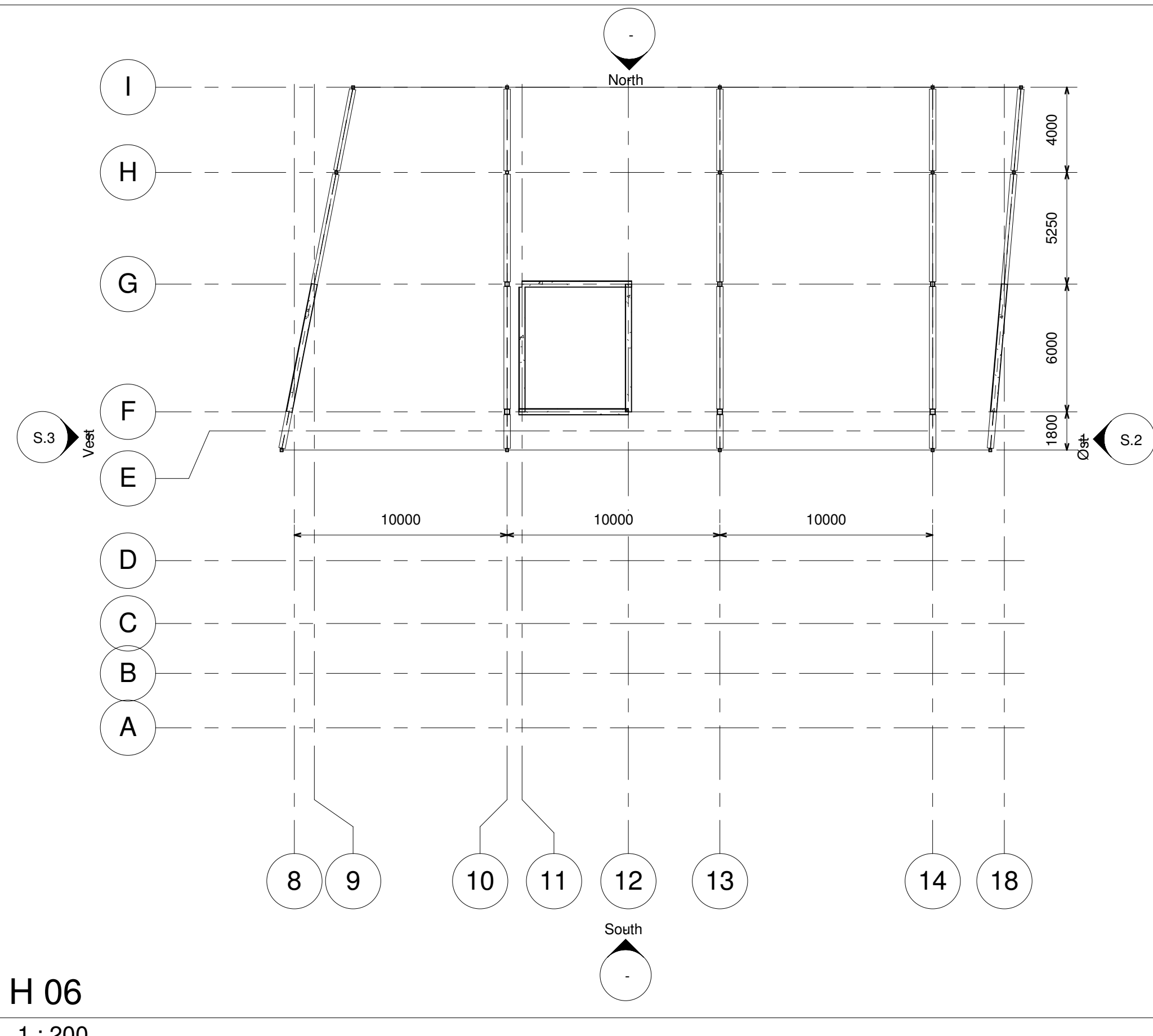
No.	Beskrivelse	Dato

Hials  
Borgundveien 151/153

H 04

Prosjekt nummer	153	S.8
Dato	Issue Date	
Drawn by	Author	
Checked by	Checker	

1 : 200



1 H 06  
1 : 200



BD  
HS

No.	Beskrivelse	Dato

Hials  
Borgundveien 151/153

H 06

Prosjekt nummer	153	S.9
Dato	Issue Date	
Drawn by	Author	
Checked by	Checker	

1 : 200

## 12.5 EGENVEKT PÅ KOMPONENTER

Konstruksjonsdel	Materiale	Tyngde/tetthet kN/m³	Tykkelset i m	Egenlast kN/m²	Nyttelast kN/m²	Snelast kN/m²	Samlet
Tv1(Bindingsverk av l-profiler)							
Påføring							
dampspærre							
I-profil av tre							
Isolasjon							
Utvendig vindspærreplate							
Utvendig lekter til lufting							
Aquapanel							
Totalt							0,6255
Kompatte tak	Hulidekke(fugtet)						
	dampspærre						
	Isolasjon						
	Takfolie(Proan)						
	Nedhengt himling						
	Totalt						2,4
Lett-tak	Element						
	nedhengt himling						
	Totalt						2,4
Veranda (HD-265)	Hulidekke(fugtet) trekkes fra i tabell						
	dampspærre						
	Isolasjon						
	Takfolie(Proan)						
	Glidesjikt						
	Påstøp						
	Flis						
	Nedhengt himling						
	Totalt						4
BV 1 K01 (betongvegg 0,25m)	Armert betongvegg						
	Isolasjon (kontinuerlig)						
	Totalt						6,3
BV 2 U01 (betongvegg 0,2m)	Armert betongvegg						
	Isolasjon (kontinuerlig)						
	Totalt						5,125
BV 3 (betongvegg 0,2m)	Armert betongvegg						
	Ufforing i tre						
	Isolasjon (utforet)						
	Totalt						5,312
Dekke mellom boenhetter	Hulidekke (fugtet)						
	Isolasjon(trinnlydplate)						
	Himling						
	Påstøp						
	Totalt						2
Dekke mellom bølle garasje	Hulidekke (fugtet)						
	Himlin og isolasjon (hengt under HD)						
	Isolasjon (trinnlydplate)						
	Påstøp						
	Totalt						2
Dekke mellom garasje	Hulidekke (fugtet)						
	Påstøp						
	Totalt						2,5
							7,7

## 12.6 SNØLAST

Fremgangsmåten for å finne frem til snølast på tak, er beskrevet i Eurokode 1: Laster på konstruksjoner. Del 1-3: Allmenne laster, snølast.

Verdier i Ålesund:

- $S_{k0} = 3,0 \text{ kN/m}^2$  (karakteristisk snølast på mark)
- $H_g = 150\text{m}$  (høydegrensen)

Snølast på tak beregnes ut av formelen:

$$\bullet \quad s = \mu C_e C_t S_k$$

$S$  = snølast på tak per  $\text{m}^2$  horisontalprojeksjon

$\mu$  = formfaktoren

$C_e$  = eksponeringsfaktoren

$C_t$  = termisk faktor

$S_k$  = karakteristisk snølast på mark på byggestedet

$$\mu = 0,8 \quad \text{Tabell 5:2 (Flatt tak)}$$

$$C_e = 1,0 \quad \text{Tabell NA.5.1 (Normal toppografi)}$$

$$C_t = 1,0 \quad \text{Termisk transmisjon mindre en } 1 \text{ W/m}^2\text{K}$$

$$S_k = S_{k0} \quad \text{Høyden } H \text{ er mindre eller lik høydegrensen } H_g$$

$$S = 0,8 \times 1,0 \times 1,0 \times 3,0 = \textcolor{red}{2,4 \text{ kN/m}^2}$$

Data hentet fra (305)

## 12.7 VINDLAST

Forenklet metode (19):

Referansevindhastigheten  $V_{r,0}$  i Ålesund er  $29 \text{ m/s}$

Byggets grunnmur ligger  $30 \text{ m}$  over havet.

Fjellet i bakkant er  $145 \text{ m}$  høyt.

Bygget ligger  $500 \text{ m}$  i luftlinje fra toppen (x)

Bredde på bygget  $34 \text{ m}$

Høyde på bygget  $27 \text{ m}$

Bygget er lokalisert i en ås. Åsens høyde i dette vindvektorplanet er  $H = 145 \text{ m}$  og  $L_H = 400 \text{ m}$  (figur 2). Hastighetstrykket i høyden  $z = 27 \text{ m}$  over terrenget i punktet hvor bygget skal oppføres.

Bygget ligger i Ålesund og det antas terrengruhet lik III

$k_r = 0,22$

$Z_0 = 0,3 \text{ m}$

$Z_{min} = 8 \text{ m}$

Basisvindhastigheten  $V_b$

$$V_b = C_{dir} \times C_{season} \times C_{alt} \times C_{prop} \times V_{b,0}$$

$C_{dir} = 1,0$  (retningsfaktoren)

$C_{Season} = 1,0$  (Årstidsfaktoren, bygget står hele året)

$C_{prop} = 1,0$  (Returperioden er 50 år)

$C_{alt} = 1,0$  ( $V_{b,0} < 30 \text{ m/s}$ )

$$V_b = V_{b,0} = 29 \text{ m/s}$$

Fra tabell 2:

$a = 3$

$$\Delta S_{z,maks} = 2H/L_H \text{ der } 2H/L_H = 290/400 = 0,725$$

$$k_{virk} = 1,5$$

For å finne terrengefaktoren  $c_0$  for byggestedet bruker vi: (19)

$$c_0 = 1 + \Delta S_{z,maks} * \left[ \frac{B/L_0}{B/L_0 + 0,4} \right] * \left[ 1 - \left[ \frac{|x|}{k_{virk} * L_H} \right] \right] * e^{-(\frac{a*z}{L_H})}$$

Siden åsen bak bygget er langstrakt betraktes den som en todimensjonal (lang) ås. Som fører

$$\left[ \frac{B/L_0}{B/L_0 + 0,4} \right] = 1,0$$

$$c_0 = 1 + 0,725 * [1] * \left[ 1 - \left[ \frac{|500|}{1,5 * 400} \right] \right] * 0,8167 = 1,0987$$

Turbulensintensiteten

$$I_v = \frac{1}{\ln\left(\frac{z}{z_0}\right) * c_0} = \frac{1}{\ln\left(\frac{27}{0,3}\right) * 1,0987} = 0,2022$$

Ruhetsfaktoren

$$C_r(Z) = k_r \times \ln(Z/Z_0) = 0,22 \times \ln(27/0,3) = 0,99$$

$$\nu_p = c_r * c_0 * \nu_b \sqrt{1 + 7I_v} = 0,99 * 1,0987 * 29 \sqrt{1 + 7 * 0,2022} = 49,02 \text{ m/s}$$

Vindkasthastighetstrykket

$$q_p = 0,625 * \nu_p^2 = 0,625 * 49,02^2 = 1502 \text{ N/m}^2 = 1,502 \text{ kN/m}^2$$

Vindretning fra Y-retning (Vedlegg 7 figur 3):

$$h \leq b = 27m \leq 35m:$$

$$Z_e = h = 27m$$

$$Sone 1: Hastighetstrykk q_p = 1,502 \text{ kN/m}^2$$

Vindretning fra X-retning (Vedlegg 7 figur 3 og 4):

$$b \leq h \leq 2b = 16m \leq 27m \leq 32m$$

$$Z_e = h = 27m$$

$$Z_e = b = 16m$$

$$Sone 1: Hastighetstrykk q_p = q_{p0} = k_w \times V_{REF}^2 = 1,32 \times 29^2 = 1110 \text{ N/m}^2$$

$$Sone 2: Hastighetstrykk q_p = q_{p0} = k_w \times V_{REF}^2 = 1,56 \times 29^2 = 1312 \text{ N/m}^2$$

### Formfaktor med vind Y-retning:

$$b = 34m$$

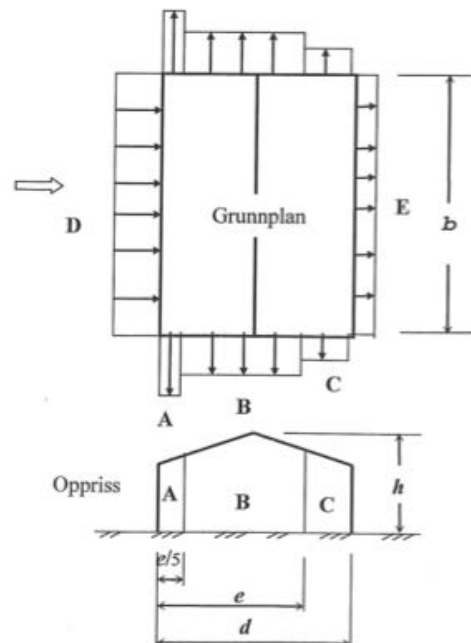
$$h = 27m \text{ (sone D)} \quad h = 7m \text{ (sone E)}$$

$$d = 16m$$

$$e = 34m$$

$$h/d = 1,69 \text{ (sone D)} \quad h/d = 0,44 \text{ (sone E)}$$

$$A \geq 10m^2 \text{ så vi bruker } c_{pe,10}$$



Figur 1 (19)

Tabell 1 (19)

Sone	A		B		C	D		E
h/d	$c_{pe,10}$	$c_{pe,1}$	$c_{pe,10}$	$c_{pe,1}$	$c_{pe,10}, c_{pe,1}$	$c_{pe,10}$	$c_{pe,1}$	$c_{pe,10}, c_{pe,1}$
5	-1,2	-1,4	-0,8	-1,1	-0,5	+0,8	+1,0	-0,7
1	-1,2	-1,4	-0,8	-1,1	-0,5	+0,8	+1,0	-0,5
$\leq 0,25$	-1,2	-1,4	-0,8	-1,1	-0,5	+0,7	+1,0	-0,3

Formfaktor for sone E:

$$c_{pe.10E} = -0,42 \text{ (interpolert)}$$

Formfaktor for sone D:

$$c_{pe.10D} = 0,8$$

Nettetrykk

$$c_{pe.10D} - c_{pe.10E} = 1,22 \text{ (i de to øverste etasjene)}$$

### Formfaktor med vind X-retning:

$$b = 16m$$

$$h = 27m$$

$$d = 34m$$

$$e = 16m$$

$$h/d = 0,79$$

Formfaktor for sone E:

$$c_{pe.10E} = -0,47 \text{ (interpolert)}$$

Formfaktor for sone D:

$$c_{pe.10D} = 0,8$$

Nettetrykk

$$c_{pe.10D} - c_{pe.10E} = 1,27$$

Linjelast på dekkene:

$$= q_p * (c_{pe.10D} - c_{pe.10E}) h_{etg}$$

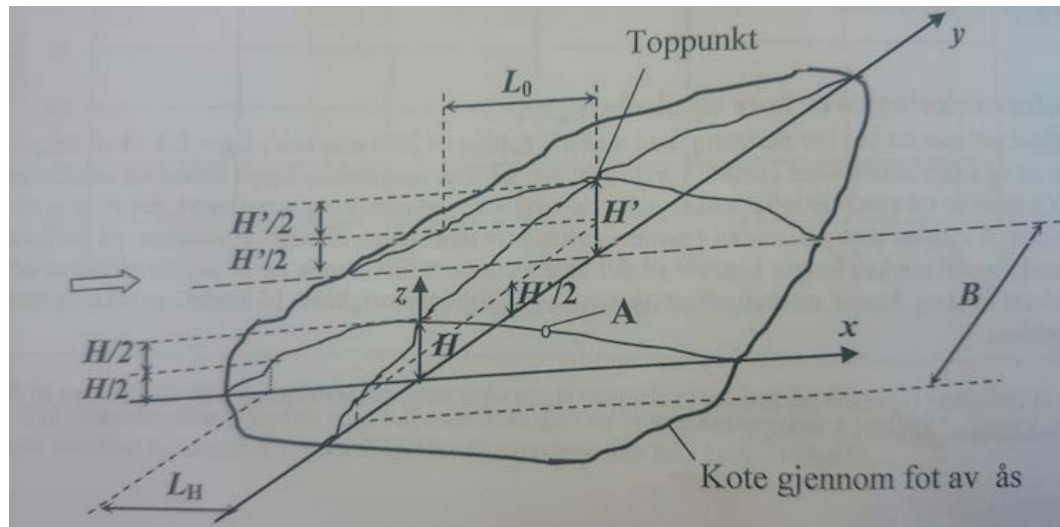
Vindlast på dekkene i hver etasje fra Y-retning					
Dekke	Vindhastighetstrykk, $q_p kN/m^2$	Samlet formfaktor for D og E	Belastet område (m)	Flatelast (kN/m <sup>2</sup> )	Linjelast (kN/m)
H07 (tak)	1,5	1,22	2,0	1,83	3,66
H06	1,5	1,22	3,4	1,83	6,22
H05	1,5	0,8	3,4	1,20	4,08
H04	1,5	0,8	3,4	1,20	4,08
H03	1,5	0,8	3,4	1,20	4,08
H02	1,5	0,8	3,4	1,20	4,08
H01	1,5	0,8	3,4	1,20	4,08
U01	1,5	0,8	3,4	1,20	4,08

Vindlast på dekkene i hver etasje fra x-retning					
Dekke	Vindhastighetstrykk, $q_p \text{ kN/m}^2$	Samlet formfaktor for D og E	Belastet område (m)	Flatelast (kN/m <sup>2</sup> )	Linjelast (kN/m)
H07 (tak)	1,3	1,27	2,0	1,65	3,30
H06	1,3	1,27	3,4	1,65	5,61
H05	1,3	1,27	3,4	1,65	5,61
H04	1,3	1,27	3,4	1,65	5,61
H03	1,1	1,27	3,4	1,40	4,75
H02	1,1	1,27	3,4	1,40	4,75
H01	1,1	1,27	3,4	1,40	4,75
U01	1,1	1,27	3,4	1,40	4,75

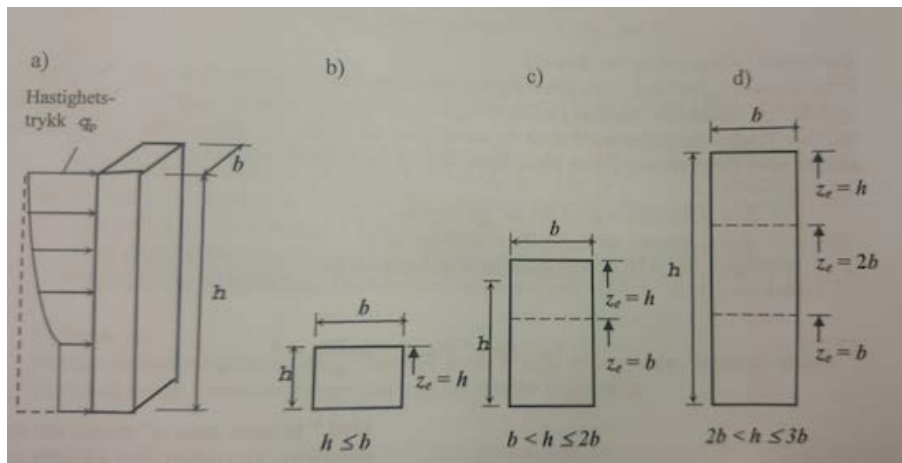
Tabell 2 (19)

Topografi	$\Delta S_{z,maks}$	$\alpha$	$k_{virk}$	
			$x < o$	$x > o$
Ås	$2H/L_H$	3	1,5	
Skråning	$1,8H/L_H$	2,5	4	
For $H/L_H > 0,5$ innsettes her $H/L_H = 0,5$				

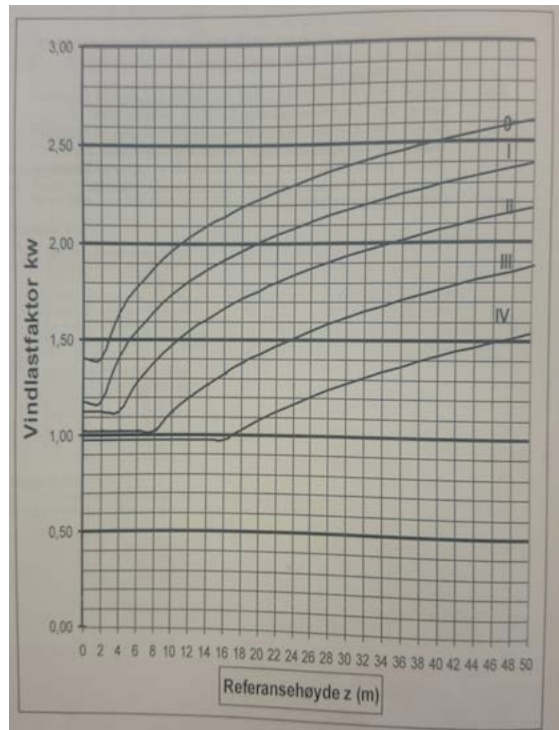
Figur 2 (19)



Figur 3 (19)



Figur 4 (19)



## 12.8 SKJEVSTILLINGSLAST

Startverdien for global skjevstilling (20).

$$\emptyset = \emptyset_0 \alpha_h \alpha_m$$

$\emptyset_0$  er basisverdien:  $\emptyset_0 = 1/200$

$\alpha_h$  er reduksjonsfaktoren for høyde  $h$  gjeldende for søyler

$$\alpha_h = \frac{2}{\sqrt{h}} \text{ men } \frac{2}{3} \leq \alpha_h \leq 1,0$$

$h$  er konstruksjonens høyde i meter

$$\alpha_m \text{ er reduksjonsfaktoren for antallet søyler i en rad: } \alpha_m = \sqrt{o,5 \left( 1 + \frac{1}{m} \right)}$$

$m$  er antallet søyler i en rad der bare de søylene som bærer en vertikal last  $N_{Ed}$  som ikke er mindre enn 50 % av gjennomsnittsverdien av søylelasten i det aktuelle vertikale planet, er medregnet

Basisverdien	$\emptyset_0 = 1/200$
Konstruksjonens høyde	$h = 27m$
	$\alpha_h = 0,67$
Antall søyler i en rad (H03 akse 3-3)	$= 3$
	$\alpha_m = 0,82$
Antall søyler i en rad (bruker H03 akse I-I)	$= 4$
	$\alpha_m = 0,79$
Startverdien for global skjevstilling	$\emptyset = 0,0027$ (Y-retning)
	$\emptyset = 0,0026$ (X-retning)

Areal og last påvirket av skjevstilling:

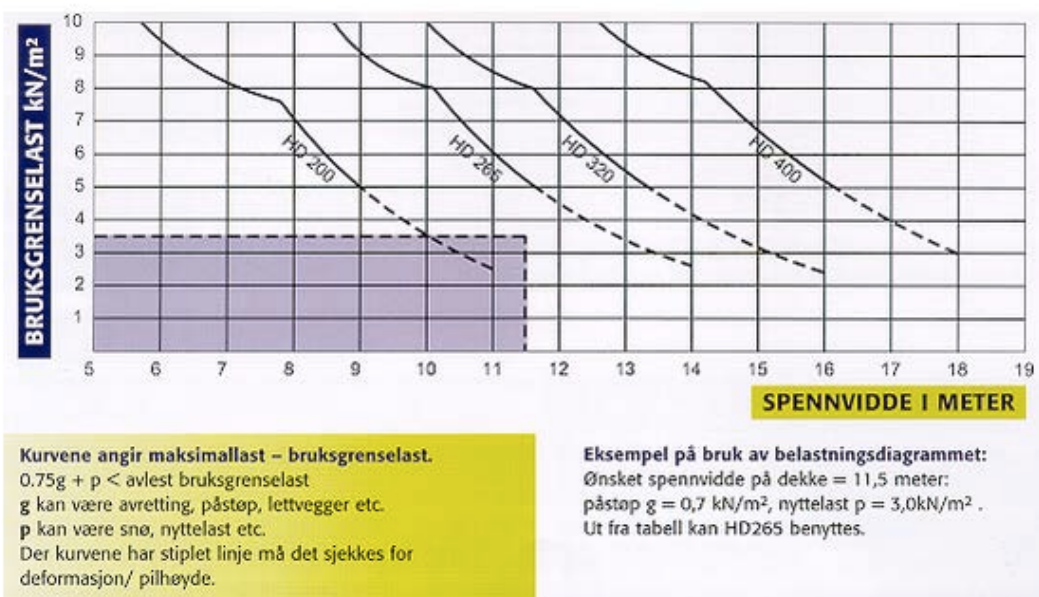
Etasje	Areal $m^2$	Egenlast $g_k$ ( $kN/m^2$ )	Nyttelast $q_k$ ( $kN/m^2$ )	Snølast $q_{snø}$ ( $kN/m^2$ )
U01	678	5,2	2,5	
H01	600	6,57	2	
H02	533	6,47	2	
H03	533	6,47	2	
H04	533	6,47	2	
H05	322/238	6,47/6,56	2/4	
H06	458	6,46	2	
H07	458	0,65		2,4

Last:

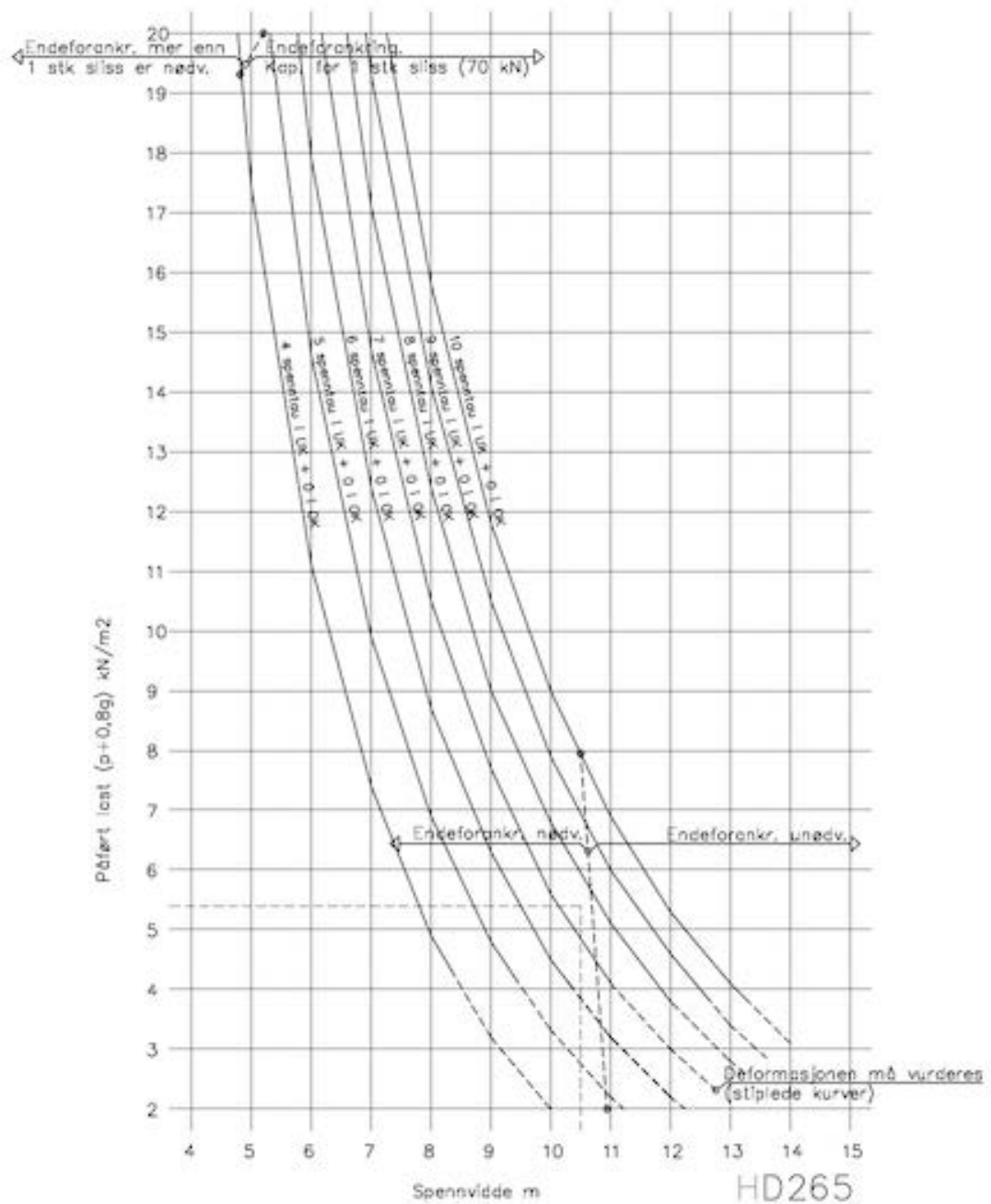
Etasje	$H_g = \emptyset \times g_k \times A$ kN	$H_q = \emptyset \times q_k \times A$ kN	Last per m dekkekant (kN/m)
U01 (Y-retning)	9,51	4,58	0,41
H01 (Y-retning)	10,64	3,24	0,41
H02 (Y-retning)	9,31	2,88	0,36
H03 (Y-retning)	9,31	2,88	0,36
H04 (Y-retning)	9,31	2,88	0,36
H05 (Y-retning)	9,83	4,30	0,42
H06 (Y-retning)	7,99	2,47	0,31
H07 (Y-retning)	0,8	2,97	0,11
U01 (X-retning)	9,17	4,4	0,64
H01 (X-retning)	10,25	3,12	0,73
H02 (X-retning)	8,97	2,77	0,73
H03 (X-retning)	8,97	2,77	0,73
H04 (X-retning)	8,97	2,77	0,73
H05 (X-retning)	9,47	4,15	0,82
H06 (X-retning)	7,69	2,38	0,64
H07 (X-retning)	0,77	2,86	0,23

## 12.9 DIMENSJONERING: HULLDEKKE

Tabell 1 (24)



Tabell 2 (25)



## 12.10 DIMENSJONERING: STÅLBJELKER

### 12.10.1 BEREGNINGER FRA PEIKKO

D26400

**Peikko Finland OY Deltabeam** Licence valid until end of May 2015. (Valid for 3 months)  
 Dimensioneringprogram för Deltabalkar  
 WinDelta version 2.50(10.05.2012)

18/02/2015

sidan 1

Projekt: Skoleoppgave  
 Byggaddress:  
 Dimensionerad av: ME

Projektnummer:

#### Material data:

E-modul för fogbetong	30236 MPa	E-modul för stål	210000 MPa
Kubhållfasthet för fogbetong	30 MPa	Sträckgräns för topplätt	355 MPa
E-modul för ytbetong	30236 MPa	Sträckgräns för bottemplätt	355 MPa
Kubhållfasthet för ytbetong	30 MPa	Sträckgräns för upplagsfläns och liv	355 MPa
Krytal för fogbetong/ytbetong	1.5/2.5	Sträckgräns för armering	500 MPa

#### Partialkoefficienter och nedböjningsbegränsningar:

Egenvikt	1.2	Fogbetong	1.5
Nyttig last	1.5	Ytbetong	1.5
Långtidslast	L/ 300	Armering	1.15
Korttidslast	L/ 300	Stål i Deltabalk	1.1
Total nedböjning	L/ 250	Total nedböjning/Brandklass R90	L/ 30

#### BJÄLKLAGSDATA:

Balk Bjelke 1			
Balk	Bjälke 1	7. m	
1	Vänster bjälklag	Höger bjälklag	
Balkavstånd	10000/ 10000 mm	Balkavstånd	10000/ 10000 mm
Egenvikt, g	4. kN/m2	Egenvikt, g	4. kN/m2
Egenvikt/ytbetong, g2	2.6 kN/m2	Egenvikt/pågjuten betong, g2	2.6 kN/m2
Nyttig last, q	2. kN/m2	Nyttig last, q	2. kN/m2
Långtidsdel i q	30 %	Långtidsdel i q	30 %
Bredd på medverkande tryckzon	1200 mm	Total höjd i tvärsmitt	285 mm
Tjocklek på medverkande tryckzon	40 mm	Bredd på medverk. tryckzon/brandfall	400 mm
Tjocklek på pågjuten betong	mm	Nyttig last/brandfall	2. kN/m2
Tvärsmittsdata och tilläggsdelar			
Balktyp	D26-400-30/20	Tvärkraftsförstärkning vid upplag (vänster/höger)	
Balkhöjd	285 mm	1:nej, 2:nej	
Topplåt	245 x 30 mm	C-profilens höjd	mm
Bottiplåt	400 x 20 mm	Topplåtens armering/positiv böjning	2a32 mm2
upplagsflänsar	130 x 20 mm	Topplåtens armering/negativ böjning	mm2
Balkliv	6 mm	Bottiplåtens armering/positiv böjning	mm2
Brandarmering	4824 mm2	Bottiplåtens armering/negativ böjning	mm2
Tyngdpunktsavstånd från botten	76 mm	Eff. top plåt bredd vid stöd	245 mm
Kapacitet och motsvarande dimensioneringsvärden (fält, vänster och höger upplag)			
Positiv böjning Maa.Rd+	733.2 kNm	Ma.Ed+	364.4 kNm OK
Neg. böjn. Maa.Rd- (vänster/höger)	733.2/733.2 kNm	Ma.Ed- (vänster/höger)	/ kNm OK
Positiv böjning MRd+	1021.2 kNm	MEd+	702. kNm OK
Neg. böjn. MRd- (vänster/höger)	1021.2/1021.2 kNm	MEd- (vänster/höger)	/ kNm OK
Positiv böjning/brand Mfi.Rd+	604.6 kNm	Mfi.Ed+	540. kNm OK
Neg. böjn./brand Mfi.Rd- (v.h.)	604.6/604.6 kNm	Mfi.Ed- (vänster/höger)	20.2/20.9 kNm OK
Tvärkraftsk. Vaa.Rd (vänster/höger)	267.7/267.7 kN	Va.Ed (vänster/höger)	208.6/208.6 kN OK
Tvärkraftsk. VRd (vänster/höger)	611.5/611.5 kN	Vi.Ed (vänster/höger)	401.8/401.8 kN OK
Tvärkraftsk./brand Vfi.Rd (v.h.)	486.8/486.8 kN	Vfi.Ed (vänster/höger)	320.7/320.9 kN OK
Balkens överhöjning	15 mm		
Nedböjning: Egenvikt	13 mm OK		
Nyttig last	5 mm OK		
Totalt	18 mm OK		
Brand	92 mm OK		

**Peikko Finland OY Deltabeam** Licence valid until end of May 2015. (Valid for 3 months)  
 Dimensioneringprogram för Deltabalkar  
 WinDelta version 2.50(10.05.2012)

18/02/2015  
 sidan 1

Projekt: Skoleoppgave

Projektnummer:

Byggaddress:

Dimensionerad av: ME

**Material data:**

E-modul för fogbetong	30236 MPa	E-modul för stål	210000 MPa
Kubhållfasthet för fogbetong	30 MPa	Sträckgräns för topplåt	355 MPa
E-modul för ytbetong	30236 MPa	Sträckgräns för bottenplåt	355 MPa
Kubhållfasthet för ytbetong	30 MPa	Sträckgräns för upplagsfläns och liv	355 MPa
Krytal för fogbetong/ytbetong	1.5/2.5	Sträckgräns för armering	500 MPa

**Partialkoefficienter och nedböjningsbegrensningar:**

Egenvikt	1.2	Fogbetong	1.5
Nyttig last	1.5	Ytbetong	1.5
Långtidslast	L/ 300	Armering	1.15
Korttidslast	L/ 300	Stål i Deltabalk	1.1
Total nedböjning	L/ 250	Total nedböjning/Brandklass R90	L/ 30

2a32 armeringsjärn 5.0m

**BJÄLKLAGSDATA:**

Bjälke 2			
Balk Bjälke 2	7. m	1	2
Vänster bjälklag		Höger bjälklag	
Balkavstånd	10000/ 10000 mm	Balkavstånd	10000/ 10000 mm
Egenvikt, g	4. kN/m <sup>2</sup>	Egenvikt, g	4. kN/m <sup>2</sup>
Egenvikt/ytbetong, g2	2.61 kN/m <sup>2</sup>	Egenvikt/pågjuten betong, g2	2.61 kN/m <sup>2</sup>
Nyttig last, q	4. kN/m <sup>2</sup>	Nyttig last, q	4. kN/m <sup>2</sup>
Längdsdel i q	30 %	Längdsdel i q	30 %
Bredd på medverkande tryckzon	1200 mm	Total höjd i tvärsnitt	285 mm
Tjocklek på medverkande tryckzon	40 mm	Bredd på medverk. tryckzon/brandfall	400 mm
Tjocklek på pågjuten betong	mm	Nyttig last/brandfall	4. kN/m <sup>2</sup>
Tvärsnittsdata och tilläggsdelar			
Balktyp	D26-500-25/20	Tvärkraftsförstärkning vid upplag (vänster/höger)	
Balkhöjd	285 mm	1:nej, 2:nej	
Topplåt	345 x 25 mm	C-profilens höjd	mm
Bottenplåt	500 x 20 mm	Topplåtens armering/positiv böjning	2a32 mm <sup>2</sup>
upplagsflänsar	130 x 20 mm	Topplåtens armering/negativ böjning	mm <sup>2</sup>
Balkliv	6 mm	Bottenplåtens armering/positiv böjning	mm <sup>2</sup>
Brandarmering	5628 mm <sup>2</sup>	Bottenplåtens armering/negativ böjning	mm <sup>2</sup>
Tyngdpunktsavstånd från botten	76 mm	Eff. top plåt bredd vid stöd	345 mm

Tilläggslastar direct till balken  
 1.8 m ... 1.9 m 235. kN/m tillfälligt

**Kapacitet och motsvarande dimensioneringsvärden (fält, vänster och höger upplag)**

Positiv böjning Mael.Rd+	848. kNm	Ma.Ed+	371.1 kNm	OK
Neg. böjn. Mael.Rd- (vänster/höger)	848./848. kNm	Ma.Ed- (vänster/höger)	/ kNm	OK
Positiv böjning MRd+	1162.5 kNm	MEd+	926.8 kNm	OK
Neg. böjn. MRd- (vänster/höger)	1162.5/1162.5 kNm	MEd- (vänster/höger)	/ kNm	OK
Positiv böjning/brand Mfi.Rd+	705.9 kNm	Mfi.Ed+	667.1 kNm	OK
Neg. böjn./brand Mfi.Rd- (v.h.)	705.9/705.9 kNm	Mfi.Ed- (vänster/höger)	46.5/42.5 kNm	OK
Tvärkraftsk. Vael.Rd (vänster/höger)	267.7/267.7 kN	Va.Ed (vänster/höger)	212.4/212.4 kN	OK
Tvärkraftsk. VRd (vänster/höger)	611.5/611.5 kN	VEd (vänster/höger)	537./520.4 kN	OK
Tvärkraftsk./brand Vfi.Rd (v.h.)	586.1/586.1 kN	Vfi.Ed (vänster/höger)	412.2/400. kN	OK

Balkens överhöjning	15 mm
Nedböjning: Egenvikt	10 mm OK
Nyttig last	10 mm OK
Totalt	20 mm OK
Brand	97 mm OK

## 12.10.2 HEB 400 OG 450 i ROBOT

### HEB 400

**CODE:** NS-EN 1993-1:2005/NA:2008/A1:2014, Eurocode 3: Design of steel structures.  
**ANALYSIS TYPE:** Member Verification

**CODE GROUP:**

**MEMBER:** 1 Bar\_1-

**POINT:**

**COORDINATE:**



**SECTION PARAMETERS: HEB 400**

ht=400 mm	Ay=14400 mm <sup>2</sup>	Az=5400 mm <sup>2</sup>	Ax=19780 mm <sup>2</sup>
bf=300 mm	Iy=576800000 mm <sup>4</sup>	Iz=108200000 mm <sup>4</sup>	Ix=3570000 mm <sup>4</sup>
tw=14 mm	Wely=2884000 mm <sup>3</sup>	Welz=721333 mm <sup>3</sup>	
tf=24 mm			

**LIMIT DISPLACEMENTS**



**Deflections (LOCAL SYSTEM):**

uy = 0.00 mm < uy max = L/200.00 = 35.00 mm Verified

**Governing Load Case:** 5 Bruksgrense (2+3)\*1.00

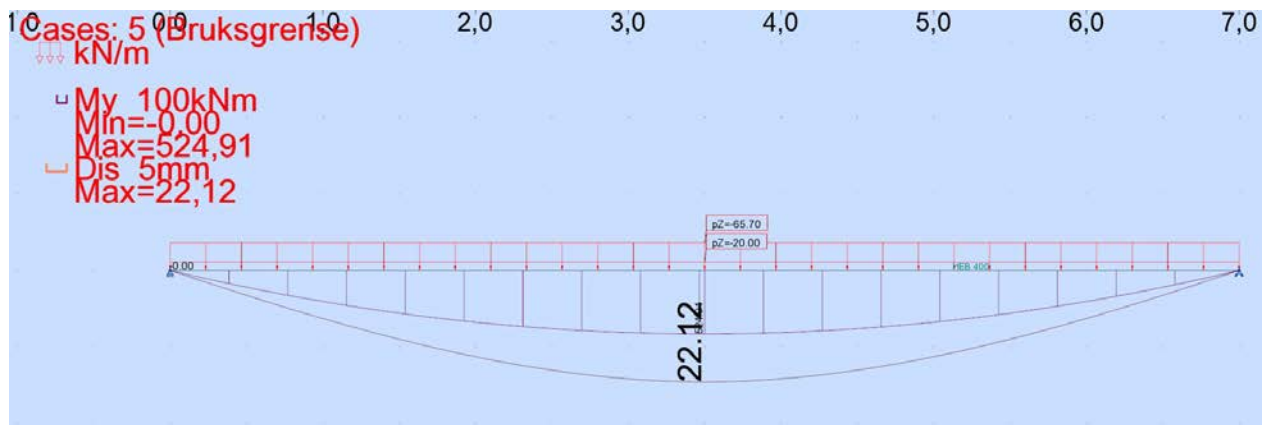
uz = 22.12 mm < uz max = L/200.00 = 35.00 mm Verified

**Governing Load Case:** 5 Bruksgrense (2+3)\*1.00



**Displacements (GLOBAL SYSTEM): Not analyzed**

**Section OK !!!**



### HEB 450

**CODE:** NS-EN 1993-1:2005/NA:2008/A1:2014, Eurocode 3: Design of steel structures.  
**ANALYSIS TYPE:** Member Verification

**CODE GROUP:**

**MEMBER:** 1 Bar\_1-

**POINT:**

**COORDINATE:**



**SECTION PARAMETERS: HEB 450**

ht=450 mm	Ay=15600 mm <sup>2</sup>	Az=6300 mm <sup>2</sup>	Ax=21800 mm <sup>2</sup>
bf=300 mm			

$tw=14$  mm  
 $tf=26$  mm

$I_y=798900000$  mm $^4$   
 $W_{ely}=3550667$  mm $^3$

$I_z=117200000$  mm $^4$   
 $W_{elz}=781333$  mm $^3$

$I_x=4420000$  mm $^4$

## LIMIT DISPLACEMENTS



### Deflections (LOCAL SYSTEM):

$u_y = 0.00$  mm <  $u_y$  max =  $L/200.00 = 35.00$  mm Verified

**Governing Load Case:** 5 Bruksgrense (2+3)\*1.00

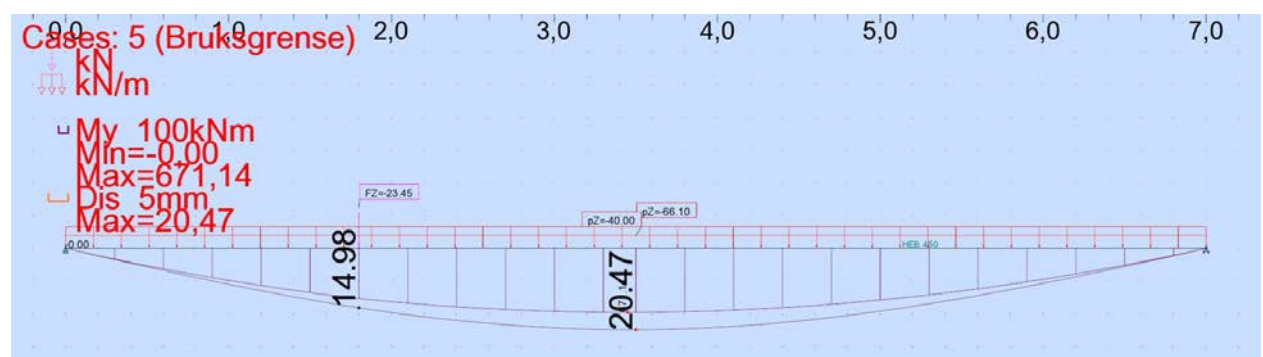
$u_z = 20.47$  mm <  $u_z$  max =  $L/200.00 = 35.00$  mm Verified

**Governing Load Case:** 5 Bruksgrense (2+3)\*1.00



### Displacements (GLOBAL SYSTEM): Not analyzed

**Section OK !!!**



## 12.10.3 HEB 400 OG 450 I FRAME

HEB 400

### 1-Elementmetoden modell (FEM)

#### Knutepunkter

Kn.P.	x [m]	y [m]
1	0.000	0.000
2	7.000	0.000

#### Opplager

Kn.P.	Type	ux [mm]	uy [mm]	ur [rad]
1	Fritt opplegg			
2	Rullelager $u_y=0$		7.00000	

#### Materialtyper

Materialtype : Stål,  $E= 210.000$  [GPa]

Egenlast :  $78.500$  [kN/m $^3$ ]

Elementtegenlast er inkludert i statisk last og masser

#### Elementtverrsnitt

Tverrsnitt b [mm]	h [mm]	A <sub>c</sub> [mm $^2$ ]	I <sub>c</sub> [mm $^4$ ]
1		1.97800E+004	5.76800E+008

**Elementer**

Element	Kn.P 1	Kn.P 2	Material	Lengde(m)	Vinkel(°)
1	1	2	1	7.000	0.000

**Fordelte elementlaster, ( $\gamma g=1.00, \gamma q=1.00$ )**

Element	lasttype	lastfordeling	G[kN/m]	Q[kN/m]	$\gamma gG+\gamma qQ[kN/m]$
1	jevnt fordelt	perpendikulært	65.700	20.000	85.700

**Fordeling av elementlast fra egenlast, ( $\gamma g=1.00, \gamma q=1.00$ )**

Element	lasttype	lastfordeling	G[kN/m]	Q[kN/m]	$\gamma gG+\gamma qQ[kN/m]$
1	jevnt fordelt	vertikalt	1.553	0.000	1.553

**2-Resultatene av statisk-lineær-elastisk analyse****Diagrammer M, V, N, og forskyvninger d av element 1**

d[mm]	n	x/l	x[m]	M[kNm]	V[kN]	N[kN]	dx[mm]	dy[mm]
0.000	0	0.000	0.00	0.00	-305.39	4153.80	0.000	0.000
7.104	1	0.100	0.70	192.39	-244.31	4153.80	0.700	-7.069
13.448	2	0.200	1.40	342.03	-183.23	4153.80	1.400	-13.375
18.431	3	0.300	2.10	448.92	-122.15	4153.80	2.100	-18.311
21.628	4	0.400	2.80	513.05	-61.08	4153.80	2.800	-21.446
22.790	5	0.500	3.50	534.42	0.00	4153.80	3.500	-22.520
21.854	6	0.600	4.20	513.05	61.08	4153.80	4.200	-21.446
18.956	7	0.700	4.90	448.92	122.15	4153.80	4.900	-18.311
14.500	8	0.800	5.60	342.03	183.23	4153.80	5.600	-13.375
9.469	9	0.900	6.30	192.39	244.31	4153.80	6.300	-7.069
7.000	10	1.000	7.00	0.00	305.39	4153.80	7.000	0.000
<b>Maksimalverdi for element 1</b>								
maxM= 534.42 kNm, minM= 0.00 kNm								
maxV= 305.39 kN, minV= -305.39 kN								
maxN= 4153.80 kN, minN= 4153.80 kN								
maxd= 22.790 mm								

**Knutepunktsforskyvninger**

Kn.P.	ux [mm]	uy [mm]	ur [rad]
1	0.000	0.000	0.00918
2	1.800	-14.626	0.00617
3	7.000	0.000	-0.00918

**Opplagerkrefter**

Kn.P.	Fx [kN]	Fy [kN]	M [kNm]
1	-4578.001	377.339	0.000
3	4578.001	377.338	0.000

**Element endekrefter (globalkoordinater)**

Element	FxA [kN]	FyA [kN]	MA [kNm]	FxB [kN]	FyB [kN]	MB [kNm]
1	-4578.001	377.339	0.000	4578.001	-183.279	-504.555
2	-4578.001	183.279	504.555	4578.001	377.338	0.000

**Element endekrefter (lokalkoordinater)**

Element	fxA [kN]	fyA [kN]	mA [kNm]	fxB [kN]	fyB [kN]	mB [kNm]
1	-4578.001	377.339	0.000	4578.001	-183.279	-504.555
2	-4578.001	183.279	504.555	4578.001	377.338	0.000

**Diagrammer M, V, N, og forskyvninger d av element 1**

d [mm]	n	x/l	x [m]	M [kNm]	V [kN]	N [kN]	dx [mm]	dy [mm]
0.000	0	0.000	0.00	0.00	-377.34	4578.00	0.000	0.000
1.661	1	0.100	0.18	66.17	-357.93	4578.00	0.180	-1.651
3.309	2	0.200	0.36	128.86	-338.53	4578.00	0.360	-3.289
4.932	3	0.300	0.54	188.04	-319.12	4578.00	0.540	-4.903
6.520	4	0.400	0.72	243.74	-299.71	4578.00	0.720	-6.480
8.060	5	0.500	0.90	295.94	-280.31	4578.00	0.900	-8.010
9.544	6	0.600	1.08	344.65	-260.90	4578.00	1.080	-9.483
10.962	7	0.700	1.26	389.87	-241.50	4578.00	1.260	-10.890
12.305	8	0.800	1.44	431.59	-222.09	4578.00	1.440	-12.221
13.566	9	0.900	1.62	469.82	-202.68	4578.00	1.620	-13.469
14.737	10	1.000	1.80	504.56	-183.28	4578.00	1.800	-14.626

**Maksimalverdi for element 1**

maxM= 504.56 kNm, minM= 0.00 kNm  
 maxV= -183.28 kN, minV= -377.34 kN  
 maxN= 4578.00 kN, minN= 4578.00 kN  
 maxd= 14.737 mm

**Diagrammer M, V, N, og forskyvninger d av element 2**

d [mm]	n	x/l	x [m]	M [kNm]	V [kN]	N [kN]	dx [mm]	dy [mm]
14.737	0	0.000	0.00	504.56	-183.28	4578.00	1.800	-14.626
17.556	1	0.100	0.52	585.28	-127.22	4578.00	2.320	-17.402
19.446	2	0.200	1.04	636.86	-71.16	4578.00	2.840	-19.238
20.331	3	0.300	1.56	659.29	-15.09	4578.00	3.360	-20.052
20.183	4	0.400	2.08	652.56	40.97	4578.00	3.880	-19.806
	5	0.500	2.60	616.68	97.03	4578.00	4.400	-18.514

19.029								
	6	0.600	3.12	551.65	153.09	4578.00	4.920	-16.231
16.960								
	7	0.700	3.64	457.46	209.15	4578.00	5.440	-13.063
14.150								
	8	0.800	4.16	334.13	265.22	4578.00	5.960	-9.161
10.929								
	9	0.900	4.68	181.64	321.28	4578.00	6.480	-4.725
8.020								
	10	1.000	5.20	0.00	377.34	4578.00	7.000	0.000
7.000								
	<u>Maksimalverdi for element 2</u>							
	maxM=	659.29	kNm,	minM=	0.00	kNm		
	maxV=	377.34	kN,	minV=	-183.28	kN		
	maxN=	4578.00	kN,	minN=	4578.00	kN		
	maxd=	20.331	mm					

Frame2Dexpress+ECdesign      Programlisens til HIALS 2015, Dan Marius Staalerod  
 18/05/2015 12:56:01

#### 12.10.4 LASTER PÅ BJELKER MED AREALREDUKSJON

Etasje	Bjelke	Bjelke lengde mm	Spann m	aksje	P-last kn/m <sup>2</sup>	Q-last kn/m <sup>2</sup>	P-last kn/m	Q-last kn/m	$\alpha(A)$	Q-last med $\alpha(A)$ kn/m	Last på bjelke kn/m med $\alpha(A)$	B1	B2	
veranda	U01	1	7	5,7	1 E-I	5,20	2,5	29,6	14,3	0,7	9,8	39,4	50,3	50,3
		2	2,95	7,05	11-G	5,20	2,5	36,7	17,6	0,9	15,2	51,8	65,4	60,7
		3	2,05	7,4	1 G-J	5,20	2,5	38,5	18,5	1,0	18,4	56,9	71,3	66,1
		4	2,4	7,4	1 j-H	6,96	4,0	51,5	29,6	0,9	27,3	78,8	98,2	90,6
		5	5,6	5,3	3 C-E	5,20	2,5	27,6	13,3	0,8	10,0	37,5	47,7	44,5
		6	7	10	3 E-I	5,20	2,5	52,0	25,0	0,6	15,2	67,2	86,1	79,1
		7	2,95	10	3 I-G	5,20	2,5	52,0	25,0	0,8	18,9	70,9	90,0	82,8
veranda		8	2,05	10	3 G-J	5,20	2,5	52,0	25,0	0,9	21,6	73,6	92,9	85,5
		9	2,4	10	3 J-H	6,96	4,0	69,6	40,0	0,8	32,5	102,1	128,1	117,5
		10	5,6	7,25	5 C-E	5,20	2,5	37,7	18,1	0,7	12,4	50,1	63,9	59,2
		11	7	10	5 E-I	5,20	2,5	52,0	25,0	0,6	15,2	67,2	86,1	79,1
		12	2,95	10	5 I-G	5,20	2,5	52,0	25,0	0,8	18,9	70,9	90,0	82,8
		13	2,05	10	5 G-J	5,20	2,5	52,0	25,0	0,9	21,6	73,6	92,9	85,5
		14	2,4	10	5 J-H	6,96	4,0	69,6	40,0	0,8	32,5	102,1	128,1	117,5
veranda		15	5,6	6,5	7 C-E	5,20	2,5	33,8	16,3	0,7	11,5	45,3	57,7	53,5
		16	7	5,9	7 E-I	5,20	2,5	30,7	14,8	0,7	10,1	40,7	52,0	48,4
		17	2,95	5,5	7 I-G	5,20	2,5	28,6	13,8	1,0	13,2	41,8	52,5	49,1
		18	2,05	5,3	7 G-J	5,20	2,5	27,6	13,3	1,0	13,3	40,8	51,1	47,8
		19	2,4	5	7 J-H	6,96	4,0	34,8	20,0	1,0	20,0	54,0	68,0	63,3
	H01	20	7	5,7	1 E-I	6,57	2,0	37,4	11,4	0,7	7,8	45,3	58,8	54,3
		21	2,95	7,05	11-G	6,57	2,0	46,3	14,1	0,9	12,1	58,5	75,3	69,2
veranda		22	2,05	7,4	1 G-J	6,96	4,0	51,5	29,6	1,0	29,4	80,9	100,4	92,7
		23	5,6	5,3	3 C-E	6,57	2,0	34,8	10,6	0,8	8,0	42,8	55,4	51,3
		24	7	10	3 E-I	6,57	2,0	65,7	20,0	0,6	12,1	77,8	101,4	92,5
		25	2,95	10	3 I-G	6,57	2,0	65,7	20,0	0,8	15,1	80,8	104,5	95,4
		26	2,05	10	3 G-J	6,96	4,0	69,6	40,0	0,9	34,6	104,2	130,3	119,7
		27	5,6	7,25	5 C-E	6,57	2,0	47,6	14,5	0,7	9,9	57,6	74,7	68,6
		28	7	10	5 E-I	6,57	2,0	65,7	20,0	0,6	12,1	77,8	101,4	92,5
veranda		29	2,95	10	5 I-G	6,57	2,0	65,7	20,0	0,8	15,1	80,8	104,5	95,4
		30	2,05	10	5 G-J	6,96	4,0	69,6	40,0	0,9	34,6	104,2	130,3	119,7
		31	5,6	6,5	7 C-E	6,57	2,0	42,7	13,0	0,7	9,2	51,9	67,3	61,9
		32	7	5,9	7 E-I	6,57	2,0	38,8	11,8	0,7	8,0	46,8	60,8	56,1
		33	2,95	5,5	7 I-G	6,57	2,0	36,1	11,0	1,0	10,6	46,7	59,9	55,4
		34	2,05	5,3	7 G-J	6,96	4,0	36,9	21,2	1,0	21,2	58,1	72,1	67,0
	H02	35	7	5,7	1 E-I	6,47	2,0	36,9	11,4	0,7	7,8	44,7	58,0	53,6
veranda		36	2,95	6,1	11-G	6,47	2,0	39,5	12,2	0,9	11,2	50,7	65,0	60,0
		37	7,16	0,8	2 E-I	6,47	2,0	5,2	1,6	1,0	1,6	6,8	8,7	9,3
		38	3	1,1	2 I-G	6,47	2,0	7,1	2,2	1,0	2,2	9,3	11,9	12,2
		39	5,6	5,3	3 C-E	6,47	2,0	34,3	10,6	0,8	8,0	42,3	54,7	50,6
		40	7	10	3 E-I	6,47	2,0	64,7	20,0	0,6	12,1	76,8	100,1	91,3
		41	2,95	10	3 I-G	6,47	2,0	64,7	20,0	0,8	15,1	79,8	103,2	94,2
		42	5,6	7,25	5 C-E	6,47	2,0	46,9	14,5	0,7	9,9	56,8	73,8	67,7
veranda		43	7	10	5 E-I	6,47	2,0	64,7	20,0	0,6	12,1	76,8	100,1	91,3
		44	2,95	10	5 I-G	6,47	2,0	64,7	20,0	0,8	15,1	79,8	103,2	94,2
		45	5,6	6,5	7 C-E	6,47	2,0	42,1	13,0	0,7	9,2	51,2	66,4	61,1
		46	7	5,9	7 E-I	6,47	2,0	38,2	11,8	0,7	8,0	46,2	60,0	55,4
		47	2,95	5,5	7 I-G	6,47	2,0	35,6	11,0	1,0	10,6	46,2	59,2	54,8
		48	7,02	3	9 E-I	6,47	2,0	19,4	6,0	0,9	5,1	24,5	31,6	29,9
		49	2,96	1,7	9 I-G	6,47	2,0	11,0	3,4	1,0	3,4	14,4	18,4	18,1

H03	50	7	5,7	1 E-I	6,47	2,0	36,9	11,4	0,7	7,8	44,7	58,0	53,6
	51	2,95	6,1	1 I-G	6,47	2,0	39,5	12,2	0,9	11,2	50,7	65,0	60,0
	52	7,16	0,8	2 E-I	6,47	2,0	5,2	1,6	1,0	1,6	6,8	8,7	9,3
	53	3	1,1	2 I-G	6,47	2,0	7,1	2,2	1,0	2,2	9,3	11,9	12,2
	54	5,6	5,3	3 C-E	6,47	2,0	34,3	10,6	0,8	8,0	42,3	54,7	50,6
	55	7	10	3 E-I	6,47	2,0	64,7	20,0	0,6	12,1	76,8	100,1	91,3
	56	2,95	10	3 I-G	6,47	2,0	64,7	20,0	0,6	15,1	79,8	103,2	94,2
	57	5,6	7,25	5 C-E	6,47	2,0	46,9	14,5	0,7	9,9	56,8	73,8	67,7
	58	7	10	5 E-I	6,47	2,0	64,7	20,0	0,6	12,1	76,8	100,1	91,3
	59	2,95	10	5 I-G	6,47	2,0	64,7	20,0	0,8	15,1	79,8	103,2	94,2
	60	5,6	6,5	7 C-E	6,47	2,0	42,1	13,0	0,7	9,2	51,2	66,4	61,1
	61	7	5,9	7 E-I	6,47	2,0	38,2	11,8	0,7	8,0	46,2	60,0	55,4
	62	2,95	5,5	7 I-G	6,47	2,0	35,6	11,0	1,0	10,6	46,2	59,2	54,8
	63	7,02	3	9 E-I	6,47	2,0	19,4	6,0	0,9	5,1	24,5	31,6	29,9
	64	2,96	1,7	9 I-G	6,47	2,0	11,0	3,4	1,0	3,4	14,4	18,4	18,1
H04	65	7	5,7	1 G-J	6,47	4,0	36,9	22,8	0,7	15,7	52,6	66,3	61,4
	66	2,95	5,6	1 I-G	6,96	4,0	45,7	26,2	0,9	23,3	68,9	86,1	79,6
	67	4	4,5	2 B-C	6,47	2,0	29,1	9,0	0,9	8,3	37,4	48,0	44,7
	68	7,16	6,75	2 E-I	6,47	2,0	43,7	13,5	0,7	8,8	52,5	68,2	62,8
	69	3	6,07	2 I-G	6,96	4,0	42,2	24,3	0,7	22,1	64,4	80,3	74,3
	70	3,85	9,5	3 B-C	6,47	2,0	61,5	19,0	0,7	13,4	74,9	97,0	88,7
	71	5,6	5,3	3 C-E	6,47	2,0	34,3	10,6	0,8	8,0	42,3	54,7	50,6
	72	7	10	3 E-I	6,47	2,0	64,7	20,0	0,6	12,1	76,8	100,1	91,3
	73	2,95	11,07	3 I-G	6,96	4,0	77,0	44,3	0,7	32,3	109,4	137,9	126,3
	74	3,85	10	5 B-C	6,47	2,0	64,7	20,0	0,7	20,0	78,6	101,9	93,0
	75	6,6	7,25	5 C-E	6,47	2,0	46,9	14,5	0,7	9,5	56,4	73,3	67,3
	76	7	10	5 E-I	6,47	2,0	64,7	20,0	0,6	12,1	76,8	100,1	91,3
	77	2,95	10	5 I-G	6,96	4,0	69,6	40,0	0,8	30,2	99,8	125,6	115,2
	78	3,85	6,9	7 B-C	6,47	2,0	44,6	13,8	0,8	10,8	55,4	71,6	65,9
	79	5,6	6,7	7 C-E	6,47	2,0	43,3	13,4	0,7	9,4	52,7	68,4	62,9
	80	7	5,9	7 E-I	6,47	2,0	38,2	11,8	0,7	8,0	46,2	60,0	55,4
	81	2,95	5,5	7 I-G	6,96	4,0	38,3	22,0	1,0	21,2	59,4	73,9	68,6
	82	4	1,75	10 B-C	6,47	2,0	11,3	3,5	1,0	3,5	14,8	19,0	18,6
	83	7,02	3	9 E-I	6,47	2,0	19,4	6,0	0,9	5,1	24,5	31,6	29,9
	84	2,96	1,7	9 I-G	6,96	4,0	11,8	6,8	1,0	6,8	18,6	23,1	22,5
	85	5,7	7	1 E-I	6,96	4,0	48,7	28,0	0,7	19,3	68,0	86,0	79,2
	86	4,1	4,1	2 A-B	6,47	2,0	26,5	8,2	0,9	7,8	34,3	44,0	41,1
	87	4	4,5	2 B-C	6,47	2,0	29,1	9,0	0,9	8,3	37,4	48,0	44,7
	88	7,17	6,75	2 E-I	6,96	4,0	47,0	27,0	0,7	17,7	64,7	82,0	75,6
	89	3,95	9,1	3 A-B	6,47	2,0	58,9	18,2	0,7	12,9	71,8	93,0	85,0
	90	3,85	9,5	3 B-C	6,47	2,0	61,5	19,0	0,7	13,4	74,9	97,0	88,7
	91	5,6	5,3	3 C-E	6,47	2,0	34,3	10,6	0,8	8,0	42,3	54,7	50,6
	92	7	11,07	3 E-I	6,96	4,0	77,0	44,3	0,6	26,4	103,5	131,8	120,4
	93	3,95	10	5 A-B	6,47	2,0	64,7	20,0	0,7	13,8	78,6	101,8	92,9
	94	3,85	10	5 B-C	6,47	2,0	64,7	20,0	0,7	13,9	78,6	101,9	93,0
	95	6,6	7,25	5 C-E	6,47	2,0	46,9	14,5	0,7	9,5	56,4	73,3	67,3
	96	7	10	5 E-I	6,96	4,0	69,6	40,0	0,6	24,3	93,9	119,5	109,3
	97	3,95	7,1	7 A-B	6,47	2,0	45,9	14,2	0,8	10,9	56,8	67,5	62,9
	98	3,85	7,9	7 B-C	6,47	2,0	51,1	15,8	0,7	11,8	62,9	81,4	74,6
	99	5,6	6,7	7 C-E	6,47	2,0	43,3	13,4	0,7	9,4	52,7	68,4	62,9
	100	7	5,9	7 E-I	6,96	4,0	41,1	23,6	0,7	16,1	57,1	72,3	66,9
	101	4	2,1	10 A-B	6,47	2,0	13,6	4,2	1,0	4,2	17,8	22,8	22,0
	102	4	1,7	10 B-C	6,47	2,0	11,0	3,4	1,0	3,4	14,4	18,4	18,1
	103	3	3	9 E-I	6,47	2,0	19,4	6,0	0,9	5,1	24,5	31,6	29,9
	104	2,96	1,7	9 I-G	6,96	4,0	11,8	6,8	1,0	6,8	18,6	23,1	22,5

H06	105	4,1	4,1	2 A-B	6,47	2,0	26,5	8,2	0,9	7,8	34,3	44,0	41,1
	106	4	1,4	2 B-C	6,47	2,0	9,1	2,8	1,0	2,8	11,9	15,2	15,2
Utkraging	107	1,9	5,25	2 E-F	6,47	2,0	34,0	10,5	1,0	10,5	44,5	56,9	52,8
	108	3,95	9,1	3 A-B	6,47	2,0	58,9	18,2	0,7	12,9	71,8	93,0	85,0
	109	3,85	9,5	3 B-C	6,47	2,0	61,5	19,0	0,7	13,4	74,9	97,0	88,7
Utkraging	110	5,6	5,3	3 C-E	6,47	2,0	34,3	10,6	0,8	42,3	54,7	50,6	
	111	1,8	10	3 E-F	6,47	2,0	64,7	20,0	0,9	18,3	83,0	106,6	97,5
Utkraging	112	3,95	10	5 A-B	6,47	2,0	64,7	20,0	0,7	13,8	78,5	101,8	92,9
	113	3,85	10	5 B-C	6,47	2,0	64,7	20,0	0,7	13,9	78,6	101,9	93,0
Utkraging	114	5,6	7,25	5 C-E	6,47	2,0	46,9	14,5	0,7	9,9	56,8	73,8	67,7
	115	1,8	10	5 E-F	6,47	4,0	64,7	40,0	0,9	36,7	101,4	125,8	115,8
Utkraging	116	3,95	7,1	7 A-B	6,47	2,0	45,9	14,2	0,8	10,9	56,8	73,5	67,5
	117	3,85	7,9	7 B-C	6,47	2,0	51,1	15,8	0,7	11,8	62,9	81,4	74,6
Utkraging	118	5,6	6,7	7 C-E	6,47	2,0	43,3	13,4	0,7	9,4	52,7	68,4	62,9
	119	1,8	6,45	7 E-F	6,47	2,0	41,7	12,9	1,0	12,9	54,6	69,9	64,5
Utkraging	120	4	2,1	10 A-B	6,47	2,0	13,6	4,2	1,0	4,2	17,8	22,8	22,0
	121	4	1,7	10 B-C	6,47	2,0	11,0	3,4	1,0	3,4	14,4	18,4	18,1
Utkraging	122	1,85	145	10 E-F	6,47	2,0	9,4	2,9	1,0	2,9	12,3	15,7	
H07 (kompaakt tak)	123	4,1	4,1	2 A-B	6,31	2,4	17,7	9,8	0,9	9,3	27,0	33,6	32,0
	124	4	1,4	2 B-C	6,13	2,4	5,8	3,4	1,0	3,4	9,1	11,3	11,8
Utkraging	125	1,9	5,25	2 E-F	6,31	2,4	22,6	12,6	1,0	12,6	35,2	43,8	41,3
	126	3,95	9,1	3 A-B	6,31	2,4	39,2	21,8	0,7	15,5	54,7	69,2	64,0
Utkraging	127	3,85	9,5	3 B-C	6,31	2,4	40,9	22,8	0,7	16,1	57,0	72,2	66,7
	128	5,6	5,3	3 C-E	6,31	2,4	22,8	12,7	0,8	9,6	32,4	40,9	38,5
Utkraging	129	1,8	10	3 E-F	6,31	2,4	43,1	24,0	0,9	22,0	65,1	81,3	75,2
	130	3,95	10	5 A-B	6,31	2,4	43,1	24,0	0,7	16,6	59,7	75,6	69,8
Utkraging	131	3,85	10	5 B-C	6,31	2,4	43,1	24,0	0,7	16,7	59,8	75,7	69,9
	132	5,6	7,25	5 C-E	6,31	2,4	31,2	17,4	0,7	11,9	43,2	54,7	50,9
Utkraging	133	1,8	10	5 E-F	6,31	2,4	43,1	24,0	0,9	22,0	65,1	81,3	75,2
	134	3,95	7,1	7 A-B	6,31	2,4	30,6	17,0	0,8	13,1	43,7	55,0	51,3
Utkraging	135	3,85	7,9	7 B-C	6,31	2,4	34,0	19,0	0,7	14,2	48,2	60,8	56,5
	136	5,6	6,7	7 C-E	6,31	2,4	28,9	16,1	0,7	11,3	40,1	50,8	47,4
Utkraging	137	1,8	6,45	7 E-F	6,31	2,4	27,8	15,5	1,0	15,5	43,3	53,8	50,3
	138	4	2,1	10 A-B	6,31	2,4	9,1	5,0	1,0	5,0	14,1	17,5	17,4
Utkraging	139	4	1,7	10 B-C	6,31	2,4	7,3	4,1	1,0	4,1	11,4	14,2	14,4
	140	1,85	1,45	10 E-F	6,31	2,4	6,2	3,5	1,0	3,5	12,1	12,1	12,5
H07 (leittak)	116	4,1	4,1	2 A-B	0,65	2,4	7	9,8	0,9	9,3	12,0	13,4	14,0
	117	4	1,4	2 B-C	0,65	2,4	0,9	3,4	1,0	3,4	4,3	4,8	6,0
Utkraging	118	1,9	5,25	2 E-F	0,65	2,4	3,4	12,6	1,0	12,6	16,0	17,8	18,2
	119	3,95	9,1	3 A-B	0,65	2,4	5,9	21,8	0,7	15,5	21,4	24,2	24,1
Utkraging	120	3,85	9,5	3 B-C	0,65	2,4	6,2	22,8	0,7	16,1	22,3	25,2	25,0
	121	5,6	5,3	3 C-E	0,65	2,4	3,4	12,7	0,8	9,6	13,0	14,7	15,2
Utkraging	122	1,8	10	3 E-F	0,65	2,4	6,5	24,0	0,9	22,0	28,5	31,9	31,3
	123	3,95	10	5 A-B	0,65	2,4	6,5	24,0	0,7	16,6	23,1	26,2	25,9
Utkraging	124	3,85	10	5 B-C	0,65	2,4	6,5	24,0	0,7	16,7	23,2	26,3	26,0
	125	5,6	7,25	5 C-E	0,65	2,4	4,7	17,4	0,7	11,9	16,6	18,9	19,1
Utkraging	126	1,8	10	5 E-F	0,65	2,4	6,5	24,0	0,9	22,0	28,5	31,9	31,3
	127	3,95	7,1	7 A-B	0,65	2,4	6,5	17,0	0,8	13,1	17,7	20,0	20,1
Utkraging	128	3,85	7,9	7 B-C	0,65	2,4	5,1	19,0	0,7	11,3	19,3	21,8	
	129	5,6	6,7	7 C-E	0,65	2,4	4,4	16,1	0,7	11,3	15,6	17,7	
Utkraging	130	1,8	6,45	7 E-F	0,65	2,4	4,2	15,5	1,0	15,5	19,7	21,9	22,0
	131	4	2,1	10 A-B	0,65	2,4	1,4	5,0	1,0	5,0	7,1	8,2	
Utkraging	132	4	1,7	10 B-C	0,65	2,4	1,1	4,1	1,0	4,1	5,2	5,8	
	133	1,85	1,45	10 E-F	0,65	2,4	0,9	3,5	1,0	3,5	4,1	4,9	

af(A) = Arealredusjonsfaktor

## 12.11 FUNDAMENT OG BETONGVEGG

### 12.11.1 VEGGFUNDAMENT

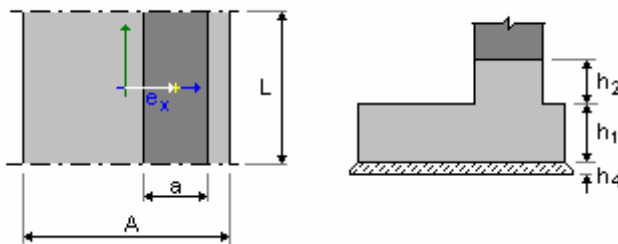
## 1 Continuous footing: Foundation 8412...2086 Number: 1

### 1.1 Basic data

#### 1.1.1 Assumptions

- Geotechnic calculations according to : EN 1997-1:2008
- Concrete calculations according to : NF EN 1992-1-1/NA:2007
- Shape selection : without limits

#### 1.1.2 Geometry:



$A = 1,80 \text{ (m)}$        $a = 0,25 \text{ (m)}$   
 $L = 6,02 \text{ (m)}$        $e_x = 0,05 \text{ (m)}$   
 $h_1 = 0,45 \text{ (m)}$   
 $h_2 = 0,00 \text{ (m)}$   
 $h_4 = 0,05 \text{ (m)}$



$a' = 250 \text{ (mm)}$   
 $c_{nom1} = 60 \text{ (mm)}$   
 $c_{nom2} = 60 \text{ (mm)}$   
 Cover deviations:  $C_{dev} = 10 \text{ (mm)}$ ,  $C_{dur} = 0 \text{ (mm)}$

#### 1.1.3 Materials

- Concrete : B45; Characteristic strength = 45,00 MPa  
Unit weight = 2501,36 (kG/m<sup>3</sup>)  
Rectangular stress distribution [3.1.7(3)]
- Longitudinal reinforcement : type B500C Characteristic  
strength = 500,00 MPa  
Ductility class: C  
Horizontal branch of the stress-strain diagram
- Transversal reinforcement : type B500C Characteristic  
strength = 500,00 MPa
- Additional reinforcement: : type B500C Characteristic  
strength = 500,00 MPa

#### 1.1.4 Loads:

**Foundation loads:**

Case	Nature	Group	N (kN)	Fx (kN)	My (kN*m)
DL1	dead load(Structural)	8412	380,66	-61,02	5,15
LL1	live load(Category A)	8412	51,76	-8,55	0,68
LL2	live load(Category F)	8412	4,97	-1,75	0,02
SN1	snow	8412	12,05	-2,16	0,15
WIND1	wind	18412	-1,57	-0,15	-0,09
WIND2	wind	18412	-5,05	-0,04	-0,01

**Backfill loads:**

Case	Nature	Q1 (kN/m <sup>2</sup> )

**1.1.5 Combination list**

- 1/ 2086\_ULS A1 : 1.35DL1+1.50LL1+1.05LL2+0.75SN1
- 2/ 2086\_ULS A1 : 1.35DL1+1.50LL1+1.05LL2
- 3/ 2086\_ULS A1 : 1.35DL1+1.50LL1+1.05LL2+0.90WIND1+0.75SN1
- 4/ 2086\_ULS A1 : 1.35DL1+1.50LL1+1.05LL2+0.90WIND1
- 5/ 2086\_ULS A1 : 1.35DL1+1.50LL1+1.05LL2+0.90WIND11+0.75SN1
- 6/ 2086\_ULS A1 : 1.35DL1+1.50LL1+1.05LL2+0.90WIND11
- 7/ 2086\_ULS A1 : 1.35DL1+1.50LL1+0.75SN1
- 8/ 2086\_ULS A1 : 1.35DL1+1.50LL1
- 9/ 2086\_ULS A1 : 1.35DL1+1.50LL1+0.90WIND1+0.75SN1
- 10/ 2086\_ULS A1 : 1.35DL1+1.50LL1+0.90WIND1

5429/\* 18446\_ULS : 1.00DL1+1.05LL1+1.50LL2+0.90WIND11

**1.2 Geotechnical design****1.2.1 Assumptions**

- Cohesion reduction coefficient: 0,00
- Smooth precast foundation 6.5.3(10)
- Sliding with soil pressure considered: for X and Y directions
- Design approach: 1  
A1 + M1 + R1  
 $\gamma\phi' = 1,00$   
 $\gamma c' = 1,00$   
 $\gamma cu = 1,00$   
 $\gamma qu = 1,00$   
 $\gamma\gamma = 1,00$   
 $\gamma R,v = 1,00$   
 $\gamma R,h = 1,00$   
A2 + M2 + R1  
 $\gamma\phi' = 1,25$   
 $\gamma c' = 1,25$   
 $\gamma cu = 1,40$   
 $\gamma qu = 1,40$   
 $\gamma\gamma = 1,00$   
 $\gamma R,v = 1,00$   
 $\gamma R,h = 1,00$

**1.2.2 Soil:**

Soil level:	$N_1 = 0,00$ (m)
Column pier level:	$N_a = 0,00$ (m)
Minimum reference level:	$N_f = -0,50$ (m)

## Fjell

- Soil level: 0.00 (m)
- Unit weight: 2243.38 (kG/m<sup>3</sup>)
- Unit weight of solid: 2753.23 (kG/m<sup>3</sup>)
- Internal friction angle: 25.0 (Deg)
- Cohesion: 0.06 (MPa)

### 1.2.3 Limit states

#### Stress calculations

Soil type under foundation: not layered

Design combination **8412\_ULS A1 :**

**1.35DL1+1.50LL1+1.05LL2+0.90WIND1+0.75SN1**

Load factors:

**1.35** \* Foundation weight

**1.35** \* Soil weight

Calculation results: On the foundation level

Weight of foundation and soil over it: Gr = 26,82 (kN)

Design load:

Nr = 643,60 (kN)

Mx = -0,00 (kN\*m)

My = -6,15 (kN\*m)

#### Allowable stress calculation method: Semi-empirical - stress limit

Load eccentricity:

|eB| = 0,00 (m) |eL| = 0,01 (m)

Equivalent foundation dimensions:

B' = B - 2|eB| = 1,00 (m)

L' = L - 2|eL| = 1,78 (m)

qu = 0.40 (MPa)

p<sub>le\*</sub> = 0,29 (MPa)

D<sub>e</sub> = D<sub>min</sub> - d = 0,45 (m)

k<sub>p</sub> = 1,30

q'<sub>o</sub> = 0,01 (MPa)

qu = k<sub>p</sub> \* (p<sub>le\*</sub>) + q'<sub>o</sub> = 0,38 (MPa)

Stress in soil: q<sub>ref</sub> = 0.37 (MPa)

Safety factor: q<sub>lim</sub> / q<sub>ref</sub> = 1.035 > 1

#### Uplift

##### Uplift in ULS

Design combination

**18438\_ULS A1 :**

**1.35DL1+1.50LL1+0.90WIND1+0.75SN1**

Load factors:

**1.00** \* Foundation weight

**1.00** \* Soil weight

Contact area:

s = 0,03

s<sub>lim</sub> = 0,17

#### Sliding

Design combination

**8412\_ULS A2 :**

**1.00DL1+0.91LL1+1.30LL2+0.78WIND1+0.91SN1**

Load factors:

**1.00** \* Foundation weight

**1.00** \* Soil weight

Weight of foundation and soil over it: Gr = 19,87 (kN)

Design load:  
 $N_r = 474,59 \text{ (kN)}$   $M_x = -0,00 \text{ (kN*m)}$   $M_y = -4,80 \text{ (kN*m)}$   
 Equivalent foundation dimensions:  $A_+ = 1,80 \text{ (m)}$   $B_- = 1,00 \text{ (m)}$   
 Sliding area:  $1,80 \text{ (m}^2)$   
 Foundation/soil friction coefficient:  $\tan(\delta_d) = 0,24$   
 Cohesion:  $c_u = 0,05 \text{ (MPa)}$   
 Soil pressure considered:  
 $H_x = -74,63 \text{ (kN)}$   $H_y = 0,00 \text{ (kN)}$   
 $P_{px} = 5,49 \text{ (kN)}$   $P_{py} = 0,00 \text{ (kN)}$   
 $P_{ax} = -0,90 \text{ (kN)}$   $P_{ay} = 0,00 \text{ (kN)}$   
 Sliding force value  $H_d = 70,04 \text{ (kN)}$   
 Value of force preventing foundation sliding:  
 - On the foundation level:  $R_d = 113,67 \text{ (kN)}$   
 Stability for sliding:  $1,623 > 1$

### Average settlement

Soil type under foundation: not layered  
 Design combination **8412\_SLS :**  
**1.00DL1+1.00LL1+1.00LL2+1.00WIND1+1.00SN1**  
 Load factors: **1.00** \* Foundation weight  
**1.00** \* Soil weight  
 Weight of foundation and soil over it:  $G_r = 19,87 \text{ (kN)}$   
 Average stress caused by design load:  $q = 0,27 \text{ (MPa)}$   
 Thickness of the actively settling soil:  $z = 4,50 \text{ (m)}$   
 Stress on the level z:  
 - Additional:  $\sigma_{zd} = 0,01 \text{ (MPa)}$   
 - Caused by soil weight:  $\sigma_{z\gamma} = 0,11 \text{ (MPa)}$   
 Settlement:  
 - Original  $s' = 3 \text{ (mm)}$   
 - Secondary  $s'' = 0 \text{ (mm)}$   
 - TOTAL  $S = 3 \text{ (mm)} < S_{adm} = 50 \text{ (mm)}$   
 Safety factor:  $14,46 > 1$

### Settlement difference

Design combination **18439\_SLS :**  
**1.00DL1+1.00LL1+1.00LL2+1.00WIND1+1.00SN1**  
 Load factors: **1.00** \* Foundation weight  
**1.00** \* Soil weight  
 Settlement difference:  $S = 1 \text{ (mm)} < S_{adm} = 50 \text{ (mm)}$   
 Safety factor:  $74,46 > 1$

### Rotation

About OY axis  
 Design combination: **8412\_ULT A1 :**  
**1.35DL1+1.05LL1+1.50LL2+0.90WIND1+0.75SN1**  
 Load factors: **1.00** \* Foundation weight  
**1.00** \* Soil weight  
 Weight of foundation and soil over it:  $G_r = 19,87 \text{ (kN)}$   
 Design load:  
 $N_r = 615,60 \text{ (kN)}$   $M_x = -0,00 \text{ (kN*m)}$   $M_y = -6,12 \text{ (kN*m)}$   
 Stability moment:  $M_{stab} = 591,76 \text{ (kN*m)}$   
 Rotation moment:  $M_{renv} = 43,84 \text{ (kN*m)}$   
 Stability for rotation:  $13,5 > 1$

## 1.3 RC design

### 1.3.1 Assumptions

- Exposure : XD3
- Structure class : S3

### 1.3.2 Analysis of punching and shear

#### Shear

Design combination	<b>8412_ULS :</b>
<b>1.35DL1+1.50LL1+1.05LL2+0.90WIND1+0.75SN1</b>	
Load factors:	1.35 * Foundation weight
	1.35 * Soil weight
Design load:	
Nr = 643,60 (kN)	Mx = -0,00 (kN*m)      My = -6,15 (kN*m)
Length of critical circumference:	1,00 (m)
Shear force:	22,99 (kN)
Section effective height	heff = 0,38 (m)
Shear area:	A = 0,38 (m <sup>2</sup> )
Reinforcement ratio:	$\rho = 0,21 \%$
Shear stress:	0,06 (MPa)
Admissible shear stress:	0,44 (MPa)
Safety factor:	7,247 > 1

### 1.3.3 Required reinforcement

#### Spread footing:

bottom:

$$8412\_ULS : 1.35DL1+1.50LL1+1.05LL2+0.90WIND1+0.75SN1 \\ My = 130,34 (\text{kN*m}) \quad A_{sx} = 801 (\text{mm}^2/\text{m})$$

$$Mx = 0,00 (\text{kN*m}) \quad A_{sy} = 0 (\text{mm}^2/\text{m})$$

$$A_{s \min} = 751 (\text{mm}^2/\text{m})$$

top:

$$\begin{aligned} A'_{sx} &= 0 (\text{mm}^2/\text{m}) \\ A'_{sy} &= 0 (\text{mm}^2/\text{m}) \end{aligned}$$

$$A_{s \min} = 0 (\text{mm}^2/\text{m})$$

#### Column pier:

Longitudinal reinforcement (mm <sup>2</sup> /m)	A = 2 x 0 (mm <sup>2</sup> /m)	A <sub>min.</sub> = 2 x 0
	A <sub>Asx</sub> = 2 * (Asx + Asy)	Asy = 2 x 0 (mm <sup>2</sup> /m)

### 1.3.4 Provided reinforcement

#### Continuous footing

##### Bottom:

Along X axis:

$$43 \text{ B500C 12} \quad l = 1,68 (\text{m}) \quad e = 1 * -2,72 + 42 * 0,13$$

Along Y axis:

$$7 \text{ B500C 8} \quad l = 5,90 (\text{m}) \quad e = 1 * -0,74 + 6 * 0,25$$

Pier  
**Longitudinal reinforcement**

**Dowels**  
**Longitudinal reinforcement**  
60 B500C 12       $l = 0,84 \text{ (m)}$        $e = 1^* - 0,02 + 1^* 0,13$

## 2 Material survey:

- Concrete volume                        = 4,88 (m<sup>3</sup>)
- Formwork                                = 7,04 (m<sup>2</sup>)
- Steel B500C
  - Total weight                            = 125,04 (kG)
  - Density                                  = 25,64 (kG/m<sup>3</sup>)
  - Average diameter                      = 11,0 (mm)
  - Survey according to diameters:

Diameter	Length (m)	Number:
8	5,90	7
12	0,84	60
12	1,68	43



## 12.11.2 BETONGVEGG

### 1 Level:

- Name : Story 1
- Story level : Upper 0,00 (m)
- Position of the story : Intermediate
- Exposure : XD3

### 2 Wall: Wall76

#### 2.1 Material properties:

- Concrete : B35  $f_{ck} = 28,00 \text{ (MPa)}$  Density = 2501,36 (kG/m<sup>3</sup>)
- Longitudinal reinforcement : type B500C  $f_e = 500,00 \text{ (MPa)}$
- Transversal reinforcement : type B500C  $f_e = 500,00 \text{ (MPa)}$
- Concrete age (loading moment) : 28
- Behavior factor:  $q = 2,50$

#### 2.2 Geometry:

##### Name:

Length: 6,02 (m)  
Thickness: 0,25 (m)  
Height: 2,75 (m)  
Ring beam height: 0,00 (m)  
Vertical support: -----  
Support conditions : Floor adjoining on two sides

#### 2.3 Calculation options:

Calculations according to : NF EN 1992-1-1/NA:2007  
Cover : 40 (mm)  
Seismic dispositions : none

#### 2.4 Loads:

##### 2.4.1 Reduced:

Nature	N (kN)	M (kN*m)	H (kN)			
Dead (DL1)	1532,41	181,53	25,08			
Live (LL1)	210,01	13,43	-0,99			
Live (LL2)	23,25	-4,11	6,72			
Snow (SN1)	45,35	10,80	4,14			
Seismic (Seismic-NS-EN 1998-1:2004/NA:2008 Ecc X+ Direction_X)			-0,28	-0,59	0,28	
Seismic (Seismic-NS-EN 1998-1:2004/NA:2008 Ecc X+ Direction_Y)			-0,02	-0,03	0,01	
Seismic (Seismic-NS-EN 1998-1:2004/NA:2008 Ecc Y+ Direction_X)			-0,24	-0,41	0,24	
Seismic (Seismic-NS-EN 1998-1:2004/NA:2008 Ecc Y+ Direction_Y)			-0,01	-0,01	0,00	
Wind (WIND X)	11,67	32,08	-8,66			
Wind (WIND Y)	0,06	31,59	-20,48			

#### 2.5 Calculation results:

## 2.5.1 Diagrams

## 2.5.2 Theoretical results - detailed results:

### 2.5.2.1 Combinations

#### 2.5.2.1.1 ULS (uttdrag)

ULS.1	-	1.35 DL1 +1.5 LL1 +1.05 LL2 +0.75 SN1
ULS.2	-	1.35 DL1 +1.5 LL1 +1.05 LL2
ULS.3	-	1.35 DL1 +1.5 LL1 +1.05 LL2 +0.9 WIND X +0.75 SN1
ULS.4	-	1.35 DL1 +1.5 LL1 +1.05 LL2 +0.9 WIND X
ULS.5	-	1.35 DL1 +1.5 LL1 +1.05 LL2 +0.9 WIND Y +0.75 SN1
ULS.6	-	1.35 DL1 +1.5 LL1 +1.05 LL2 +0.9 WIND Y
ULS.7	-	1.35 DL1 +1.5 LL1 +0.75 SN1
ULS.8	-	1.35 DL1 +1.5 LL1
ULS.9	-	1.35 DL1 +1.5 LL1 +0.9 WIND X +0.75 SN1
ULS.10	-	1.35 DL1 +1.5 LL1 +0.9 WIND X

#### 2.5.2.1.2 ALS

#### 2.5.2.2 Buckling length

$$L_o = \beta * L_w$$
$$L_o = 2,34 \text{ (m)}$$

#### 2.5.2.3 Slenderness

$$\lambda = L_o / i$$
$$\lambda = 32,39$$

$$\lambda_{\text{seism}} = 35,21$$
$$\lambda_{\text{seism\_rfn}} = 35,21$$

#### 2.5.2.4 Coefficient $\Phi$

$$\Phi = \min(1,14*(1-2*ei/hw)-0.02*lo/hw, (1-2*ei/hw))$$
$$\Phi = 0,77$$

$$\Phi_{\text{seism}} = 0,77$$

#### 2.5.2.5 Capacity of an unreinforced wall

$$\sigma_{\text{ulim}} = 11,51 \text{ (MPa)}$$
$$\sigma_{\text{ulim\_seism}} = -17,26 \text{ (MPa)}$$

$$\sigma_{\text{moy}} = 1,63 \text{ (MPa)}$$

Design combination: ULS 3

$$\sigma_{\text{band,moy}} = 0,00 \text{ (MPa)}$$
$$L_{\text{band}} = 0,00 \text{ (m)}$$

Design combination: ULS 1

$$f_{\text{cvd}} = 0,00 \text{ (MPa)}$$

$$\tau_{\text{cp}} = 0,00 \text{ (MPa)}$$

Design combination: SEISMIC

#### 2.5.2.6 Distributed reinforcement

Design combination: SEISMIC

$$N_{\text{umax}} = 0,00 \text{ (kN)}$$
$$\sigma_{\text{umax}} = 0,00 \text{ (MPa)}$$

$$A_v = 240 \text{ (mm}^2/\text{m)}$$
$$A_{\text{min}} = 40 \text{ (mm}^2/\text{m)}$$

$$N_{\text{ulim}} = 28101,15 \text{ (kN)}$$

$\sigma_{bc} = -22,40$  (MPa)  
 $\sigma_{ulim} = 18,67$  (MPa)

### 2.5.2.7 Edge reinforcement

#### 2.5.2.7.1 Left edge

##### 2.5.2.7.1.1 Stiffeners against bending with compression

Af L = 314 (mm<sup>2</sup>)  
Design combination: ULS 1

##### 2.5.2.7.1.2 Minimum reinforcement

Design combination: ---  
 $\rho = 0,001 * q * \sigma_i / \sigma_{ulim}$   
 $\sigma_i = 0,00$  (MPa)  
 $\sigma_{ulim} = 0,00$  (MPa)  
 $bf = 0,00$  (m)  
 $AfL_{min} = 0$  (mm<sup>2</sup>)

##### 2.5.2.7.1.3 Minimal posts

Width: d':  
Design combination: ---  
 $\sigma_i = 0,00$  (MPa)  
 $\sigma_{ulim} = 0,00$  (MPa)  
 $d' = 0,25$  (m)

##### 2.5.2.7.1.4 Confined boundary element due to seismic requirements

$If = 0,25$  (m)  
 $hs = 2,75$  (m)  
 $If \leq hs/5$   
 $bf = 0,25$  (m)  
 $bf \geq hs/15$   
Confined boundary element is required  
 $vd = 0,00$   
Transverse reinforcement - according to EN 1992-1-1:2004 5.4.3.4.2 (12)  
 $Ic = 0,25$  (m)  
 $\rho = 0,01\%$

#### 2.5.2.7.2 Right edge

##### 2.5.2.7.2.1 Stiffeners against bending with compression

Af R= 314 (mm<sup>2</sup>)  
Design combination: ULS 1

##### 2.5.2.7.2.2 Minimum reinforcement

Design combination: ---  
 $\rho = 0,001 * q * \sigma_i / \sigma_{ulim}$   
 $\sigma_i = 0,00$  (MPa)  
 $\sigma_{ulim} = 0,00$  (MPa)  
 $bf = 0,00$  (m)  
 $AfR_{min} = 0$  (mm<sup>2</sup>)

##### 2.5.2.7.2.3 Minimal posts

Width: d':  
Design combination: ---  
 $\sigma_i = 0,00$  (MPa)  
 $\sigma_{ulim} = 0,00$  (MPa)  
 $d' = 0,25$  (m)

##### 2.5.2.7.2.4 Confined boundary element due to seismic requirements

$If = 0,25$  (m)  
 $hs = 2,75$  (m)  
 $If \leq hs/5$   
 $bf = 0,25$  (m)  
 $bf \geq hs/15$   
Confined boundary element is required

$vd = 0,00$   
 Transverse reinforcement - according to EN 1992-1-1:2004 5.4.3.4.2 (12)  
 $lc = 0,25$  (m)  
 $\rho = 0,01\%$

### 2.5.2.8 Shear

#### Horizontal reinforcement

$V_u = 47,12$  (kN)  
 $V_{Rd,max} = 367924,98$  (kN)  
 $V_{Rdc,min} = 2137,58$  (kN)  
 $V_{Rdc} = 2137,58$  (kN)  
 $A_h = 0$  (mm<sup>2</sup>/m)  
 Design combination: ULS 89  
Design combination-ALS: ---

$V_u = 0,00$  (kN)  
 $V^* = 0,00$  (kN)  
 $\tau^* = 0,00$  (MPa)  
 $\tau_{lim} = 0,00$  (MPa)  
 $\alpha V = 0,00$   
 $A_{th} = 0$  (mm<sup>2</sup>/m)

#### Vertical reinforcement

Design combination: ---

$V_u = 0,00$  (kN)  
 $V^* = 0,00$  (kN)  
 $\tau^* = 0,00$  (MPa)  
 $\tau_{lim} = 0,00$  (MPa)  
 $\alpha V = 0,00$   
 $A_{tv} = 0$  (mm<sup>2</sup>/m)

### 2.5.2.9 Sliding

Design combination: SEISMIC

$V_u = 0,00$  (kN)  
 $V^* = 0,00$  (kN)  
 $x = 0,00$  (m)  
 $\alpha R = 0,00$   
 $F_b = \alpha R^* x^* \sigma_{ulim} * a = 0,00$  (kN)  
 $f_{tj} = 2,28$  (MPa)  
 $A_t = 0$  (mm<sup>2</sup>/m)

## 2.6 Reinforcement:

### Vertical reinforcement:

Zone	X0 (m)	X1 (m)	Number:	Steel	Diameter (mm)	Length (m)	Spacing (m)
	0,25	5,77	46	B500C	8,0	3,14	0,25
X0	- Zone beginning						
X1	- Zone end						

### Horizontal reinforcement:

Type	Number:	Steel	Diameter (mm)	A (m)	B (m)	C (m)	Spacing (m)	Shape
Straight bars	22	B500C	8,0	5,94	0,00	0,00	0,25	
U loops	11	B500C	8,0	0,45	0,16	0,45	-	21
U loops	11	B500C	8,0	0,45	0,16	0,45	-	21

### Pins:

Number:	Steel	Diameter A (mm)	(m)	B (m)	C (m)	Shape
---------	-------	--------------------	-----	----------	----------	-------

138      B500C      8,0      0,17      0,00      0,00 00

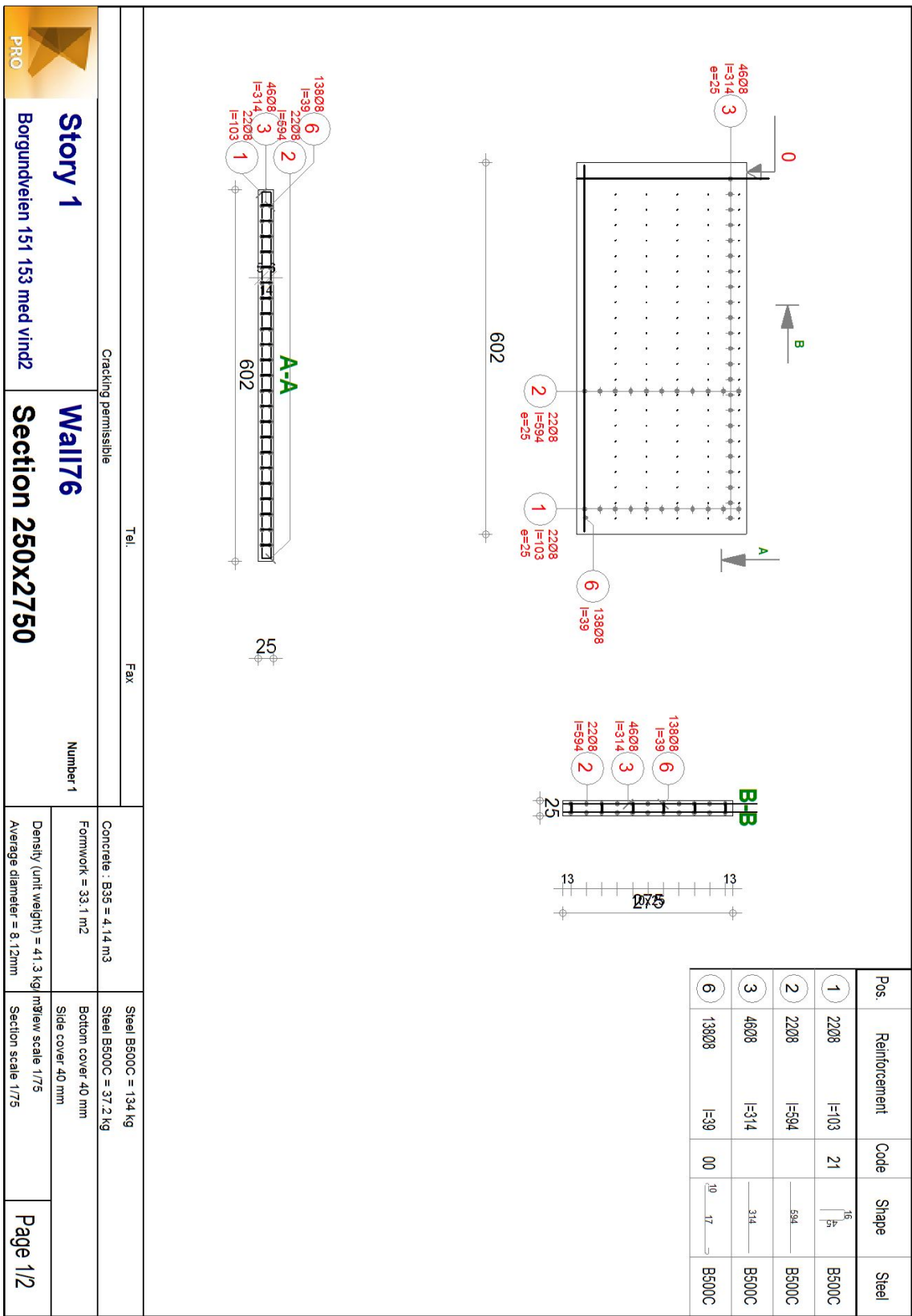
#### **Edge reinforcement (Af):**

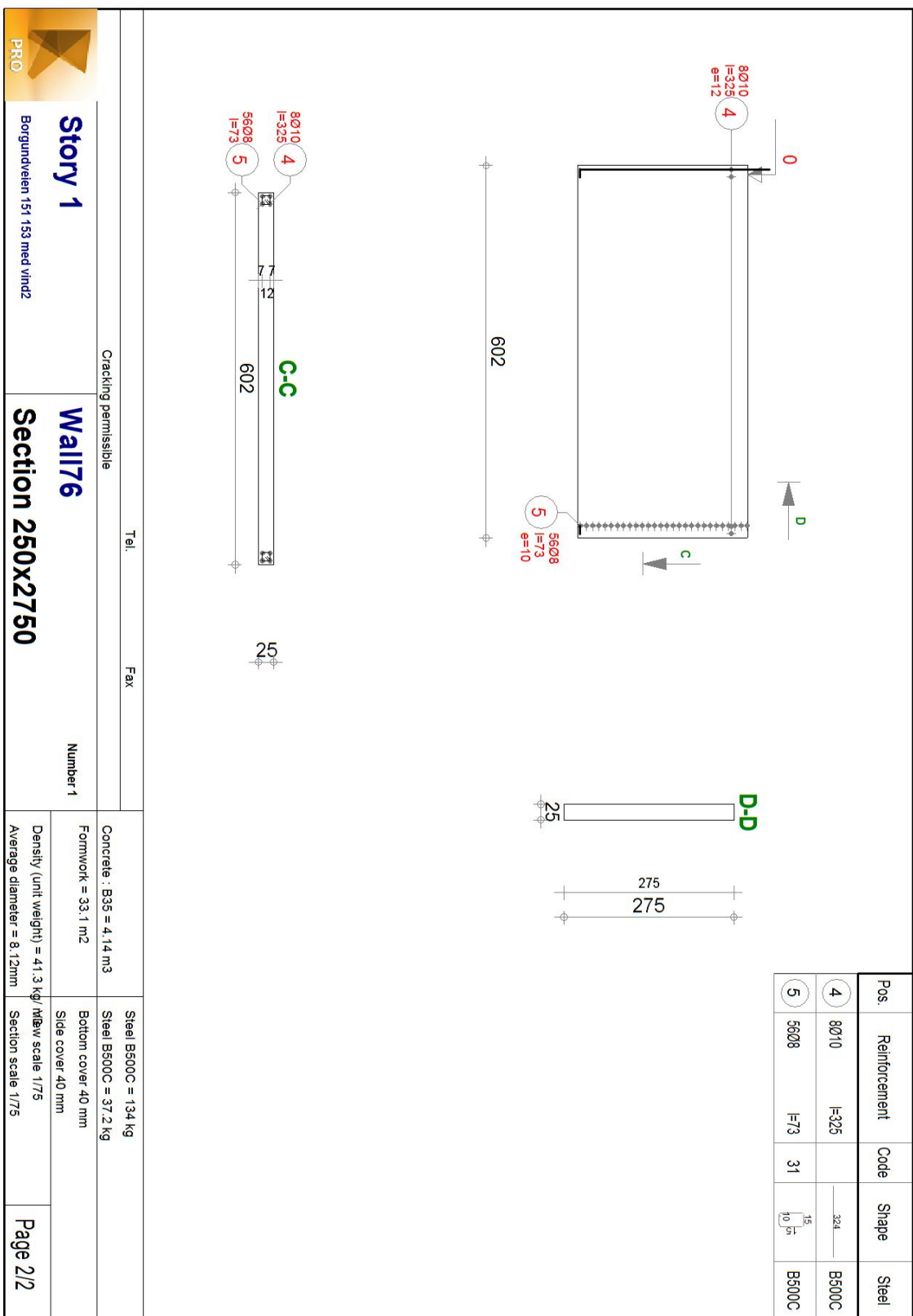
	<b>Number: Steel</b>	<b>Diameter (mm)</b>	<b>Diameter (m)</b>	<b>A (m)</b>	<b>B (m)</b>	<b>C</b>	<b>Shape</b>
Longitudinal reinforcement - left side	4	B500C	10,0	3,24	0,00	0,00	0,00
Longitudinal reinforcement - right side	4	B500C	10,0	3,24	0,00	0,00	0,00
Transversal reinforcement - left side 31	28	B500C	8,0	0,15	0,15	0,15	0,15
Transversal reinforcement - right side 31	28	B500C	8,0	0,15	0,15	0,15	0,15

### **3 Material survey:**

- Concrete volume = 4,14 (m<sup>3</sup>)
- Formwork = 34,49 (m<sup>2</sup>)
- Steel B500C
  - Total weight = 170,75 (kG)
  - Density = 41,25 (kG/m<sup>3</sup>)
  - Average diameter = 8,1 (mm)
- Survey according to diameters:

Diameter	Length (m)	Number:
8	0,39	138
8	0,73	56
8	1,03	22
8	3,14	46
8	5,94	22
10	3,24	8





## 12.11.3 SØYLEFUNDAMENT

### 1 Spread footing: Foundation31

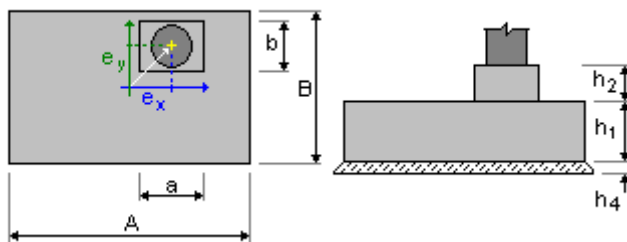
**Number: 1**

#### 1.1 Basic data

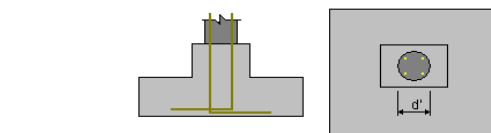
##### 1.1.1 Assumptions

- Geotechnic calculations according to : EN 1997-1:2008
- Concrete calculations according to : NF EN 1992-1-1/NA:2007
- Shape selection : without limits

##### 1.1.2 Geometry:



A	= 3,90 (m)	a	= 0,65 (m)
B	= 3,90 (m)	b	= 0,65 (m)
h1	= 0,65 (m)	e <sub>x</sub>	= 0,00 (m)
h2	= 0,05 (m)	e <sub>y</sub>	= 0,00 (m)
h4	= 0,05 (m)		



d' = 450 (mm)  
 Cnom1 = 60 (mm)  
 Cnom2 = 60 (mm)  
 Cover deviations: Cdev = 10(mm), Cdur = 0(mm)

##### 1.1.3 Materials

- Concrete : B45; Characteristic strength = 45,00 MPa  
Unit weight = 2501,36 (kG/m<sup>3</sup>)  
Rectangular stress distribution [3.1.7(3)]
- Longitudinal reinforcement : type B500C Characteristic  
strength = 500,00 MPa  
Ductility class: C  
Horizontal branch of the stress-strain diagram
- Transversal reinforcement : type B500C Characteristic  
strength = 500,00 MPa
- Additional reinforcement: : type B500C Characteristic  
strength = 500,00 MPa

##### 1.1.4 Loads:

Case	Nature	Foundation loads:		N (kN)	F <sub>x</sub> (kN)	F <sub>y</sub> (kN)	M <sub>x</sub> (kN*m)	M <sub>y</sub> (kN*m)
		Group						

DL1	dead load(Structural)	31	2201,11	0,15	0,09	-0,20	0,21
LL1	live load(Category A)	31	576,73	0,03	0,01	-0,03	0,03
LL2	live load(Category F)	31	111,67	0,03	0,01	-0,00	0,05
SN1	snow	31	81,39	-0,01	0,00	-0,01	-0,01
SEI_X21	seismic	31	0,00	-0,00	-0,00	-0,00	-0,00
SEI_Y22	seismic	31	0,00	-0,00	-0,00	-0,00	-0,00
SEI_Z22	seismic	31	0,00	0,00	0,00	0,00	0,00
SEI_X25	seismic	31	0,00	-0,00	-0,00	-0,00	-0,00
SEI_Y26	seismic	31	0,00	-0,00	-0,00	-0,00	-0,00
SEI_Z26	seismic	31	0,00	0,00	0,00	0,00	0,00
WIND1	wind	31	0,00	0,03	-0,01	0,01	0,08
WIND2	wind	31	-0,00	-0,00	0,04	-0,10	-0,01

#### Backfill loads:

Case	Nature	Q1 (kN/m <sup>2</sup> )

#### 1.1.5 Combination list (utdrag)

- 1/ ULS A1 : 1.35DL1+1.50LL1+1.05LL2+0.75SN1
- 2/ ULS A1 : 1.35DL1+1.50LL1+1.05LL2
- 3/ ULS A1 : 1.35DL1+1.50LL1+1.05LL2+0.90WIND1+0.75SN1
- 4/ ULS A1 : 1.35DL1+1.50LL1+1.05LL2+0.90WIND1
- 5/ ULS A1 : 1.35DL1+1.50LL1+1.05LL2+0.90WIND11+0.75SN1
- 6/ ULS A1 : 1.35DL1+1.50LL1+1.05LL2+0.90WIND11
- 7/ ULS A1 : 1.35DL1+1.50LL1+0.75SN1
- 8/ ULS A1 : 1.35DL1+1.50LL1

## 1.2 Geotechnical design

#### 1.2.1 Assumptions

- Cohesion reduction coefficient: 0,00
- Smooth precast foundation 6.5.3(10)
- Sliding with soil pressure considered: for X and Y directions
- Design approach: 1  
A1 + M1 + R1  
 $\gamma_{\phi}' = 1,00$   
 $\gamma_c' = 1,00$   
 $\gamma_{cu} = 1,00$   
 $\gamma_{qu} = 1,00$   
 $\gamma_{\gamma} = 1,00$   
 $\gamma_{R,v} = 1,00$   
 $\gamma_{R,h} = 1,00$   
A2 + M2 + R1  
 $\gamma_{\phi}' = 1,25$   
 $\gamma_c' = 1,25$   
 $\gamma_{cu} = 1,40$   
 $\gamma_{qu} = 1,40$   
 $\gamma_{\gamma} = 1,00$   
 $\gamma_{R,v} = 1,00$   
 $\gamma_{R,h} = 1,00$

#### 1.2.2 Soil:

Soil level:	$N_1$	= 0,00 (m)
Column pier level:	$N_a$	= 0,00 (m)
Minimum reference level:	$N_f$	= -0,50 (m)

## Fjell

- Soil level: 0.00 (m)
- Unit weight: 2243.38 (kG/m<sup>3</sup>)
- Unit weight of solid: 2753.23 (kG/m<sup>3</sup>)
- Internal friction angle: 25.0 (Deg)
- Cohesion: 0.06 (MPa)

### 1.2.3 Limit states

#### Stress calculations

Soil type under foundation: not layered

Design combination **ULS A1 :**

**1.35DL1+1.50LL1+1.05LL2+0.90WIND11+0.75SN1**

Load factors:

**1.35** \* Foundation weight

**1.35** \* Soil weight

Calculation results: On the foundation level

Weight of foundation and soil over it: Gr = 350,06 (kN)

Design load:

$$Nr = 4364,95 \text{ (kN)} \quad Mx = -0,53 \text{ (kN*m)} \quad My = 0,56 \text{ (kN*m)}$$

#### Allowable stress calculation method: Semi-empirical - stress limit

Load eccentricity:

$$|e_B| = 0,00 \text{ (m)} \quad |e_L| = 0,00 \text{ (m)}$$

Equivalent foundation dimensions:

$$B' = B - 2|e_B| = 3,90 \text{ (m)}$$

$$L' = L - 2|e_L| = 3,90 \text{ (m)}$$

$$q_u = 0,40 \text{ (MPa)}$$

$$p_{le}^* = 0,25 \text{ (MPa)}$$

$$D_e = D_{min} - d = 0,70 \text{ (m)}$$

$$k_p = 1,14$$

$$q'_o = 0,02 \text{ (MPa)}$$

$$q_u = k_p * (p_{le}^*) + q'_o = 0,30 \text{ (MPa)}$$

$$\text{Stress in soil: } q_{ref} = 0,29 \text{ (MPa)}$$

Safety factor: q<sub>lim</sub> / q<sub>ref</sub> = 1.036 > 1

#### Uplift

##### Uplift in ULS

Design combination

**ULS A1 : 1.00DL1+1.05LL2+1.50WIND11**

Load factors:

**1.00** \* Foundation weight

**1.00** \* Soil weight

Contact area:

$$s = 0,00$$

$$s_{lim} = 0,17$$

#### Sliding

Design combination

**ULS A2 : 1.00DL1+1.30WIND11**

Load factors:

**1.00** \* Foundation weight

**1.00** \* Soil weight

Weight of foundation and soil over it: Gr = 259,30 (kN)

Design load:  
 $N_r = 2460,41 \text{ (kN)}$        $M_x = -0,43 \text{ (kN*m)}$        $M_y = 0,30 \text{ (kN*m)}$   
 Equivalent foundation dimensions:  $A_+ = 3,90 \text{ (m)}$        $B_+ = 3,90 \text{ (m)}$   
 Sliding area:       $15,21 \text{ (m}^2\text{)}$   
 Foundation/soil friction coefficient:  $\tan(\delta_d) = 0,24$   
 Cohesion:       $c_u = 0,05 \text{ (MPa)}$   
 Soil pressure considered:  
 $H_x = 0,14 \text{ (kN)}$        $H_y = 0,14 \text{ (kN)}$   
 $P_{px} = -25,76 \text{ (kN)}$        $P_{py} = -25,76 \text{ (kN)}$   
 $P_{ax} = 4,24 \text{ (kN)}$        $P_{ay} = 4,24 \text{ (kN)}$   
 Sliding force value       $H_d = 0,00 \text{ (kN)}$   
 Value of force preventing foundation sliding:  
     - On the foundation level:       $R_d = 589,28 \text{ (kN)}$   
 Stability for sliding:       $\infty$

### Average settlement

Soil type under foundation: not layered  
 Design combination      **SLS :**  
**1.00DL1+1.00LL1+1.00LL2+1.00WIND1+1.00SN1**  
 Load factors:      **1.00** \* Foundation weight  
                         **1.00** \* Soil weight  
 Weight of foundation and soil over it:  $G_r = 259,30 \text{ (kN)}$   
 Average stress caused by design load:  $q = 0,21 \text{ (MPa)}$   
 Thickness of the actively settling soil:  $z = 7,80 \text{ (m)}$   
 Stress on the level z:  
     - Additional:       $\sigma_{zd} = 0,02 \text{ (MPa)}$   
     - Caused by soil weight:       $\sigma_{zy} = 0,19 \text{ (MPa)}$   
 Settlement:  
     - Original       $s' = 7 \text{ (mm)}$   
     - Secondary       $s'' = 0 \text{ (mm)}$   
     - TOTAL       $S = 7 \text{ (mm)} < S_{adm} = 50 \text{ (mm)}$   
 Safety factor:       $7,078 > 1$

### Settlement difference

Design combination      **SLS :**  
**1.00DL1+1.00LL1+1.00LL2+1.00WIND1**  
 Load factors:      **1.00** \* Foundation weight  
                         **1.00** \* Soil weight  
 Settlement difference:       $S = 0 \text{ (mm)} < S_{adm} = 50 \text{ (mm)}$   
 Safety factor:       $1,289e+004 > 1$

### Rotation

About OX axis  
 Design combination      **ULS A1 : 1.00DL1+1.50WIND11**  
 Load factors:      **1.00** \* Foundation weight  
                         **1.00** \* Soil weight  
 Weight of foundation and soil over it:  $G_r = 259,30 \text{ (kN)}$   
 Design load:  
 $N_r = 2460,41 \text{ (kN)}$        $M_x = -0,45 \text{ (kN*m)}$        $M_y = 0,29 \text{ (kN*m)}$   
 Stability moment:       $M_{stab} = 4797,80 \text{ (kN*m)}$   
 Rotation moment:       $M_{renv} = 0,45 \text{ (kN*m)}$   
 Stability for rotation:       $1,058e+004 > 1$

About OY axis  
 Design combination:      **ULS A1 : 1.00DL1+1.05LL2+1.50WIND1**  
 Load factors:      **1.00** \* Foundation weight  
                         **1.00** \* Soil weight

Weight of foundation and soil over it:  $Gr = 259,30 \text{ (kN)}$

Design load:

$$Nr = 2577,67 \text{ (kN)} \quad M_x = -0,24 \text{ (kN*m)} \quad M_y = 0,53 \text{ (kN*m)}$$

Stability moment:  $M_{stab} = 5026,46 \text{ (kN*m)}$

Rotation moment:  $M_{renv} = 0,53 \text{ (kN*m)}$

Stability for rotation:  $9415 > 1$

## 1.3 RC design

### 1.3.1 Assumptions

- Exposure : XD3
- Structure class : S3

### 1.3.2 Analysis of punching and shear

#### Punching

Design combination **ULS :**

**1.35DL1+1.50LL1+1.05LL2+0.90WIND11+0.75SN1**

Load factors:  $1.35 * \text{Foundation weight}$

$1.35 * \text{Soil weight}$

Design load:

$$Nr = 4364,95 \text{ (kN)} \quad M_x = -0,53 \text{ (kN*m)} \quad M_y = 0,56 \text{ (kN*m)}$$

Length of critical circumference:  $6,97 \text{ (m)}$

Punching force:  $3028,56 \text{ (kN)}$

Section effective height  $h_{eff} = 0,58 \text{ (m)}$

Reinforcement ratio:  $\rho = 0,27 \%$

Shear stress:  $0,75 \text{ (MPa)}$

Admissible shear stress:  $0,79 \text{ (MPa)}$

Safety factor:  $1.055 > 1$

### 1.3.3 Required reinforcement

#### Spread footing:

bottom:

ULS : **1.35DL1+1.50LL1+1.05LL2+0.90WIND11+0.75SN1**

$My = 1527,58 \text{ (kN*m)}$   $A_{sx} = 1585 \text{ (mm}^2/\text{m)}$

ULS : **1.35DL1+1.50LL1+1.05LL2+0.90WIND11+0.75SN1**

$Mx = 1527,53 \text{ (kN*m)}$   $A_{sy} = 1585 \text{ (mm}^2/\text{m)}$

$A_{s \min} = 1146 \text{ (mm}^2/\text{m)}$

top:

$A'_{sx} = 0 \text{ (mm}^2/\text{m)}$

$A'_{sy} = 0 \text{ (mm}^2/\text{m)}$

$A_{s \ min} = 0 \text{ (mm}^2/\text{m)}$

#### Column pier:

Longitudinal reinforcement  $A = 0 \text{ (mm}^2)$   $A_{\min} = 0 \text{ (mm}^2)$

$A = 2 * (A_{sx} + A_{sy})$

$A_{sx} = 0 \text{ (mm}^2)$   $A_{sy} = 0 \text{ (mm}^2)$

### 1.3.4 Provided reinforcement

#### Spread footing:

##### Bottom:

Along X axis:

$$31 \text{ B500C 16} \quad l = 3,78 \text{ (m)} \quad e = 1^* - 1,79 + 30^* 0,12$$

Along Y axis:

$$31 \text{ B500C 16} \quad l = 3,78 \text{ (m)} \quad e = 1^* - 1,79 + 30^* 0,12$$

#### Pier

#### Longitudinal reinforcement

Along X axis:

$$2 \text{ B500C 12} \quad l = 2,28 \text{ (m)} \quad e = 1^* - 0,21 + 1^* 0,42$$

Along Y axis:

$$2 \text{ B500C 12} \quad l = 2,32 \text{ (m)} \quad e = 1^* - 0,21 + 1^* 0,42$$

#### Transversal reinforcement

$$4 \text{ B500C 14} \quad l = 2,38 \text{ (m)} \quad e = 1^* 0,21 + 1^* 0,20 + 2^* 0,09$$

#### Dowels

#### Longitudinal reinforcement

$$4 \text{ B500C 16} \quad l = 1,24 \text{ (m)} \quad e = 1^* - 0,14 + 2^* 0,14$$

## 2 Material survey:

- Concrete volume = 9,91 (m<sup>3</sup>)
- Formwork = 10,27 (m<sup>2</sup>)
- Steel B500C
  - Total weight = 397,55 (kG)
  - Density = 40,13 (kG/m<sup>3</sup>)
  - Average diameter = 15,8 (mm)
  - Survey according to diameters:

Diameter	Length (m)	Number:
12	2,28	2
12	2,32	2
14	2,38	4
16	1,24	4
16	3,78	62



## 12.12 DIMENSJONERING: SØYLER

### 12.12.1 BETONGSØYLER

#### 1 Story 1:

- Name : Story 1
- Reference level : 0,00 (m)
- Concrete creep coefficient :  $\varphi_p = 2,65$
- Cement class : N
- Environment class : XD3
- Structure class : S3

#### 2 Column: Column27

**Number: 1**

##### 2.1 Material properties:

- Concrete : B45  $f_{ck} = 45,00 \text{ (MPa)}$
- Unit weight : 2501,36 (kG/m<sup>3</sup>)
- Aggregate size : 20,0 (mm)
- Longitudinal reinforcement: : B500C  $f_{yk} = 500,00 \text{ (MPa)}$
- Ductility class : C
- Transversal reinforcement: : B500C  $f_{yk} = 500,00 \text{ (MPa)}$

##### 2.2 Geometry:

- |       |                |            |
|-------|----------------|------------|
| 2.2.1 | C              |            |
|       | Diameter       | = 450 (mm) |
| 2.2.2 | Height: L      | = 2,75 (m) |
| 2.2.3 | Slab thickness | = 0,00 (m) |
| 2.2.4 | Beam height    | = 0,00 (m) |
| 2.2.5 | Cover          | = 50 (mm)  |

##### 2.3 Calculation options:

- Calculations according to : NF EN 1992-1-1/NA:2007
- Seismic dispositions : No requirements
- Precast column : no
- Pre-design : no
- Slenderness taken into account : yes
- Compression : with bending
- Ties : to slab
- Fire resistance class : No requirements

##### 2.4 Loads:

Case	Nature	Group	$\gamma_f$	N (kN)	My(s) (kN*m)	My(i) (kN*m)	Mz(s) (kN*m)	Mz(i) (kN*m)
DL1	dead load(Structural)	27	1,35	2201,60	-0,19	0,21	-0,04	0,20
LL1	live load(Category A)	27	1,50	577,03	-0,04	0,03	-0,00	0,03
LL2	live load(Category F)	27	1,50	111,67	-0,04	0,05	-0,02	0,00
SN1	snow	27	1,50	81,39	0,01	-0,01	0,00	0,01
WIND1	wind	27	1,50	0,00	0,01	0,08	0,02	-0,01
WIND11	wind	27	1,50	-0,00	0,00	-0,02	0,00	0,08

$\gamma_f$  - load factor

## 2.5 Calculation results:

Safety factors  $R_d/E_d = 1,01 > 1.0$

### 2.5.1 ULS/ALS Analysis

Design combination:  $1.35DL_1+1.50LL_1+1.05LL_2+0.90WIND11+0.75SN1$  (C)

Combination type: ULS

Internal forces:

$$N_{sd} = 4016,00 \text{ (kN)} \quad M_{sdy} = 0,15 \text{ (kN*m)} \quad M_{sdz} = 0,21 \text{ (kN*m)}$$

Design forces:

Cross-section in the middle of the column

$$N = 4016,00 \text{ (kN)} \quad N^*etotz = 175,59 \text{ (kN*m)} \quad N^*etoty = 0,21 \text{ (kN*m)}$$

Eccentricity:	$e_z$ (My/N)	$e_y$ (Mz/N)
Static	$e_{Ed}$ : 0 (mm)	0 (mm)
Imperfection	$e_i$ : 20 (mm)	0 (mm)
Initial	$e_0$ : 20 (mm)	0 (mm)
Total	$e_{tot}$ : 44 (mm)	0 (mm)

#### 2.5.1.1. Detailed analysis-Direction Y:

##### 2.5.1.1.1 Slenderness analysis

Non-sway structure

L (m)	Lo (m)	$\lambda$	$\lambda_{lim}$
2,75	2,75	24,44	11,41

Slender column

##### 2.5.1.1.2 Buckling analysis

$$M_2 = 0,37 \text{ (kN*m)} \quad M_1 = -0,35 \text{ (kN*m)} \quad M_{mid} = 0,15 \text{ (kN*m)}$$

Case: Cross-section in the middle of the column, Slenderness taken into account

$$M_{0e} = 0,6 \cdot M_2 + 0,4 \cdot M_1 = 0,15 \text{ (kN*m)}$$

$$M_{0emin} = 0,4 \cdot M_2$$

$$M_0 = \max(M_{0e}, M_{0emin})$$

$$\begin{aligned} e_a &= \theta_1 \cdot l_o / 2 = 20 \text{ (mm)} \\ \theta_1 &= \theta_0 \cdot \alpha_h \cdot \alpha_m = 0,01 \\ \theta_0 &= 0,01 \\ \alpha_h &= 1,00 \\ \alpha_m &= (0,5(1+1/m))^{0.5} = 1,00 \\ m &= 1,00 \end{aligned}$$

Method based on nominal stiffness

$$\left[ 1 + \frac{\beta}{(N_B / N) - 1} \right] = 2,18$$

$\beta = 1,23$

$$N_b = (\pi^2 \cdot E_J) / l_o^2 = 8207,38 \text{ (kN)}$$

$$E_J = K_c \cdot E_{cd} \cdot J_c + K_s \cdot E_s \cdot J_s = 6288,84 \text{ (kN*m^2)}$$

$$\varphi_{ef} = 2,38$$

$$J_c = 2012889590 \text{ (mm}^4\text{)}$$

$$J_s = 15249140 \text{ (mm}^4\text{)}$$

$$K_c = 0,05 \text{ ()}$$

$$K_s = 1,00 \text{ ()}$$

$$M_{Ed} = \left[ 1 + \frac{\beta}{(N_B / N) - 1} \right] M_{0Ed}$$

$$= 175,59 \text{ (kN*m)}$$

#### 2.5.1.2. Detailed analysis-Direction Z:

$$M_2 = 0,39 \text{ (kN*m)} \quad M_1 = -0,07 \text{ (kN*m)} \quad M_{mid} = 0,21 \text{ (kN*m)}$$

Case: Cross-section in the middle of the column, Slenderness not taken into account

$$M_{0e} = 0,6 \cdot M_2 + 0,4 \cdot M_1 = 0,21 \text{ (kN*m)}$$

$$M_{0emin} = 0,4 \cdot M_2$$

$$M_0 = \max(M_{0e}, M_{0emin})$$

$$\begin{aligned}ea &= 0 \text{ (mm)} \\Ma &= N^*ea = 0,00 \text{ (kN*m)} \\M_{Ed} &= M_{0Ed} + Ma = 0,21 \text{ (kN*m)}\end{aligned}$$

### 2.5.2 Reinforcement:

$$\begin{array}{ll} \text{Real (provided) area} & A_{sr} = 1206 \text{ (mm}^2\text{)} \\ \text{Ratio:} & \rho = 0,76 \% \end{array}$$

### 2.6 Reinforcement:

#### Main bars (B500C):

- 6  $\phi 16$        $l = 3,18 \text{ (m)}$

#### Transversal reinforcement: (B500C):

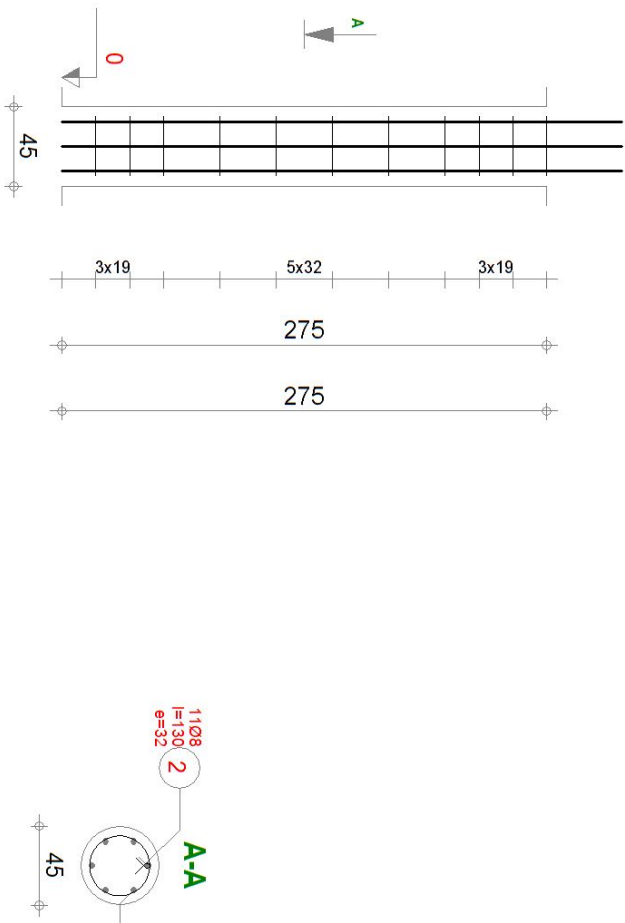
$$\text{stirrups: } 11 \phi 8 \quad l = 1,30 \text{ (m)}$$

## 3 Material survey:

- Concrete volume                         $= 0,44 \text{ (m}^3\text{)}$
- Formwork     $= 3,89 \text{ (m}^2\text{)}$
- Steel B500C
  - Total weight                         $= 35,77 \text{ (kG)}$
  - Density                                 $= 81,79 \text{ (kG/m}^3\text{)}$
  - Average diameter                     $= 12,6 \text{ (mm)}$
  - Reinforcement survey:

Diameter	Length (m)	Weight (kG)	Number (No.)	Total weight (kG)
8	1,30	0,51	11	5,65
16	3,18	5,02	6	30,12

Pos.	Reinforcement	Code	Shape	Stiel
1	6016	I=318	00 — 318	B500C
2	1108	I=130	(3)	B500C



Exposure class : XDD3	Tel.	Fax	Steel B500C = 30.1 kg Steel B500C = 5.64 kg
Max. aggregate diameter: 20mm	Concrete : B45 = 0.437 m <sup>3</sup>	Structure class : S3	
Number1	Formwork = 3.89 m <sup>2</sup>	Cover 50 mm	
Borgundveien 151 153 med vind2	Density (unit weight) = 81.92 kg/m <sup>3</sup> Section scale 1/33	Page 1/1	

## 12.12.2 STÅLSØYLER

### RHS 140 x 140 x 8

**CODE:** NS-EN 1993-1:2005/NA:2008/A1:2014, Eurocode 3: Design of steel structures.  
**ANALYSIS TYPE:** Member Verification

**CODE GROUP:**

**MEMBER:** 218 Column\_218-Story 7

**POINT:** 1

**COORDINATE:** x = 0.00 L = 0.00 m

**LOADS:**

Governing Load Case: 5 ULS /5/ 1\*1.35 + 2\*1.05 + 3\*1.05 + 4\*1.05 + 32\*0.90

**MATERIAL:**

S355 (S355) fy = 355.00 MPa



**SECTION PARAMETERS: RHSS 140x140x8**

h=140 mm	gM0=1.05	gM1=1.05	
b=140 mm	Ay=2080 mm <sup>2</sup>	Az=2080 mm <sup>2</sup>	Ax=4160 mm <sup>2</sup>
tw=8 mm	Iy=11950000 mm <sup>4</sup>	Iz=11950000 mm <sup>4</sup>	Ix=18920000 mm <sup>4</sup>
tf=8 mm	Wply=204000 mm <sup>3</sup>	Wplz=204000 mm <sup>3</sup>	

**INTERNAL FORCES AND CAPACITIES:**

N,Ed = 840.17 kN	My,Ed = -0.28 kN*m	Mz,Ed = -5.28 kN*m	Vy,Ed = -1.94 kN
Nc,Rd = 1406.48 kN	My,Ed,max = -0.28 kN*m	Mz,Ed,max = -5.28 kN*m	Vy,T,Rd = 405.96 kN
Nb,Rd = 1094.21 kN	My,c,Rd = 68.97 kN*m	Mz,c,Rd = 68.97 kN*m	Vz,Ed = 0.10 kN
	MN,y,Rd = 36.10 kN*m	MN,z,Rd = 36.10 kN*m	Vz,T,Rd = 405.96 kN
			Tt,Ed = 0.01 kN*m
			Class of section = 1



**LATERAL BUCKLING PARAMETERS:**

**BUCKLING PARAMETERS:**



About y axis:

Ly = 3.40 m	Lam_y = 0.83
Lcr,y = 3.40 m	Xy = 0.78
Lamy = 63.44	kzy = 0.59



About z axis:

Lz = 3.40 m	Lam_z = 0.83
Lcr,z = 3.40 m	Xz = 0.78
Lamz = 63.44	kzz = 0.84

**VERIFICATION FORMULAS:**

**Section strength check:**

$$N,Ed/Nc,Rd = 0.60 < 1.00 \quad (6.2.4.(1))$$

$$(My,Ed/MN,y,Rd)^{2.78} + (Mz,Ed/MN,z,Rd)^{2.78} = 0.00 < 1.00 \quad (6.2.9.1.(6))$$

$$Vy,Ed/Vy,T,Rd = 0.00 < 1.00 \quad (6.2.6-7)$$

$$Vz,Ed/Vz,T,Rd = 0.00 < 1.00 \quad (6.2.6-7)$$

$$\Tau_{ty,Ed}/(f_y/(sqrt(3)*gM0)) = 0.00 < 1.00 \quad (6.2.6)$$

$$\Tau_{tz,Ed}/(f_y/(sqrt(3)*gM0)) = 0.00 < 1.00 \quad (6.2.6)$$

**Global stability check of member:**

$$\Lambda_y = 63.44 < \Lambda_{max} = 210.00 \quad \Lambda_z = 63.44 < \Lambda_{max} = 210.00 \quad \text{STABLE}$$

$$N,Ed/(Xy*N,Rk/gM1) + kyy*My,Ed,max/(XLT*My,Rk/gM1) + kyz*Mz,Ed,max/(Mz,Rk/gM1) = 0.81 < 1.00 \quad (6.3.3.(4))$$

$$N,Ed/(Xz*N,Rk/gM1) + kzy*My,Ed,max/(XLT*My,Rk/gM1) + kzz*Mz,Ed,max/(Mz,Rk/gM1) = 0.83 < 1.00 \quad (6.3.3.(4))$$

---

## LIMIT DISPLACEMENTS



*Deflections (LOCAL SYSTEM): Not analyzed*



*Displacements (GLOBAL SYSTEM):*

$v_x = 0 \text{ mm} < v_{x \text{ max}} = L/150.00 = 23 \text{ mm}$  Verified  
**Governing Load Case:** 8 SLS /26/  $1*1.00 + 2*0.70 + 3*0.70 + 4*0.70 + 31*1.00$   
 $v_y = 0 \text{ mm} < v_{y \text{ max}} = L/150.00 = 23 \text{ mm}$  Verified  
**Governing Load Case:** 8 SLS /28/  $1*1.00 + 2*0.70 + 3*0.70 + 4*0.70 + 32*1.00$

---

**Section OK !!!**

## RHS 200 x 200 x 8

**CODE:** NS-EN 1993-1:2005/NA:2008/A1:2014, Eurocode 3: Design of steel structures.

**ANALYSIS TYPE:** Member Verification

---

### CODE GROUP:

**MEMBER:** 206 Column\_206-Story 6

**POINT:** 1

**COORDINATE:**  $x = 0.00 \text{ L} = 0.00 \text{ m}$

---

### LOADS:

*Governing Load Case:* 5 ULS /5/  $1*1.35 + 2*1.05 + 3*1.05 + 4*1.05 + 32*0.90$

---

### MATERIAL:

S355 (S355)  $f_y = 355.00 \text{ MPa}$



### SECTION PARAMETERS: RHSS 200x200x8

$h=200 \text{ mm}$	$gM_0=1.05$	$gM_1=1.05$	
$b=200 \text{ mm}$	$A_y=3040 \text{ mm}^2$	$A_z=3040 \text{ mm}^2$	$A_x=6080 \text{ mm}^2$
$t_w=8 \text{ mm}$	$I_y=37090000 \text{ mm}^4$	$I_z=37090000 \text{ mm}^4$	$I_x=57780000 \text{ mm}^4$
$t_f=8 \text{ mm}$	$W_{ply}=436000 \text{ mm}^3$	$W_{plz}=436000 \text{ mm}^3$	

---

### INTERNAL FORCES AND CAPACITIES:

$N_{,Ed} = 1208.94 \text{ kN}$	$M_{y,Ed} = 2.16 \text{ kN*m}$	$M_{z,Ed} = -26.30 \text{ kN*m}$	$V_{y,Ed} = -9.78 \text{ kN}$
$N_{c,Rd} = 2055.62 \text{ kN}$	$M_{y,Ed,max} = 2.16 \text{ kN*m}$	$M_{z,Ed,max} = -26.30 \text{ kN*m}$	$V_{y,T,Rd} = 593.39 \text{ kN}$
$N_{b,Rd} = 1852.35 \text{ kN}$	$M_{y,c,Rd} = 147.41 \text{ kN*m}$	$M_{z,c,Rd} = 147.41 \text{ kN*m}$	$V_{z,Ed} = -0.86 \text{ kN}$
	$M_{N,y,Rd} = 79.56 \text{ kN*m}$	$M_{N,z,Rd} = 79.56 \text{ kN*m}$	$V_{z,T,Rd} = 593.39 \text{ kN}$
			$T_{t,Ed} = 0.00 \text{ kN*m}$
			Class of section = 1

---



### LATERAL BUCKLING PARAMETERS:

---

### BUCKLING PARAMETERS:



About y axis:

$L_y = 3.40 \text{ m}$	$Lam_y = 0.57$
$L_{cr,y} = 3.40 \text{ m}$	$X_y = 0.90$
$Lam_y = 43.53$	$k_{zy} = 0.43$



About z axis:

$L_z = 3.40 \text{ m}$	$Lam_z = 0.57$
$L_{cr,z} = 3.40 \text{ m}$	$X_z = 0.90$
$Lam_z = 43.53$	$k_{zz} = 0.73$

---

### VERIFICATION FORMULAS:

*Section strength check:*

$N_{,Ed}/N_{c,Rd} = 0.59 < 1.00$  (6.2.4.(1))  
 $(M_{y,Ed}/M_{y,Rd})^{2.73} + (M_{z,Ed}/M_{z,Rd})^{2.73} = 0.05 < 1.00$  (6.2.9.1.(6))

$V_y,Ed/V_y,T,Rd = 0.02 < 1.00$  (6.2.6-7)  
 $V_z,Ed/V_z,T,Rd = 0.00 < 1.00$  (6.2.6-7)  
 $Tau,ty,Ed/(f_y/(sqrt(3)*gM0)) = 0.00 < 1.00$  (6.2.6)  
 $Tau,tz,Ed/(f_y/(sqrt(3)*gM0)) = 0.00 < 1.00$  (6.2.6)

**Global stability check of member:**

$\Lambda_{y,y} = 43.53 < \Lambda_{max} = 210.00$        $\Lambda_{z,z} = 43.53 < \Lambda_{max} = 210.00$  STABLE  
 $N,Ed/(X_y*N,Rk/gM1) + kyy*My,Ed,max/(XLT*My,Rk/gM1) + kyz*Mz,Ed,max/(Mz,Rk/gM1) = 0.74 < 1.00$   
 (6.3.3.(4))  
 $N,Ed/(X_z*N,Rk/gM1) + kzy*My,Ed,max/(XLT*My,Rk/gM1) + kzz*Mz,Ed,max/(Mz,Rk/gM1) = 0.79 < 1.00$   
 (6.3.3.(4))

**LIMIT DISPLACEMENTS**



*Deflections (LOCAL SYSTEM): Not analyzed*



*Displacements (GLOBAL SYSTEM):*

$v_x = 0 \text{ mm} < v_x \text{ max} = L/150.00 = 23 \text{ mm}$       Verified  
**Governing Load Case:** 8 SLS /51/ 1\*1.00 + 4\*1.00  
 $v_y = 0 \text{ mm} < v_y \text{ max} = L/150.00 = 23 \text{ mm}$       Verified  
**Governing Load Case:** 8 SLS /28/ 1\*1.00 + 2\*0.70 + 3\*0.70 + 4\*0.70 + 32\*1.00

**Section OK !!!**

## RHS 250 x 250 x 12,5

**CODE:** NS-EN 1993-1:2005/NA:2008/A1:2014, Eurocode 3: Design of steel structures.

**ANALYSIS TYPE:** Member Verification

**CODE GROUP:**

**MEMBER:** 94 Column\_94-Story 3 **POINT:** 1

**COORDINATE:**  $x = 0.00 \text{ L} = 0.00 \text{ m}$

**LOADS:**

*Governing Load Case: 5 ULS /7/ 1\*1.35 + 2\*1.05 + 4\*1.05*

**MATERIAL:**

S355 (S355)       $f_y = 355.00 \text{ MPa}$



**SECTION PARAMETERS: RHSS 250x250x12.5**

$h=250 \text{ mm}$	$gM0=1.05$	$gM1=1.05$	
$b=250 \text{ mm}$	$Ay=5850 \text{ mm}^2$	$Az=5850 \text{ mm}^2$	$Ax=11700 \text{ mm}^2$
$tw=13 \text{ mm}$	$Iy=109150000 \text{ mm}^4$	$Iz=109150000 \text{ mm}^4$	$Ix=171640000 \text{ mm}^4$
$tf=13 \text{ mm}$	$W_{ply}=1037000 \text{ mm}^3$	$W_{plz}=1037000 \text{ mm}^3$	

**INTERNAL FORCES AND CAPACITIES:**

$N,Ed = 2804.90 \text{ kN}$	$My,Ed = -0.10 \text{ kN*m}$	$Mz,Ed = -0.00 \text{ kN*m}$	$Vy,Ed = -0.03 \text{ kN}$
$Nc,Rd = 3955.71 \text{ kN}$	$My,Ed,max = -0.10 \text{ kN*m}$	$Mz,Ed,max = 0.10 \text{ kN*m}$	$Vy,T,Rd = 1141.90 \text{ kN}$
$Nb,Rd = 3702.75 \text{ kN}$	$My,c,Rd = 350.60 \text{ kN*m}$	$Mz,c,Rd = 350.60 \text{ kN*m}$	$Vz,Ed = 0.04 \text{ kN}$
	$MN,y,Rd = 132.97 \text{ kN*m}$	$MN,z,Rd = 132.97 \text{ kN*m}$	$Vz,T,Rd = 1141.90 \text{ kN}$
			$Tt,Ed = 0.00 \text{ kN*m}$
			Class of section = 1



**LATERAL BUCKLING PARAMETERS:**

**BUCKLING PARAMETERS:**



About y axis:

$$\begin{aligned} Ly &= 3.40 \text{ m} & Lam_y &= 0.46 \\ Lcr,y &= 3.40 \text{ m} & Xy &= 0.94 \\ Lam_y &= 35.20 & kzy &= 0.40 \end{aligned}$$



About z axis:

$$\begin{aligned} Lz &= 3.40 \text{ m} & Lam_z &= 0.46 \\ Lcr,z &= 3.40 \text{ m} & Xz &= 0.94 \\ Lam_z &= 35.20 & kzz &= 0.73 \end{aligned}$$

## VERIFICATION FORMULAS:

### *Section strength check:*

$$N,Ed/Nc,Rd = 0.71 < 1.00 \quad (6.2.4.(1))$$

$$(My,Ed/MN,y,Rd)^3.84 + (Mz,Ed/MN,z,Rd)^3.84 = 0.00 < 1.00 \quad (6.2.9.1.(6))$$

$$Vy,Ed/Vy,T,Rd = 0.00 < 1.00 \quad (6.2.6-7)$$

$$Vz,Ed/Vz,T,Rd = 0.00 < 1.00 \quad (6.2.6-7)$$

$$\Tau_{ty,Ed}/(f_y/(sqrt(3)*gM0)) = 0.00 < 1.00 \quad (6.2.6)$$

$$\Tau_{tz,Ed}/(f_y/(sqrt(3)*gM0)) = 0.00 < 1.00 \quad (6.2.6)$$

### *Global stability check of member:*

$$\Lambda_y = 35.20 < \Lambda_{max} = 210.00 \quad \Lambda_z = 35.20 < \Lambda_{max} = 210.00 \quad \text{STABLE}$$

$$N,Ed/(Xy*N,Rk/gM1) + kyy*My,Ed,max/(XLT*My,Rk/gM1) + kyz*Mz,Ed,max/(Mz,Rk/gM1) = 0.76 < 1.00 \quad (6.3.3.(4))$$

$$N,Ed/(Xz*N,Rk/gM1) + kzy*My,Ed,max/(XLT*My,Rk/gM1) + kzz*Mz,Ed,max/(Mz,Rk/gM1) = 0.76 < 1.00 \quad (6.3.3.(4))$$

## LIMIT DISPLACEMENTS



*Deflections (LOCAL SYSTEM): Not analyzed*



*Displacements (GLOBAL SYSTEM):*

$$vx = 0 \text{ mm} < vx_{max} = L/150.00 = 23 \text{ mm} \quad \text{Verified}$$

$$\text{Governing Load Case: } 8 \text{ SLS /32/ } 1*1.00 + 2*0.70 + 4*0.70 + 32*1.00$$

$$vy = 0 \text{ mm} < vy_{max} = L/150.00 = 23 \text{ mm} \quad \text{Verified}$$

$$\text{Governing Load Case: } 8 \text{ SLS /36/ } 1*1.00 + 3*0.70 + 4*0.70 + 32*1.00$$

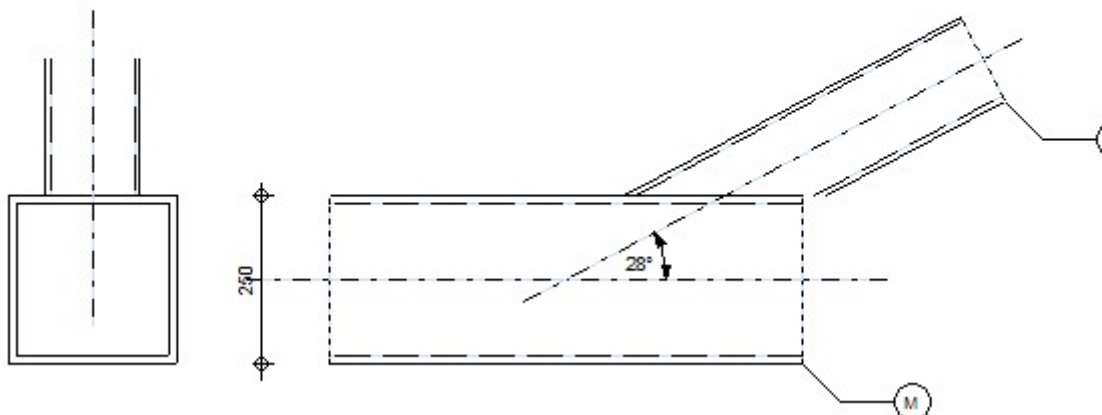
**Section OK !!!**

### 12.12.3 KNUTEPUNKT SKRÅSTILT STÅLSØYLE



D2 - RHSS 140x140x8

M - RHSS 250x250x12,5



#### General

#### Bars

		Chord	Diagonal 1	Diagonal 2	Post	
<b>Bar no.:</b>		221		432		
<b>Section:</b>		RHSS 250x250x12,5		RHSS 140x140x8		
h	250		140		mm	
b <sub>f</sub>	250		140		mm	
t <sub>w</sub>	13		8		mm	
t <sub>f</sub>	13		8		mm	
r	13		8		mm	
<b>Material:</b>		S355		S355		
f <sub>y</sub>	355,00		355,00		MPa	
f <sub>u</sub>	490,00		490,00		MPa	
<b>Angle</b>	θ 0,0		27,9		Deg	
<b>Length</b>	l 3400		3847		mm	

#### Welds

a<sub>d</sub> = 5 [mm] Thickness of welds of diagonals and posts

#### Loads

Case: 5: ULS /3/ 1\*1.35 + 2\*1.05 + 3\*1.05 + 4\*1.05 + 31\*0.90

#### Chord

N<sub>01,Ed</sub> = -849,36 [kN] Axial force  
M<sub>01,Ed</sub> = 2,19 [kN\*m] Bending moment  
N<sub>02,Ed</sub> = -511,33 [kN] Axial force  
M<sub>02,Ed</sub> = 2,02 [kN\*m] Bending moment

#### Diagonal 2

N<sub>2</sub> = -133,11 [kN] Axial force

## Diagonal 2

$N_2 = -133,11$  [kN] Axial force

$M_2 = -0,02$  [kN\*m] Bending moment

Shear forces were not included in the connection verification. The connection was designed as a truss node.

### Results

#### Capacity verification Eurocode 3: EN 1993-1-8:2005

$\gamma_{M5} = 1,00$  Partial safety factor

[Table 2.1]

Failure modes for joints (RHS chord members) [Table 7.10] for  $N_{i,Rd}$  and [Table 7.14] for  $M_{i,Rd}$

#### Geometrical parameters

$\beta = 0,56$  Coefficient taking account of geometry of connection bars

$\beta = b_2/b_0$  [1.5 (6)]

$\gamma = 10,00$  Coefficient taking account of geometry of the chord

$\gamma = b_0/(2*t_0)$  [1.5 (6)]

$n = 0,20$  Coefficient taking account of stresses in the chord

$n_0 = \sigma_{0,Ed}/f_{y0}$

$k_n = 1,00$  Coefficient taking account of stresses in the chord

$k_n = 1.0$

#### Tube chord face failure

## Diagonal 2

$N_{2,Rd} = 1359,85$ [kN] Compression capacity	$N_{2,Rd} = [(k_n * f_{y0} * t_0^2) / (1-\beta) * \sin(\theta_2)] * [2*\beta / \sin(\theta_2) + 4*\sqrt{(1-\beta)}] / \gamma_{M5}$
$ N_2  \leq N_{2,Rd}$	$  -133,11   < 1359,85$ verified
	(0,10)

$M_{2,Rd} = 40,23$ [kN*m] Bending resistance	$M_{2,Rd} = k_n * f_{y0} * t_0^2 * h_2 * [1/(2*\eta) + 2/\sqrt{[1-\beta] + \eta/(1-\beta)}] / \gamma_{M5}$
$ M_2  \leq M_{2,Rd}$	$  -0,02   < 40,23$ verified
	(0,00)

$N_2/N_{2,Rd} + M_2/M_{2,Rd} \leq 1$	$0,10 < 1,00$	verified	(0,10)
--------------------------------------	---------------	----------	--------

#### Chord shear

## Diagonal 2

$A_v = 6250$ [mm <sup>2</sup> ] Shear area of the chord	$A_v = 2 * h_0 * t_0$
$N_{2,Rd} = 2737,84$ [kN] Compression capacity	$N_{2,Rd} = f_{y0} * A_v / [\sqrt{3 * \sin(\theta_2)}] / \gamma_{M5}$
$ N_2  \leq N_{2,Rd}$	$  -133,11   < 2737,84$ verified
	(0,05)

#### Chord resistance

$N_{0,Rd} = 4153,50$ [kN] Compression capacity	$N_{0,Rd} = (A_0 * f_{y0}) / \gamma_{M5}$
$ N_0  \leq N_{0,Rd}$	$  -849,36   < 4153,50$ verified
	(0,20)

#### Verification of welds

## Diagonal 2

$\beta_w = 0,89$	Correlation coefficient	<table border="0"><tr><td>[Table 4.1]</td></tr></table>	[Table 4.1]
[Table 4.1]			
$\gamma_{M2} = 1,25$	Partial safety factor	<table border="0"><tr><td>[Table 2.1]</td></tr></table>	[Table 2.1]
[Table 2.1]			

#### Longitudinal weld

$\sigma_\perp = -14,60$ [MPa]	Normal stress in a weld	
$\tau_\perp = -14,60$ [MPa]	Perpendicular tangent stress	
$\tau_{\parallel} = -39,32$ [MPa]	Tangent stress	
$ \sigma_\perp  \leq 0,9 * f_u / \gamma_{M2}$	$  -14,60   < 352,80$	verified
$\sqrt{[\sigma_\perp^2 + 3 * (\tau_\perp^2 + \tau_{\parallel}^2)]} \leq f_u / (\beta_w * \gamma_{M2})$	$74,10 < 441,69$	verified
		(0,04)
		(0,17)

#### Remarks

Diagonal angle is too small.  $27,9$  [Deg]  $< 30,0$  [Deg]

**Connection conforms to the code**

Ratio 0,20

## 12.13 LAVENERGI

### 12.13.1 TABELLER BRUKT I MANUELL UTREGNING AV YTTERVEGG

Tabell 1

Dimensjonerende varmekonduktivitet,  $\lambda$

Verdier for isolasjonsmaterialer

Materiale	$\lambda$ W/(mK)
Mineralull	0,034
	0,037
	0,040
Mineralull, drensplater	0,040
Mineralull, horisontalt i grunnen, drenert	0,060
Løsull av mineralull på åpen flate (utblåst på kaldt loft)	0,040
	0,043
	0,046
Løsull av mineralull i lukket hulrom (vegger og lukkede etasjeskillere)	0,043
	0,046
Polyuretanskum (PUR)	0,022
	0,024
	0,026
Ekspandert polystyren (EPS)	0,035
	0,038
	0,041
Ekspandert polystyren (EPS), drensplate	0,038
	0,041
	0,044
EPS, frostsikring i grunnen, drenert	0,064
Ekstrudert polystyren (XPS)	0,032
	0,034
	0,036
	0,038
Ekstrudert polystyren (XPS), drensplate	0,031
	0,034
	0,037
Ekstrudert polystyren (XPS), horisontalt i grunnen	0,034
	0,037
	0,040
Ekstrudert polystyren (XPS) på omvendte tak <sup>1)</sup> uttørkingsgruppe 1 ( $\lambda_D = 0,034$ W/(mK)) uttørkingsgruppe 2 ( $\lambda_D = 0,034$ W/(mK)) uttørkingsgruppe 3 ( $\lambda_D = 0,034$ W/(mK)) uttørkingsgruppe 4 ( $\lambda_D = 0,034$ W/(mK)) uttørkingsgruppe 1 ( $\lambda_D = 0,038$ W/(mK)) uttørkingsgruppe 2 ( $\lambda_D = 0,038$ W/(mK)) uttørkingsgruppe 3 ( $\lambda_D = 0,038$ W/(mK)) uttørkingsgruppe 4 ( $\lambda_D = 0,038$ W/(mK))	0,035
	0,036
	0,037
	0,038
	0,039
	0,040
	0,041
	0,043
Lettklinker, løs granulat i fuktbeskyttet bygningsdel golv på grunn, over kapillærerbytende lag horisontalt i grunnen, utendørs, golv på grunn, kapillærerbytende og drenende lag drenert	0,12
	0,12
	0,18
	0,18

<sup>1)</sup> Se Byggdetaljer 525.207 for inndeling i uttørkingsgrupper. Ved bruk av XPS med andre  $\lambda_D$ -verdier kan man interpolere.

Tabell 2

Dimensjonerende varmekonduktivitet,  $\lambda$ 

## Verdier for andre materialer enn isolasjonsmaterialer

Materiale	$\lambda$ W/(mK)
Betong høy densitet (2 400 kg/m <sup>3</sup> ) høy densitet ((2 400 kg/m <sup>3</sup> ), armert (2 % stål))	2,0 2,5
Golvbelegg gummi, linoleum plast (bl.a. vinyl) underlag: skumgummi eller plast underlag: filt eller kork underlag: ull korkfliser tepper/tekstilt golvbelegg	0,17 0,25 0,10 0,05 0,06 0,065 0,06
Gasser luft (stillestående)	0,025
Vann vann is snø	0,6 2,2 0,05–0,60
Metaller stål rustfritt stål støpejern aluminiumslegeringer kobber	50 17 50 160 380
Tettematerialer polyuretanskum (PUR)	0,05
Gips Gipsplate	0,20
Puss kalk, sand sement, sand	0,8 1,0
Jordarter leire eller silt, densitet 1 200 til 1 800 kg/m <sup>3</sup> sand og grus, densitet 1 700 til 2 200 kg/m <sup>3</sup> fast fjell, densitet opp til 2 800 kg/m <sup>3</sup>	1,5 2,0 3,5
Trevirke densitet 500 kg/m <sup>3</sup> (gran, furu o.l.) densitet 700 kg/m <sup>3</sup>	0,13 0,18
Trebaserete plater kryssfiner, densitet 300 kg/m <sup>3</sup> kryssfiner, densitet 500 kg/m <sup>3</sup> kryssfiner, densitet 700 kg/m <sup>3</sup> kryssfiner, densitet 1 000 kg/m <sup>3</sup> sementbundet sponplate sponplate, densitet 300 kg/m <sup>3</sup> sponplate, densitet 600 kg/m <sup>3</sup> sponplate, densitet 900 kg/m <sup>3</sup> OSB, densitet 650 kg/m <sup>3</sup> trefiberplate, densitet 250 kg/m <sup>3</sup> trefiberplate, densitet 400 kg/m <sup>3</sup> trefiberplate, densitet 600 kg/m <sup>3</sup> trefiberplate, densitet 800 kg/m <sup>3</sup> treullselementplatere	0,09 0,13 0,17 0,24 0,23 0,10 0,14 0,18 0,13 0,07 0,10 0,14 0,18 0,08
Lettklinker, elementer og blokker (tørt) densitet ca. 900 kg/m <sup>3</sup> i fuktbeskyttet bygningsdel utvendig over terreng densitet ca. 770 kg/m <sup>3</sup> i fuktbeskyttet bygningsdel utvendig over terreng	0,31 0,37 0,25 0,32

Lettklinkerbetong, densitet ca. 1 000 kg/m <sup>3</sup> i fuktbeskyttet bygningsdel utvendig over terrenget	0,38 0,45
Porebetong, elementer og blokker i fuktbeskyttet bygningsdel utvendig over terrenget	0,13 0,14

Tabell 3

## Dimensjonerende varmemotstand, R

Materiale	R m <sup>2</sup> K/W
Trevirke	
13 mm	0,10
15 mm	0,11
19 mm	0,14
Kryssfiner	
6 mm	0,04
9 mm	0,06
15 mm	0,11
19 mm	0,14
Gipsplater	
6 mm	0,03
9 mm	0,04
13 mm	0,06
Sponplater	
12 mm	0,08
22 mm	0,15
Trefiberplater, medregnet MDF	
porøse plater (SB), 12 mm	0,17
porøse plater (SB), 18 mm	0,25
halvharde plater (MBH), 6 mm	0,06
halvharde plater (MBH), 9 mm	0,09
halvharde plater (MBH), 11 mm	0,18
harde plater (HB), 3,2 mm	0,03
Asfalt takbelegg eller takfolie	0,03
Vindsperr av papp eller dampsperr av folie	0,03
Golvbelegg	
vinyl, linoleum, gummi	0,03
Murverk over grunnen	
200 mm betonghullblokk	0,34
250 mm betonghullblokk	0,47
108 mm mangehullstegl, densitet 1 600 kg/m <sup>3</sup>	0,16

Tabell 4

Varmeovergangsmotstander iht. NS-EN ISO 6946, (m<sup>2</sup>K/W)

Overflate	Varmestrømsretning		
	Oppover	Horisontalt <sup>1)</sup>	Nedover <sup>2)</sup>
Innvendig ( $R_{si}$ )	0,10	0,13	0,17
Utvendig ( $R_{se}$ )	0,04	0,04	0,04

<sup>1)</sup> Horisontal gjelder varmestrømretninger  $\pm 30^\circ$  fra horisontalplanet<sup>2)</sup> Brukes også på undersiden av golvkonstruksjoner mot uoppvarmet/kald kjeller og uventilert kryperom

## 12.13.2 MANUELL BEREGNING VEGG

Varmemotstand for dimensjonerende materialer:

$$R = \lambda/d$$

Tabell 1

MATERIAL	DIMENSJONER d (m)	VARMEKONDUKTIVITET $\lambda$ (W/mK)	VARMEMOTSTAND R ( $m^2 K/W$ )
Kledning	0,0125	0,120	0,10
Vindsperre	0,0020	0,067	0,03
Gips	0,0130	0,200	0,06
I-bjelke	0,2400	0,080	3,00
Mineralull	0,2400	0,033	7,27
Dampsperre	0,0020	0,067	0,03
Trestender	0,0480	0,120	0,40
Mineralull	0,0480	0,033	1,45
2 x gips	0,0260	0,200	0,13

Varmemotstand beregning, øvre grense verdi (R'):

Tabell 2

Sjikt	R=d/λ	Motstand i felt ( $m^2 K/W$ )	Henvisninger, kommentar
		Isolasjonsfelt Bindingsverk	
Utvendig overgangsmotstand	R <sub>se</sub> =0,04	-	Varmemotstanden til ventilerte sjikt ser vi bort fra og bruker R <sub>si</sub>
Kledning (12,5 mm)	R <sub>1</sub> =0,10	-	
Ventilert hulrom (23 mm)	R <sub>2</sub> =R <sub>si</sub>	0,13	
Vindsperre (2 mm)	R <sub>3</sub> =0,03	0,03	se tabell 1
Gips (13 mm)	R <sub>4</sub> =0,06	0,06	se tabell 1
I-bjelke (240 mm)	R <sub>5</sub> =3,00	-	se tabell 1
Mineralull (240 mm)	R <sub>5</sub> =7,27	7,27	se tabell 1
Dampsperre (2 mm)	R <sub>6</sub> =0,03	0,03	se tabell 1
Trestender (48 mm)	R <sub>7</sub> =0,40	-	se tabell 1
Mineralull (48 mm)	R <sub>7</sub> =1,45	1,45	se tabell 1
2 x gips (23 mm)	R <sub>8</sub> =0,13	0,13	se tabell 1
Innvendig overgangsmotstand	R <sub>si</sub> =0,13	0,13	se tabell 1
<b>Total varmemotstand i felt</b>		<b>9,23</b>	<b>3,91</b>

$$R' = \frac{Aa + Ab}{\frac{Aa}{R_{Ta}} + \frac{Ab}{R_{Tb}}} = \frac{0,78 + 0,22}{\frac{0,78}{9,23} + \frac{0,22}{3,91}} = 7,10$$

Varmemotstand beregning, nedre grenseverdi (R''):

Legering:

$$\lambda = A_a \times \lambda_a + A_b \times \lambda_b = 0,78 \times 0,033 + 0,22 \times 0,08 = 0,04334$$

Tabell 3

Sjikt	R=d/λ	Motstand i legeringen (m <sup>2</sup> K/W)	Henvisninger
Utvendig overgangsmotstand	R <sub>se</sub> =0,04	-	Varmemotstanden til ventilerte sjikt ser vi bort fra og bruker R <sub>si</sub>
Kledning (12,5 mm)	R <sub>1</sub> =0,10	-	
Ventilert hulrom (23 mm)	R <sub>2</sub> =R <sub>si</sub>	0,13	
Vindsperre (2 mm)	R <sub>3</sub> =0,03	0,03	
Gips (13 mm)	R <sub>4</sub> =0,06	0,06	
Legering (I-bjelke 240 mm)	R <sub>5</sub> =0,240/0,04334	5,54	
Dampsperre (2 mm)	R <sub>6</sub> =0,03	0,03	
Indre legering (48 mm)	R <sub>7</sub> =0,048/0,04334	1,11	
2 x gips (23 mm)	R <sub>8</sub> =0,13	0,13	
Innvendig overgangsmotstand	R <sub>si</sub> =0,13	0,13	
<b>Sum</b>		<b>7,16</b>	

Total varmemotstand:

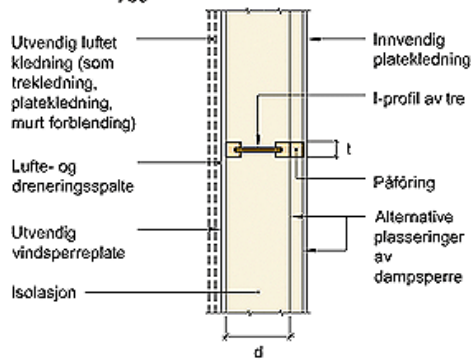
$$R_T = \frac{R'_T + R''_T}{2} = \frac{7,10 + 7,16}{2} = 7,13$$

U-verdi:

$$U = \frac{1}{R_T} = \frac{1}{7,13} = 0,14$$

### 12.13.3 U- VERDI PRE-AKSEPTERT VEGG

© SINTEF Byggforsk



#### U-verdier for veger med bindingsverk av I-profiler av tre

Isolasjon med dimensjonerende varmekonduktivitet,  $\lambda_d$ , på 0,033 W/(mK)

Tabell 1

Typiske verdier for L"

L" <sup>1)</sup> (m/m <sup>2</sup> )	Eksempel på vegg/bygning <sup>2)</sup>
2,45	Vegg med høyde 2,4 m uten vinduer og dører
3,5	Enebolig, romhøyde 2,4 m
<b>4,5</b>	<b>Boligblokk, rekkehus, barnehage, romhøyde 2,4 m</b>
5,5	Stort næringsbygg, romhøyde 3,5 m
7,5	Stort næringsbygg, romhøyde 2,6 m

<sup>1)</sup> L" angir lengden av bindingsverk per m<sup>2</sup> netto veggareal. Det er forutsatt stendere med senteravstand på 0,6 m og enkel bunn- og toppsvill.

<sup>2)</sup> Det er lagt til grunn samme bygningskropp og geometri som kravene i forskrift om tekniske krav til byggverk (TEK10) er basert på, totalt vindusareal 20 % av BRA og typisk vindusstørrelse.

Tabell 2

I bindingsverk, d mm	Isolasjon I påføring mm	Total mm	U-verdi				
			W/(m <sup>2</sup> K)	U <sub>2,45</sub>	U <sub>3,5</sub>	<b>U<sub>4,5</sub></b>	U <sub>5,5</sub>
170	0	170	0,218	0,234	0,250	0,265	0,296
	50	220	0,170	0,185	0,199	0,212	0,240
200	0	200	0,187	0,201	0,214	0,228	0,254
	50	250	0,151	0,164	0,176	0,188	0,212
220	0	220	0,171	0,184	0,195	0,207	0,231
	50	270	0,140	0,152	0,164	0,175	0,197
<b>240</b>	0	240	0,157	0,169	0,180	0,191	0,213
	<b>50</b>	290	0,131	0,142	<b>0,152</b>	0,162	0,183
300	0	300	0,127	0,137	0,146	0,155	0,173
	50	350	0,109	0,118	0,127	0,135	0,151
350	0	350	0,110	0,118	0,126	0,134	0,150
	50	400	0,096	0,104	0,111	0,119	0,133
400	0	400	0,096	0,103	0,110	0,117	0,130
	50	450	0,086	0,093	0,099	0,106	0,119
450	0	450	0,086	0,092	0,098	0,104	0,116
	50	500	0,077	0,084	0,089	0,095	0,107
500	0	500	0,078	0,083	0,089	0,094	0,105
	50	550	0,071	0,076	0,081	0,086	0,096

## 12.13.4 U-VERDI PREAKSEPTERT TAK

Tabell 1

Beregnet U-verdi (W/(m<sup>2</sup>K))

Kompakte tak på dekke av betong

Massiv betong, hulldekke<sup>1)</sup> eller DT-elementer

Isolasjons-tykkelse, d mm	Isolasjonens varmekonduktivitet, $\lambda$ W/(mK)						
	0,031	0,034	0,035	0,036	0,038	0,041	0,043
30	0,81	0,87	0,89	0,91	0,95	1,00	1,03
50	0,54	0,58	0,60	0,61	0,64	0,68	0,70
60	0,46	0,50	0,51	0,52	0,55	0,58	0,61
70	0,40	0,44	0,45	0,46	0,48	0,51	0,53
80	0,36	0,39	0,40	0,41	0,43	0,46	0,48
100	0,30	0,32	0,33	0,34	0,35	0,38	0,39
120	0,25	0,27	0,28	0,29	0,30	0,32	0,34
130	0,23	0,25	0,26	0,27	0,28	0,30	0,31
150	0,21	0,22	0,23	0,23	0,25	0,26	0,28
160	0,19	0,21	0,22	0,22	0,23	0,25	0,26
180	0,17	0,19	0,19	0,20	0,21	0,22	0,23
200	0,16	0,17	0,18	0,18	0,19	0,20	0,21
220	0,15	0,16	0,16	0,17	0,17	0,19	0,20
230	0,14	0,15	0,16	0,16	0,17	0,18	0,19
250	0,13	0,14	0,14	0,15	0,16	0,17	0,17
260	0,13	0,14	0,14	0,14	0,15	0,16	0,17
280	0,12	0,13	0,13	0,13	0,14	0,15	0,16
300	0,11	0,12	0,12	0,13	0,13	0,14	0,15
350	0,10	0,10	0,11	0,11	0,12	0,12	0,13
400	0,09	0,09	0,10	0,10	0,10	0,11	0,11
450	0,08	0,08	0,09	0,09	0,09	0,10	0,10
500	0,07	0,08	0,08	0,08	0,08	0,09	0,09

<sup>1)</sup>Korreksjon for hulldekker med 30–120 mm isolasjon:

– U-verdien kan reduseres med 0,01 W/(m<sup>2</sup>K)

## 12.13.5 ENERGIMERKING

### Karakterskalaen

03.11.2014 | 10:00

Energimerket består av en energikarakter og en oppvarmingskarakter. Energikarakteren går fra A til G, og er basert på beregnet levert energi. Oppvarmingskarakteren gis med en femdelt fargerangering fra rødt til grønt, og rangerer boligen eller bygningen etter hvilket oppvarmingssystem som er installert.

Det er ingen sammenheng mellom energikarakteren og oppvarmingskarakteren, slik at en bygning med høy beregnet energibruk og tilhørende dårlig energikarakter, kan få en god oppvarmingskarakter med for eksempel et biobasert oppvarmingssystem. Omvendt kan et lavenergibygg få en god energikarakter, mens oppvarmingskarakteren vil bli dårlig dersom bygget kun har elektrisk oppvarming.

Energikarakteren er et resultat av beregnet levert energi til boligen eller bygningen ved normal bruk. Hvordan beregningen skjer er fastsatt i standarden NS 3031. Tabellen nedenfor viser sammenhengen mellom beregnet levert energi pr. kvadratmeter og energikarakter for de ulike bygningskategoriene

Bygningskategorier	Levert energi pr m <sup>2</sup> oppvarmet BRA (kWh/m <sup>2</sup> )						
	A	B	C	D	E	F	G
	Lavere enn eller lik	Lavere enn eller lik	Lavere enn eller lik	Lavere enn eller lik	Lavere enn eller lik	Lavere enn eller lik	Ingen grense
Småhus	85,00+8 00/A	115,00+1 600/A	145,00+25 00/A	175,00+4 100/A	205,00+5 800/A	250,00+80 00/A	> F
Leiligheter (boligblokk)	75,00+6 00/A	95,00+10 00/A	110,00+15 00/A	135,00+2 200/A	160,00+3 000/A	200,00+40 00/A	> F
Barnehage	80,00	110,00	145,00	180,00	220,00	275,00	> F
Kontorbygning	85,00	115,00	145,00	180,00	220,00	275,00	> F
Skolebygning	70,00	100,00	135,00	175,00	220,00	280,00	> F
Universitets- og høgskolebygning	85,00	125,00	160,00	200,00	240,00	300,00	> F
Sykehus	165,00	235,00	305,00	360,00	415,00	505,00	> F
Sykehjem	140,00	190,00	240,00	295,00	355,00	440,00	> F
Hotellbygning	125,00	185,00	240,00	290,00	340,00	415,00	> F
Idrettsbygning	115,00	160,00	205,00	275,00	345,00	440,00	> F

Forretningsbygning	105,00	155,00	210,00	255,00	300,00	375,00	> F
Kulturbygning	85,00	130,00	175,00	215,00	255,00	320,00	> F
Lett industribygning, verksted	100,00	140,00	185,00	250,00	315,00	405,00	> F

A = oppvarmet del  
av BRA [ $m^2$ ]

Øvre grense for karakter C er basert på nivå for TEK 2010.

Skalagrenser for boliger er avhengig av oppvarmet BRA, og beregnes med to desimaler

Forutsetninger	A	B	C	D	E	F	G
Øvre grenser	"Passiv hus"	(A+C)/2	"TEK10"	(2C+F)/3	(2F+C)/3	"TEK 69"+7%	> F
Referanse	NS 3700 prNS 3701		Varmegjen vinner 80 %			Varmegjen vinner 70 %	
Årsvirkningsgrad, varme	0,88			0,77			
Kjølefaktor	2,4			2,2			
Luftmengder i driftstid	NS 3031 tab A6			NS 3031 tabell B1			
Luftmengder utenfor driftstid	NS 3031 tab A7			NS 3031 tabell A6			
SFP og belysning	Iht. prNS 3701 / NS 3700			Iht. NS 3031			
Udstyr og varmtvann	Iht. NS 3031			Iht. NS 3031			
Bevegelig solskjerming	"På" hele året						
Bygningsmodeller	Som TEK 2010, unntatt for barnehager, hvor passivhusmodell benyttes Bygningsmodeller som TEK 2010. Unntak barnehager: Nå PH-modell						
Arealkorreksjon	Nivåtilpasset arealkorreksjon boliger, avhengig av skalatrinn.						

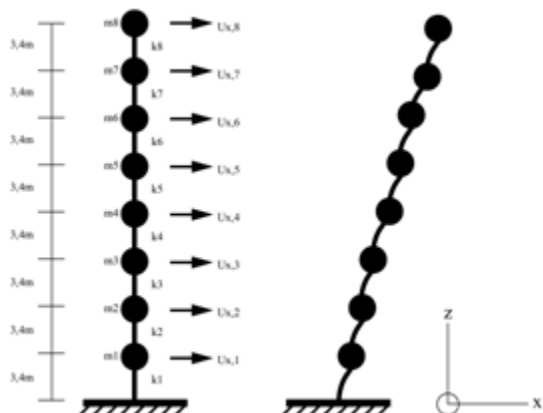
## Leiligheter (boligblokk)

Leilighet	Levert energi pr m <sup>2</sup> oppvarmet BRA (kWh/m <sup>2</sup> )						
	A	B	C	D	E	F	G
	Oppvarmet BRA (m <sup>2</sup> )	Lavere enn eller lik	Ingen grense				
50	87,00	115,00	140,00	179,00	220,00	280,00	> F
75	83,00	108,33	130,00	164,33	200,00	253,33	> F
100	81,00	105,00	125,00	157,00	190,00	240,00	> F
125	79,80	103,00	122,00	152,60	184,00	232,00	> F
160	78,75	101,25	119,38	148,75	178,75	225,00	> F
200	78,00	100,00	117,50	146,00	175,00	220,00	> F
300	77,00	98,33	115,00	142,33	170,00	213,33	> F
400	76,50	97,50	113,75	140,50	167,50	210,00	> F
500	76,20	97,00	113,00	139,40	166,00	208,00	> F

Øvre grense for karakter C er basert på nivå for TEK 2010.

## 12.14.1 GUNSTIG GEOMETRISK LØSNING MATHCAD

Gunstig geometrisk løsning:



**Generelt om bygget:**

Dette er en 8 etasjer høy boligblokk.

Vi har lagt en forenklet modell med gunstig geometriske løsninger som er symmetrisk og kan derfor regnes forenklet som en pinnemodell som svinger i 2 akser, x-retning og y-retning.

**Geometri:**

$$\text{Antall etasjer: } n_{\text{etg}} := 8 \quad L_b := 34\text{m (X - retning)}$$

$$B_b := 16\text{m (Y - retning)}$$

$$\text{Antall nivåer: } n_e := n_{\text{etg}} + 1 \quad i := 1 \dots 7$$

$$\text{etasje navn: } z_i$$

$$\text{Etasjehøyde: } h_{z_i} := 3.4\text{m}$$

$$\text{høyde: } Z_1 := 0\text{m} \quad i := 2 \dots n_e$$

$$\text{total høyde: } H := \sum h_z \quad H := 27.2\text{m}$$

$$\text{skiverlengde: } l_{w_i} := n_m \quad n := 1 \dots 10\text{m}$$

Areal av skiver:  $A_{s_i}$

Skivetykkelse:  $b_w$   $b_w := 0.25m$

## Materiale

målenhet:

Materialdata (B35) betong med dynamisk tillegg (NS 3473:2003 punkt 9.2.3)

$$f_{cck} := 35 \frac{N}{mm^2} \quad E := 1.15 \cdot 9500 \cdot f_{cck}^{0.3} \left( \frac{N}{mm^2} \right)^{0.7} \quad E = 3.174 \times 10^{10} Pa$$

Beregning tar utgangspunkt i 8 etasjes boligblokk i Ålesund. Bygget er et typisk elementbygg med hulldekker, stålbjelker, stålsøyler og avstivende betongskiver. I denne beregning benyttes det lav duktilitetsklasse (DCL)

### A.1 Masseberegnung av boligblokk Avstivning av bygget

avstivning på tvers av bygget:

Første etasje:

Arealer  
Skiver:

$$I_{y1} := \frac{0.25m \cdot (6.0m)^3}{12} = 4.5m^4$$

A.1.1 Veggskiver i DCL

$$I_{y3} := \frac{0.25m \cdot (6.0m)^3}{12} = 4.5m^4$$

$$I_{y4} := \frac{0.25m \cdot (5.0m)^3}{12} = 2.604m^4$$

$$I_{y6} := \frac{0.25m \cdot (5.0m)^3}{12} = 2.604m^4$$

Stivhet langs bygget:

$$I_{y_1} := I_{y1} + I_{y3} + I_{y4} + I_{y6} = 14.208m^4$$

Avstivning langs bygget:

Første etasje:

Skiver:

$$I_{xA} := \frac{0.25m \cdot (5m)^3}{12} = 2.604m^4 \quad I_{xB} := \frac{0.25m \cdot (5m)^3}{12} = 2.604m^4$$

$$I_{xD} := \frac{0.25m \cdot (10m)^3}{12} = 20.833m^4$$

Stivhet på tvers av bygget:

$$I_{x_1} := I_{xA} + I_{xB} + I_{xD} = 26.042m^4$$

#### A.1 Masseberegning av boligblokk

Arealer:

Tilnærmede arealer av vertikale veggskiver for hver etasje:

x-retningen:

$$A_{xA} := 5m \cdot 3.4m = 17m^2 \quad A_{xD} := 5m \cdot 10m = 50m^2$$
$$A_{xB} := 5m \cdot 3.4m = 17m^2$$

$$A_{skiverx} := A_{xA} + A_{xB} + A_{xD} = 84 \text{ m}^2$$

y- retningen:

$$A_{y1} := 5\text{m} \cdot 3.4\text{m} = 17 \text{ m}^2 \quad A_{y3} := 6\text{m} \cdot 3.4\text{m} = 20.4 \text{ m}^2$$

$$A_{y4} := 6\text{m} \cdot 3.4\text{m} = 20.4 \text{ m}^2 \quad A_{y6} := 5\text{m} \cdot 3.4\text{m} = 17 \text{ m}^2$$

$$A_{skivery} := A_{y1} + A_{y3} + A_{y4} + A_{y6} = 54.4 \text{ m}^2$$

$$A_{skiverx} + A_{skivery} = 138.4 \text{ m}^2$$

Arealet av enkelte dekke:

Tilnærmede arealer av dekker over etasje i uten utsparinger:

$$\text{Areal av dekker over etasje:} \quad A_{idekker} := L_b \cdot B_b = 544 \text{ m}^2$$

$$A_{8dekker} := 544 \text{ m}^2$$

Egenlast:  $G_k$

Likning (VLG1) angir resultanten av egenlasten på grunn av betongens egenlast i hver etasje når halve skivens areal i etasjen og under medtas.

$$\rho_{betong} := 25 \frac{\text{kN}}{\text{m}^3} \quad i := 1..7$$

$$G_{ki} := \left( A_{idekker} + \frac{1}{2} 138.4m^2 + \frac{1}{2} 138.4m^2 \right) \rho_{betong} \cdot b_w = 4.265 \times 10^6 N$$

$$G_{k8} := \left( A_{8dekker} + \frac{1}{2} 138.4m^2 \right) \rho_{betong} \cdot b_w = 3.833 \times 10^6 N$$

Likning (VLG2) angir resultanten av egenlasten til hver etasje på grunn av påført egenlast

Påført egenlast:

$$G_{kp\alpha f} := 6.47 \frac{kg}{m^2}$$

resultanten av egenlasten til hver etasje på grunn av påført egenlast :

$$G_{kii} := 6.47 \frac{kg}{m^2} \cdot A_{idekker}$$

$$\text{Nyttelast: } Q_{knytte} := 2 \frac{kN}{m^2} \quad G_{kii} = 3.52 \times 10^3 kg$$

Likning (VLG3) angir den tilnærmede permanente resultanten av nyttelasten til hver etasje.

seismisk faktor for justering av belastning:  $\varphi := 1$

kombinasjonverdien faktor for de variable påvirkningene i:  $\psi_{E,i}$   
(VLG3)

kvasipermanent verdi av variabel påvirkning:

$$\psi_{2,i} := 0.3$$

$$Q_{ki} := \varphi \cdot 0.3 \cdot Q_{knyttet} \cdot A_{idekker} = 3.264 \times 10^5 \text{ N}$$

snølast:  $Q_{ksnø} := 2.4 \frac{\text{kN}}{\text{m}^2}$        $\psi_{2,i} := 0.2$

$$Q_{k8} := \varphi \cdot 0.2 \cdot Q_{ksnø} \cdot A_{idekker} = 2.611 \times 10^5 \text{ N}$$

Tilnærmede resultantkrefter for beregning av masser:

$$G_{kii} := 34.5312 \cdot 10^3 \text{ N}$$

$$m_i := G_{ki} + G_{kii} + Q_{ki} = 4.626 \times 10^6 \text{ N}$$

$$m_8 := G_{k8} + Q_{k8} = 4.094 \times 10^6 \text{ N}$$

$$m_{total} := 7 \cdot m_i + m_8 = 3.648 \times 10^7 \text{ N}$$

$$m_{total} := \frac{3.648 \cdot 10^7 \text{ N}}{g} = 3.72 \times 10^6 \text{ kg}$$

Seismiske laster:

Dimensjonerende horizontal responspektrum:

Konstruksjonsfaktor:       $q := 1.5$

Dimensjonerende responsspektrum:

Verdier for beregning av dimensjonerende responsspektrum:

$$\text{seismisk faktor: } \gamma_1 := 1$$

$$a_{g40Hz} := 0.9 \frac{m}{s^2}$$

$$a_{gR} := 0.8 \cdot a_{g40Hz} \quad a_{gR} = 0.72 \frac{m}{s^2}$$

$$a_g := a_{gR} \cdot \gamma_1 = 0.72 \frac{m}{s^2}$$

$$\text{gravitasjon: } g := 9.81 \frac{m}{s^2}$$

$$\text{seismisk klasse: klasse II}$$

grunntype:A

$$\text{Foresterkningfaktor for grunnforholden: } S := 1$$

parameter som bestemmer knekkpunktene i responsspektre:

$$T_B := 0.10s \quad T_C := 0.25s \quad T_D := 1.5s$$

hvis følgende krav blir oppfylt kan en se bort i fra seismisk påkjenninger:

$$a_g \cdot S < 0.05 \cdot g \quad 0.72 \frac{m}{s^2} > 0.49 \frac{m}{s^2} \quad \text{ok}$$

$$\text{krav om lav seismitet: } a_g \cdot S < 0.10 \cdot g$$

$$0.72 \frac{m}{s^2} < 0.98 \frac{m}{s^2} \quad \text{ok}$$

bygget kan dimensjoneres etter bestemmelse om lav seismisk

Svingeperioder:

Koeffisient avhengig av bygget horisontale avstivningssystem:  $C_t$

totale effektive arealet av skjærveggene i første etasje:  $A_c$

første svingperiode:  $T_1$

effektive tverrsnittsarealet av skjærveggen i langs den vurderte retningen i første etasje:

$$A_i := b_w \cdot l_{wi}$$

effektive tverrsnittsarealet av skjærveggen i langs den vurderte retningen i første etasje i bygnigen:

effektive tverrsnittsarealet:  $l_{wi} \leq 0.9 \cdot H$   $10m < .9 \cdot 27.2m$

$$A_c := \sum_i \left[ A_i \cdot \left( 0.2 + \frac{l_{wi}}{H} \right)^2 \right]$$

$$\text{Metode 1: } C_t := 0.050 \frac{s}{m^{\frac{3}{4}}} \quad T_1 := C_t \cdot H^{\frac{3}{4}}$$

$$\text{metode 2: } C_t := \frac{0.075}{\sqrt{A_c}} \quad T_1 := C_t \cdot H^{\frac{3}{4}}$$

$$C_{1x} := C_t \quad C_{1y} := C_t$$

Arealer

$$\text{tverrsnittsarealer av de vertikale skivene uten utsparinger: } A_c$$

$$i := 1, 2, 3, 4 \quad \text{om x-retningen}$$

$$i := 1, 2, 3, 4, 5, 6 \quad \text{om y-retningen}$$

$$b_w := 0.25m \quad l_{wxD} := 10m \quad l_{wxA} := 5m \quad l_{wxB} := 5m$$

$$l_{wy1} := 5m \quad l_{wy3} := 6m \quad l_{wy4} := 6m \quad l_{wy6} := 5m$$

Areal av skivesnitt:

For x-retningen

$$A_{xA} := b_w \cdot l_{wxA} = 1.25m^2 \quad A_{xB} := b_w \cdot l_{wxB} = 1.25m^2$$

$$A_{xD} := b_w \cdot l_{wdx} = 2.5m^2$$

$$A_{cxA} := (A_{xA}) \cdot \left[ 0.2 + \left( \frac{l_{wxA}}{27.2m} \right) \right]^2 = 0.184m^2$$

$$A_{cxB} := A_{xB} \cdot \left[ 0.2 + \left( \frac{l_{wxB}}{27.2m} \right) \right]^2 = 0.184m^2$$

$$A_{cxD} := A_{xD} \cdot \left[ 0.2 + \left( \frac{l_{wdx}}{27.2m} \right) \right]^2 = 0.806m^2$$

$$A_c := A_{cxA} + A_{cxB} + A_{cxD} = 1.174m^2$$

Med metode 1:

$$T_1 := 0.050 \frac{s}{m^{\frac{3}{4}}} \cdot (27.2m)^{\frac{3}{4}} = 0.596s$$

$$T_{1x} := T_1 = 0.596s$$

Med metode 2:

$$T_1 := 0.075 \frac{s}{\sqrt{m^{\frac{3}{4}}}} \cdot (27.2m)^{\frac{3}{4}} = 0.824s$$

$$T_{2x} := T_1 = 0.824s$$

y - retningen:

$$A_{y1} := b_w \cdot l_{wy1} = 1.25m^2 \quad A_{y4} := b_w \cdot l_{wy4} = 1.5m^2$$

$$A_{y3} := b_w \cdot l_{wy3} = 1.5m^2 \quad A_{y6} := b_w \cdot l_{wy6} = 1.25m^2$$

$$A_{cy1} := A_{y1} \left[ 0.2 + \left( \frac{l_{wy1}}{27.2m} \right) \right]^2 = 0.184m^2$$

$$A_{cy3} := A_{y3} \left[ 0.2 + \left( \frac{l_{wy3}}{27.2m} \right) \right]^2 = 0.265m^2$$

$$A_{cy6} := A_{cy1} = 0.184m^2 \quad A_{cy4} := A_{cy3} = 0.265m^2$$

$$A_c := A_{cy1} + A_{cy3} + A_{cy4} + A_{cy6} = 0.899m^2$$

Med metode 1:

$$T_1 := 0.050 \frac{s}{\frac{3}{4} m^{\frac{3}{4}}} \cdot (27.2m)^{\frac{3}{4}} = 0.596s \quad T_{1y} := T_1 = 0.596s$$

Med metode 2:

$$T_1 := 0.075 \frac{s}{\sqrt{\frac{m^{\frac{3}{4}}}{0.899}}} \cdot (27.2m)^{\frac{3}{4}} = 0.942s \quad T_{2y} := T_1 = 0.942s$$

krav til regularitet i høyden:

$$\begin{aligned} T_{2x} &\leq 4 \times T_C & T_{2x} &\leq 2.0s \\ 0.824s &\leq 4 \times 0.25s & & \text{ok} \\ 0.824s &\leq 1s & & \end{aligned}$$

$$\begin{aligned} T_{2y} &\leq 1 & T_{2y} &\leq 2.0s \\ 0.942s &\leq 1 & & \end{aligned}$$

dimensjonerende responsspektrum:  $S_d(T)$

krav :	$T_C \leq T_{1x} \leq T_D$	og	$T_C \leq T_{1y} \leq T_D$
	$0.25s < 0.824s \leq 1.5s$		oppfyl for x- retningen
	$0.25s \leq 0.942s \leq 1.5s$		ok for y- retningen

Faktor for den nedre grenseverdien for det dimensjonerendespektret:  $\beta := 0.2$

$$S_d(T_{2x}) := a_g \times S \times \left( \frac{2.5}{q} \right) \times \left( \frac{T_C}{T_1} \right) \geq 0.2 \times a_g \quad T_1 := T_{1x} \quad T_1 := T_{1y}$$

x - retninge

$$S_d(T_{2x}) := a_g \times S \times \left[ \left( \frac{2.5}{q} \right) \times \left( \frac{T_C}{T_{2x}} \right) \right] \geq 0.2 \times a_g$$

$$S_d(T_{2x}) := 0.364 \frac{m}{s^2} \quad 0.364 \frac{m}{s^2} \geq 0.144 \frac{m}{s^2}$$

y -retningen

$$S_d(T) := a_g \times S \times \left[ \left( \frac{2.5}{q} \right) \times \left( \frac{T_C}{T_{2y}} \right) \right] \geq 0.2 \times a_g$$

$$S_d(T_{2y}) := 0.318 \frac{m}{s^2} \quad 0.318 \frac{m}{s^2} \geq 0.144 \frac{m}{s^2}$$

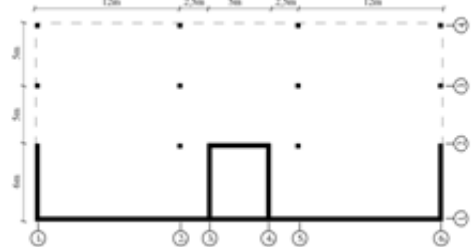
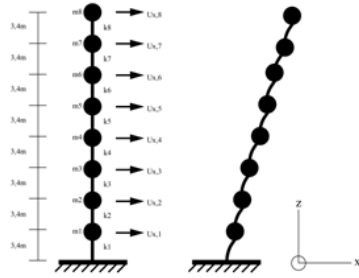
Utelatelseskriterium 2:

hvis :  $S_d(T) < 0.05 \cdot g$  videre påvisning av seismisk laster er ikke nødvendig  
(NA.3.2.1(5)P)

$$0.364 \frac{m}{s^2} < 0.49 \frac{m}{s^2} \quad \text{og} \quad 0.318 \frac{m}{s^2} < 0.49 \frac{m}{s^2}$$

Når følgende krav er oppfylt, kan vi se bort i fra seismisk påkjenninger på denne valgte konstruksjonen.

## 12.14.2 UGUNSTIG GEOMETRISK LØSNING MATHCAD



Geometri :

hoveddimensjoner:

$$\text{byggets lengste side: } L_b := 34\text{m} \quad (\text{x - retningen})$$

$$\text{byggets korte sidet: } B_b := 16\text{m} \quad (\text{y - retningen})$$

$$\text{Veggens tykkelse: } b_w := 0.25\text{m}$$

$$\text{Veggens lengde: } l_{wi} := n \cdot m \quad n := 0..34$$

$$\text{antall etasjer: } n_{etg} := 8$$

$$\text{antall nivåer: } n_e := n_{etg} + 1$$

$$i := 1..n_{etg}$$

$$\text{Etasjehøyde: } d_{z_i} := 3.4\text{m}$$

$$\text{Høyde: } Z_1 := 0\text{m} \quad i := 2..n_e$$

$$\text{total høyde: } H := 27.2\text{m}$$

akser j:

$j_x := 1, 2, 3, 4$	om x-retningen
$j_y := 1, 2, 3, 4, 5, 6$	om y-retningen

Materiale

det skal benyttes B35 med dynamisk tilleg (NS3473 9.2.3)

$$f_{cck} := 35 \frac{N}{mm^2} \quad E := 1.15 \cdot 9500 \cdot f_{cck}^{0.3} \left( \frac{N}{mm^2} \right)^{0.7} \quad E = 3.174 \times 10^{10} Pa$$

og stålsøyler: RHS (250 X 250 X 12.5) mm

Håndberegninger:

### A.1 Masseberegning av boliggblokk

Arealer

tilnærmede arealer av vertikale veggskiver for etasje hver etasje

x-retningen:

$$A_{skiver1} := (3.4m \cdot L_b) = 115.6 m^2$$

$$A_{skiver2} := 5m \cdot 3.4m = 17 m^2$$

$$A_{skiverx} := A_{skiver1} + A_{skiver2} = 132.6 m^2$$

y-retningen:

$$A_{skiver1} := 6m \cdot 3.4m = 20.4 m^2$$

$$A_{skiver3} := 20.4 m^2 \quad A_{skiver6} := 20.4 m^2$$

$$A_{skiver4} := 20.4 \text{ m}^2$$

$$A_{skivery} := (A_{skiver1} + A_{skiver3} + A_{skiver4} + A_{skiver6}) = 81.6 \text{ m}^2$$

$$A_{skiveri} := A_{skiverx} + A_{skivery} = 214.2 \text{ m}^2$$

Arealet av enkelte dekke:

tilnærmede arealer av dekker over etasje i uten utsparinger

$$\text{Areal av dekker over etasje: } A_{idekker} := L_b \cdot B_b = 544 \text{ m}^2$$

$$A_{8dekker} := 544 \text{ m}^2$$

Egenlast:  $G_k$

likning (VLG1) angir resultanten av egenlasten på grunn av betongens egenlast i hver etasje

når halve skivens areal ligger under medetasjen og under medetasjen

$$\rho_{\text{betong}} := 25 \frac{\text{kN}}{\text{m}^3}$$

$$G_{ki} := \left( A_{idekker} + \frac{1}{2} A_{skiveri} + \frac{1}{2} A_{skiveri} \right) \rho_{\text{betong}} \cdot b_w = 4.739 \times 10^6 \text{ N}$$

(VLG1)

$$G_{k8} := \left( A_{8dekker} + \frac{1}{2} A_{skiveri} \right) \rho_{\text{betong}} \cdot b_w = 4.069 \times 10^6 \text{ N}$$

Likning (VLG2) angir resultanten av egenlasten til hver etasje på grunn av påført egenlast

$$\text{Påført egenlast: } G_{kpåf} := 6.47 \frac{\text{kg}}{\text{m}^2}$$

(VLG2)

$$G_{kii} := G_{kpåf} \cdot A_{idekker} = 3.52 \times 10^3 \text{ kg} \quad G_{kii} = 3.52 \times 10^3 \text{ kg}$$

$$\text{Nyttelast: } Q_{knytte} := 2 \frac{\text{kN}}{\text{m}^2}$$

Likning (VLG3) angir den tilnærmede permanente resultanten av nyttelasten til hver etasje.

seismisk faktor for justering av belastning:  $\varphi := 1$

kombinasjonsverdien faktor for de variable påvirkningene  $\psi_{1E,i}$  (VLG3)

kvasipermanent verdi av variabel påvirkning:  $\psi_{2,i} := 0.3$

$$Q_{ki} := \varphi \cdot 0.3 \cdot Q_{knytte} \cdot A_{idekker} = 3.264 \times 10^5 \text{ N}$$

$$\text{snølast: } Q_{ksn\phi} := 2.4 \frac{\text{kN}}{\text{m}^2} \quad \psi_{2,i} := 0.2$$

Likning (VLG4) angir den tilnærmede permanente resultanten av snølasten på taket.

$$Q_{k8} := \varphi \cdot 0.2 \cdot Q_{ksn\phi} \cdot A_{idekker} = 2.611 \times 10^5 \text{ N}$$

Masser av stålsøyler:

$$\text{Masste av RHS 250 X250 X12.5: } m_{rhs} := 91.9 \frac{\text{kg}}{\text{m}}$$

$$m_{rhs} := m_{rhs} \cdot 3.4m \cdot 10 = 3.125 \times 10^3 \text{ kg}$$

$$m_{totalrhs} := m_{rhs} \cdot 8 = 2.5 \times 10^4 \text{ kg}$$

Tilnærmede resultantkrefter for beregning av masser:

$$m_i := G_{ki} + G_{kii} + Q_{ki} = 5.1 \times 10^6 \text{ N} \quad G_{kii} := 34.5312 \cdot 10^3 \text{ N}$$

$$m_8 := G_{k8} + Q_{k8} = 4.33 \times 10^6 \text{ N}$$

$$m_{total} := 7 \cdot m_i + m_8 = 4.003 \times 10^7 \text{ N}$$

$$m_{total} := \frac{4.003 \cdot 10^7 \text{ N}}{g} = 4.082 \times 10^6 \text{ kg}$$

Seismiske laster:

Dimensjonerende horisontal responspektrum:

Konstruksjonsfaktor:  $q := 1.5$

Dimensjonerende responspektrum

Verdier for beregning av dimensjonerende responspektrum:

seismisk faktor:  $\gamma_1 := 1$

$$a_{g40Hz} := 0.9$$

$$a_{gR} := 0.8 \cdot a_{g40Hz} \quad a_{gR} = 0.72$$

$$a_g := a_{gR} \cdot \gamma_1 = 0.72$$

$$\text{gravitasjon: } g := 9.81 \frac{\text{m}}{\text{s}^2}$$

seismisk klasse: klasse II

grunntype :A

Forsterkningsfaktor for grunnforholdenes  $\approx 1$

parameter som bestemmer knekkpunktene i responspekture:

$$T_B := 0.10s \quad T_C := 0.25s \quad T_D := 1.5s$$

hvis følgende krav blir oppfylt kan en se bort i fra seismisk påkjenninger:

$$a_g \cdot S < 0.05 \cdot g \quad 0.72 \frac{\text{m}}{\text{s}^2} > 0.49 \frac{\text{m}}{\text{s}^2} \quad \text{ok}$$

krav om lav seismisitet:  $a_g \cdot S < 0.10 \cdot g$

$$0.72 \frac{\text{m}}{\text{s}^2} < 0.98 \frac{\text{m}}{\text{s}^2} \quad \text{ok}$$

bygget kan dimensjoneres etter bestemmelse om lav seismisk

Svingeperioder:

Koeffisient avhengig av bygget horisontale avstivningssystem:  $C_t$

totale effektive arealet av skjærveggene i første etasje:  $A_c$

første svingeperiode:  $T_1$

effektive tverrsnittarealet av skjærveggen i langs den vurderte retningen i første etasje:

$$A_i := b_w \cdot l_{wi}$$

effektive tverrsnittarealet av skjærveggen i langs den vurderte retningen i første etasje i bygnigen:

$$\text{effektive tverrsnittarealet: } l_{wi} \leq 0.9 \cdot H \quad 34m > 0.9 \cdot 27.2m$$

$$A_c = \sum_i \left[ A_i \left[ 0.2 + \left( \frac{l_{wi}}{H} \right)^2 \right] \right]$$

Metode 1:  $C_t = 0.050 \frac{s}{m^{\frac{3}{4}}}$   $T_1 = C_t \cdot H^{\frac{3}{4}}$

$$\text{metode 2: } C_t = \frac{0.075}{\sqrt{A_c}} \quad T_1 = C_t \cdot H^{\frac{3}{4}}$$

$$C_{1x} = C_t$$

$$C_{1y} = C_t$$

Arealer

tverrsnittarealer av de vertikale skivene uten utsparinger:  $A_c$

$$i := 1, 2, 3, 4 \quad \text{om x-retningen}$$

$$i := 1, 2, 3, 4, 5, 6 \quad \text{om y-retningen}$$

$$b_w := 0.25m$$

$$l_{w1x} := 34m$$

$$l_{w2x} := 5m$$

$$l_{w1y} := 6m$$

$$l_{w1y} := 6m$$

$$l_{w3y} := 6m$$

$$l_{w4y} := 6m$$

$$l_{w6y} := 6m$$

Areal av skivesnitt:

For x-retningen

$$A_{1x} := b_w \cdot l_{w1x} = 8.5 m^2$$

$$A_{2x} := b_w \cdot l_{w2x} = 1.25 m^2$$

$$A_{1x} := 8.5 m^2$$

$$A_{2x} := 1.25 m^2$$

$$A_{c1} := (A_{1x}) \cdot \left[ 0.2 + \left( \frac{l_{w1x}}{27.2m} \right) \right]^2 = 17.871 m^2$$

$$A_{c2} := A_{2x} \left[ 0.2 + \left( \frac{l_{w2x}}{27.2m} \right) \right]^2 = 0.184 m^2$$

$$A_c := A_{c1} + A_{c2} = 18.055 m^2$$

$$A_c := 18.055 m^2$$

Med metode 1:

$$T_1 := 0.050 \frac{s}{\frac{3}{4} \cdot (27.2m)^{\frac{3}{4}}} = 0.596 s$$
$$T_{x1} := T_1 = 0.596 s$$

Med metode 2:

$$T_1 := 0.075 \frac{\frac{s}{\frac{3}{4}}}{\sqrt{18.055}} \cdot (27.2m)^{\frac{3}{4}} = 0.21s$$

$$T_{x2} := T_1 = 0.21s$$

y - retningen:

$$A_{1y} := b_w \cdot l_{w1y} = 1.5 m^2 \quad A_{4y} := b_w \cdot l_{w4y} = 1.5 m^2$$

$$A_{3y} := b_w^{\frac{bb}{2}} \cdot l_{w3y} = 1.5 m^2 \quad A_{6y} := b_w \cdot l_{w6y} = 1.5 m^2$$

$$A_{c1} := A_{1y} \left[ 0.2 + \left( \frac{l_{w1y}}{27.2m} \right) \right]^2 = 0.265 m^2$$

$$A_c := 4 \cdot A_{c1} = 1.061 m^2$$

Med metode 1:

$$T_1 := 0.050 \frac{\frac{s}{\frac{3}{4}}}{\sqrt{\frac{3}{4}}} \cdot (27.2m)^{\frac{3}{4}} = 0.596s \quad T_{y1} := T_1 = 0.596s$$

Med metode 2:

$$T_1 := 0.075 \frac{\frac{s}{\frac{3}{4}}}{\sqrt{1.061}} \cdot (27.2m)^{\frac{3}{4}} = 0.867s \quad T_{y2} := T_1 = 0.867s$$

konklusjon : metode 1 skal bli bruke i den oppgave minst med metode 2 lengde til veggen og høyde til bygget er større enn  $0.9 \times H$ . da bygget er stivere om begge akser.

$$T_{x1} := 0.596s$$

$$T_{y1} := 0.596s$$

krav til regularitet i høyden:

$$T_{x1} \leq 4 \times T_C \quad T_{x1} \leq 2.0s$$

$$0.596s \leq 4 \times 0.25s$$

ok

$$0.596s \leq 1s$$

dimensjonerende responsspektrum:  $S_d(T)$

$$\text{krav: } T_C \leq T_{x1} \leq T_D \quad \text{og} \quad T_C \leq T_{y1} \leq T_D$$

$$0.25 < 0.596 \leq 1.5 \quad \text{oppfylt} \quad \text{for } x\text{- retningen}$$

$$0.25 \leq 0.596 \leq 1.5 \quad \text{ok} \quad \text{for } y\text{- retningen}$$

Faktor for den nedre grenseverdien for det dimensjonerendespektret:  $\beta := 0.2$

$$S_d(T_{x1}) := a_g \times S \times \left( \frac{2.5}{q} \right) \times \left( \frac{T_C}{T_1} \right) \geq 0.2 \times a_g \quad T_1 := T_{x1} \quad T_1 := T_{y1}$$

$x$  - retningen

$$S_d(T_{x1}) := a_g \times S \times \left[ \left( \frac{2.5}{q} \right) \times \left( \frac{T_C}{T_{x1}} \right) \right] \geq 0.2 \times a_g$$

$$S_d(T_{x1}) := 0.5034 \frac{m}{s^2}$$

y -retningen

$$S_d(T) := a_g \times S \times \left[ \left( \frac{2.5}{q} \right) \times \left( \frac{T_C}{T_{y1}} \right) \right] \geq 0.2 \times a_g$$

$$S_d(T_{y1}) := 0.5034 \frac{m}{s^2}$$

$$S_d(T) > 0.05 \times g \quad 0.503 \frac{m}{s^2} > 0.49 \frac{m}{s^2}$$

Seismisk påkjenning

korreksjonsfaktor:  $\lambda$   $\lambda := 1$

Total kraft på fundamentnivå:  $F_b := S_d(T_{x1}) \cdot m_{total} \cdot \lambda$

x -retningen:

$$F_b = 2.055 \times 10^6 N \quad F_{bx} := F_b \quad F_{bx} = 2.055 \times 10^6 N$$

y-retningen:

$$F_b = 2.055 \times 10^6 N \quad F_{by} := F_b \quad F_{by} = 2.055 \times 10^6 N$$

seismisk laster pr etasje:

fordeling av krefter i konstruksjonen:  $F_i$

$$i := 1..8$$

etasjemasse:  $m_i$

høyden til massene:  $z_i := 3.4m$

$$F_i := F_b \cdot \frac{z_i \cdot m_i}{\sum_{i=1}^8 (z_i \cdot m_i)}$$

$$z_1 := 3.4m \quad z_2 := 6.8m \quad z_3 := 10.2m \quad z_4 := 13.6m \quad z_5 := 17m \quad z_6 := 20.4m$$

$$z_7 := 23.8m \quad z_8 := 27.8m$$

$$m_1 := \frac{5.1 \cdot 10^6 N}{g} \quad m_2 := m_1 = 5.201 \times 10^5 kg \quad m_3 := m_2 \quad m_4 := m_3 \\ m_5 := m_3 \quad m_6 := m_5 \quad m_7 := m_4 \quad m_8 := \frac{4.33 \cdot 10^6 N}{g}$$

moment av  $F_i$  fra nivå nulle:  $z_i$

første etasje:

$$z_1 \cdot m_1 = 1.768 \times 10^6 m \cdot kg$$

etasje 2:

$$z_2 \cdot m_2 = 3.536 \times 10^6 m \cdot kg$$

etasje 3:

$$z_3 \cdot m_3 = 5.305 \times 10^6 m \cdot kg$$

etasje 4:

$$z_4 \cdot m_4 = 7.073 \times 10^6 m \cdot kg$$

etasje 5:

$$z_5 \cdot m_5 = 8.841 \times 10^6 m \cdot kg$$

etasje 6:

$$z_6 \cdot m_6 = 1.061 \times 10^7 m \cdot kg$$

etasje 7:

$$z_7 \cdot m_7 = 1.238 \times 10^7 \text{ m} \cdot \text{kg}$$

etasje 8:

$$z_8 \cdot m_8 = 1.227 \times 10^7 \text{ m} \cdot \text{kg}$$

x -retningen:

$$z_1 \cdot m_1 + z_2 \cdot m_2 + z_3 \cdot m_3 + z_4 \cdot m_4 + z_5 \cdot m_5 + z_6 \cdot m_6 + z_7 \cdot m_7 + z_8 \cdot m_8 = 6.178 \times 10^7 \text{ m} \cdot \text{kg}$$

$$F_i := F_b \cdot \frac{z_i \cdot m_i}{\sum_{i=1}^8 (z_i \cdot m_i)}$$

$$F_{1x} := F_b \cdot \frac{z_1 \cdot m_1}{6.178 \cdot 10^7 \text{ m} \cdot \text{kg}} = 5.881 \times 10^4 \text{ N}$$

$$F_{2x} := F_b \cdot \frac{z_2 \cdot m_2}{6.178 \cdot 10^7 \text{ m} \cdot \text{kg}} = 1.176 \times 10^5 \text{ N}$$

$$F_{3x} := F_b \cdot \frac{z_3 \cdot m_3}{6.178 \cdot 10^7 \text{ m} \cdot \text{kg}} = 1.764 \times 10^5 \text{ N}$$

$$F_{4x} := F_b \cdot \frac{z_4 \cdot m_4}{6.178 \cdot 10^7 \text{ m} \cdot \text{kg}} = 2.352 \times 10^5 \text{ N}$$

$$F_{5x} := F_b \cdot \frac{z_5 \cdot m_5}{6.178 \cdot 10^7 \text{ m} \cdot \text{kg}} = 2.941 \times 10^5 \text{ N}$$

$$F_{6x} := F_b \cdot \frac{z_6 \cdot m_6}{6.178 \cdot 10^7 \text{ m} \cdot \text{kg}} = 3.529 \times 10^5 \text{ N}$$

$$F_{7x} := F_b \cdot \frac{z_7 \cdot m_7}{6.178 \cdot 10^7 \text{ m} \cdot \text{kg}} = 4.117 \times 10^5 \text{ N}$$

$$F_{8x} := F_b \cdot \frac{z_8 \cdot m_8}{6.178 \cdot 10^7 \text{ m} \cdot \text{kg}} = 4.083 \times 10^5 \text{ N}$$

Sum av seismisk kraft i y-retningen:

$$F_{1x} + F_{2x} + F_{3x} + F_{4x} + F_{5x} + F_{6x} + F_{7x} + F_{8x} = 2.055 \times 10^6 \text{ N}$$

y-retningen:

samme seismisk laster som i x- retningen

$$F_{1y} := F_{1x} = 5.881 \times 10^4 \text{ N} \quad F_{2y} := F_{2x} = 1.176 \times 10^5 \text{ N}$$

$$F_{3y} := F_{3x} = 1.764 \times 10^5 \text{ N} \quad F_{4y} := F_{4x} = 2.352 \times 10^5 \text{ N}$$

$$F_{5y} := F_{5x} = 2.941 \times 10^5 \text{ N} \quad F_{6y} := F_{6x} = 3.529 \times 10^5 \text{ N}$$

$$F_{7y} := F_{7x} = 4.117 \times 10^5 \text{ N} \quad F_{8y} := F_{8x} = 4.083 \times 10^5 \text{ N}$$

Sum. av seismisk kraft på y-retningen:

$$F_{1y} + F_{2y} + F_{3y} + F_{4y} + F_{5y} + F_{6y} + F_{7y} + F_{8y} = 2.055 \times 10^6 \text{ N}$$

veggskivestivhet og stivhetssenter:

Stivhet av skivene:

**Avstivning av bygget**

avstivning langs bygget:

Første etasje:

Skiver:

$$I_{y1} := \frac{0.25m \cdot (6.0m)^3}{12} = 4.5 m^4$$

$$I_{y2} := \frac{0.25m \cdot (6.0m)^3}{12} = 4.5 m^4$$

$$I_{y3} := \frac{0.25m \cdot (6.0m)^3}{12} = 4.5 m^4$$

$$I_{y4} := \frac{0.25m \cdot (6.0m)^3}{12} = 4.5 m^4$$

Stivhet langs bygget:

$$I_{y1} := I_{y1} + I_{y2} + I_{y3} + I_{y4} = 18 \text{ m}^4$$

Avstivning på tvers av bygget:

Første etasje:

Skiver:

$$I_{x1} := \frac{0.25\text{m} \cdot (34\text{m})^3}{12} = 818.833 \text{ m}^4$$

$$I_{x2} := \frac{0.25\text{m} \cdot (5\text{m})^3}{12} = 2.604 \text{ m}^4$$

Stivhet på trerrs av bygget:

$$I_{x1} := I_{x1} + I_{x2} = 821.438 \text{ m}^4$$

treghetsmoment:

$$\text{skiver tykkelse: } b_w := 0.25\text{m}$$

$$\text{skiver lengde: } l_{wi}$$

$$\text{Areal skiver: } A_{skive} := b_w \cdot l_{wi}$$

$$\text{høyde av skiver: } h_s := 3.4\text{m}$$

$$\text{veggskiver B35: } E_{cm} := 34000 \frac{\text{N}}{\text{mm}^2}$$

$$I := I_{x1} \quad \text{eller} \quad I := I_{x2}$$

$$A_{skivex1} := b_w \cdot 34\text{m} = 8.5 \text{ m}^2$$

$$A_{skivey3} := b_w \cdot 6\text{m} = 1.5 \text{ m}^2$$

$$A_{skivex2} := b_w \cdot 5\text{m} = 1.25 \text{ m}^2$$

$$A_{skivey4} := b_w \cdot 6\text{m} = 1.5 \text{ m}^2$$

$$A_{skivey1} := b_w \cdot 6m = 1.5 m^2$$

$$A_{skivey6} := b_w \cdot 6m = 1.5 m^2$$

bøyestivhet:  $K_{bi} := E_{cm} \cdot \frac{I}{h_s^3}$

skjærstivhet:  $K_{si} := E_{cm} \cdot \frac{A_{skive}}{3h_s}$

stivhet av skiver:  $K := \frac{K_{bi} \cdot K_{si}}{K_{si} + K_{bi}}$

$$K_{x1} := K \quad \text{eller} \quad K_{x2} := K$$

$$K_{bx1} := E_{cm} \cdot \frac{I_{x1}}{(h_s)^3} = 7.083 \times 10^{11} \frac{\text{kg}}{\text{s}^2}$$

$$K_{bx2} := E_{cm} \cdot \frac{I_{x2}}{h_s^3} = 2.253 \times 10^9 \frac{\text{kg}}{\text{s}^2}$$

$$K_{by1} := E_{cm} \cdot \frac{I_{y1}}{h_s^3} = 3.893 \times 10^9 \frac{\text{kg}}{\text{s}^2}$$

$$K_{by2} := E_{cm} \cdot \frac{I_{y2}}{h_s^3} = 3.893 \times 10^9 \frac{\text{kg}}{\text{s}^2}$$

$$K_{by3} := E_{cm} \cdot \frac{I_{y3}}{h_s^3} = 3.893 \times 10^9 \frac{\text{kg}}{\text{s}^2}$$

$$K_{by4} := E_{cm} \cdot \frac{I_{y4}}{h_s^3} = 3.893 \times 10^9 \frac{\text{kg}}{\text{s}^2}$$

$$K_{sx1} := E_{cm} \cdot \frac{A_{skivex1}}{3h_s} = 2.833 \times 10^{10} \frac{\text{kg}}{\text{s}^2}$$

$$K_{sx2} := E_{cm} \cdot \frac{A_{skivex2}}{3h_s} = 4.167 \times 10^9 \frac{\text{kg}}{\text{s}^2}$$

$$K_{sy1} := E_{cm} \cdot \frac{A_{skivey1}}{3h_s} = 5 \times 10^9 \frac{\text{kg}}{\text{s}^2}$$

$$K_{sy3} := E_{cm} \cdot \frac{A_{skivey3}}{3h_s} = 5 \times 10^9 \frac{\text{kg}}{\text{s}^2}$$

$$K_{sy4} := E_{cm} \cdot \frac{A_{skivey4}}{3h_s} = 5 \times 10^9 \frac{\text{kg}}{\text{s}^2}$$

$$K_{sy6} := E_{cm} \cdot \frac{A_{skivey6}}{3h_s} = 5 \times 10^9 \frac{\text{kg}}{\text{s}^2}$$

$$K_{x1} := \frac{K_{bx1} \cdot K_{sx1}}{K_{sx1} + K_{bx1}} = 2.724 \times 10^{10} \frac{\text{kg}}{\text{s}^2}$$

$$K_{x2} := \frac{K_{bx2} \cdot K_{sx2}}{K_{sx2} + K_{bx2}} = 1.462 \times 10^9 \frac{\text{kg}}{\text{s}^2}$$

$$K_{y1} := \frac{K_{by1} \cdot K_{sy1}}{K_{sy1} + K_{by1}} = 2.189 \times 10^9 \frac{\text{kg}}{\text{s}^2}$$

$$K_{y3} := \frac{K_{by3} \cdot K_{sy3}}{K_{sy3} + K_{by3}} = 2.189 \times 10^9 \frac{\text{kg}}{\text{s}^2}$$

$$K_{y4} := \frac{K_{by4} \cdot K_{sy4}}{K_{sy4} + K_{by4}} = 2.189 \times 10^9 \frac{\text{kg}}{\text{s}^2}$$

$$K_{y2} := \frac{K_{by2} \cdot K_{sy6}}{K_{sy6} + K_{by2}} = 2.189 \times 10^9 \frac{\text{kg}}{\text{s}^2}$$

Stivhetsfordeling:

Skiver:

$$\begin{aligned} skive1: \quad x1(m) &:= 17m \\ &\quad y1(m) := 0.125m \end{aligned}$$

$$\begin{aligned} skive2: \quad x2(m) &:= 17m \\ &\quad y2(m) := 6.125m \end{aligned}$$

$$\begin{aligned} skive3: \quad x3(m) &:= 0.125m \\ &\quad y3(m) := 3m \end{aligned}$$

$$\begin{aligned} skive4: \quad x4(m) &:= 14.5m \\ &\quad y4(m) := 3m \end{aligned}$$

$$\begin{aligned} skive5: \quad x5(m) &:= 19.5m \\ &\quad y5(m) := 3m \end{aligned}$$

$$\begin{aligned} skive6: \quad x6(m) &:= 33.875m \\ &\quad y6(m) := 3m \end{aligned}$$

$$K_x := K_{x1} + K_{x2} = 2.871 \times 10^{10} \frac{\text{kg}}{\text{s}^2}$$

$$K_y := K_{y1} + K_{y2} + K_{y3} + K_{y4} = 8.755 \times 10^9 \frac{\text{kg}}{\text{s}^2}$$

skive1:

$$K_{x1} \cdot y1(\text{m}) = 3.405 \times 10^9 \text{ N}$$

skive2

$$K_{x2} \cdot y2(\text{m}) = 8.956 \times 10^9 \text{ N}$$

skive3:

$$K_{y1} \cdot x3(\text{m}) = 2.736 \times 10^8 \text{ N}$$

skive 4:

$$K_{y3} \cdot x4(\text{m}) = 3.174 \times 10^{10} \text{ N}$$

skive5:

$$K_{y4} \cdot x5(\text{m}) = 4.268 \times 10^{10} \text{ N}$$

skive6:

$$K_{y2} \cdot x6(\text{m}) = 7.414 \times 10^{10} \text{ N}$$

$$K_{x1} \cdot y1(\text{m}) + K_{x2} \cdot y2(\text{m}) = 1.236 \times 10^{10} \text{ N}$$

$$K_{y1} \cdot x3(\text{m}) + K_{y3} \cdot x4(\text{m}) + K_{y4} \cdot x5(\text{m}) + K_{y2} \cdot x6(\text{m}) = 1.488 \times 10^{11} \text{ N}$$

plassering av lokal y-akse:  $X_t := \frac{1.236 \cdot 10^{10} \text{ N}}{K_y} = 1.412 \text{ m}$   $X_t = 1.412 \text{ m}$

plassering av lokal x-akse:  $Y_t := \frac{1.488 \cdot 10^{11} \text{ N}}{K_x} = 5.184 \text{ m}$   $Y_t = 5.184 \text{ m}$

Eksentrisitet for last i y-retningen:  $e_x := \frac{34 \cdot \text{m}}{2} - X_t = 15.588 \text{ m}$

Eksentrisitet med last i x-retningen:  $e_y := \frac{16m}{2} - Y_t = 2.816m$

Rotasjonsstivhet:  $K_{rot}$

$$i := 1, 2, 3, 4, 5, 6$$

$$X_t := 1.412m$$

$$Y_t := 5.184m$$

skive1:

$$x := (x1(m) - X_t) = 15.588m$$

$$y := (y1(m) - Y_t) = -5.059m$$

$$y \cdot K_{x1} = 2.564 \times 10^{10} N$$

$$y^2 \cdot K_{x1} = 2.412 \times 10^{10} J$$

skive2:

$$x := (x2(m) - X_t) = 15.588m$$

$$y := (y2(m) - Y_t) = 0.941m$$

$$y \cdot K_{x2} = 1.376 \times 10^9 N$$

$$y^2 \cdot K_{x2} = 1.295 \times 10^9 J$$

skive3:

$$x := x3(m) - X_t = -1.287m$$

$$y := y3(m) - Y_t = -2.184m$$

$$x \cdot K_{y1} = -2.817 \times 10^9 N$$

$$x^2 \cdot K_{y1} = 3.625 \times 10^9 J$$

skive4:

$$x := x4(m) - X_t = 13.088m$$

$$y := y4(m) - Y_t = -2.184m$$

$$x \cdot K_{y3} = -2.817 \times 10^9 N$$

$$x^2 \cdot K_{y3} = 3.625 \times 10^9 J$$

skive5:

$$x := x5(m) - X_t = 18.088m$$

$$y := y5(m) - Y_t = -2.184m$$

skive6 :

$$x := x6(m) - X_t = 32.463m$$

$$y := y6(m) - Y_t = -2.184m$$

$$x \cdot K_{y4} = 3.959 \times 10^{10} N$$

$$x \cdot K_{y2} = 3.959 \times 10^{10} N$$

$$x^2 \cdot K_{y4} = 7.161 \times 10^{11} J$$

$$x^2 \cdot K_{y2} = 7.161 \times 10^{11} J$$

$$K_{rot} := \left( y^2 \cdot K_{x1} + y^2 \cdot K_{x2} \right) + \left( x^2 \cdot K_{y1} + x^2 \cdot K_{y3} + x^2 \cdot K_{y4} + x^2 \cdot K_{y2} \right) = 3.001 \times 10^{12} J$$

Forskyvninger hentet fra Robot:  
4mm i x-retning  
4mm i y-retning

Dette er maks forskyvning i  
toppen av bygget.

## 12.14.3 UGUNSTIG GEOMETRISK LØSNING ROBOT

Autodesk Robot Structural Analysis Professional 2016

Date: 11/05/15

Project properties: **Structure Seismic 1**

File Name:: **Structure Seismic 1.rtd**

Created: 23/03/15 12:14

Modified: 11/05/15 14:07

Size: 17395712

Author:

Office:

Address:

Characteristics of analysis example:

Structure type: Shell

Structure geometrical center coordinates:

X = 17.000 (m)

Y = 8.000 (m)

Z = 13.600 (m)

Structure gravity center coordinates:

X = 17.000 (m)

Y = 13.762 (m)

Z = 13.683 (m)

Central moments of inertia of a structure:

I<sub>x</sub> = 83809778.594 (kg\*m<sup>2</sup>)

I<sub>y</sub> = 198556199.332 (kg\*m<sup>2</sup>)

I<sub>z</sub> = 139315271.059 (kg\*m<sup>2</sup>)

Mass = 1158140.800 (kg)

Coordinates of structure centroid with static global masses considered:

X = 17.000 (m)

Y = 9.456 (m)

Z = 14.888 (m)

Central moments of inertia of a structure with static global masses considered:

I<sub>x</sub> = 364105530.814 (kg\*m<sup>2</sup>)

I<sub>y</sub> = 690282447.716 (kg\*m<sup>2</sup>)

I<sub>z</sub> = 539781874.498 (kg\*m<sup>2</sup>)

Mass = 4163324.416 (kg)

Coordinates of structure centroid with dynamic global masses considered:

X = 17.000 (m)

Y = 9.456 (m)

Z = 14.888 (m)

Central moments of inertia of a structure with dynamic global masses considered:

I<sub>x</sub> = 364105530.814 (kg\*m<sup>2</sup>)

I<sub>y</sub> = 690282447.716 (kg\*m<sup>2</sup>)

I<sub>z</sub> = 539781874.498 (kg\*m<sup>2</sup>)

Mass = 4163324.416 (kg)

Structure description	
Number of nodes:	915
Number of bars:	160
Bar finite elements:	160
Planar finite elements:	836
Volumetric finite elements:	0
Rigid links:	411
Releases:	0
Unidirectional releases:	0
Non-linear releases:	0
Compatibilities:	0
Elastic compatibilities:	0
Non-linear compatibilities:	0
Supports:	62
Elastic supports:	0
Unidirectional supports:	0
Non-linear supports:	0
Non-linear hinges:	0
Cases:	27
Combinations:	0

#### Calculation summary

Solution method - Multi-threaded solver	
No of static degr. of freedom:	5142
Bandwidth	
before/after optimization:	0     0
Time info [sec]	
Max time of aggreg. + decomp.:	0
Max time of subspace iterat.:	0
Max time of nonlinear iterat.:	0
Total time:	6
Disk and core usage [B]	
Total disk space:	3720304
For solver TMP files:	0
For subspace iter. TMP files:	0
Memory:	1765988
Stiffness matrix diagonal elements	
Min/Max after decomposition:	1.963605e+007
Precision:	5
6.169695e+016	

#### Table of load cases / analysis types

**Case 1 : DL1**  
**Analysis type: Static - Linear**

Potential energy : 8.40618e+001 (kN\*m)  
Precision : 1.90296e-005

**Case 2 : LL1**  
**Analysis type: Static - Linear**

Potential energy : 4.80730e+000 (kN\*m)  
Precision : 1.75307e-005

**Case 3 : SN1**  
**Analysis type: Static - Linear**

Potential energy : 4.82111e-001 (kN\*m)  
Precision : 9.99864e-006

**Case 4 : WIND Y**  
**Analysis type: Static - Linear**

Potential energy : 0.00000e+000 (kN\*m)  
Precision : 0.00000e+000

**Case 5 : WIND X**  
**Analysis type: Static - Linear**

Potential energy : 0.00000e+000 (kN\*m)  
Precision : 0.00000e+000

**Case 6 : ULS**  
**Analysis type:**

**Case 7 : ULS+**  
**Analysis type:**

**Case 8 : ULS-**  
**Analysis type:**

**Case 9 : SLS**  
**Analysis type:**

**Case 10 : SLS+**  
**Analysis type:**

**Case 11 : SLS-**  
**Analysis type:**

**Case 12 : SLS:CHR**  
**Analysis type:**

**Case 13 : SLS:CHR+**  
**Analysis type:**

**Case 14** : SLS:CHR-  
**Analysis type:**

**Case 15** : SLS:FRE  
**Analysis type:**

**Case 16** : SLS:FRE+  
**Analysis type:**

**Case 17** : SLS:FRE-  
**Analysis type:**

**Case 18** : SLS:QPR  
**Analysis type:**

**Case 19** : SLS:QPR+  
**Analysis type:**

**Case 20** : SLS:QPR-  
**Analysis type:**

**Case 21** : EN 1998-1:2004 Direction\_X  
**Analysis type:** Static - Seismic

**Mass eccentricities** ex = 5.000 (%) ey = 5.000 (%) Excitation  
direction:

X = 1.000

Y = 0.000

Z = 0.000

**Data:**

Site : A

Spectrum type : 2

Behavior factor : 1,50

**Spectrum parameters:**

Acceleration : a<sub>g</sub> = 0,72

S = 1,00 β = 0,20 T<sub>B</sub> = 0,05 T<sub>C</sub> = 0,25 T<sub>D</sub> = 1,20

**Fundamental period:**

Approximated method T = 0,60 (s)

Other structures C<sub>t</sub> = 0,050

**Structure range:**

Top story Story 8  
Bottom story Story 1

Effective height H<sub>n</sub> = 27,20(m)

**Base shear**

S<sub>d</sub>(T<sub>1</sub>) = 0,50

m = 4163324,42 (kg)

λ = 1,00

Shear force V = 2097,32(kN)

#### Vertical distribution of seismic forces

Story	Height (m)	Mass (kg)	F(kN)	M(kN*m)
Story 1	3,40	519109,67	57,98	0,00
Story 2	3,40	519109,67	115,96	0,00
Story 3	3,40	519109,67	173,95	0,00
Story 4	3,40	518553,25	231,68	0,00
Story 5	3,40	518553,25	289,60	0,00
Story 6	3,40	518553,25	347,52	0,00
Story 7	3,40	518553,25	405,44	0,00
Story 8	3,40	531782,39	475,18	0,00

Case 22 : EN 1998-1:2004 Direction\_Y

Analysis type: Static - Seismic

Excitation direction:

X = 0,000

Y = 1,000

Z = 0,000

Data:

Site : A

Spectrum type : 2

Behavior factor : 1,50

#### Spectrum parameters:

Acceleration :  $a_g = 0,72$

$S = 1,00 \quad \beta = 0,20 \quad T_B = 0,05 \quad T_C = 0,25 \quad T_D = 1,20$

#### Fundamental period:

Approximated method  $T = 0,60$  (s)

Other structures  $C_t = 0,050$

#### Structure range:

Top story Story 8

Bottom story Story 1

Effective height  $H_n = 27,20(m)$

#### Base shear

$S_d(T_1) = 0,50$

$m = 4163324,42$  (kg)

$\lambda = 1,00$

Shear force V = 2097,32(kN)

#### Vertical distribution of seismic forces

Story	Height (m)	Mass (kg)	F(kN)	M(kN*m)
Story 1	3,40	519109,67	57,98	0,00
Story 2	3,40	519109,67	115,96	0,00
Story 3	3,40	519109,67	173,95	0,00
Story 4	3,40	518553,25	231,68	0,00
Story 5	3,40	518553,25	289,60	0,00
Story 6	3,40	518553,25	347,52	0,00
Story 7	3,40	518553,25	405,44	0,00
Story 8	3,40	531782,39	475,18	0,00

Case 23 : ACC

Analysis type:

**Case 24** : ACC+  
**Analysis type:**

**Case 25** : ACC-  
**Analysis type:**

**Case 26** : Wind Simulation X+ 29 m/s (variable)  
**Analysis type: Static - Linear**

Potential energy : 1.35241e-001 (kN\*m)  
Precision : 2.76937e-005

**Data:**

Wind velocity : 29.00 (m/s)  
Terrain level : 0.00 (m)  
Wind profile : Variable  
Exposed elements : Whole structure  
Openings : Closed for the wind flow  
Stop criterion : Manual  
  
Sum of main forces : 0.000 (kN)  
Sum of perpendicular forces : 0.000 (kN)  
Sum of vertical forces : 0.000 (kN)  
:

**Case 27** : Wind Simulation Y+ 29 m/s (variable)  
**Analysis type: Static - Linear**

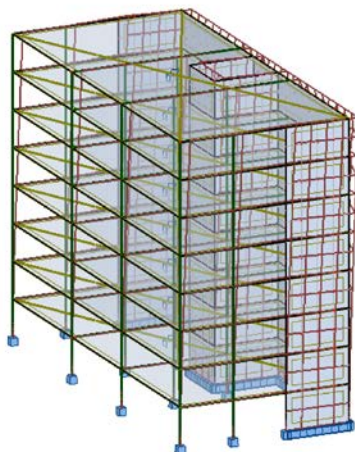
Potential energy : 3.38362e-002 (kN\*m)  
Precision : 1.83228e-005

**Data:**

Wind velocity : 29.00 (m/s)  
Terrain level : 0.00 (m)  
Wind profile : Variable  
Exposed elements : Whole structure  
Openings : Closed for the wind flow  
Stop criterion : Manual  
  
Sum of main forces : 0.000 (kN)  
Sum of perpendicular forces : 0.000 (kN)  
Sum of vertical forces : 0.000 (kN)  
:

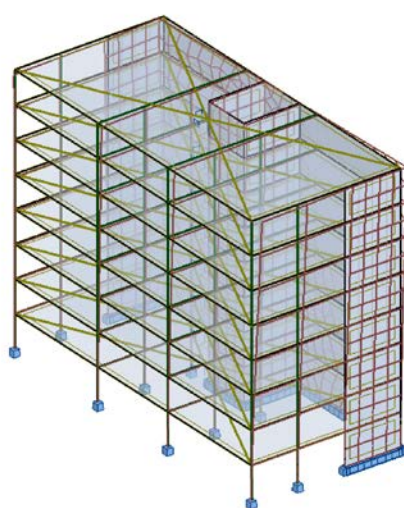
Cases: 22 (EN 1998-1:2004 Direction\_Y)

— Dis 10mm  
Max=4

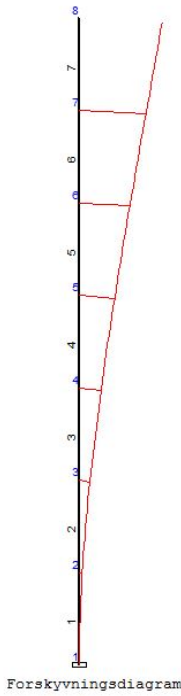


Cases: 21 (EN 1998-1:2004 Direction\_X)

— Dis 10mm  
Max=4



## 12.14.4 FORENKLET PINNEMODELL



## STERK AKSE

### FRAME-51-24\_03\_2015

#### Knutepunktsforskyvninger

Kn.P.	ux [mm]	uy [mm]	ur [rad]
1	0.000	0.000	0.00000
2	0.175	-0.065	0.00010
3	0.648	-0.120	0.00018
4	1.344	-0.165	0.00023
5	2.196	-0.200	0.00027
6	3.145	-0.225	0.00029
7	4.146	-0.240	0.00030
8	5.166	-0.245	0.00030

#### Opplagerkrefter

Kn.P.	Fx [kN]	Fy [kN]	M [kNm]
1	-1996.201	10231.191	-32113.668

#### Element endekrefter (globalkoordinater)

Element	FxA [kN]	FyA [kN]	MA [kNm]	FxB [kN]	FyB [kN]	MB [kNm]
1	-1996.201	10231.191	-32113.668	1996.201	-8769.592	25326.570
2	-1878.600	8769.593	-25326.564	1878.600	-7307.994	18939.342
3	-1702.218	7307.996	-18939.354	1702.218	-5846.397	13151.824
4	-1466.995	5846.394	-13151.844	1466.995	-4384.795	8164.094
5	-1172.878	4384.795	-8163.985	1172.878	-2923.196	4176.154
6	-819.932	2923.198	-4176.202	819.932	-1461.599	1388.222
7	-408.261	1461.599	-1388.275	408.261	-0.001	0.107

#### Element endekrefter (lokalkoordinater)

Element	fxA [kN]	fyA [kN]	mA [kNm]	fxB [kN]	fyB [kN]	mB [kNm]
1	10231.191	1996.201	-32113.668	-8769.592	-1996.201	25326.570

2	8769.593	1878.600	-25326.564	-7307.994	-1878.600	18939.342
3	7307.996	1702.218	-18939.354	-5846.397	-1702.218	13151.824
4	5846.394	1466.995	-13151.844	-4384.795	-1466.995	8164.094
5	4384.795	1172.878	-8163.985	-2923.196	-1172.878	4176.154
6	2923.198	819.932	-4176.202	-1461.599	-819.932	1388.222
7	1461.599	408.261	-1388.275	-0.001	-408.261	0.107

**Diagrammer M, V, N, og forskyvninger d av element 1**

d [mm]	n	x/l	x [m]	M [kNm]	V [kN]	N [kN]	dx [mm]	dy [mm]
0.000	0	0.000	0.00	-32113.67	-1996.20	-10231.19	0.000	0.000
	1	0.100	0.34	-31434.96	-1996.20	-10085.03	0.002	-0.007
	2	0.200	0.68	-30756.25	-1996.20	-9938.87	0.007	-0.013
	3	0.300	1.02	-30077.54	-1996.20	-9792.71	0.017	-0.020
	4	0.400	1.36	-29398.83	-1996.20	-9646.55	0.029	-0.026
	5	0.500	1.70	-28720.13	-1996.20	-9500.39	0.045	-0.033
	6	0.600	2.04	-28041.42	-1996.20	-9354.23	0.065	-0.039
	7	0.700	2.38	-27362.71	-1996.20	-9208.07	0.088	-0.045
	8	0.800	2.72	-26684.00	-1996.20	-9061.91	0.114	-0.052
	9	0.900	3.06	-26005.29	-1996.20	-8915.75	0.143	-0.058
	10	1.000	3.40	-25326.59	-1996.20	-8769.59	0.175	-0.065

**Maksimalverdi for element 1**

maxM= -25326.59 kNm, minM= -32113.67 kNm  
 maxV= -1996.20 kN, minV= -1996.20 kN  
 maxN= -8769.59 kN, minN= -10231.19 kN  
 maxd= 0.187 mm

**Diagrammer M, V, N, og forskyvninger d av element 2**

d [mm]	n	x/l	x [m]	M [kNm]	V [kN]	N [kN]	dx [mm]	dy [mm]
0.187	0	0.000	0.00	-25326.56	-1878.60	-8769.59	0.175	-0.065
	1	0.100	0.34	-24687.84	-1878.60	-8623.43	0.210	-0.071
	2	0.200	0.68	-24049.12	-1878.60	-8477.27	0.248	-0.076
	3	0.300	1.02	-23410.39	-1878.60	-8331.11	0.289	-0.082
	4	0.400	1.36	-22771.67	-1878.60	-8184.95	0.333	-0.087
	5	0.500	1.70	-22132.95	-1878.60	-8038.79	0.379	-0.093
	6	0.600	2.04	-21494.22	-1878.60	-7892.63	0.428	-0.098
	7	0.700	2.38	-20855.50	-1878.60	-7746.47	0.479	-0.103
	8	0.800	2.72	-20216.77	-1878.60	-7600.31	0.533	-0.109
	9	0.900	3.06	-19578.05	-1878.60	-7454.15	0.589	-0.115
	10	1.000	3.40	-18939.32	-1878.60	-7307.99	0.648	-0.120

**Maksimalverdi for element 2**

maxM= -18939.32 kNm, minM= -25326.56 kNm  
 maxV= -1878.60 kN, minV= -1878.60 kN

maxN= -7307.99 kN, minN= -8769.59 kN  
 maxd= 0.659 mm

**Diagrammer M, V, N, og forskyvninger d av element 3**

d [mm]	n	x/l	x [m]	M [kNm]	V [kN]	N [kN]	dx [mm]	dy [mm]
0.659	0	0.000	0.00	-18939.35	-1702.22	-7308.00	0.648	-0.120
0.719	1	0.100	0.34	-18360.60	-1702.22	-7161.84	0.709	-0.125
0.782	2	0.200	0.68	-17781.85	-1702.22	-7015.68	0.771	-0.129
0.847	3	0.300	1.02	-17203.09	-1702.22	-6869.52	0.836	-0.133
0.914	4	0.400	1.36	-16624.34	-1702.22	-6723.36	0.903	-0.138
0.983	5	0.500	1.70	-16045.58	-1702.22	-6577.20	0.972	-0.143
1.053	6	0.600	2.04	-15466.83	-1702.22	-6431.04	1.043	-0.147
1.126	7	0.700	2.38	-14888.08	-1702.22	-6284.88	1.116	-0.151
1.200	8	0.800	2.72	-14309.32	-1702.22	-6138.72	1.190	-0.156
1.276	9	0.900	3.06	-13730.57	-1702.22	-5992.56	1.266	-0.160
1.354	10	1.000	3.40	-13151.81	-1702.22	-5846.40	1.344	-0.165

Maksimalverdi for element 3

maxM= -13151.81 kNm, minM= -18939.35 kNm  
 maxV= -1702.22 kN, minV= -1702.22 kN  
 maxN= -5846.40 kN, minN= -7308.00 kN  
 maxd= 1.354 mm

**Diagrammer M, V, N, og forskyvninger d av element 4**

d [mm]	n	x/l	x [m]	M [kNm]	V [kN]	N [kN]	dx [mm]	dy [mm]
1.354	0	0.000	0.00	-13151.84	-1466.99	-5846.39	1.344	-0.165
1.433	1	0.100	0.34	-12653.07	-1466.99	-5700.23	1.423	-0.169
1.514	2	0.200	0.68	-12154.29	-1466.99	-5554.07	1.504	-0.172
1.596	3	0.300	1.02	-11655.51	-1466.99	-5407.91	1.586	-0.175
1.679	4	0.400	1.36	-11156.73	-1466.99	-5261.75	1.669	-0.179
1.764	5	0.500	1.70	-10657.95	-1466.99	-5115.59	1.754	-0.183
1.850	6	0.600	2.04	-10159.17	-1466.99	-4969.43	1.840	-0.186
1.937	7	0.700	2.38	-9660.40	-1466.99	-4823.27	1.927	-0.190
2.025	8	0.800	2.72	-9161.62	-1466.99	-4677.11	2.016	-0.193
2.114	9	0.900	3.06	-8662.84	-1466.99	-4530.96	2.105	-0.196
2.205	10	1.000	3.40	-8164.06	-1466.99	-4384.79	2.196	-0.200

Maksimalverdi for element 4

maxM= -8164.06 kNm, minM= -13151.84 kNm  
 maxV= -1466.99 kN, minV= -1466.99 kN  
 maxN= -4384.79 kN, minN= -5846.39 kN  
 maxd= 2.205 mm

**Diagrammer M, V, N, og forskyvninger d av element 5**

d [mm]	n	x/l	x [m]	M [kNm]	V [kN]	N [kN]	dx [mm]	dy [mm]
2.205	0	0.000	0.00	-8163.99	-1172.88	-4384.79	2.196	-0.200
2.296	1	0.100	0.34	-7765.21	-1172.88	-4238.64	2.287	-0.203
2.388	2	0.200	0.68	-7366.43	-1172.88	-4092.48	2.380	-0.206
2.481	3	0.300	1.02	-6967.65	-1172.88	-3946.32	2.473	-0.207
2.575	4	0.400	1.36	-6568.87	-1172.88	-3800.16	2.567	-0.210
2.670	5	0.500	1.70	-6170.09	-1172.88	-3654.00	2.661	-0.213
2.765	6	0.600	2.04	-5771.31	-1172.88	-3507.84	2.757	-0.215
2.861	7	0.700	2.38	-5372.54	-1172.88	-3361.68	2.853	-0.218
2.958	8	0.800	2.72	-4973.76	-1172.88	-3215.52	2.950	-0.220
3.056	9	0.900	3.06	-4574.98	-1172.88	-3069.36	3.047	-0.223
3.153	10	1.000	3.40	-4176.20	-1172.88	-2923.20	3.145	-0.225

**Maksimalverdi for element 5**

maxM= -4176.20 kNm, minM= -8163.99 kNm  
 maxV= -1172.88 kN, minV= -1172.88 kN  
 maxN= -2923.20 kN, minN= -4384.79 kN  
 maxd= 3.153 mm

**Diagrammer M, V, N, og forskyvninger d av element 6**

d [mm]	n	x/l	x [m]	M [kNm]	V [kN]	N [kN]	dx [mm]	dy [mm]
3.153	0	0.000	0.00	-4176.20	-819.93	-2923.20	3.145	-0.225
3.252	1	0.100	0.34	-3897.43	-819.93	-2777.04	3.244	-0.227
3.350	2	0.200	0.68	-3618.65	-819.93	-2630.88	3.343	-0.229
3.450	3	0.300	1.02	-3339.87	-819.93	-2484.72	3.442	-0.230
3.549	4	0.400	1.36	-3061.09	-819.93	-2338.56	3.542	-0.232
3.649	5	0.500	1.70	-2782.32	-819.93	-2192.40	3.642	-0.232
3.749	6	0.600	2.04	-2503.54	-819.93	-2046.24	3.742	-0.234
3.850	7	0.700	2.38	-2224.76	-819.93	-1900.08	3.843	-0.235
3.951	8	0.800	2.72	-1945.99	-819.93	-1753.92	3.944	-0.237
4.052	9	0.900	3.06	-1667.21	-819.93	-1607.76	4.045	-0.239
4.153	10	1.000	3.40	-1388.43	-819.93	-1461.60	4.146	-0.240

**Maksimalverdi for element 6**

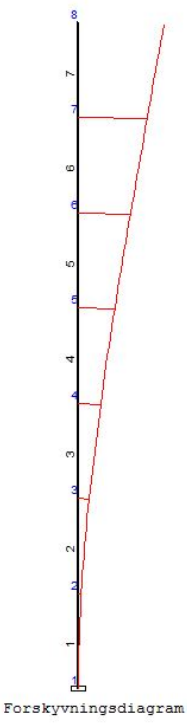
maxM= -1388.43 kNm, minM= -4176.20 kNm  
 maxV= -819.93 kN, minV= -819.93 kN  
 maxN= -1461.60 kN, minN= -2923.20 kN  
 maxd= 4.153 mm

**Diagrammer M, V, N, og forskyvninger d av element 7**

d [mm]	n	x/l	x [m]	M [kNm]	V [kN]	N [kN]	dx [mm]	dy [mm]
	0	0.000	0.00	-1388.27	-408.26	-1461.60	4.146	-0.240

4.153								
	1	0.100	0.34	-1249.47	-408.26	-1315.44	4.248	-0.240
4.254	2	0.200	0.68	-1110.66	-408.26	-1169.28	4.349	-0.242
4.356	3	0.300	1.02	-971.85	-408.26	-1023.12	4.451	-0.242
4.458	4	0.400	1.36	-833.04	-408.26	-876.96	4.553	-0.241
4.559	5	0.500	1.70	-694.23	-408.26	-730.80	4.655	-0.243
4.661	6	0.600	2.04	-555.42	-408.26	-584.64	4.757	-0.243
4.763	7	0.700	2.38	-416.61	-408.26	-438.48	4.859	-0.243
4.865	8	0.800	2.72	-277.81	-408.26	-292.32	4.962	-0.245
4.968	9	0.900	3.06	-139.00	-408.26	-146.16	5.064	-0.244
5.070	10	1.000	3.40	-0.19	-408.26	0.00	5.166	-0.246
5.172								
	<u>Maksimalverdi for element 7</u>							
	maxM=	-0.19 kNm,		minM=	-1388.27 kNm			
	maxV=	-408.26 kN,		minV=	-408.26 kN			
	maxN=	0.00 kN,		minN=	-1461.60 kN			
	maxd=	5.172 mm						

Frame2Dexpress+ECdesign      Programlisens til HIALS 2015, Dan Marius Staalerod  
 11/05/2015 13:31:47



Forskyvningsdiagram

maxD=13.75 mm

## SVAK AKSE

### FRAME-51-24\_03\_2015

#### Knutepunktsforskyvnninger

Kn.P.	ux [mm]	uy [mm]	ur [rad]
1	0.000	0.000	0.00000
2	0.466	-0.065	0.00026
3	1.724	-0.120	0.00047
4	3.577	-0.165	0.00061
5	5.844	-0.200	0.00071
6	8.371	-0.225	0.00077
7	11.034	-0.240	0.00079
8	13.748	-0.245	0.00080

#### Opplagerkrefter

Kn.P.	Fx [kN]	Fy [kN]	M [kNm]
1	-1996.201	10231.191	-32113.656

#### Element endekrefter (globalkoordinater)

Element	FxA [kN]	FyA [kN]	MA [kNm]	FxB [kN]	FyB [kN]	MB [kNm]
1	-1996.201	10231.191	-32113.656	1996.201	-8769.592	25326.594
2	-1878.609	8769.593	-25326.604	1878.609	-7307.994	18939.357
3	-1702.175	7307.996	-18939.365	1702.175	-5846.397	13151.911
4	-1467.036	5846.394	-13151.904	1467.036	-4384.795	8164.066
5	-1172.828	4384.795	-8164.093	1172.828	-2923.196	4176.344
6	-819.922	2923.198	-4176.279	819.922	-1461.599	1388.254
7	-408.355	1461.599	-1388.344	408.355	-0.001	-0.094

#### Element endekrefter (lokalkoordinater)

Element	fxA [kN]	fyA [kN]	mA [kNm]	fxB [kN]	fyB [kN]	mB [kNm]
1	10231.191	1996.201	-32113.656	-8769.592	-1996.201	25326.594
2	8769.593	1878.609	-25326.604	-7307.994	-1878.609	18939.357
3	7307.996	1702.175	-18939.365	-5846.397	-1702.175	13151.911

4	5846.394	1467.036	-13151.904	-4384.795	-1467.036	8164.066
5	4384.795	1172.828	-8164.093	-2923.196	-1172.828	4176.344
6	2923.198	819.922	-4176.279	-1461.599	-819.922	1388.254
7	1461.599	408.355	-1388.344	-0.001	-408.355	-0.094

**Diagrammer M, V, N, og forskyvninger d av element 1**

d [mm]	n	x/l	x [m]	M [kNm]	V [kN]	N [kN]	dx [mm]	dy [mm]
0.000	0	0.000	0.00	-32113.66	-1996.20	-10231.19	0.000	0.000
0.008	1	0.100	0.34	-31434.95	-1996.20	-10085.03	0.005	-0.007
0.024	2	0.200	0.68	-30756.24	-1996.20	-9938.87	0.020	-0.013
0.048	3	0.300	1.02	-30077.53	-1996.20	-9792.71	0.044	-0.020
0.082	4	0.400	1.36	-29398.82	-1996.20	-9646.55	0.078	-0.026
0.125	5	0.500	1.70	-28720.12	-1996.20	-9500.39	0.121	-0.033
0.177	6	0.600	2.04	-28041.41	-1996.20	-9354.23	0.173	-0.039
0.238	7	0.700	2.38	-27362.70	-1996.20	-9208.07	0.233	-0.045
0.307	8	0.800	2.72	-26683.99	-1996.20	-9061.91	0.303	-0.052
0.385	9	0.900	3.06	-26005.28	-1996.20	-8915.75	0.380	-0.058
0.470	10	1.000	3.40	-25326.57	-1996.20	-8769.59	0.466	-0.065

**Maksimalverdi for element 1**

maxM= -25326.57 kNm, minM= -32113.66 kNm  
 maxV= -1996.20 kN, minV= -1996.20 kN  
 maxN= -8769.59 kN, minN= -10231.19 kN  
 maxd= 0.470 mm

**Diagrammer M, V, N, og forskyvninger d av element 2**

d [mm]	n	x/l	x [m]	M [kNm]	V [kN]	N [kN]	dx [mm]	dy [mm]
0.470	0	0.000	0.00	-25326.60	-1878.61	-8769.59	0.466	-0.065
0.564	1	0.100	0.34	-24687.88	-1878.61	-8623.43	0.559	-0.071
0.665	2	0.200	0.68	-24049.15	-1878.61	-8477.27	0.661	-0.076
0.774	3	0.300	1.02	-23410.42	-1878.61	-8331.11	0.769	-0.082
0.890	4	0.400	1.36	-22771.70	-1878.61	-8184.95	0.885	-0.087
1.013	5	0.500	1.70	-22132.97	-1878.61	-8038.79	1.009	-0.093
1.143	6	0.600	2.04	-21494.24	-1878.61	-7892.63	1.139	-0.098
1.280	7	0.700	2.38	-20855.52	-1878.61	-7746.47	1.275	-0.103
1.423	8	0.800	2.72	-20216.79	-1878.61	-7600.31	1.419	-0.109
1.573	9	0.900	3.06	-19578.06	-1878.61	-7454.15	1.568	-0.115
1.728	10	1.000	3.40	-18939.33	-1878.61	-7307.99	1.724	-0.120

**Maksimalverdi for element 2**

maxM= -18939.33 kNm, minM= -25326.60 kNm  
 maxV= -1878.61 kN, minV= -1878.61 kN  
 maxN= -7307.99 kN, minN= -8769.59 kN  
 maxd= 1.728 mm

**Diagrammer M, V, N, og forskyvninger d av element 3**

d[mm]	n	x/l	x[m]	M[kNm]	V[kN]	N[kN]	dx[mm]	dy[mm]
1.728	0	0.000	0.00	-18939.37	-1702.17	-7308.00	1.724	-0.120
1.890	1	0.100	0.34	-18360.63	-1702.17	-7161.84	1.886	-0.125
2.057	2	0.200	0.68	-17781.89	-1702.17	-7015.68	2.053	-0.129
2.230	3	0.300	1.02	-17203.15	-1702.17	-6869.52	2.226	-0.133
2.408	4	0.400	1.36	-16624.41	-1702.17	-6723.36	2.404	-0.138
2.592	5	0.500	1.70	-16045.67	-1702.17	-6577.20	2.588	-0.143
2.780	6	0.600	2.04	-15466.93	-1702.17	-6431.04	2.776	-0.147
2.973	7	0.700	2.38	-14888.19	-1702.17	-6284.88	2.969	-0.151
3.171	8	0.800	2.72	-14309.45	-1702.17	-6138.72	3.167	-0.156
3.374	9	0.900	3.06	-13730.71	-1702.17	-5992.56	3.370	-0.160
3.580	10	1.000	3.40	-13151.97	-1702.17	-5846.40	3.577	-0.165

Maksimalverdi for element 3

maxM= -13151.97 kNm, minM= -18939.37 kNm  
 maxV= -1702.17 kN, minV= -1702.17 kN  
 maxN= -5846.40 kN, minN= -7308.00 kN  
 maxd= 3.580 mm

**Diagrammer M, V, N, og forskyvninger d av element 4**

d[mm]	n	x/l	x[m]	M[kNm]	V[kN]	N[kN]	dx[mm]	dy[mm]
3.580	0	0.000	0.00	-13151.90	-1467.04	-5846.39	3.577	-0.165
3.791	1	0.100	0.34	-12653.11	-1467.04	-5700.23	3.787	-0.169
4.006	2	0.200	0.68	-12154.32	-1467.04	-5554.07	4.002	-0.172
4.224	3	0.300	1.02	-11655.53	-1467.04	-5407.91	4.221	-0.175
4.446	4	0.400	1.36	-11156.74	-1467.04	-5261.75	4.443	-0.179
4.672	5	0.500	1.70	-10657.94	-1467.04	-5115.59	4.668	-0.183
4.901	6	0.600	2.04	-10159.15	-1467.04	-4969.43	4.897	-0.186
5.133	7	0.700	2.38	-9660.36	-1467.04	-4823.27	5.130	-0.190
5.368	8	0.800	2.72	-9161.57	-1467.04	-4677.11	5.365	-0.193
5.606	9	0.900	3.06	-8662.77	-1467.04	-4530.96	5.603	-0.196
5.847	10	1.000	3.40	-8163.98	-1467.04	-4384.79	5.844	-0.200

Maksimalverdi for element 4

maxM= -8163.98 kNm, minM= -13151.90 kNm  
 maxV= -1467.04 kN, minV= -1467.04 kN  
 maxN= -4384.79 kN, minN= -5846.39 kN  
 maxd= 5.847 mm

**Diagrammer M, V, N, og forskyvninger d av element 5**

n	x/l	x[m]	M[kNm]	V[kN]	N[kN]	dx[mm]	dy[mm]
---	-----	------	--------	-------	-------	--------	--------

<u>d[mm]</u>	n	x/1	x[m]	M[kNm]	V[kN]	N[kN]	dx[mm]	dy[mm]
5.847	0	0.000	0.00	-8164.09	-1172.83	-4384.79	5.844	-0.200
6.090	1	0.100	0.34	-7765.33	-1172.83	-4238.64	6.087	-0.203
6.336	2	0.200	0.68	-7366.57	-1172.83	-4092.48	6.333	-0.206
6.584	3	0.300	1.02	-6967.81	-1172.83	-3946.32	6.581	-0.207
6.834	4	0.400	1.36	-6569.05	-1172.83	-3800.16	6.831	-0.210
7.086	5	0.500	1.70	-6170.29	-1172.83	-3654.00	7.083	-0.213
7.340	6	0.600	2.04	-5771.52	-1172.83	-3507.84	7.337	-0.215
7.596	7	0.700	2.38	-5372.76	-1172.83	-3361.68	7.593	-0.218
7.854	8	0.800	2.72	-4974.00	-1172.83	-3215.52	7.851	-0.220
8.113	9	0.900	3.06	-4575.24	-1172.83	-3069.36	8.110	-0.223
8.374	10	1.000	3.40	-4176.48	-1172.83	-2923.20	8.371	-0.225

Maksimalverdi for element 5

maxM= -4176.48 kNm, minM= -8164.09 kNm  
 maxV= -1172.83 kN, minV= -1172.83 kN  
 maxN= -2923.20 kN, minN= -4384.79 kN  
 maxd= 8.374 mm

<u>d[mm]</u>	n	x/1	x[m]	M[kNm]	V[kN]	N[kN]	dx[mm]	dy[mm]
8.374	0	0.000	0.00	-4176.28	-819.92	-2923.20	8.371	-0.225
8.636	1	0.100	0.34	-3897.51	-819.92	-2777.04	8.633	-0.227
8.899	2	0.200	0.68	-3618.73	-819.92	-2630.88	8.896	-0.229
9.163	3	0.300	1.02	-3339.96	-819.92	-2484.72	9.160	-0.230
9.428	4	0.400	1.36	-3061.19	-819.92	-2338.56	9.425	-0.232
9.694	5	0.500	1.70	-2782.41	-819.92	-2192.40	9.692	-0.232
9.961	6	0.600	2.04	-2503.64	-819.92	-2046.24	9.959	-0.234
10.229	7	0.700	2.38	-2224.87	-819.92	-1900.08	10.227	-0.235
10.498	8	0.800	2.72	-1946.09	-819.92	-1753.92	10.495	-0.237
10.767	9	0.900	3.06	-1667.32	-819.92	-1607.76	10.764	-0.239
11.037	10	1.000	3.40	-1388.55	-819.92	-1461.60	11.034	-0.240

Maksimalverdi for element 6

maxM= -1388.55 kNm, minM= -4176.28 kNm  
 maxV= -819.92 kN, minV= -819.92 kN  
 maxN= -1461.60 kN, minN= -2923.20 kN  
 maxd= 11.037 mm

<u>d[mm]</u>	n	x/1	x[m]	M[kNm]	V[kN]	N[kN]	dx[mm]	dy[mm]
11.037	0	0.000	0.00	-1388.34	-408.35	-1461.60	11.034	-0.240
	1	0.100	0.34	-1249.50	-408.35	-1315.44	11.304	-0.240

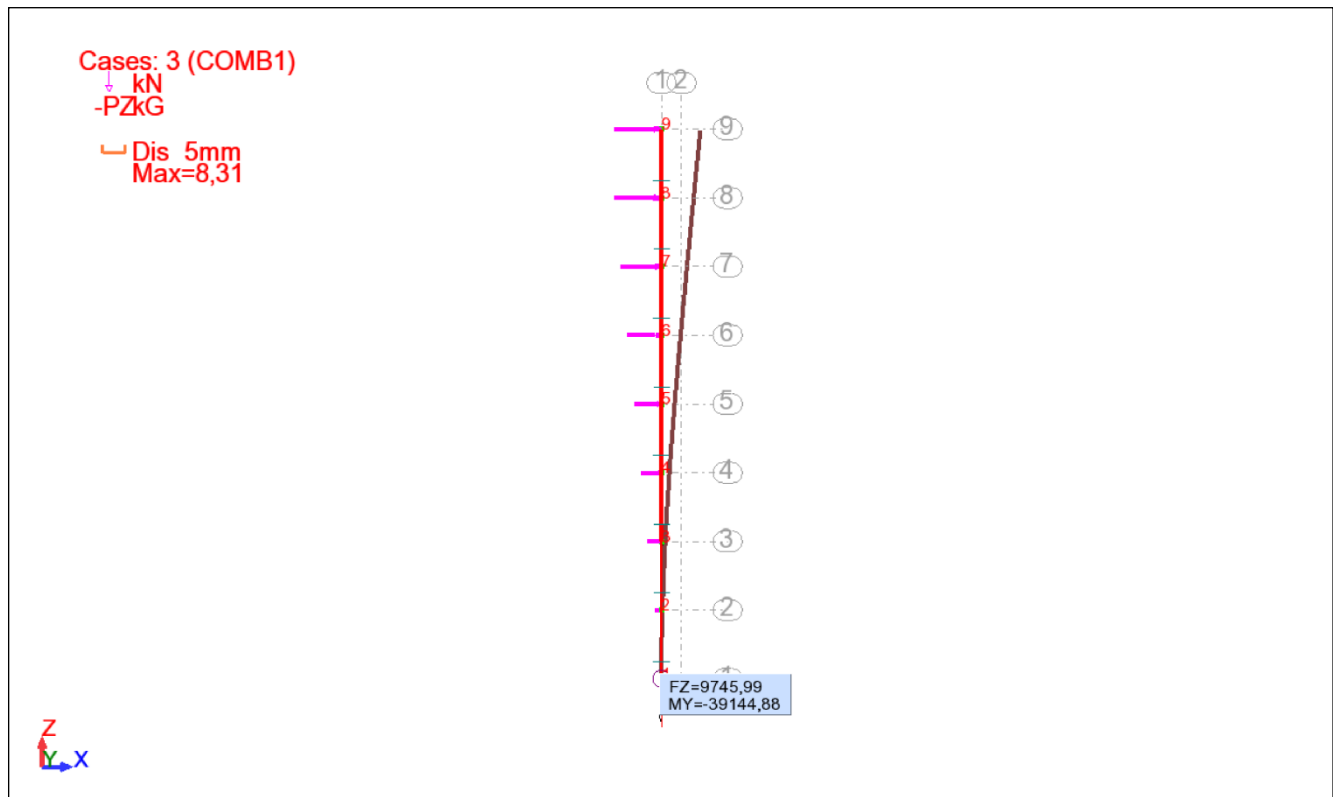
11.307								
	2	0.200	0.68	-1110.66	-408.35	-1169.28	11.575	-0.242
11.578	3	0.300	1.02	-971.82	-408.35	-1023.12	11.846	-0.242
11.848	4	0.400	1.36	-832.98	-408.35	-876.96	12.117	-0.241
12.120	5	0.500	1.70	-694.14	-408.35	-730.80	12.389	-0.243
12.391	6	0.600	2.04	-555.30	-408.35	-584.64	12.660	-0.243
12.663	7	0.700	2.38	-416.46	-408.35	-438.48	12.932	-0.243
12.935	8	0.800	2.72	-277.62	-408.35	-292.32	13.204	-0.245
13.207	9	0.900	3.06	-138.78	-408.35	-146.16	13.476	-0.244
13.479	10	1.000	3.40	0.06	-408.35	0.00	13.748	-0.246
13.751								
	<u>Maksimalverdi for element 7</u>							
	maxM=	0.06	kNm,	minM=	-1388.34	kNm		
	maxV=	-408.35	kN,	minV=	-408.35	kN		
	maxN=	0.00	kN,	minN=	-1461.60	kN		
	maxd=	13.751	mm					

Frame2Dexpress+ECdesign      Programlisens til HIALS 2015, Dan Marius Staalerod  
 11/05/2015 13:37:19

**Pin model**

**Forskyvning i Robot**

**Sterk akse**



## Displacements - Values

Node/Case	UX (mm)	UZ (mm)	RY (Rad)
1/ 1	0,0	0,0	0,0
1/ 2	0,0	0,0	0,0
1/ 3 (C)	0,0	0,0	0,0
2/ 1	0,0	-0,06	0,0
2/ 2	0,22	0,0	0,000
2/ 3 (C)	0,22	-0,06	0,000
3/ 1	0,0	-0,12	0,0
3/ 2	0,81	0,0	0,000
3/ 3 (C)	0,81	-0,12	0,000
4/ 1	0,0	-0,16	0,0
4/ 2	1,70	0,0	0,000
4/ 3 (C)	1,70	-0,16	0,000
5/ 1	0,0	-0,20	0,0
5/ 2	2,81	0,0	0,000
5/ 3 (C)	2,81	-0,20	0,000
6/ 1	0,0	-0,23	0,0

Node/Case	UX (mm)	UZ (mm)	RY (Rad)
6/ 2	4,08	0,0	0,000
6/ 3 (C)	4,08	-0,23	0,000
7/ 1	0,0	-0,25	0,0
7/ 2	5,45	0,0	0,000
7/ 3 (C)	5,45	-0,25	0,000
8/ 1	0,0	-0,26	0,0
8/ 2	6,87	0,0	0,000
8/ 3 (C)	6,87	-0,26	0,000
9/ 1	0,0	-0,27	0,0
9/ 2	8,31	0,0	0,000
9/ 3 (C)	8,31	-0,27	0,000

## Combinations

Combinations	Name	Analysis type	Combination type	Case nature	Definition
3 (C)	COMB1	Linear Combination	ULS	Structural	(1+2)*1.00

## Loads - Values

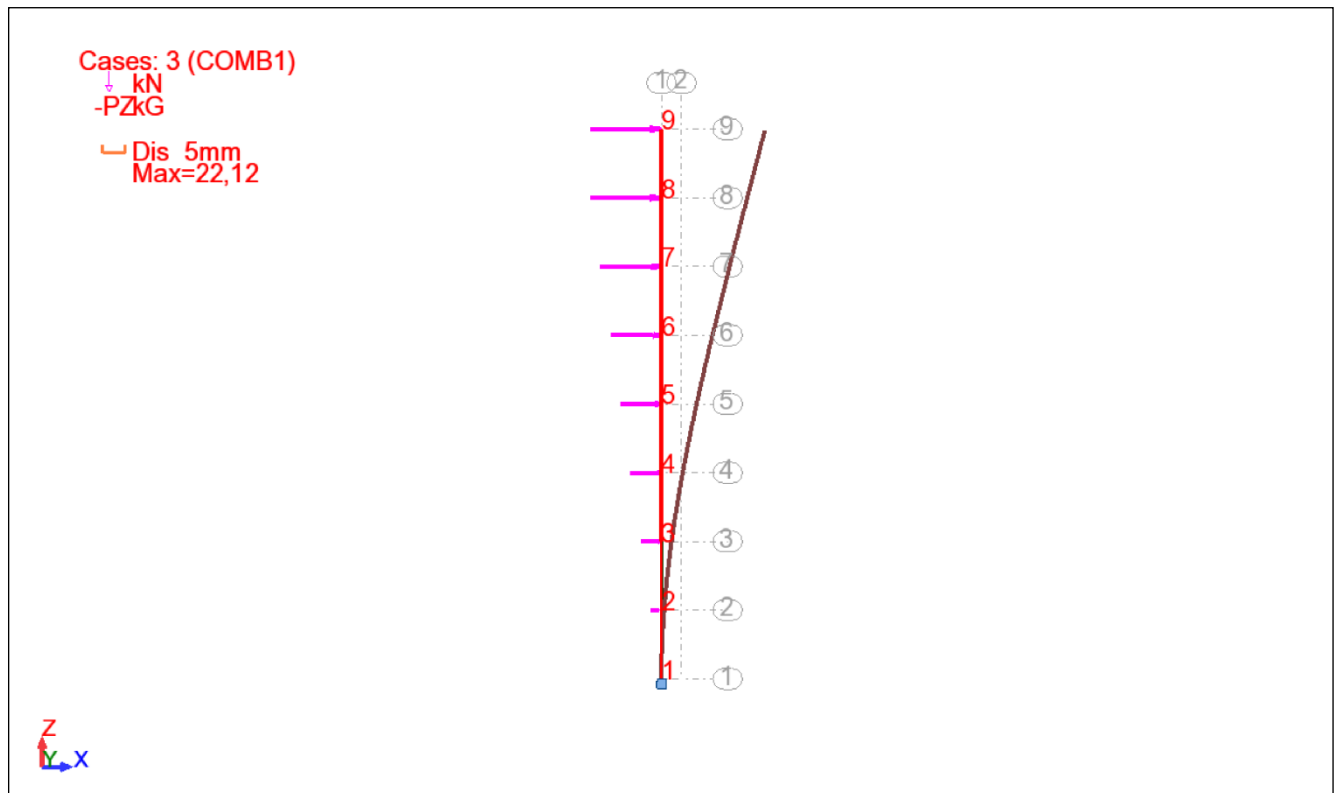
Case	Load type	List	Load values
1	self-weight	1to8	PZ Negative Factor=1,00
2	nodal force	2	FX=58,80(kN)
2	nodal force	3	FX=117,60(kN)
2	nodal force	4	FX=176,40(kN)
2	nodal force	5	FX=235,20(kN)
2	nodal force	6	FX=294,10(kN)
2	nodal force	7	FX=353,90(kN)
2	nodal force	8	FX=412,70(kN)
2	nodal force	9	FX=408,30(kN)

**Pin model**

**Forskyvning i Robot**

**Svak akse**

View - Deformation; Cases: 3 (COMB1) 2



Displacements - Values

Node/Case	UX (mm)	UZ (mm)	RY (Rad)
1/ 1	0,0	0,0	0,0
1/ 2	0,0	0,0	0,0
1/ 3 (C)	0,0	0,0	0,0
2/ 1	0,0	-0,06	0,0
2/ 2	0,57	0,0	0,000
2/ 3 (C)	0,57	-0,06	0,000
3/ 1	0,0	-0,12	0,0
3/ 2	2,15	0,0	0,001
3/ 3 (C)	2,15	-0,12	0,001
4/ 1	0,0	-0,16	0,0
4/ 2	4,52	0,0	0,001
4/ 3 (C)	4,52	-0,16	0,001
5/ 1	0,0	-0,20	0,0
5/ 2	7,49	0,0	0,001
5/ 3 (C)	7,49	-0,20	0,001

<b>Node/Case</b>	<b>UX (mm)</b>	<b>UZ (mm)</b>	<b>RY (Rad)</b>
6/ 1	0,0	-0,23	0,0
6/ 2	10,87	0,0	0,001
6/ 3 (C)	10,87	-0,23	0,001
7/ 1	0,0	-0,25	0,0
7/ 2	14,51	0,0	0,001
7/ 3 (C)	14,51	-0,25	0,001
8/ 1	0,0	-0,26	0,0
8/ 2	18,29	0,0	0,001
8/ 3 (C)	18,29	-0,26	0,001
9/ 1	0,0	-0,27	0,0
9/ 2	22,12	0,0	0,001
9/ 3 (C)	22,12	-0,27	0,001

## Combinations

<b>Combinations</b>	<b>Name</b>	<b>Analysis type</b>	<b>Combi-nation type</b>	<b>Case nature</b>	<b>Definition</b>
3 (C)	COMB1	Linear Com-bination	ULS	Structural	(1+2)*1.00

## 12.15 BRANN

### 12.15.1 RISIKOKLASSER OG BRANNKLASSER

Risikoklasse	Byggverk kun beregnet for sporadisk personopphold	Personer i byggverk kjenner rømningsforhold, herunder rømningsveier, og kan bringe seg selv i sikkerhet	Byggverk beregnet for overnattинг	Forutsatt bruk av byggverk medfører liten brannfare
1	ja	ja	nei	ja
2	ja/nei	ja	nei	nei
3	nei	ja	nei	ja
4	nei	ja	ja	ja
5	nei	nei	nei	ja
6	nei	nei	ja	ja

Risikoklasse	Etasje			
	1	2	3 og 4	5 eller flere
1	-	BKL 1	BKL 2	BKL 2
2	BKL 1	BKL 1	BKL 2	BKL 3
3	BKL 1	BKL 1	BKL 2	BKL 3
4	BKL 1	BKL 1	BKL 2	BKL 3
5	BKL 1	BKL 2	BKL 3	BKL 3
6	BKL 1	BKL 2	BKL 2	BKL 3

Brannklasse			
Bygningsdel	1	2	3
Bærende hovedsystem	R 30 [B 30]	R 60 [B 60]	R 90 A2-s1,d0 [A 90]
Sekundære, bærende bygningsdeler, etasjeskillere og takkonstruksjoner som ikke er del av hovedbæresystem eller stabiliseringe	R 30 [B 30]	R 60 [B 60]	R 60 A2-s1,d0 [A 60]
Trappeløp	-	R 30 [B 30]	R 30 A2-s1,d0 [A 30]
Bærende bygningsdeler under øverste kjeller	R 60 A2-s1,d0 [A 60]	R 90 A2-s1,d0 [A 90]	R 120 A2-s1,d0 [A 120]
Utvendig trappeløp, beskyttet mot flammevirking og strålevarme	-	R 30 [B 30] eller A2-s1,d0 [ubrennbart] ]	A2-s1,d0 [ubrennbart] ]

dibk.no § 11-2 tabell 1, §11-4 tabell 1 og § 11-3 tabell 1

## 12.15.2 ISOVER FIREPROTECT CALC (43)

**Inndata**

Profiltype	HUP Kvadratisk		
<input checked="" type="radio"/> 4-sidig	<input type="radio"/> 3-sidig	<input type="radio"/> 2-sidig	<input type="radio"/> 1-sidig
Dimensjon	250x250x12,5 [mm]		
Temperatur	500 °C		
Brannmotstand	R90		
Ai/Vs	81 [m <sup>-1</sup> ]		
<b>Beregn</b>			

n,

**Resultat**

Nødvendig tykkelse ISOVER FireProtect er 25 mm.

**Inndata**

Profiltype	HUP Kvadratisk		
<input checked="" type="radio"/> 4-sidig	<input type="radio"/> 3-sidig	<input type="radio"/> 2-sidig	<input type="radio"/> 1-sidig
Dimensjon	200x200x10 [mm]		
Temperatur	500 °C		
Brannmotstand	R90		
Ai/Vs	101 [m <sup>-1</sup> ]		
<b>Beregn</b>			

**Resultat**

Nødvendig tykkelse ISOVER FireProtect er 30 mm.

## Inndata

Profiltype



Dimensjon  [mm]

Temperatur  °C

Brannmotstand

Ai/Vs

## Resultat

Nødvendig tykkelse ISOVER FireProtect er 30 mm.

## 12.16 MAIL FRA LIV ASTRID BERGSAGER

**Fra:** Liv Astrid Bergsager [mailto:[libr@cowi.no](mailto:libr@cowi.no)]

**Sendt:** 7. januar 2015 07:52

**Til:** Sindre Moldskred

**Kopi:** A065277\_Mail; Pål Andreas Dahl

**Emne:** Borgundvegen 151-153

Hei Sindre

Ang Borgundvegen 151-153

Vi betrakter boligbygget som et bygg med krav om heis, og dermed også krav til sprinkleranlegg. Dersom brannvesenet kan nå alle leiligheter i bygget med sitt stigemateriell kan vi se på en rømningssløsning med ett trapperom i kombinasjon med sprinkleranlegg.

Dette forutsetter at det tilrettelegges slik at brannvesenet kommer tilstrekkelig nært bygget med sine biler og at de kan nå alle leiligheter av bygget med lift/stigebil. Ålesund brannvesen oppgir på telefon at lift skal betraktes som 32 m i rekkeviddediagrammet som er vedlagt. Diagrammet viser avstand fra fasade i x-aksen og hvor høyt liften rekker i y-aksen. For øvrig må det tilrettelegges for kjørbar atkomst til byggets hovedangrepssvei samt at det må være maks helningsvinkel og størrelse på oppstillingsplass og at underlaget dimensjoneres for nødvendig belastning. Det må legges til grunn brannvesenets lift. Vi ser at de oppgir 1:8 i stigning, men vi er vant til strengere krav på lift. Vi kommer til å avklare dette nærmere med brannvesenet.

Du finner også vår oppdragsbekreftelse og oppdragsbetingelser vedlagt denne eposten.

Med vennlig hilsen

**Liv Astrid Bergsager**

Branningeniør

Bygninger Stavanger

**COWI**

Haugåsstubben 3

4016 Stavanger

Sentralbord: 02694

Direkte: 407 29 494

E-post: [libr@cowi.no](mailto:libr@cowi.no)

**Feil! Hyperkoblingsreferansen er ugyldig. / [www.cowi.com](http://www.cowi.com)**